

**UNIVERSITATEA "POLITEHNICA "TIMISOARA
FACULTATEA DE MECANICA**

inginer Adriana Minerva MOTICA

Teza de doctorat

**"OPTIMIZAREA STRUCTURILOR DE REZISTENTA ALE MASINILOR UNELTE
PRIN PROIECTAREA ASISTATA DE CALCULATOR CU METODE NUMERICE
APLICATII PE STRUNGURI NORMALE"**

Anexa B2

BIBLIOTECA CENTRALA
UNIVERSITATEA "POLITEHNICA"
TIMISOARA

Conducator stiintific Profesor dr.ing Ionel DOBRE

1996

CUPRINS

Calculul vibratiilor fortate-Program MARC-MENTAT II

Varianta stru_f4($n=800\text{rpm}$; $p_0=0,1p_{0,\text{nod}}$; amortizare structurala+suruburi fundatie)

| | |
|---|-----------|
| Deplasari dir.X-10 incrementi | B221-B231 |
| Deplasari dir.Y-10 incrementi | B232-B242 |
| Deplasari dir.Z-10 incrementi | B243-B252 |
| Acceleratii dir.X,Y,Z | B253-B255 |
| Deplasari nod 863(dir.x,y,z) | B256 |
| Deplasari nod 863 comparativ cu nodurile684 si 963(dir.x,y,z) | B257-B259 |
| Acceleratii nod 863(dir.x,y,z) | B260 |
| Acceleratii nod 863 comparativ cu nodurile684 si 963(dir.x,y,z) | B261-B263 |
| Deplasari nod 822(dir.x,y,z) | B264 |
| Deplasari nod 822 comparativ cu nodurile657 si 941(dir.x,y,z) | B265-B267 |
| Acceleratii nod 822(dir.x,y,z) | B268 |
| Acceleratii nod 822 comparativ cu nodurile657 si 941(dir.x,y,z) | B269-B271 |
| Deplasari nod 219(dir.x,y,z) | B272 |
| Deplasari nod 219 comparativ cu nodurile141 si 302(dir.x,y,z) | B273-B275 |
| Acceleratii nod 219(dir.x,y,z) | B276 |
| Deplasari nod 186(dir.x,y,z) | B277 |
| Deplasari nod 186 comparativ cu nodurile108 si 265(dir.x,y,z) | B278-B280 |
| Acceleratii nod 186(dir.x,y,z) | B281 |
| Deplasari nod 1495(dir.x,y,z) | B282 |
| Deplasari nod 1061(dir.x,y,z) | B283 |
| Deplasari nod 1066(dir.x,y,z) | B284 |
| Deplasari nod 959(dir.x,y,z) | B285 |
| Deplasari nod 1004(dir.x,y,z) | B286 |
| Deplasari nod 1027(dir.x,y,z) | B287 |
| Deplasari nod 1092(dir.x,y,z) | B288 |
| Deplasari nod 1093(dir.x,y,z) | B289 |
| Deplasari nod 1697(dir.x,y,z) | B290 |
| Deplasari nod 1700(dir.x,y,z) | B291 |

Varianta stru_f2($n=1000\text{rpm}$; $p_0=0,1p_{0,\text{nod}}$; amortizare structurala+suruburi fundatie)

| | |
|---|-----------|
| Deplasari dir.X-10 incrementi | B293-B303 |
| Deplasari dir.Y-10 incrementi | B304-B314 |
| Deplasari dir.Z-10 incrementi | B315-B325 |
| Acceleratii dir.X,Y,Z | B326-B328 |
| Deplasari nod 863(dir.x,y,z) | B329 |
| Deplasari nod 863 comparativ cu nodurile684 si 963(dir.x,y,z) | B330-B332 |
| Acceleratii nod 863 comparativ cu nodurile684 si 963(dir.x,y,z) | B333-B335 |
| Deplasari nod 822(dir.x,y,z) | B336 |
| Deplasari nod 822 comparativ cu nodurile657 si 941(dir.x,y,z) | B337-B339 |
| Acceleratii nod 822(dir.x,y,z) | B340 |
| Acceleratii nod 822 comparativ cu nodurile657 si 941(dir.x,y,z) | B341-B343 |
| Deplasari nod 219(dir.x,y,z) | B344 |
| Deplasari nod 219 comparativ cu nodurile141 si 302(dir.x,y,z) | B345-B347 |
| Acceleratii nod 219(dir.x,y,z) | B348 |
| Deplasari nod 186(dir.x,y,z) | B349 |

| | |
|--|-----------|
| Deplasari nod 186 comparativ cu nodurile108 si 265(dir.x,y,z) | B350-B352 |
| Acceleratii nod 186(dir.x,y,z) | B353 |
| Deplasari nod 1495(dir.x,y,z) | B354 |
| Deplasari nod 1061(dir.x,y,z) | B355 |
| Deplasari nod 1066(dir.x,y,z) | B356 |
| Deplasari nod 959(dir.x,y,z) | B357 |
| Deplasari nod 1004(dir.x,y,z) | B358 |
| Deplasari nod 1027(dir.x,y,z) | B359 |
| Deplasari nod 1092(dir.x,y,z) | B360 |
| Deplasari nod 1093(dir.x,y,z) | B361 |
| Deplasari nod 1697(dir.x,y,z) | B362 |
| Deplasari nod 1700(dir.x,y,z) | B363 |
| Varianta stru_f(n=1200rpm;p ₀ =0,1p _{0,nod} ;amortizare structurala+suruburi fundatie) | |
| Deplasari dir.X-10 incrementi | B364-B374 |
| Deplasari dir.Y-10 incrementi | B375-B386 |
| Deplasari dir.Z-10 incrementi | B387-B397 |
| Acceleratii dir.X,Y,Z | B398-B400 |
| Deplasari nod 863(dir.x,y,z) | B401 |
| Deplasari nod 863 comparativ cu nodurile684 si 963(dir.x,y,z) | B402-B404 |
| Acceleratii nod 863(dir.x,y,z) | B405 |
| Acceleratii nod 863 comparativ cu nodurile684 si 963(dir.x,y,z) | B406-B407 |
| Deplasari nod 822(dir.x,y,z) | B408 |
| Deplasari nod 822 comparativ cu nodurile657 si 941(dir.x,y,z) | B409-B411 |
| Acceleratii nod 822(dir.x,y,z) | B412 |
| Acceleratii nod 822 comparativ cu nodurile657 si 941(dir.x,y,z) | |
| Deplasari nod 219(dir.x,y,z) | B413 |
| Deplasari nod 219 comparativ cu nodurile141 si 302(dir.x,y,z) | B414-B416 |
| Acceleratii nod 219(dir.x,y,z) | B422 |
| Deplasari nod 186(dir.x,y,z) | B417 |
| Deplasari nod 186 comparativ cu nodurile108 si 265(dir.x,y,z) | B418-B420 |
| Acceleratii nod 186(dir.x,y,z) | B421 |
| Deplasari nod 1495(dir.x,y,z) | B424 |
| Deplasari nod 1061(dir.x,y,z) | B425 |
| Deplasari nod 1066(dir.x,y,z) | B426 |
| Deplasari nod 959(dir.x,y,z) | B427 |
| Deplasari nod 1004(dir.x,y,z) | B428 |
| Deplasari nod 1027(dir.x,y,z) | B429 |
| Deplasari nod 1092(dir.x,y,z) | B430 |
| Deplasari nod 1093(dir.x,y,z) | B431 |
| Deplasari nod 1697(dir.x,y,z) | B432 |
| Deplasari nod 1700(dir.x,y,z) | B433 |

CALCULUL VIBRATIILOR FORTATE pentru:

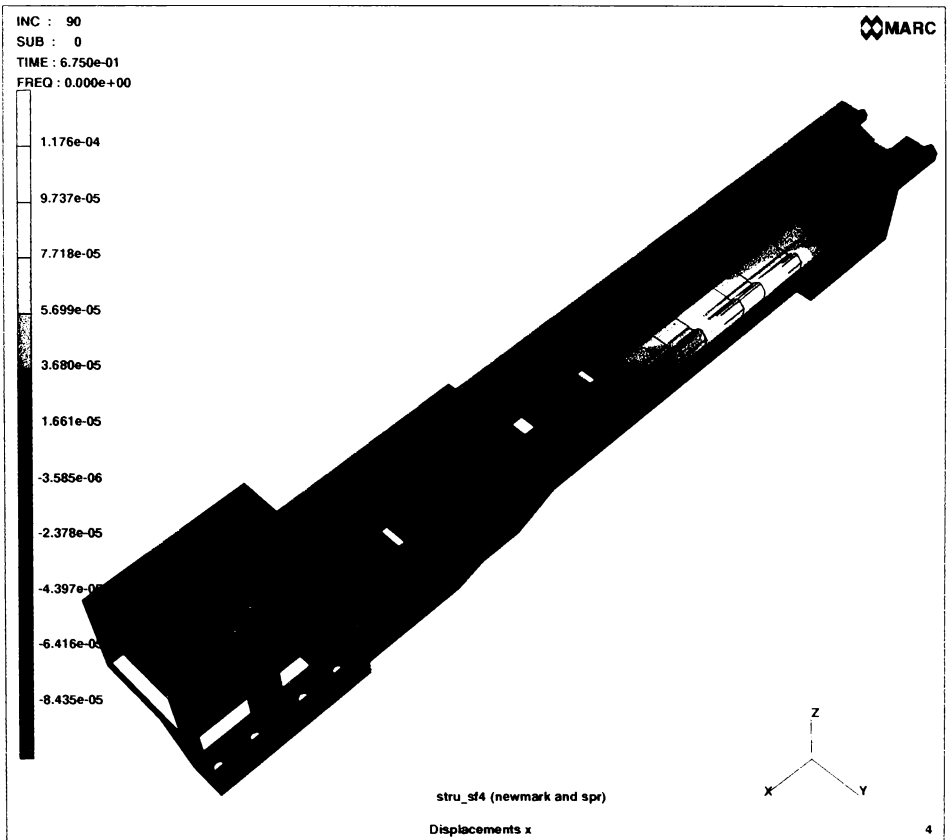
$$n=800 \text{ rpm}$$

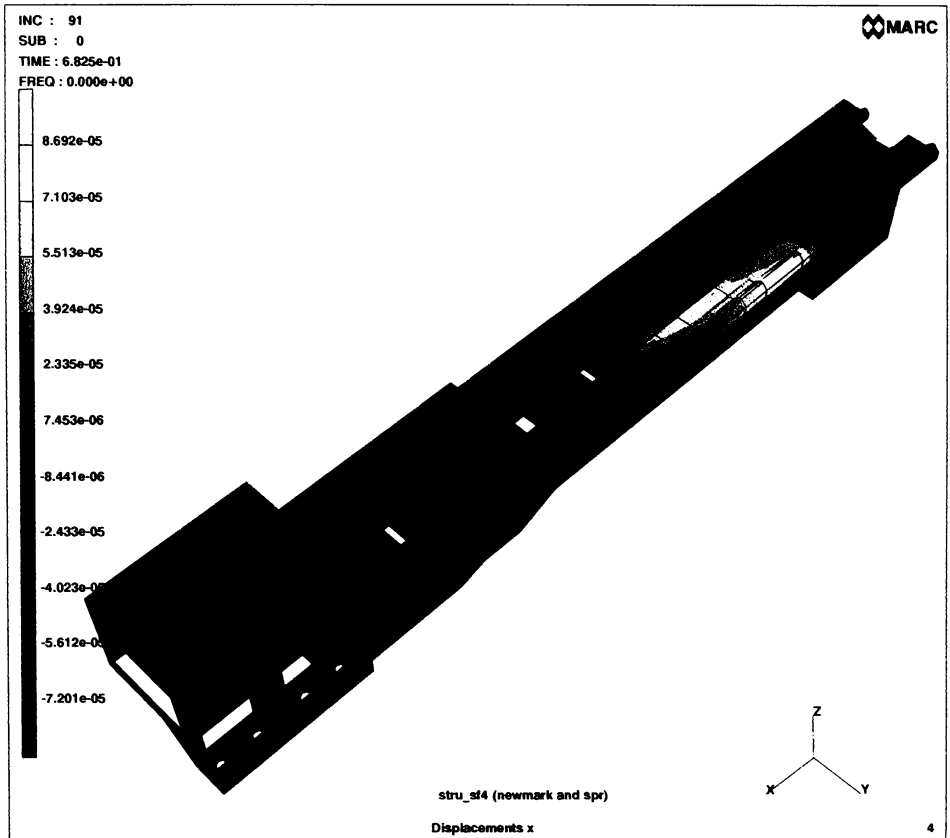
$$t=1.5 \text{ s} ; \Delta t = 0.0075 \text{ ms}$$

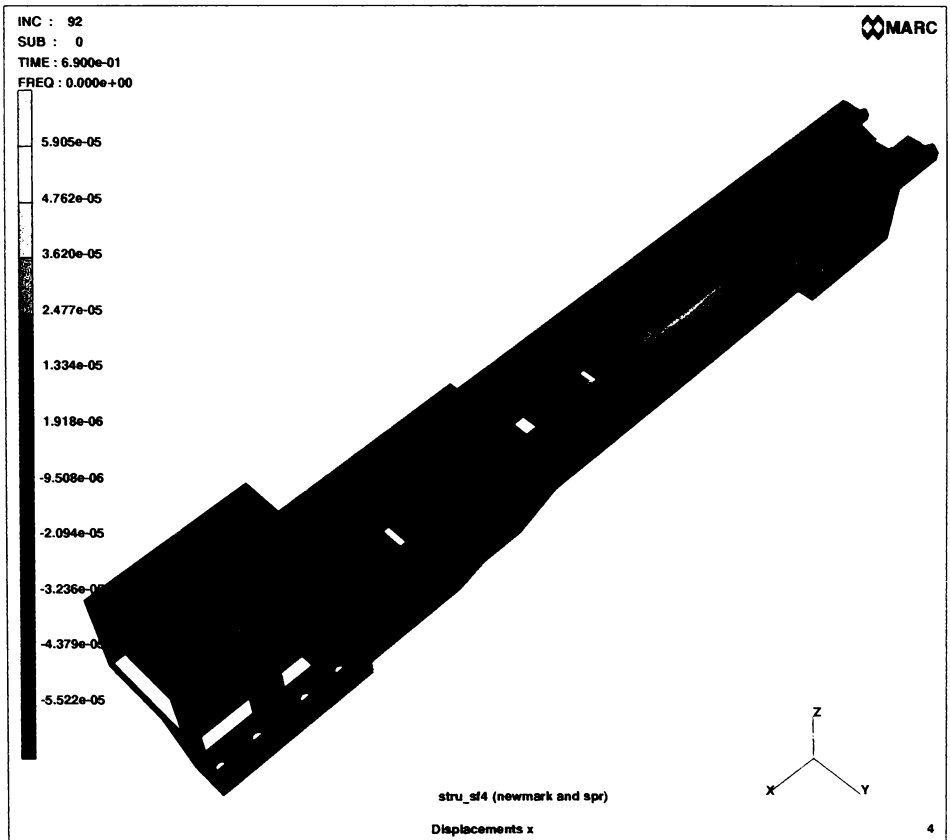
$$p_{nod} = \bar{p}_{o,nod} + p_o \cos \omega t$$

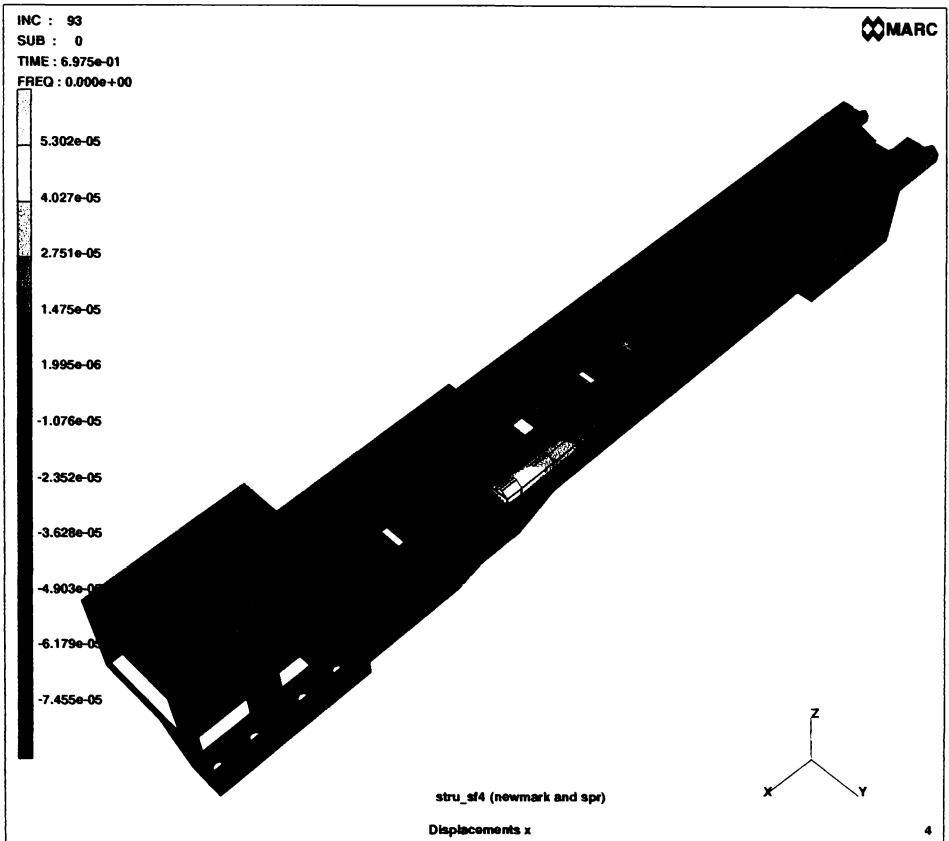
$$p_o = 0.1 \bar{p}_{o,nod}$$

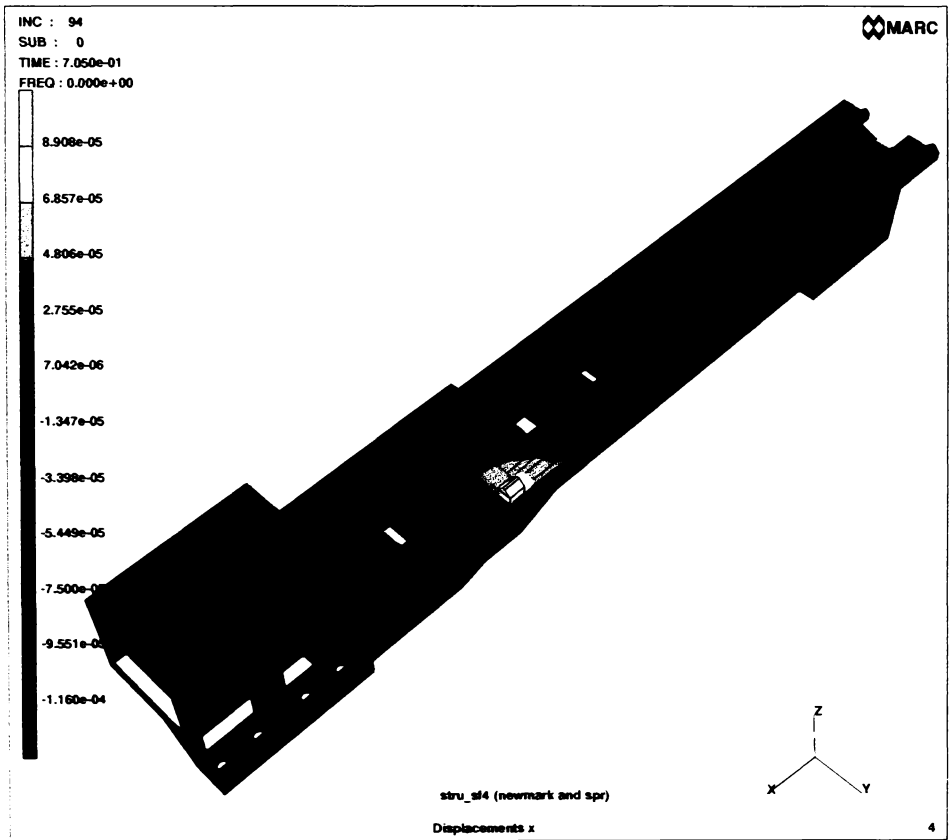
**amortizare structurala si prin
suruburi fundatie**

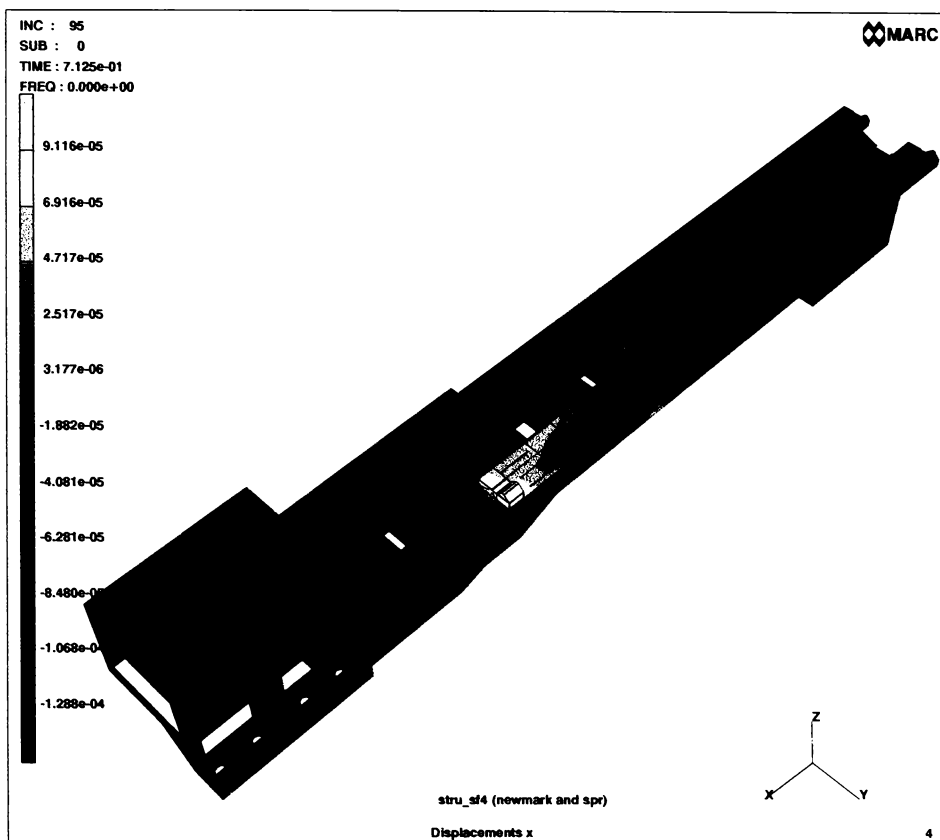


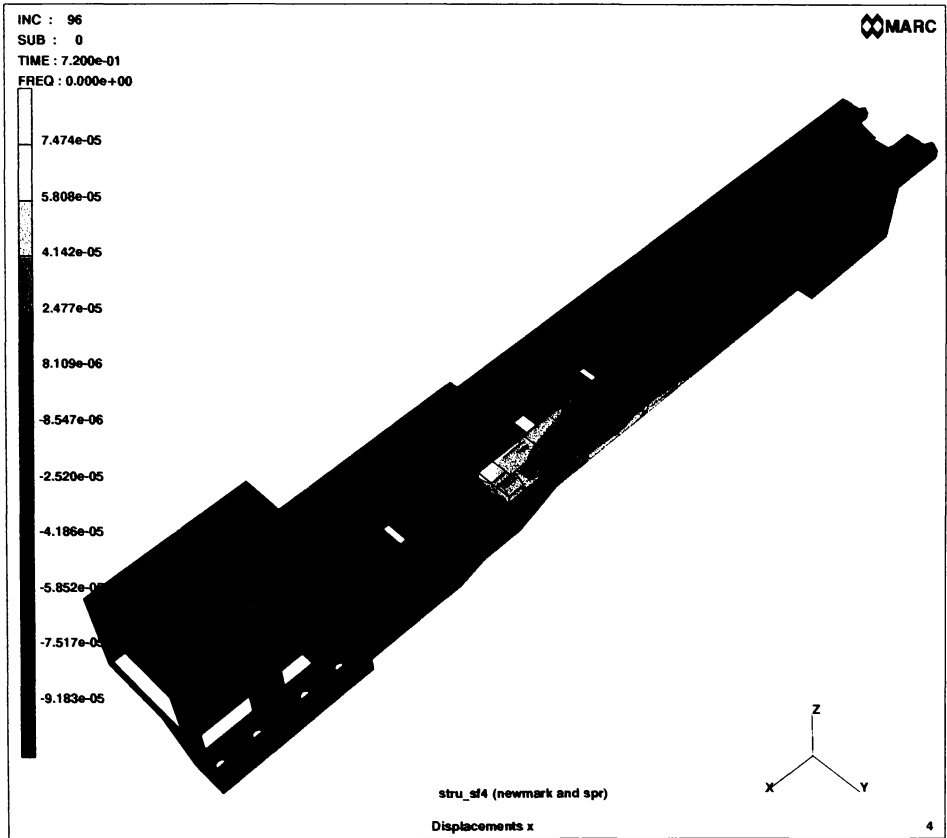


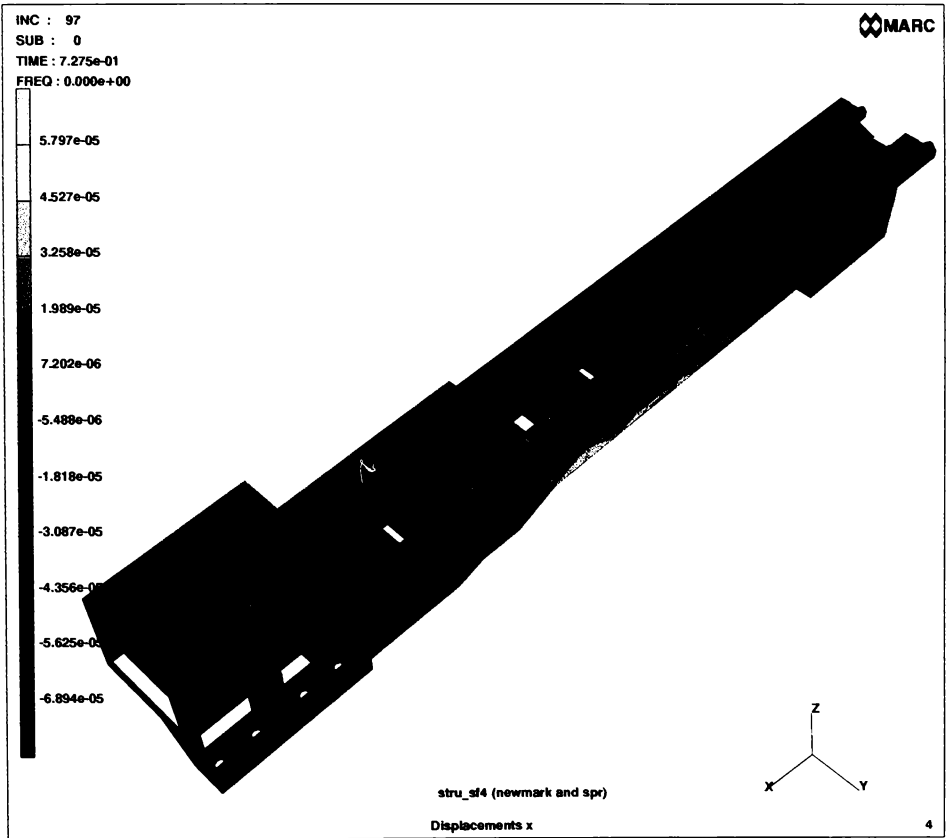


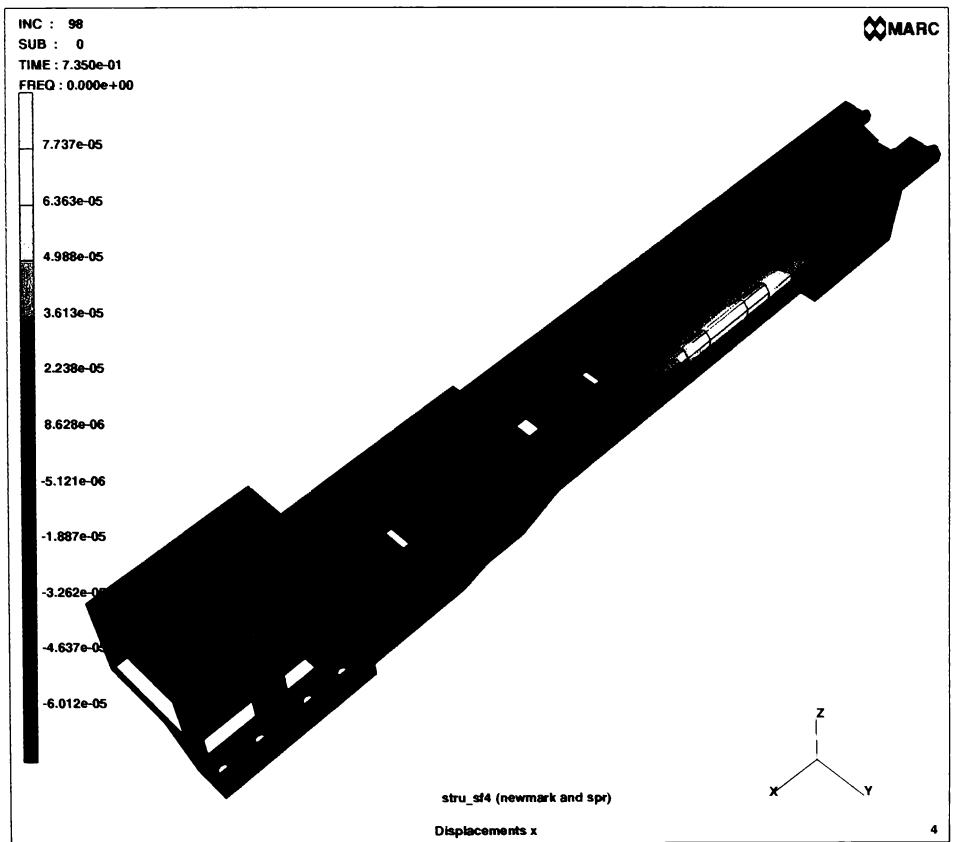


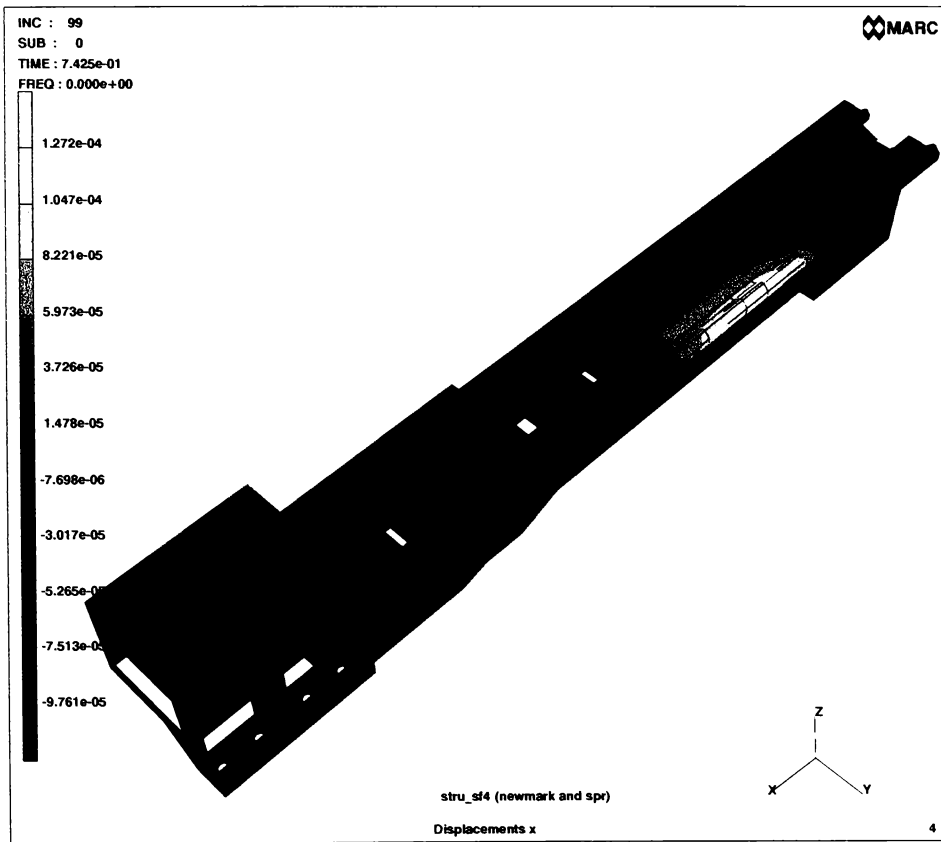


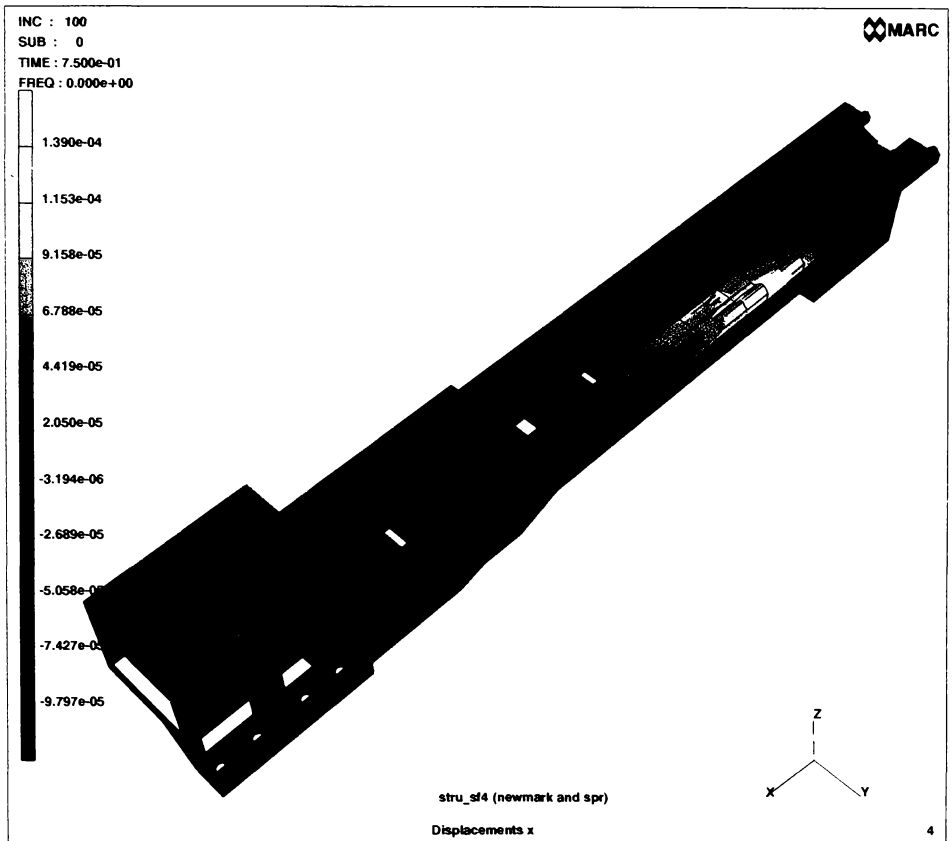


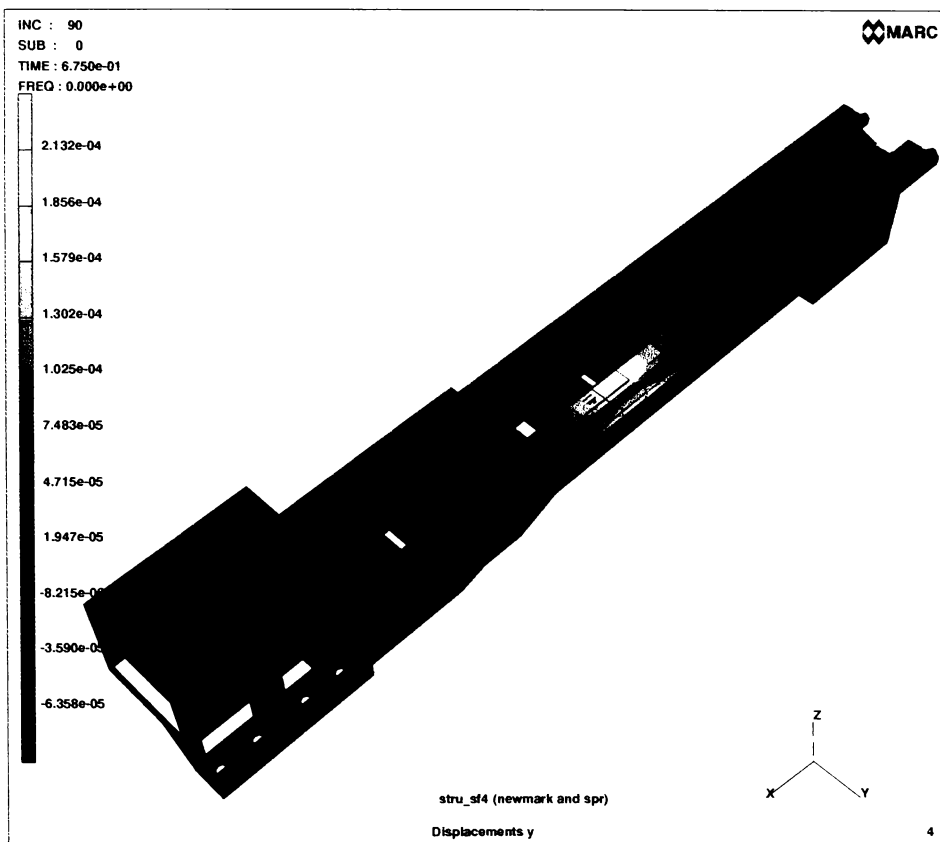


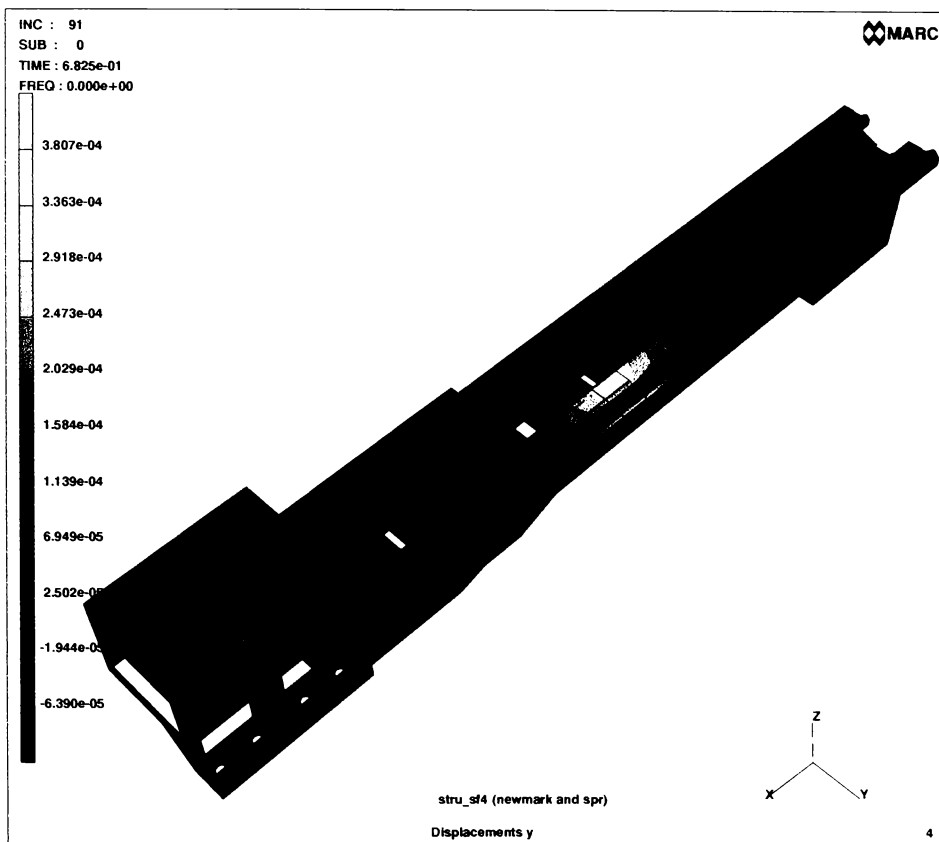


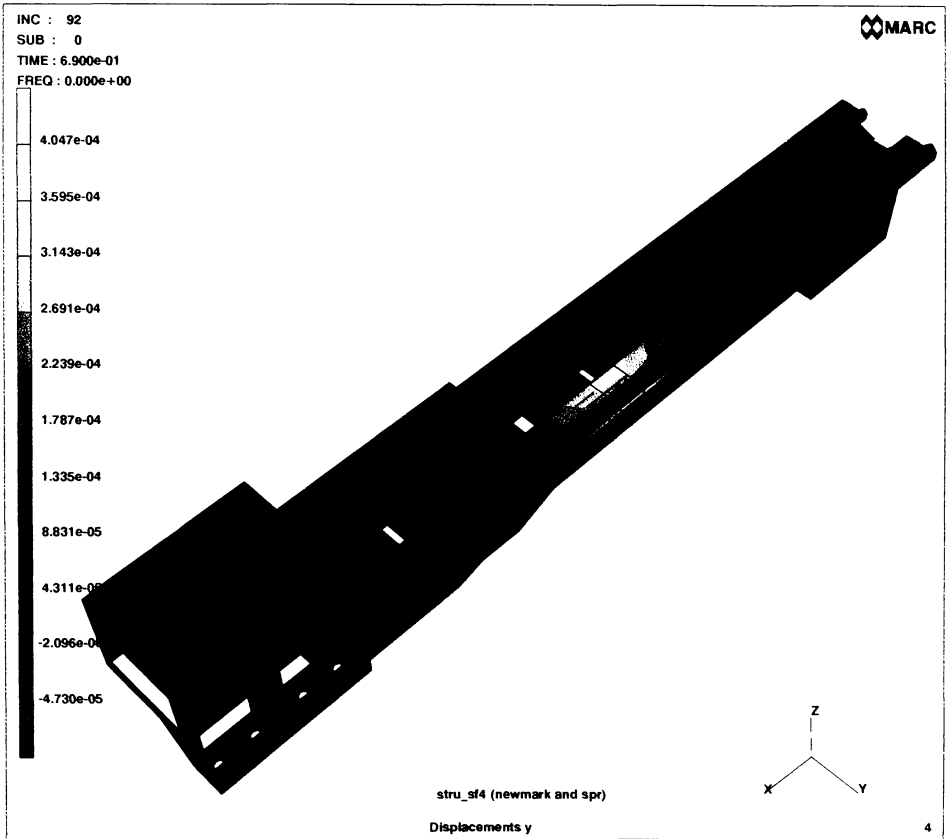


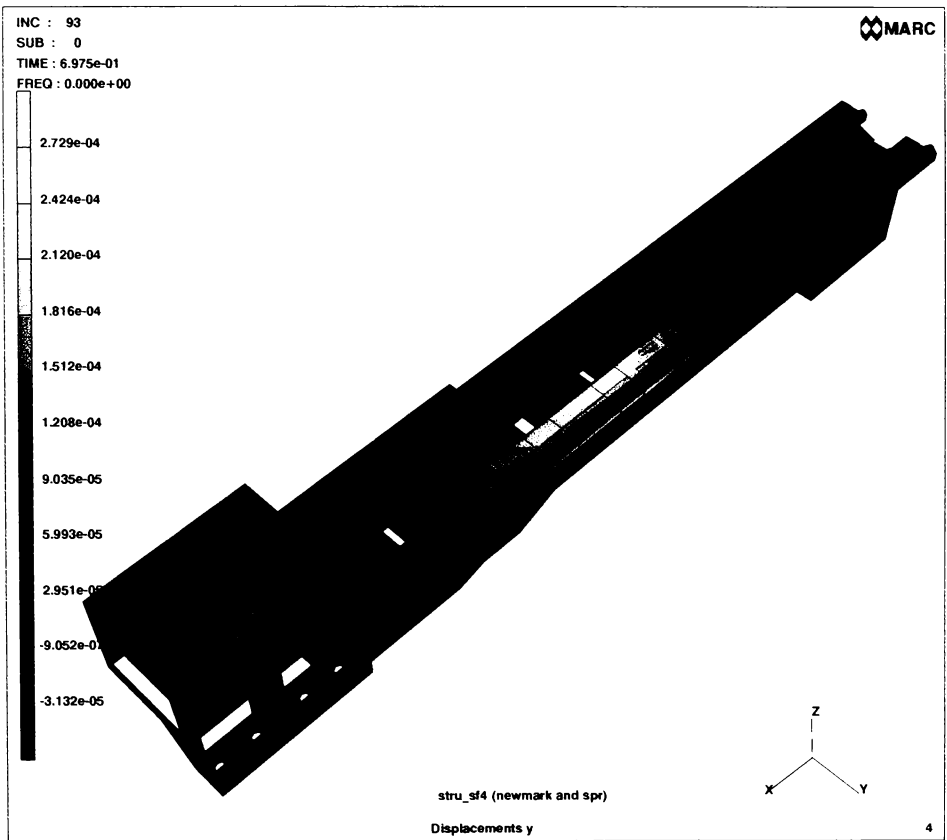


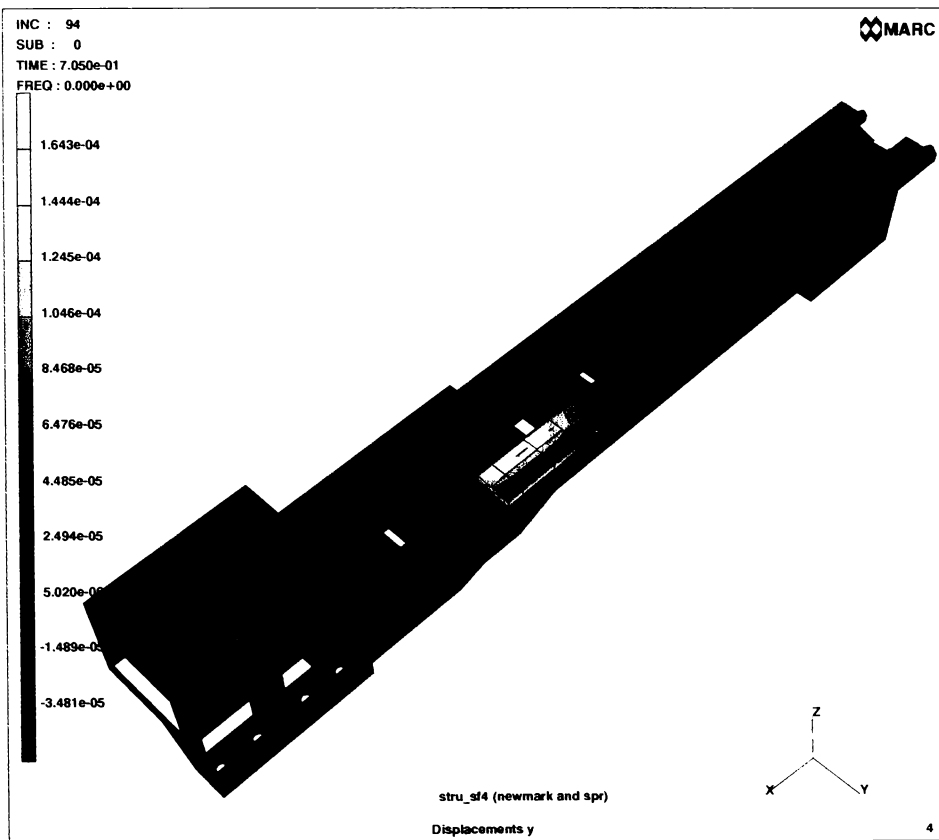






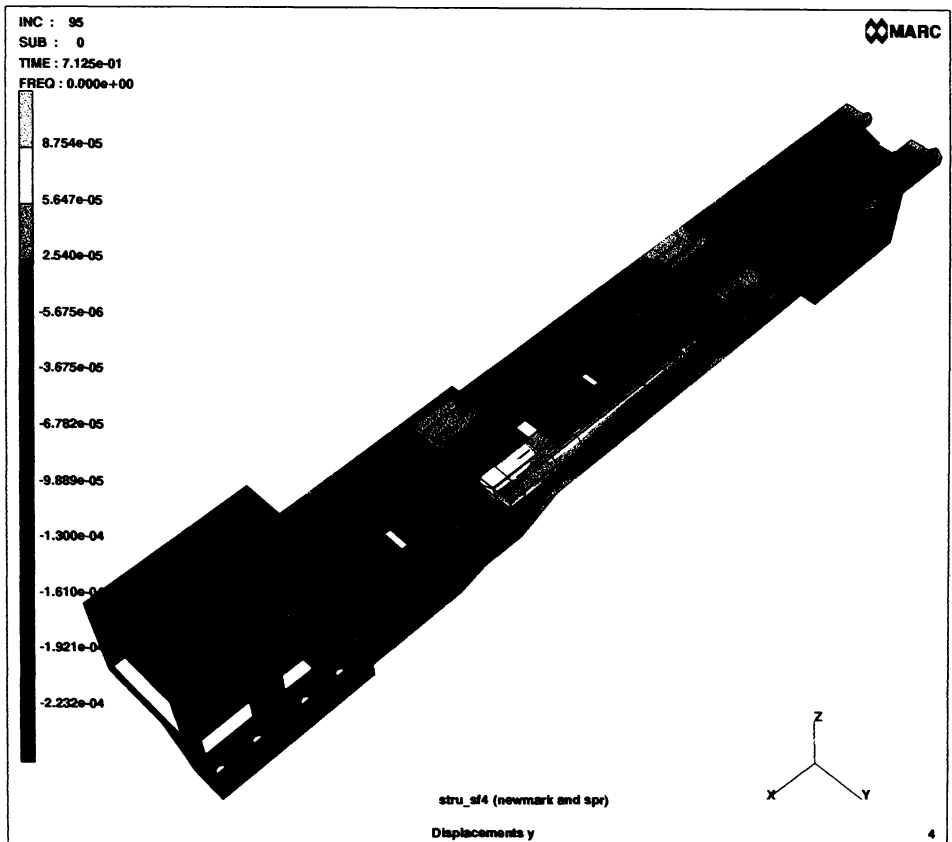


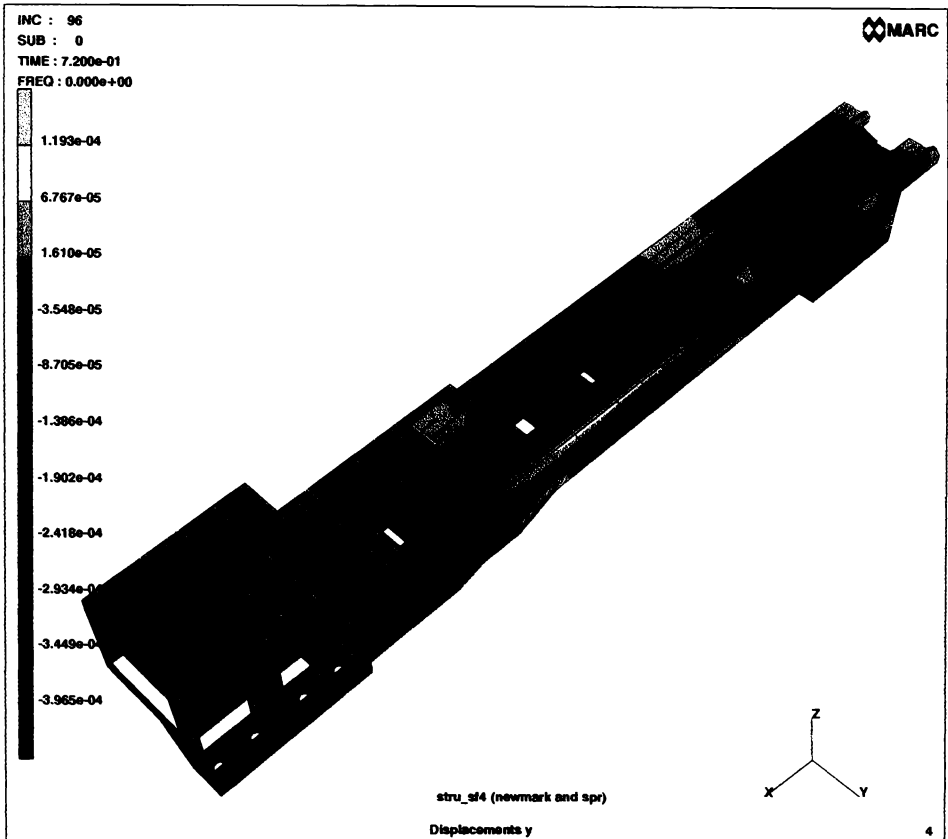


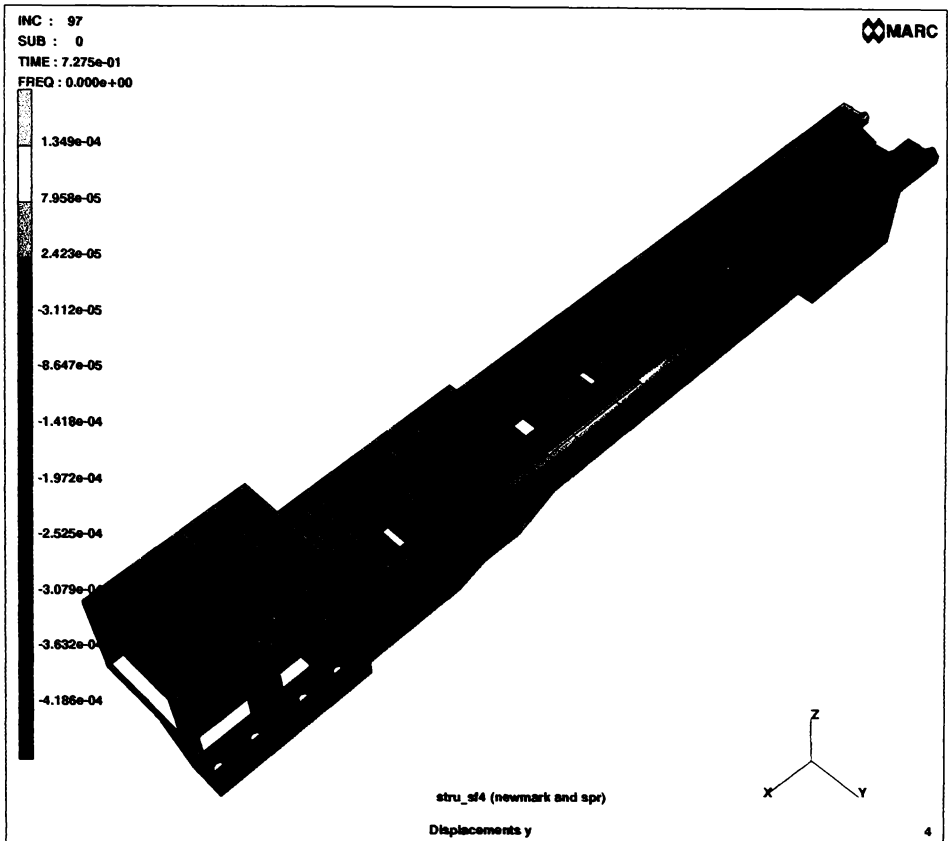


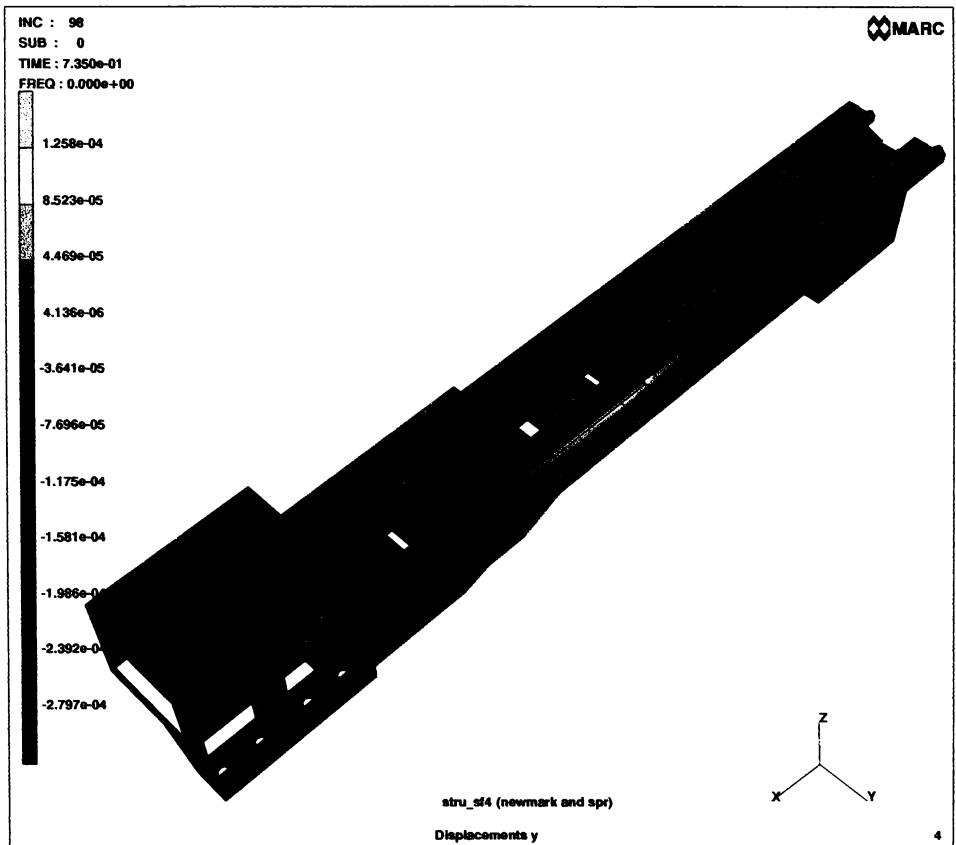
617 595 / 0
180

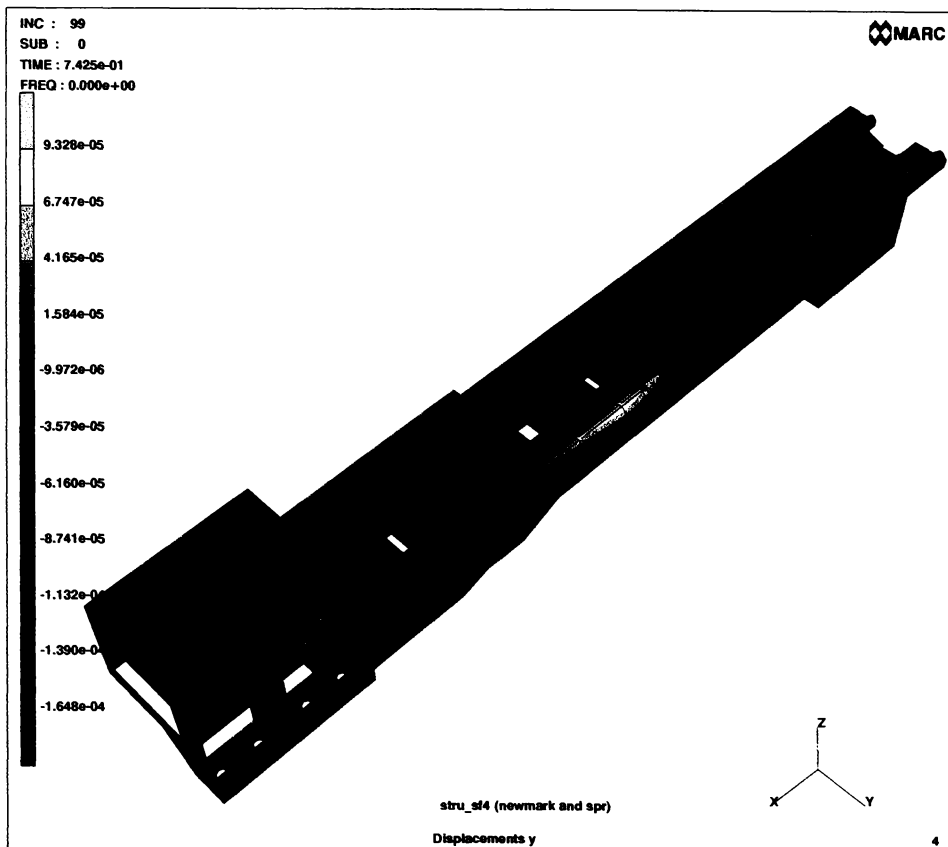
BUPT

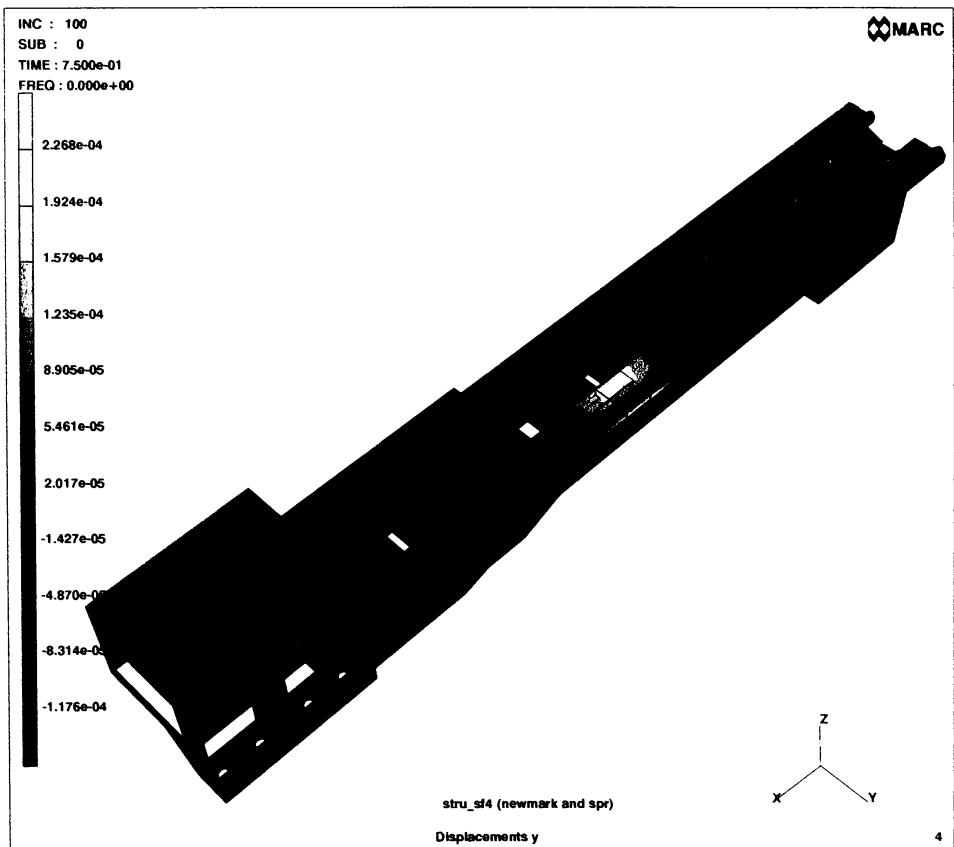


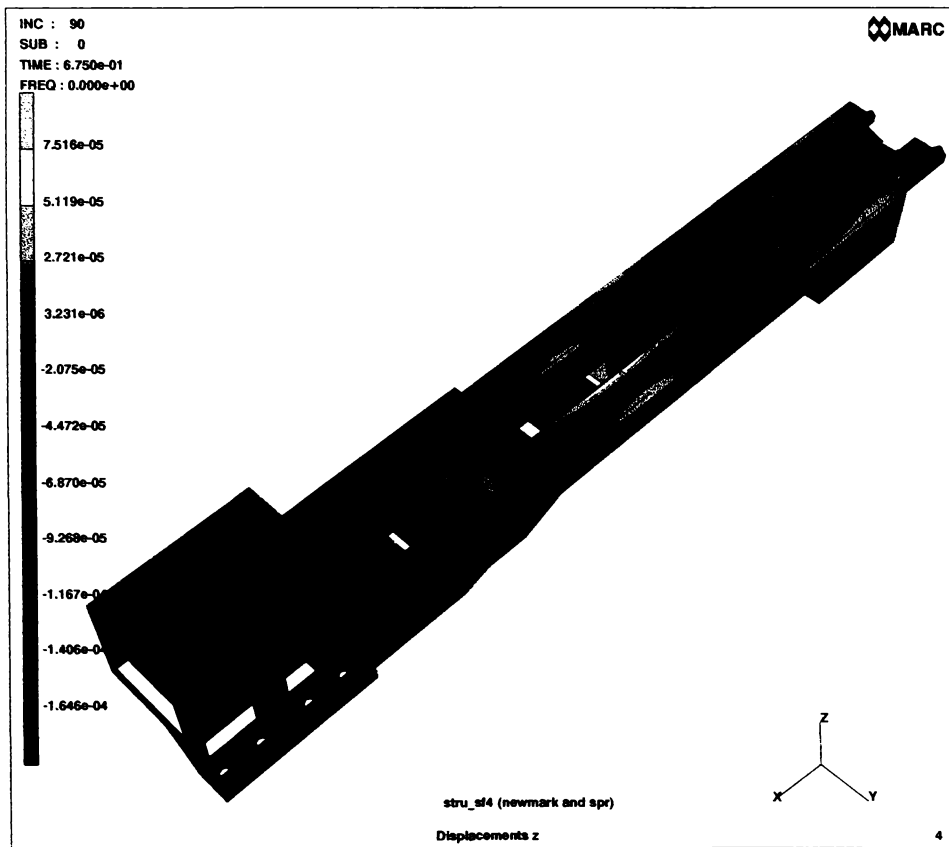


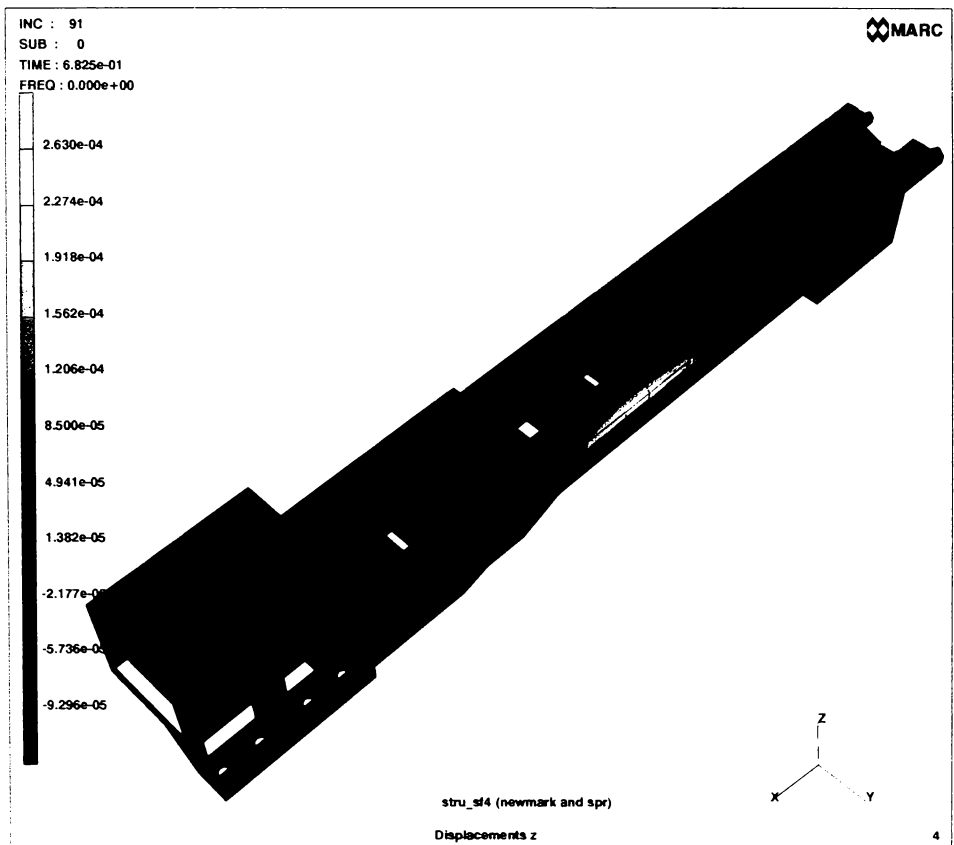


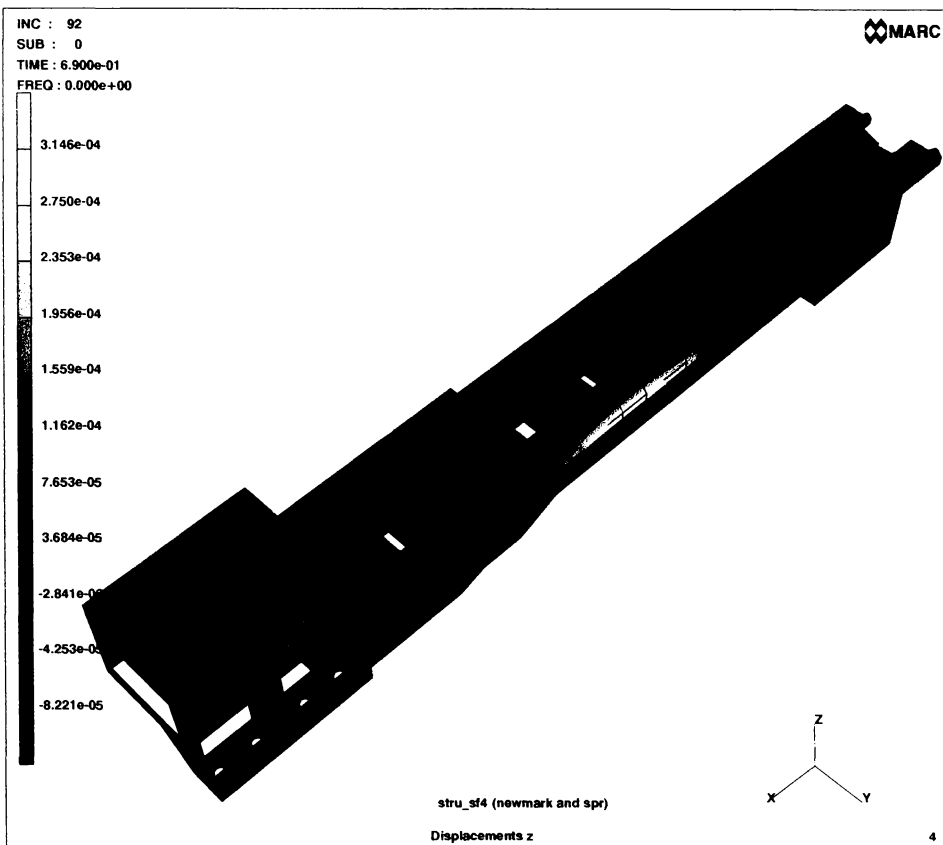


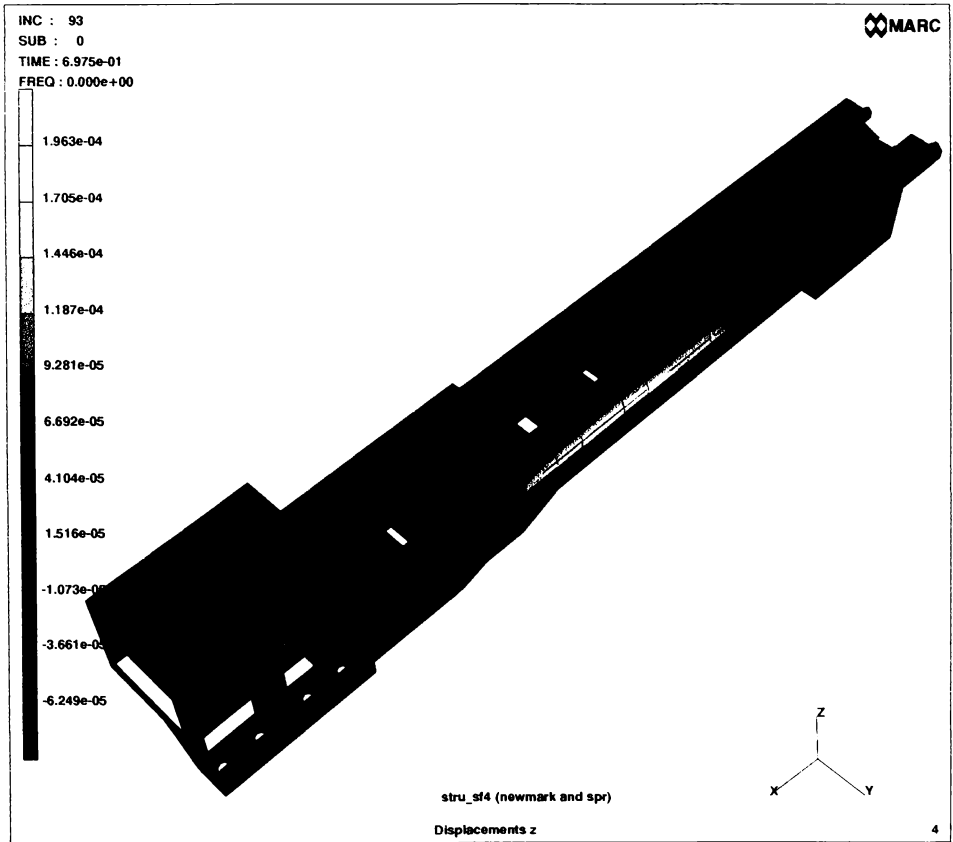


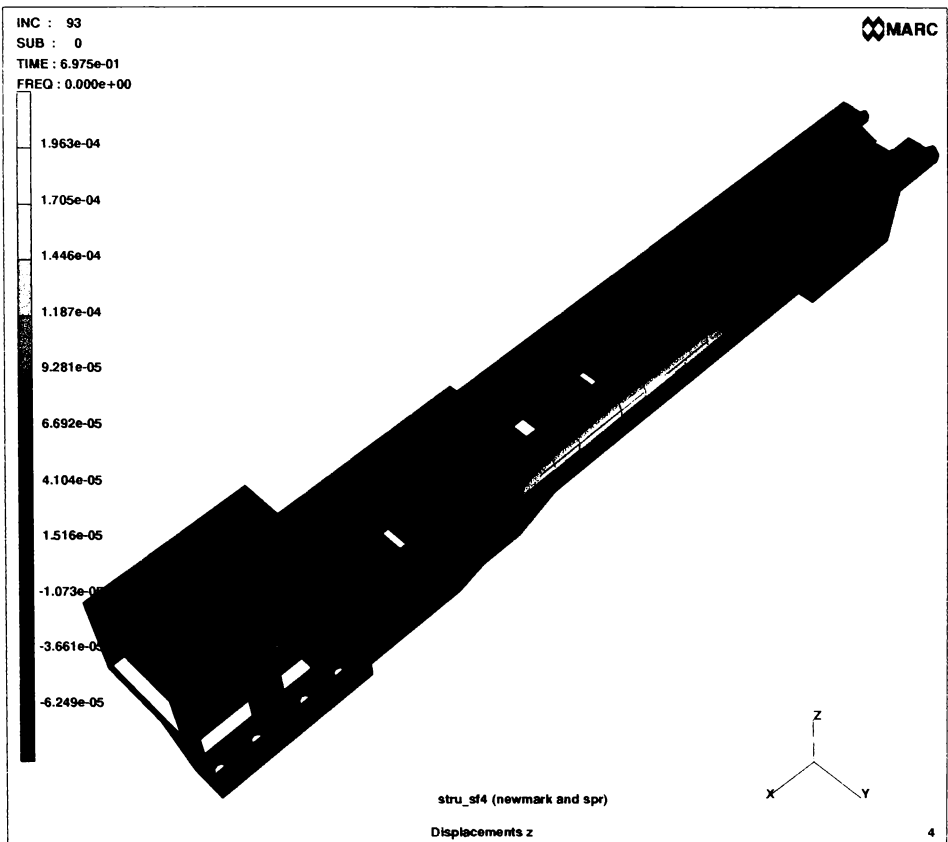


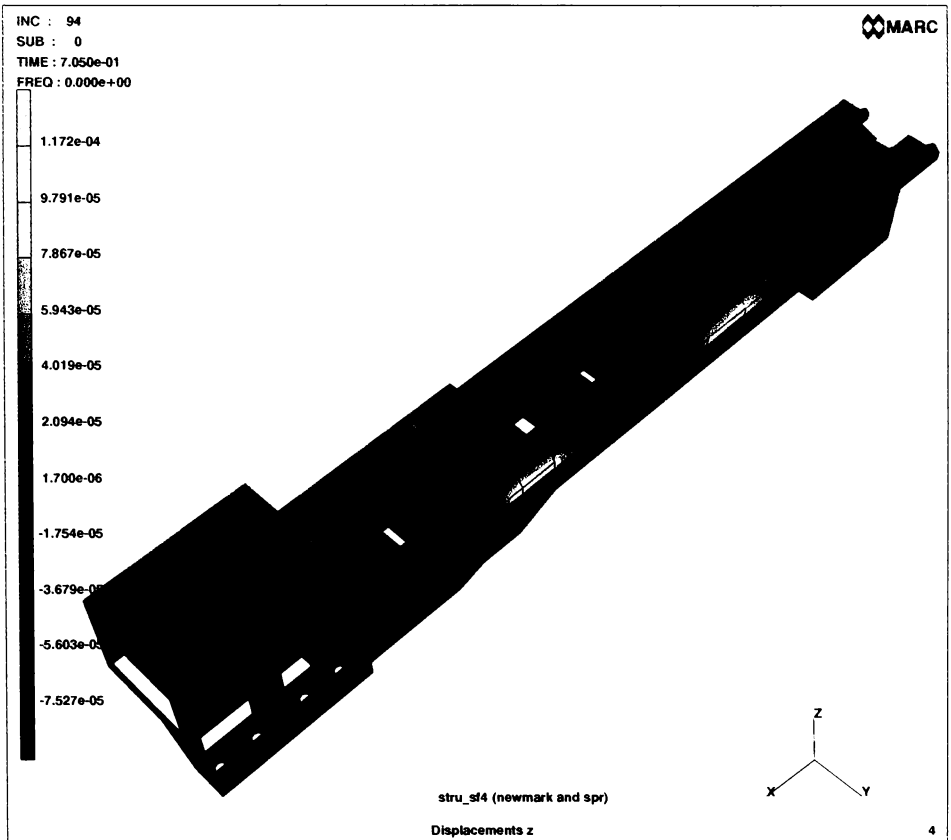


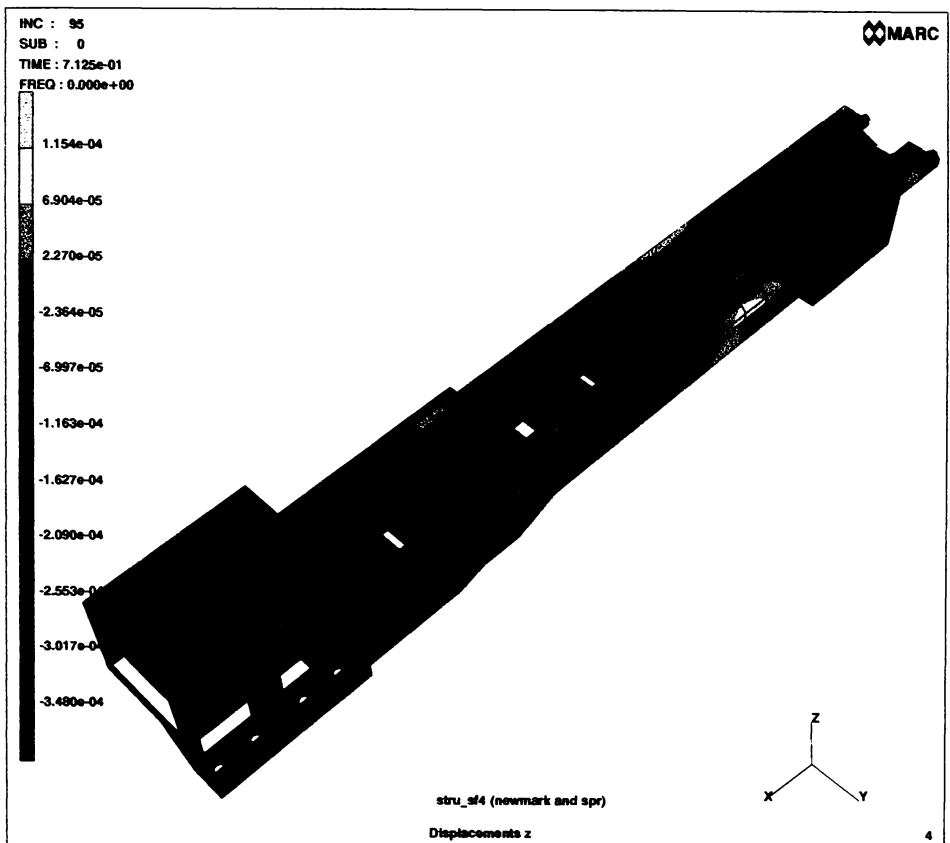


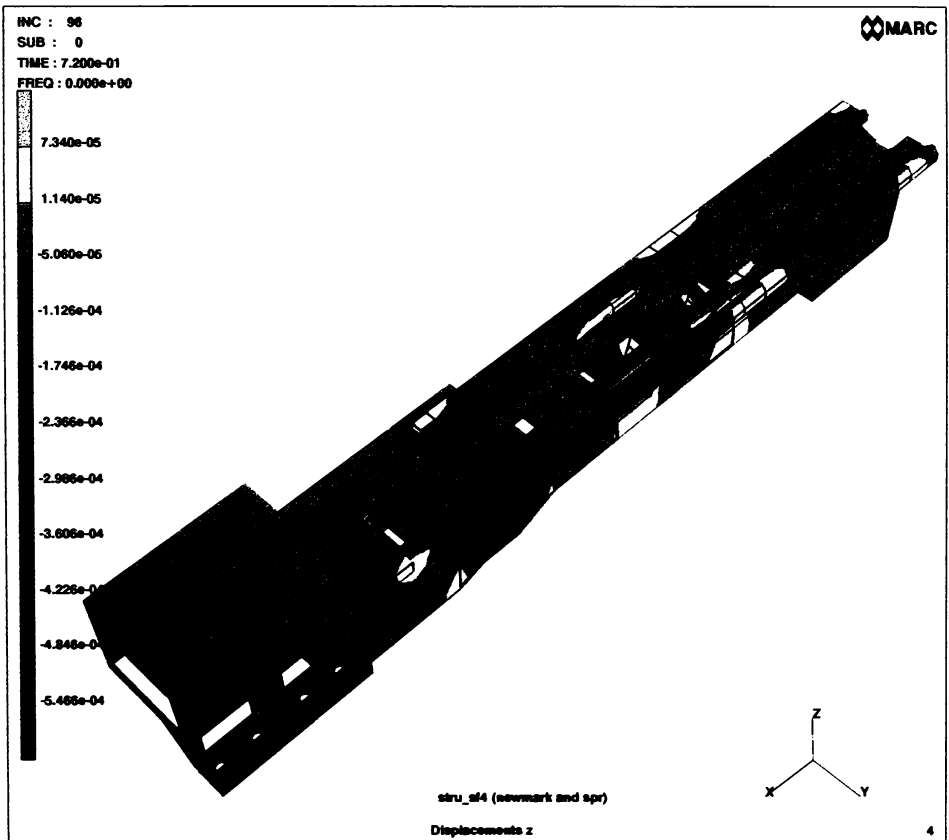


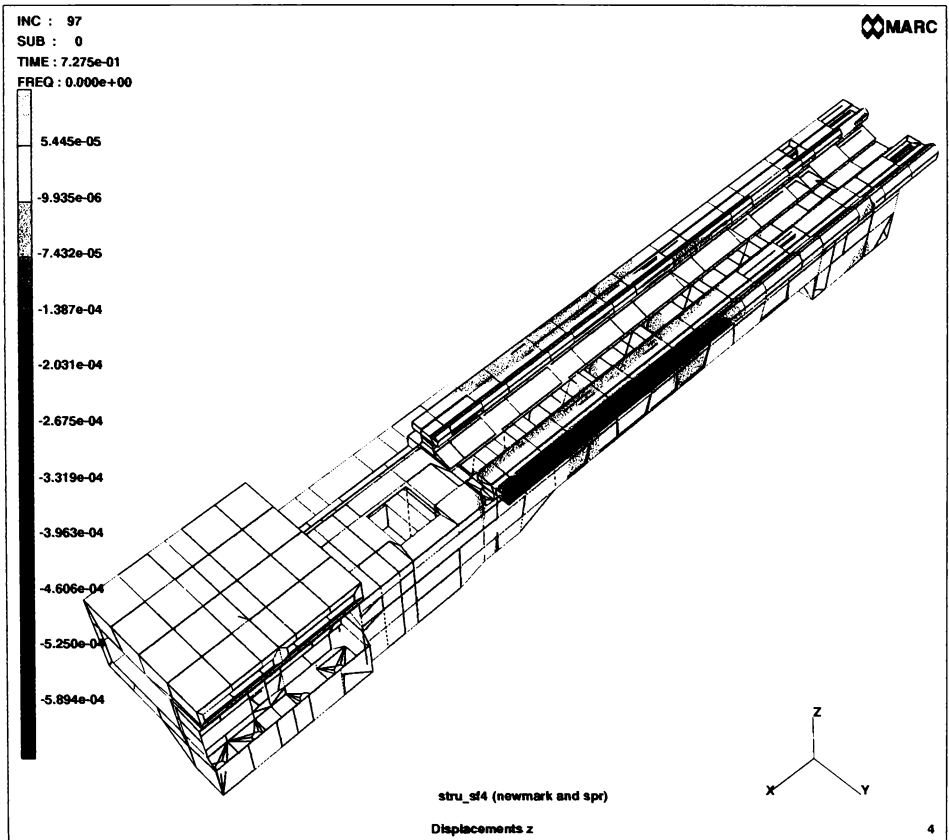


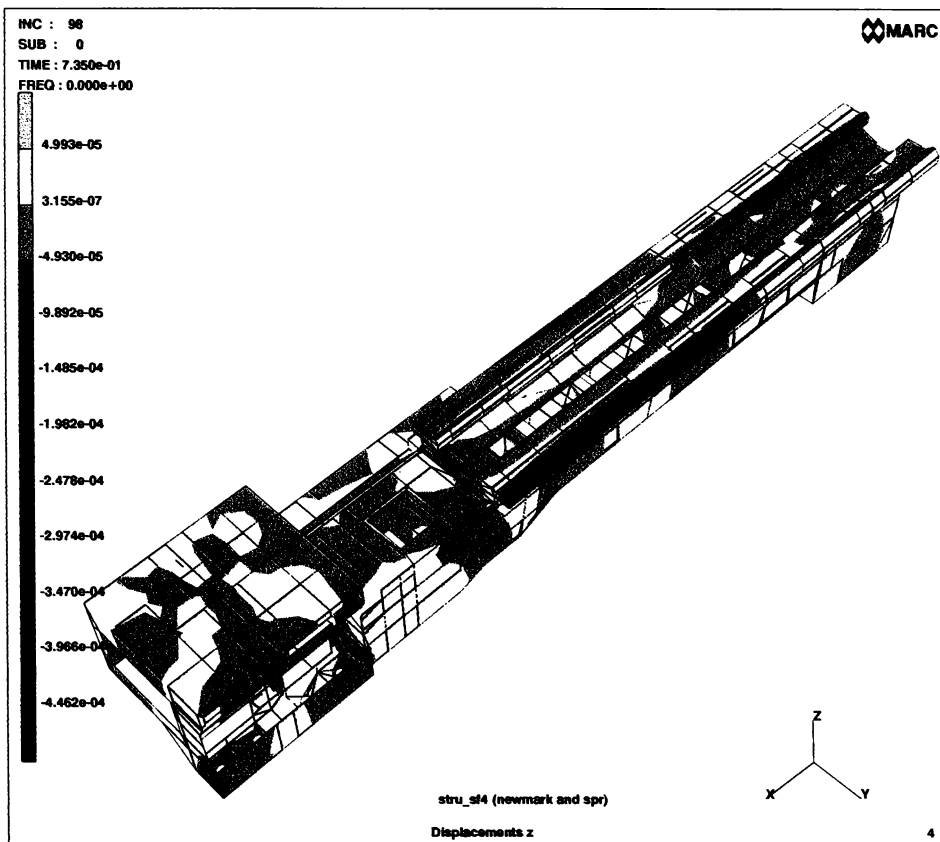


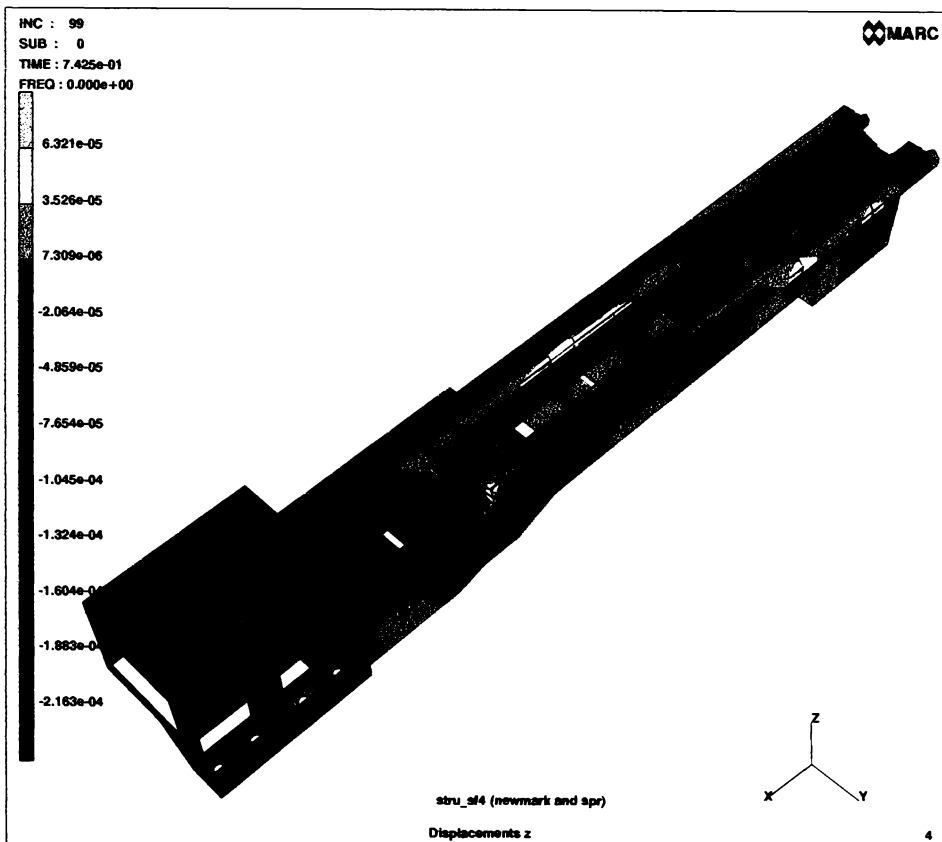


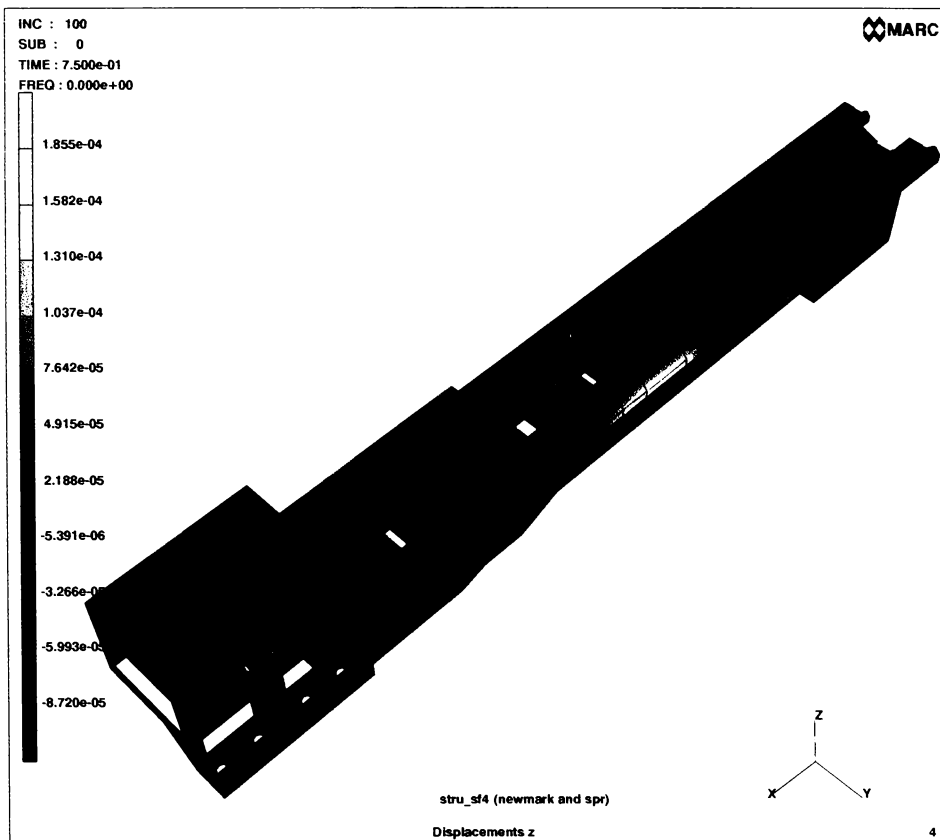


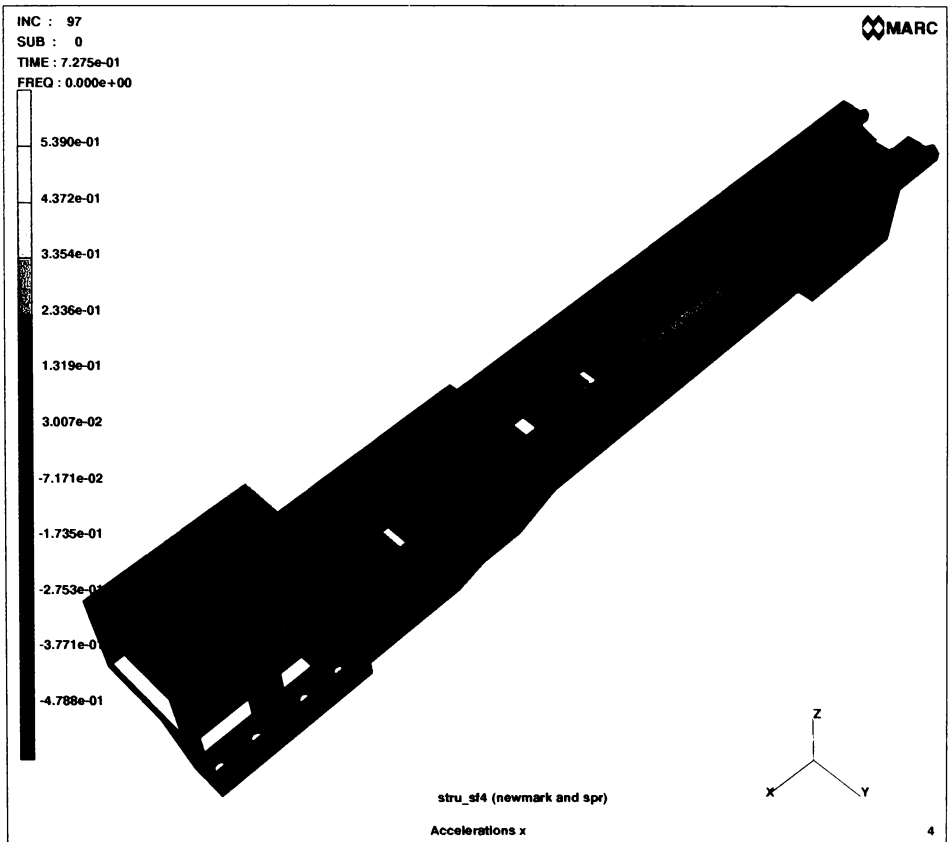


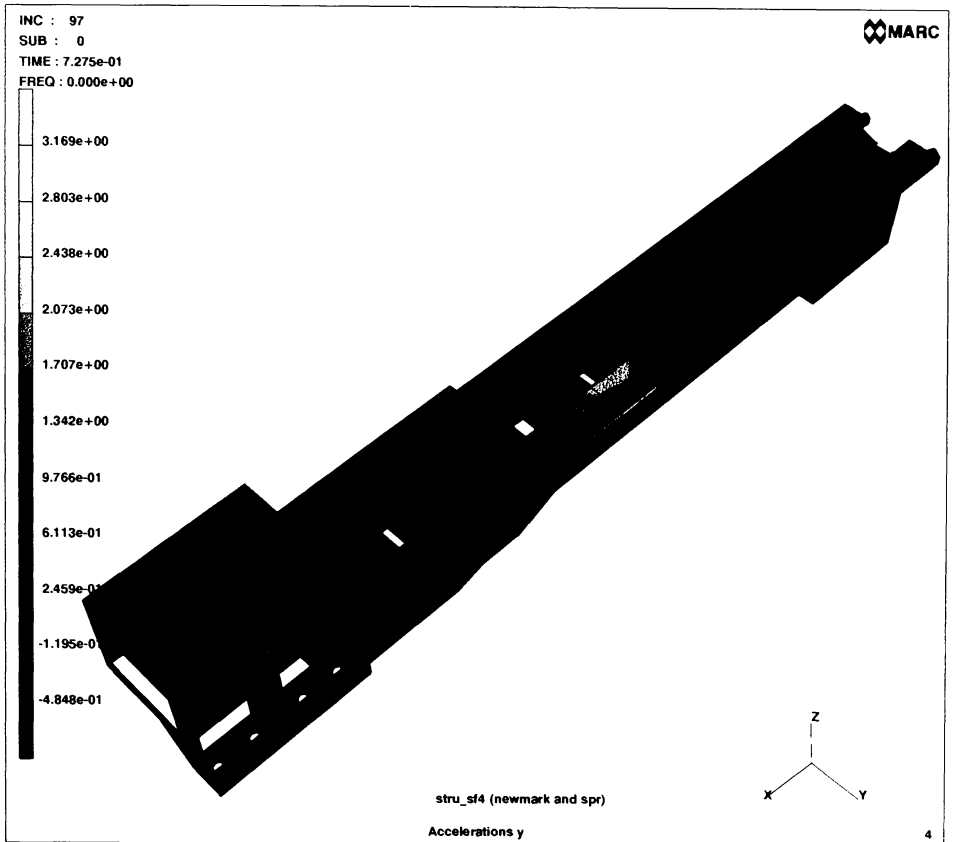


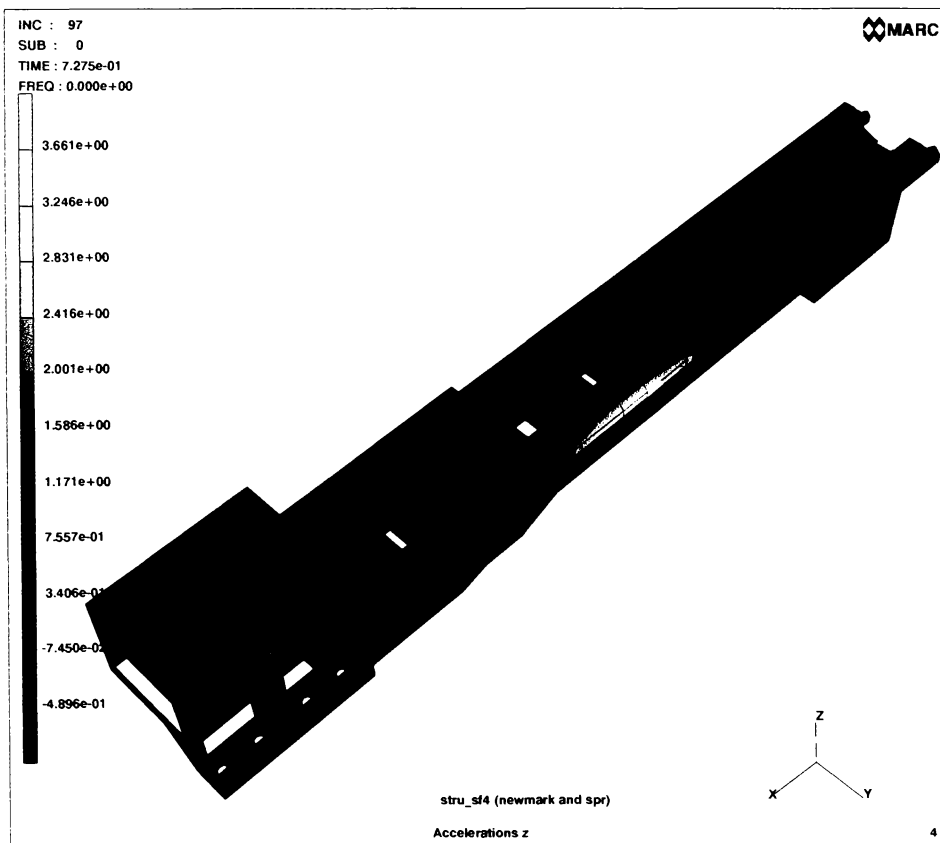


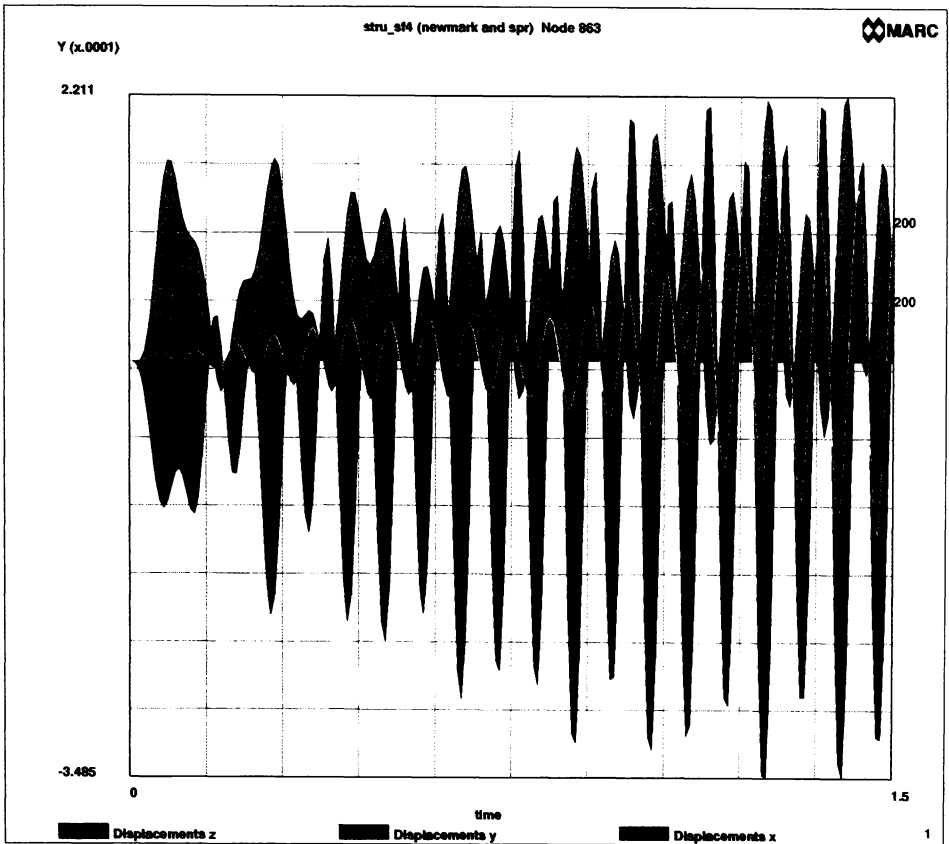


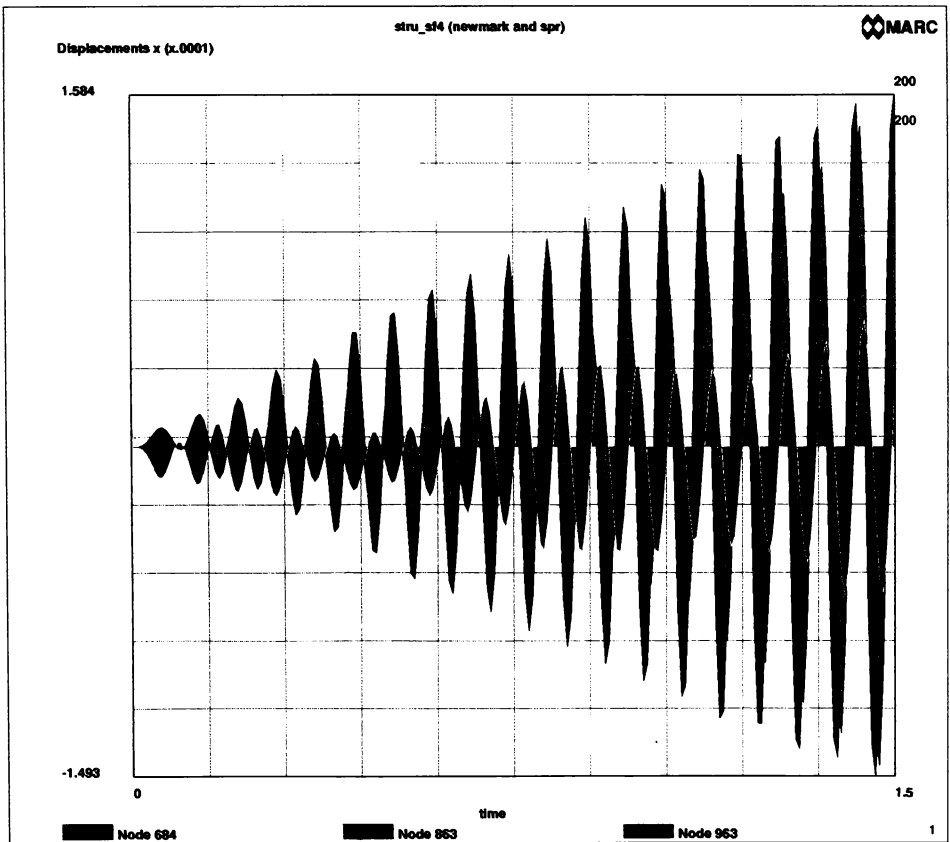


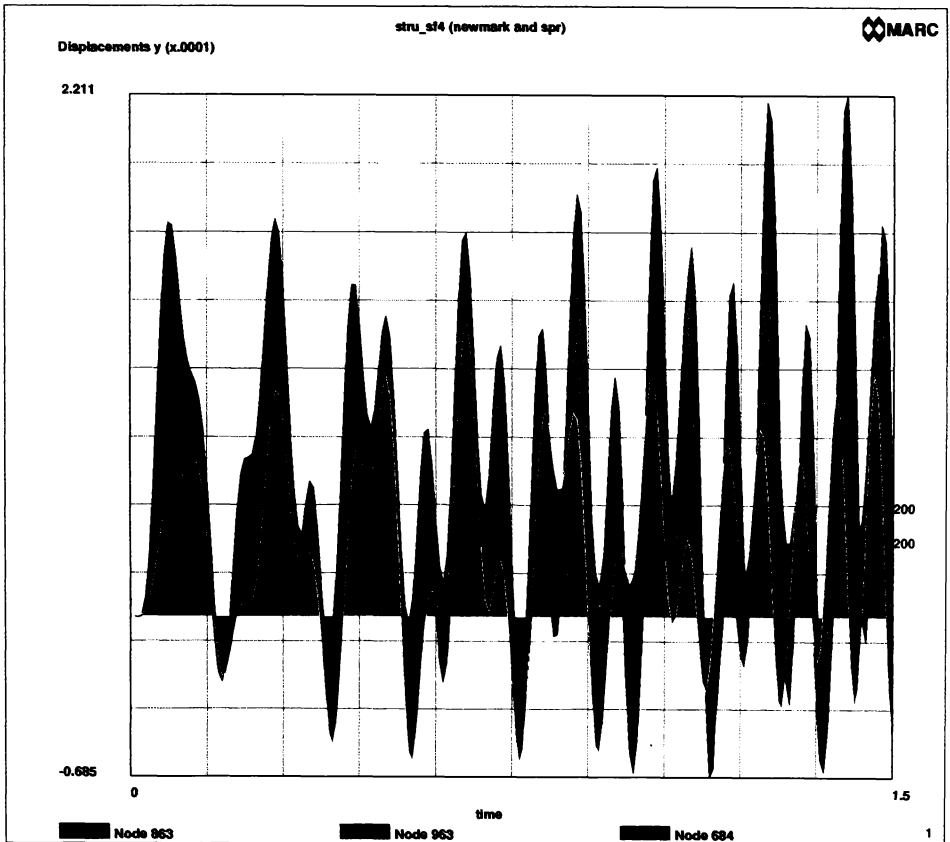


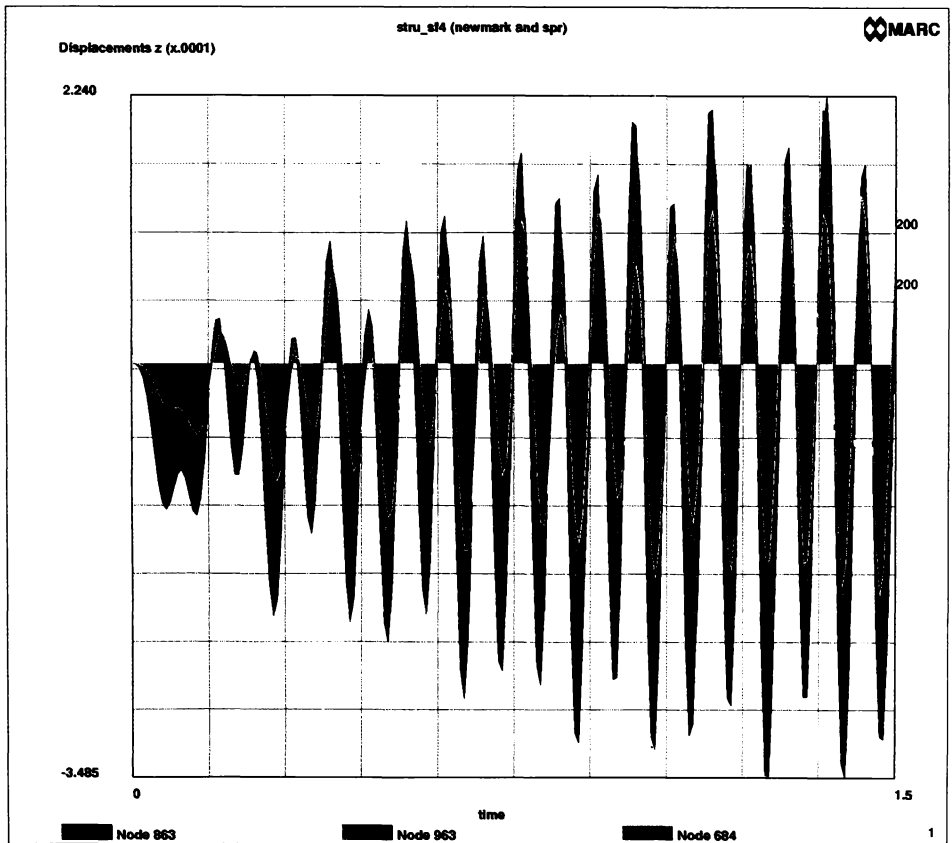


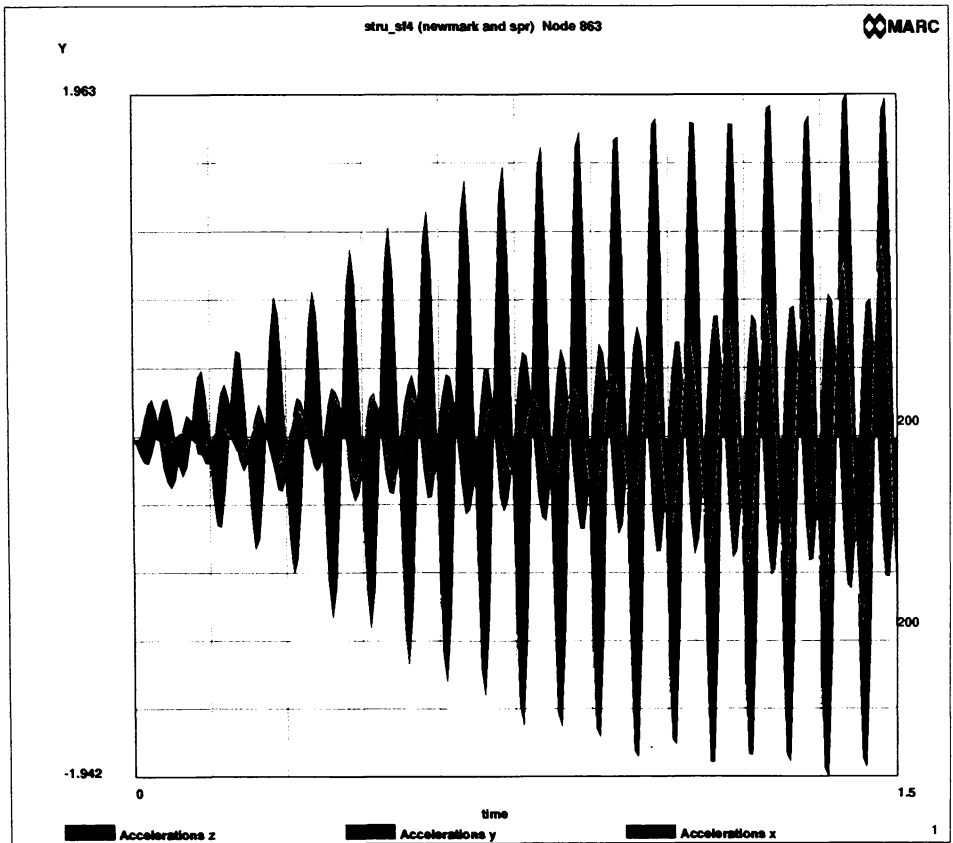


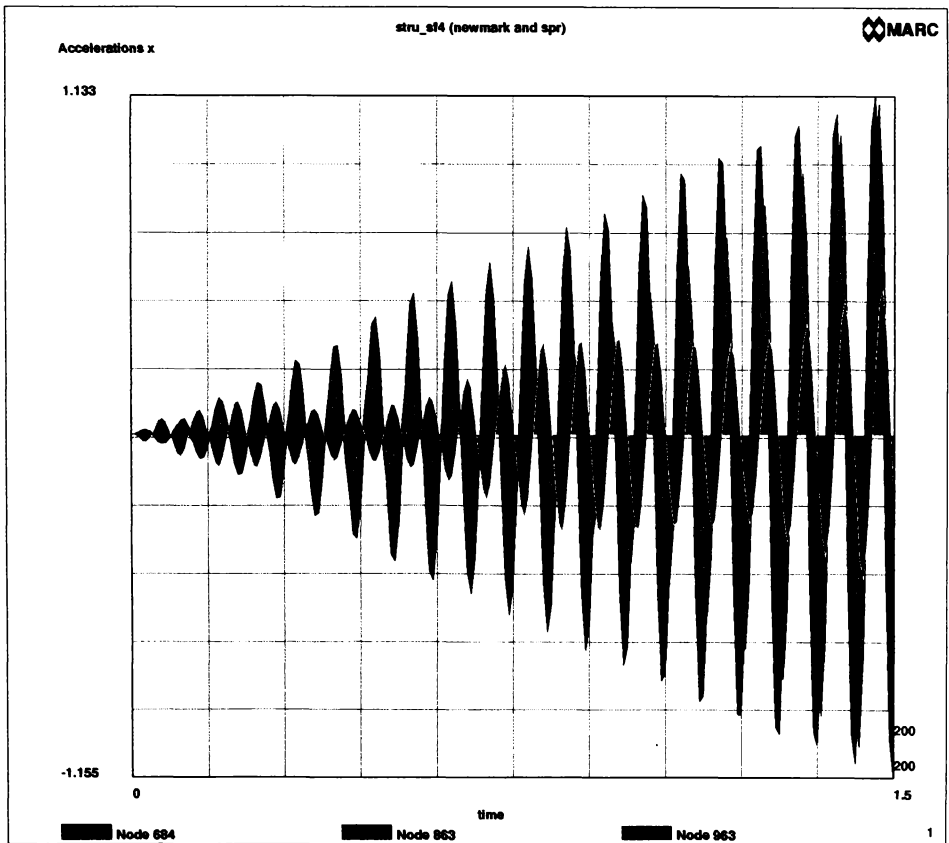


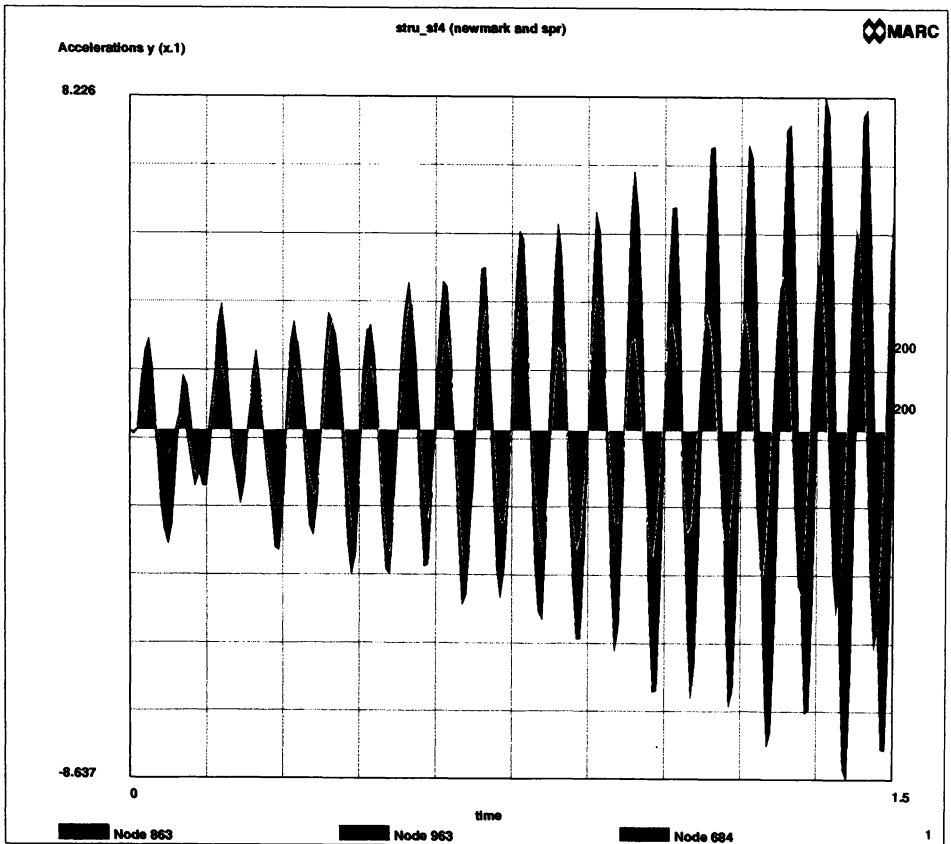


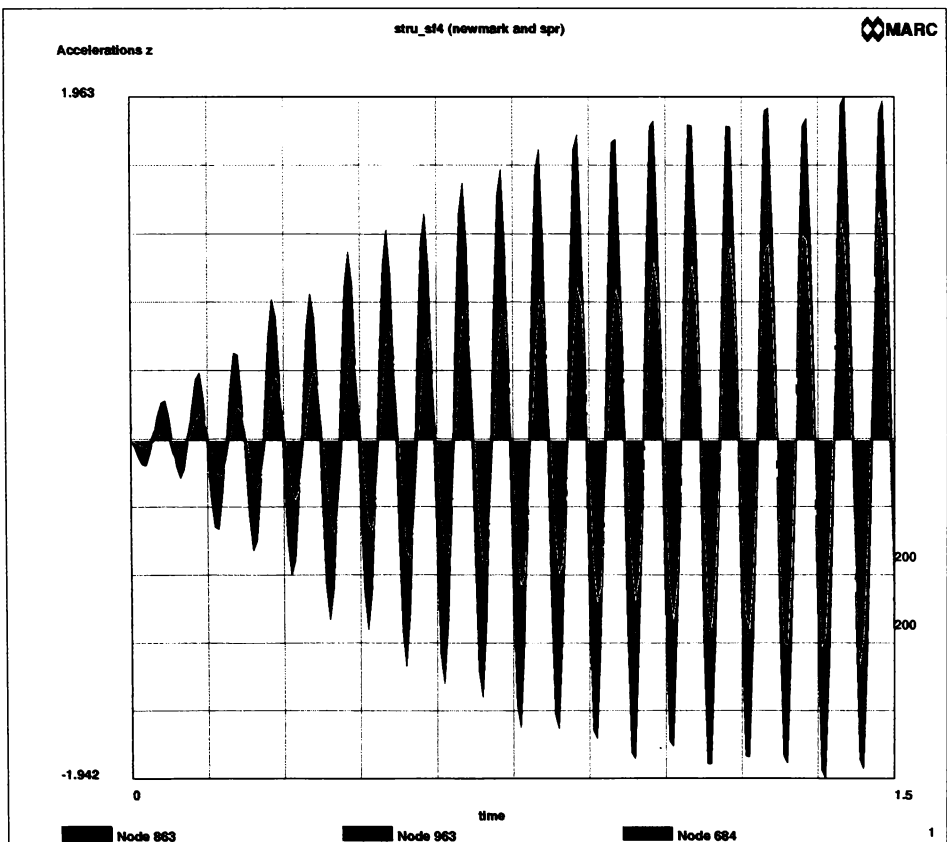


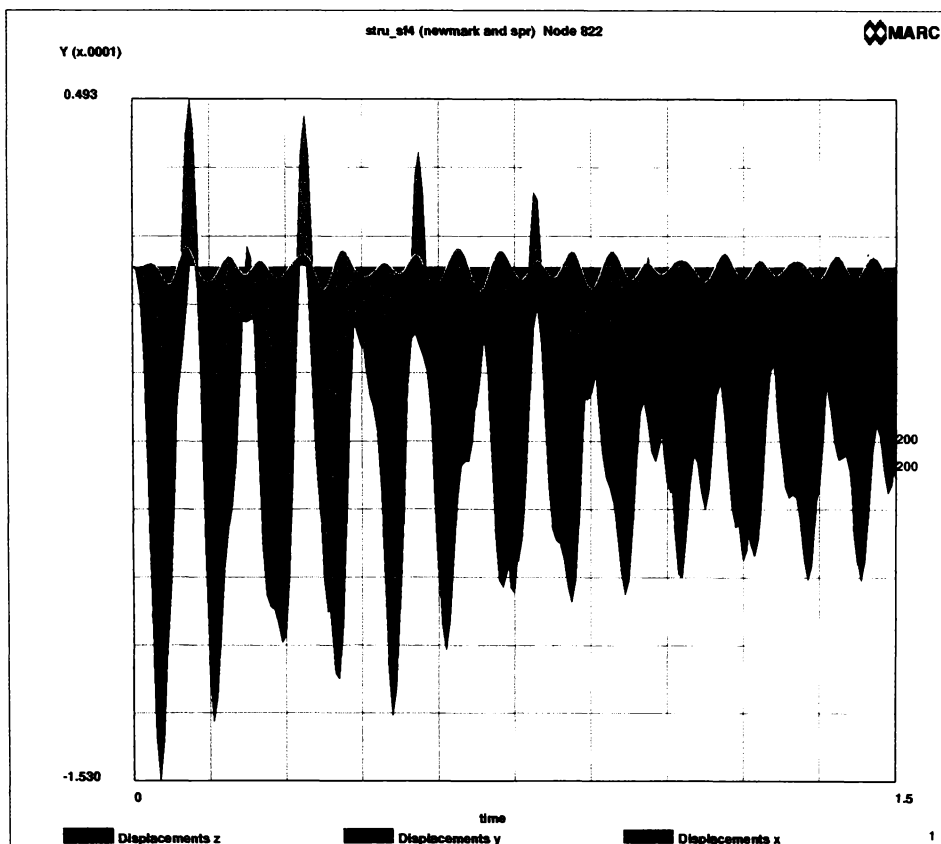


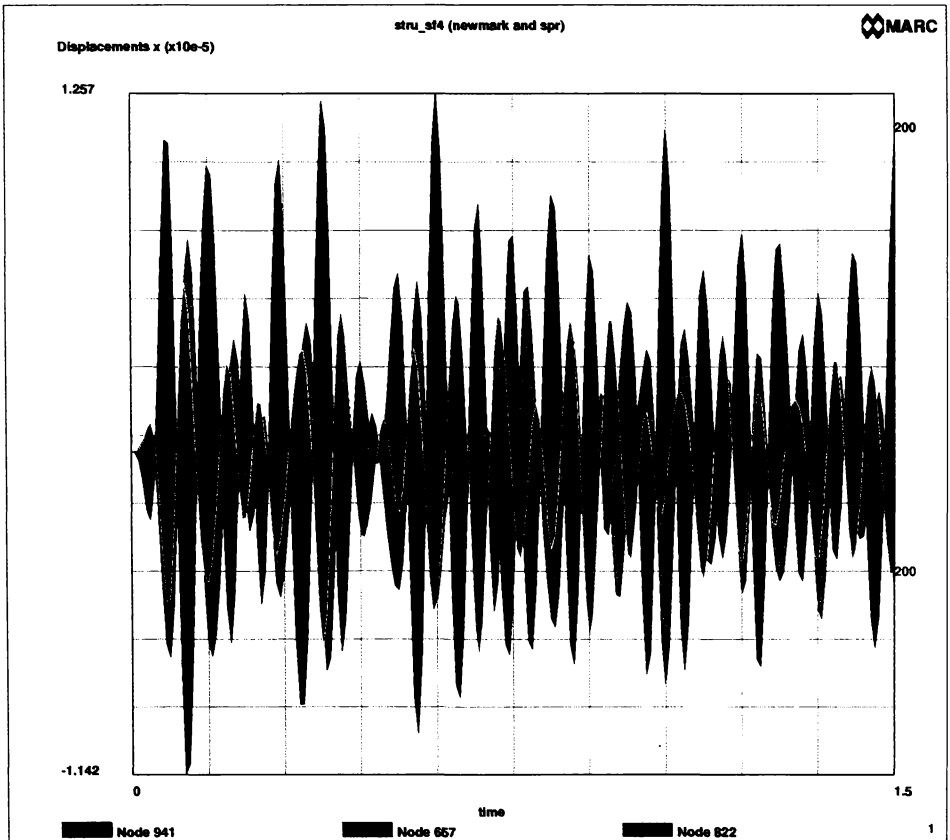


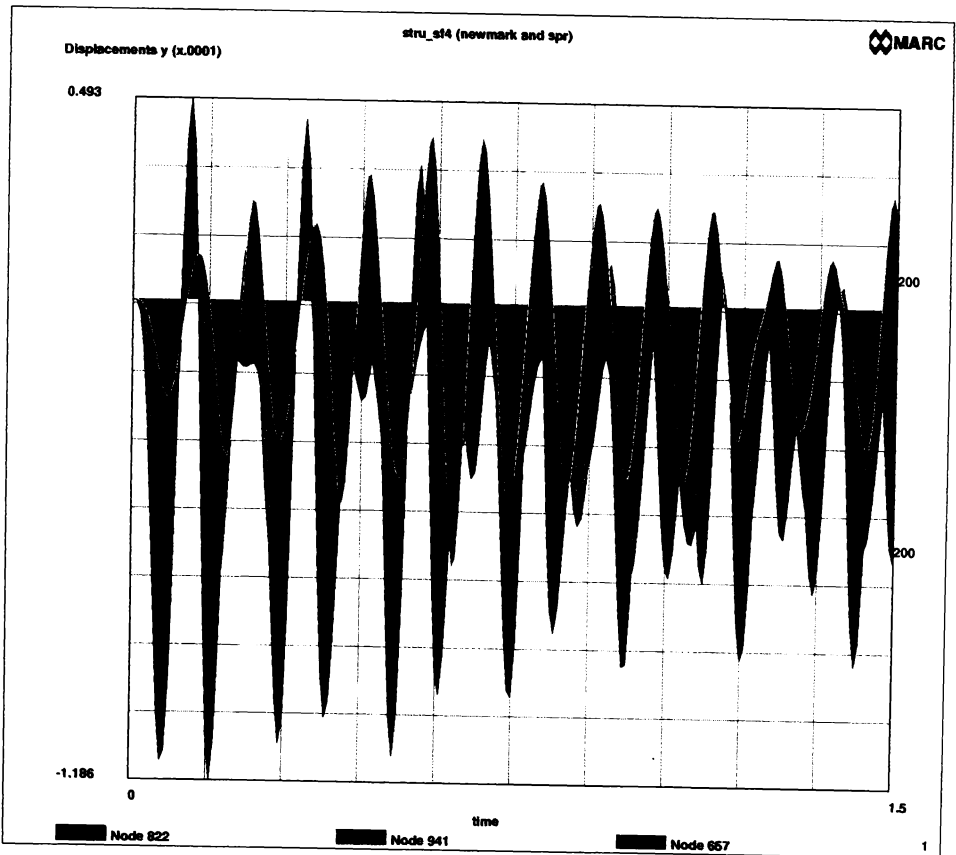


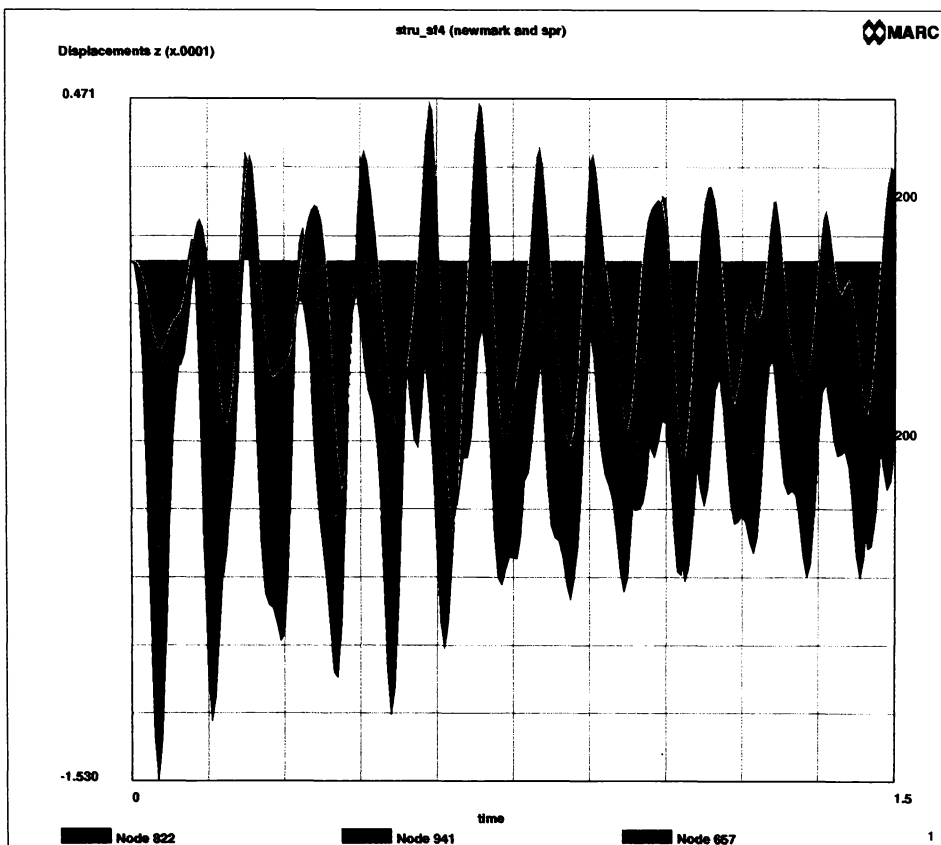


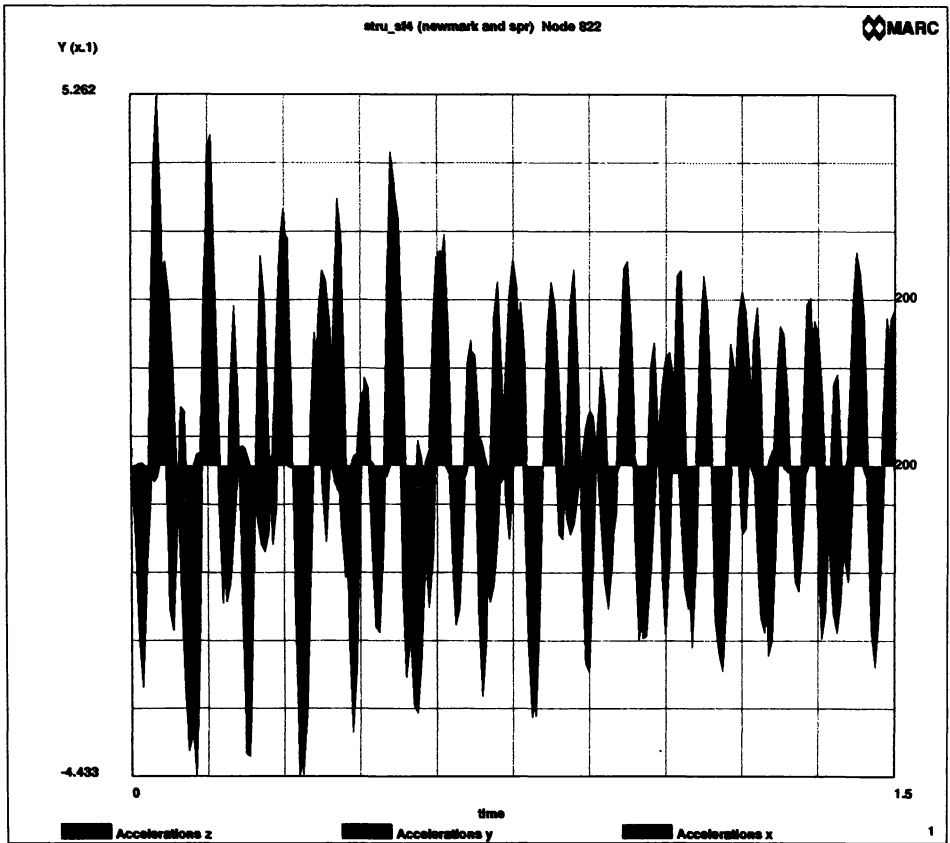


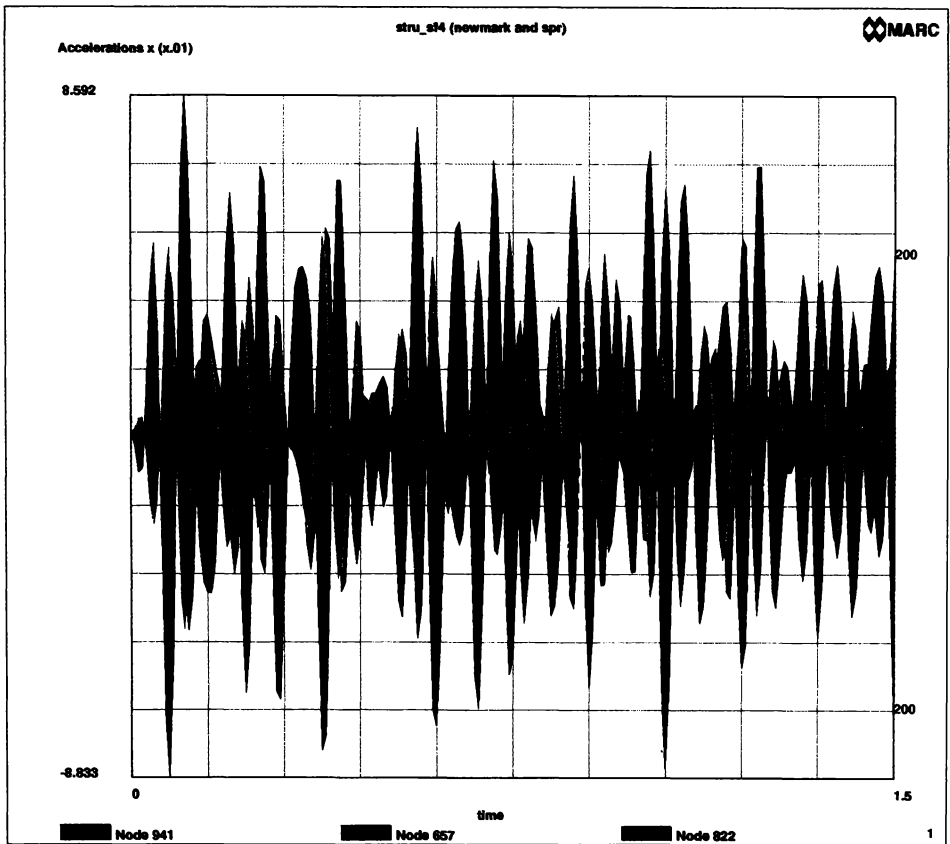


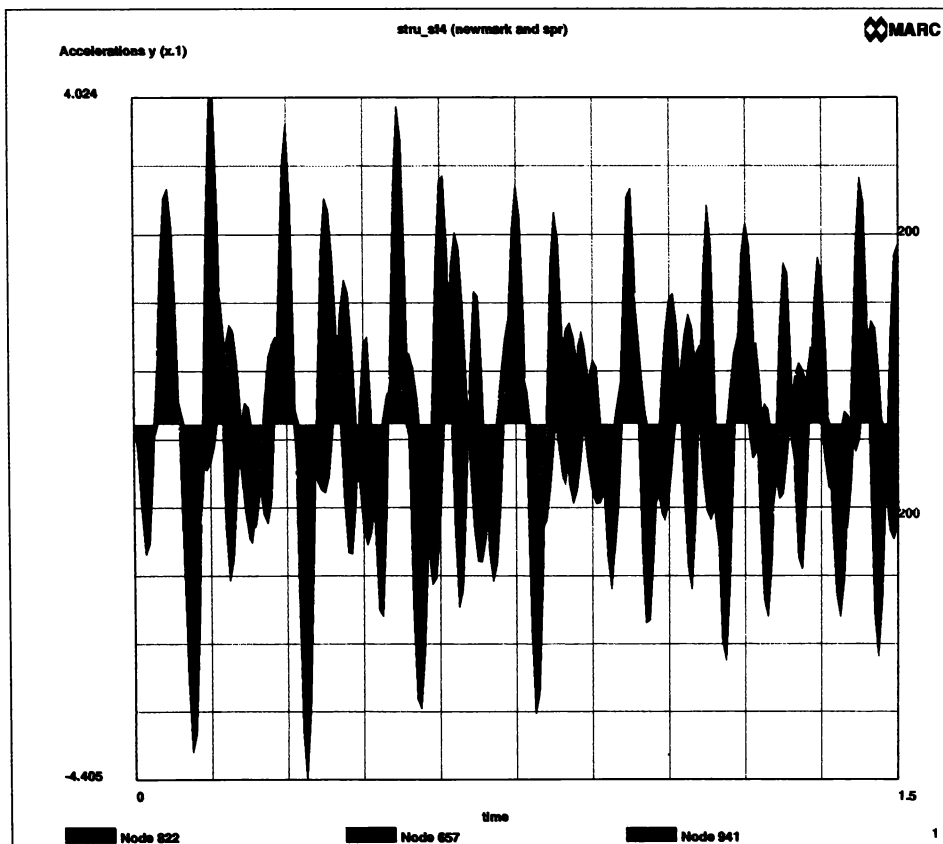


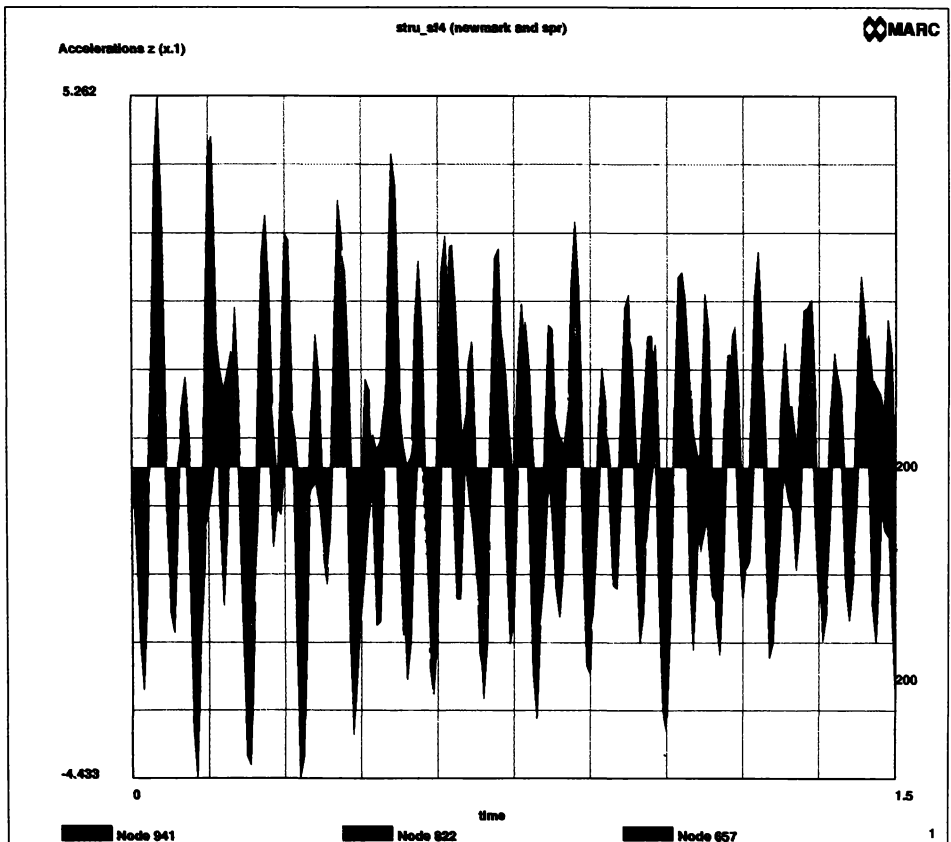


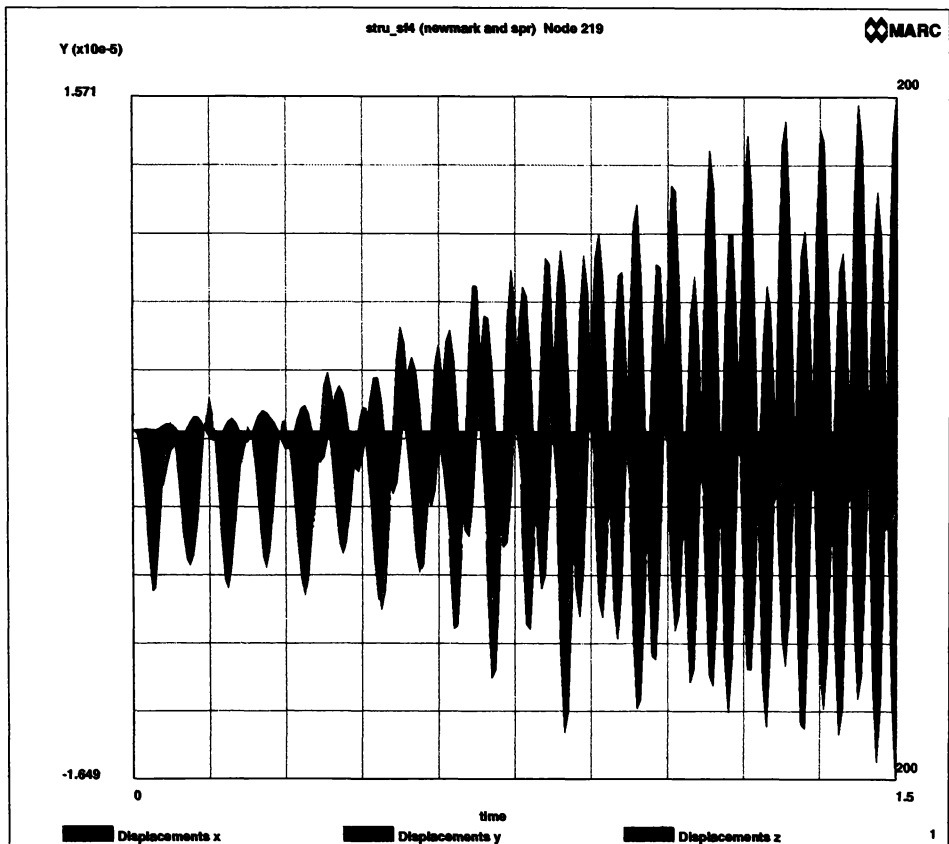


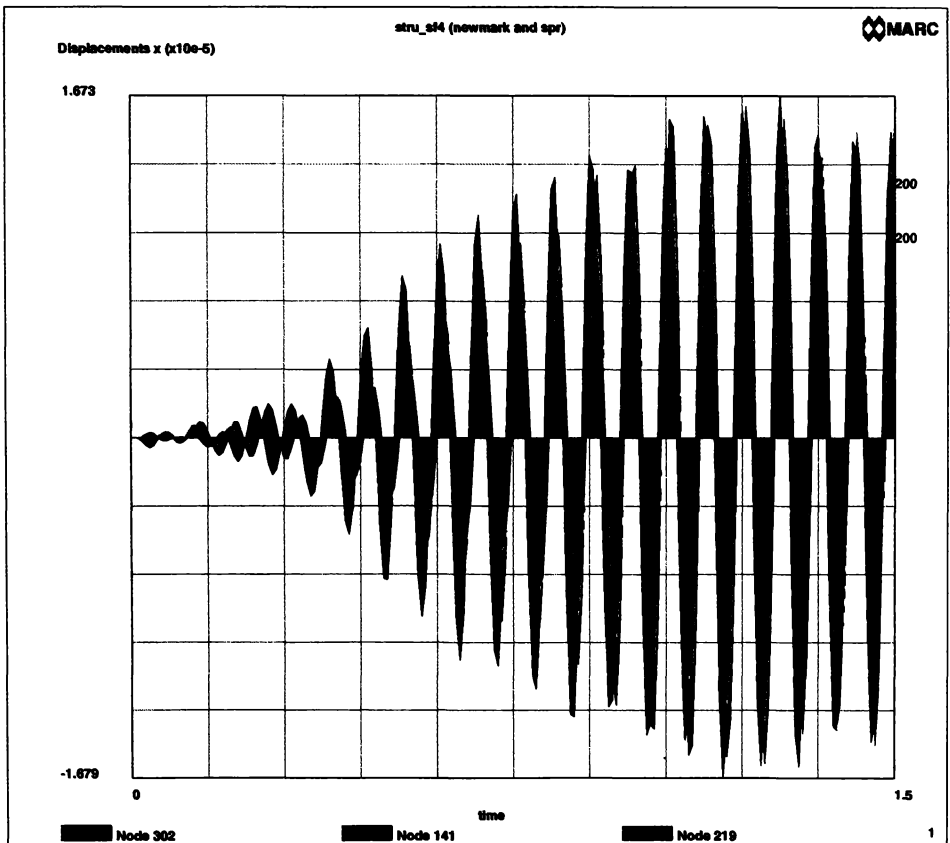


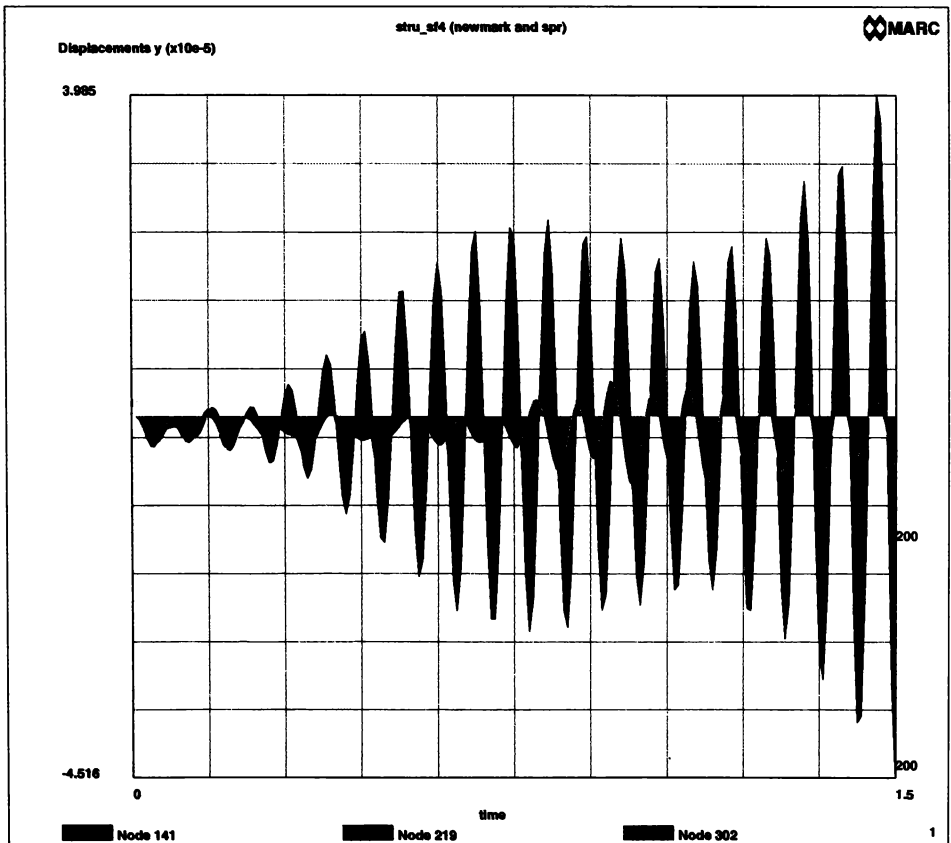


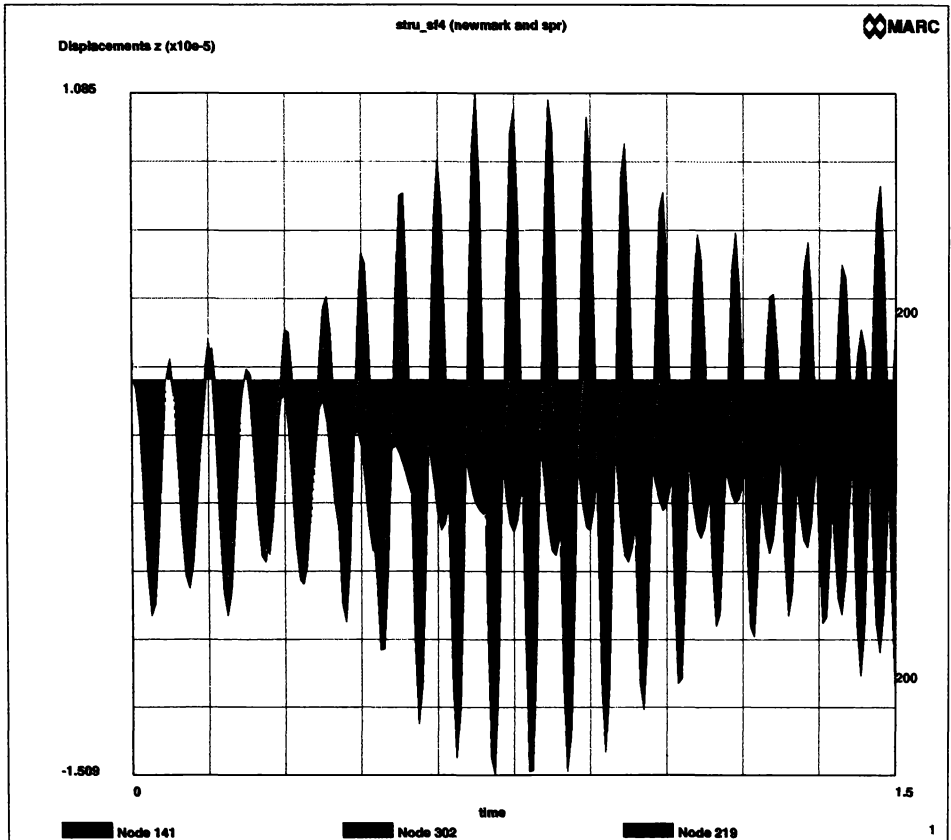


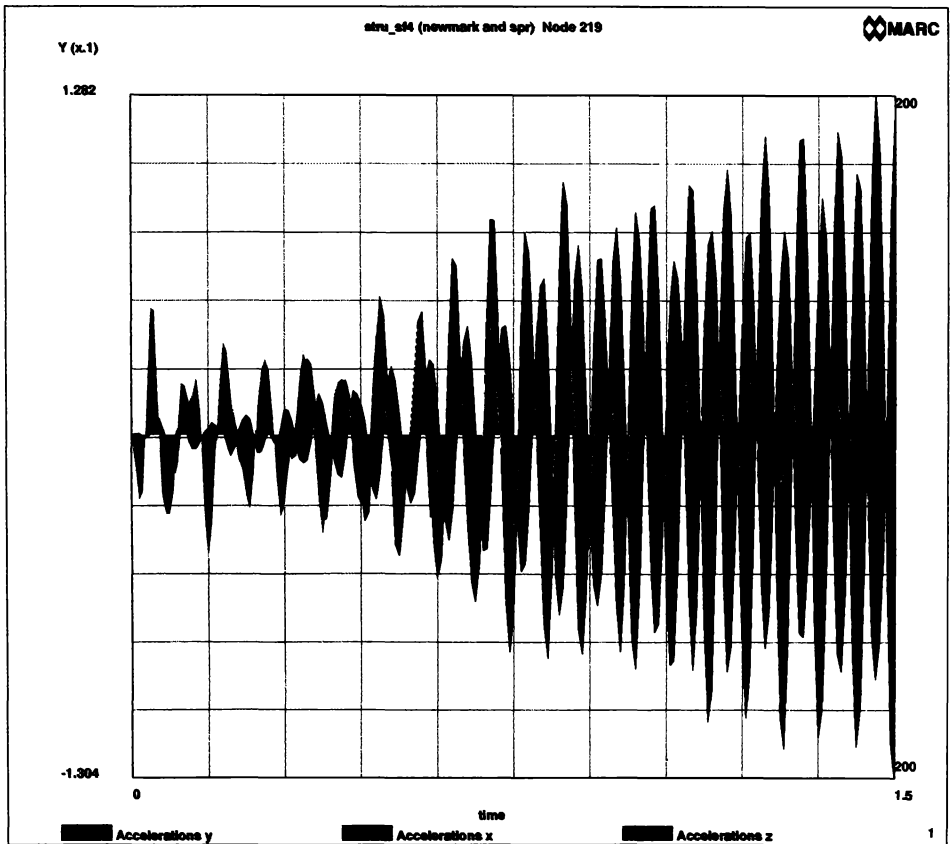


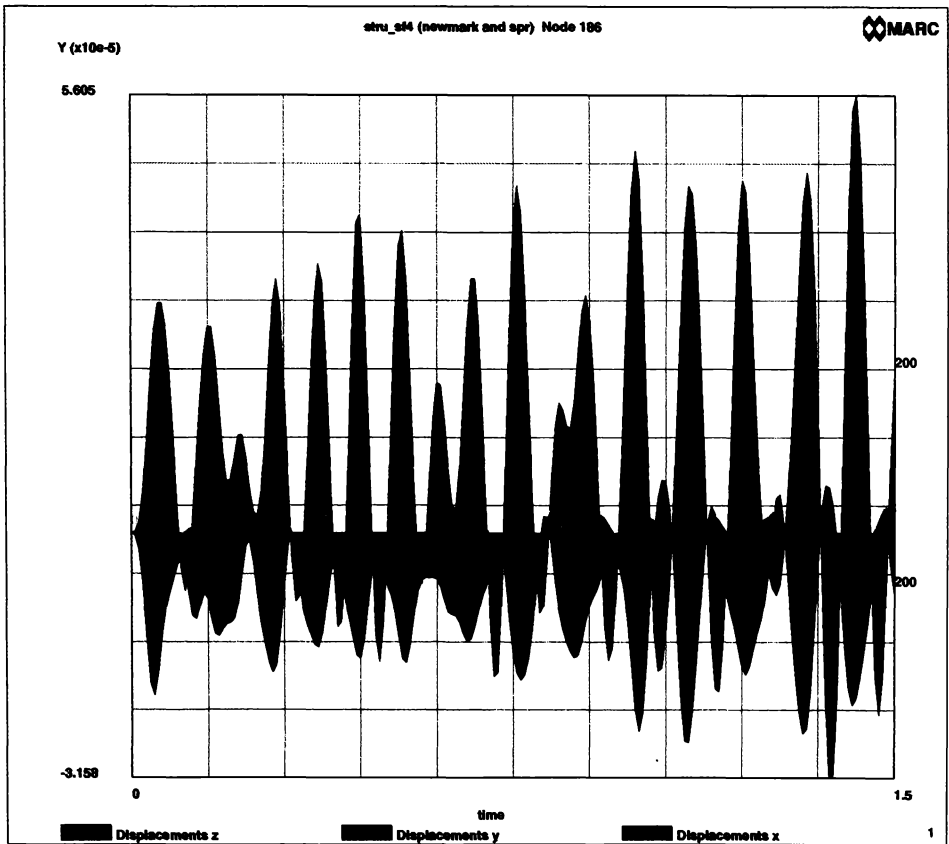


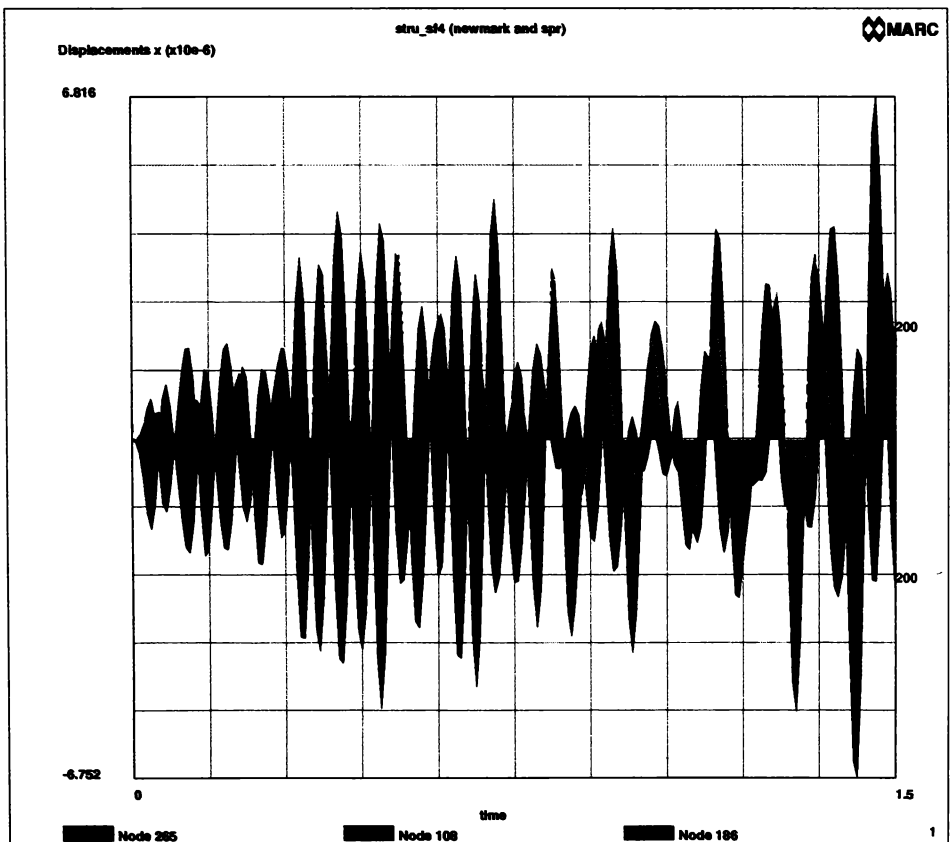


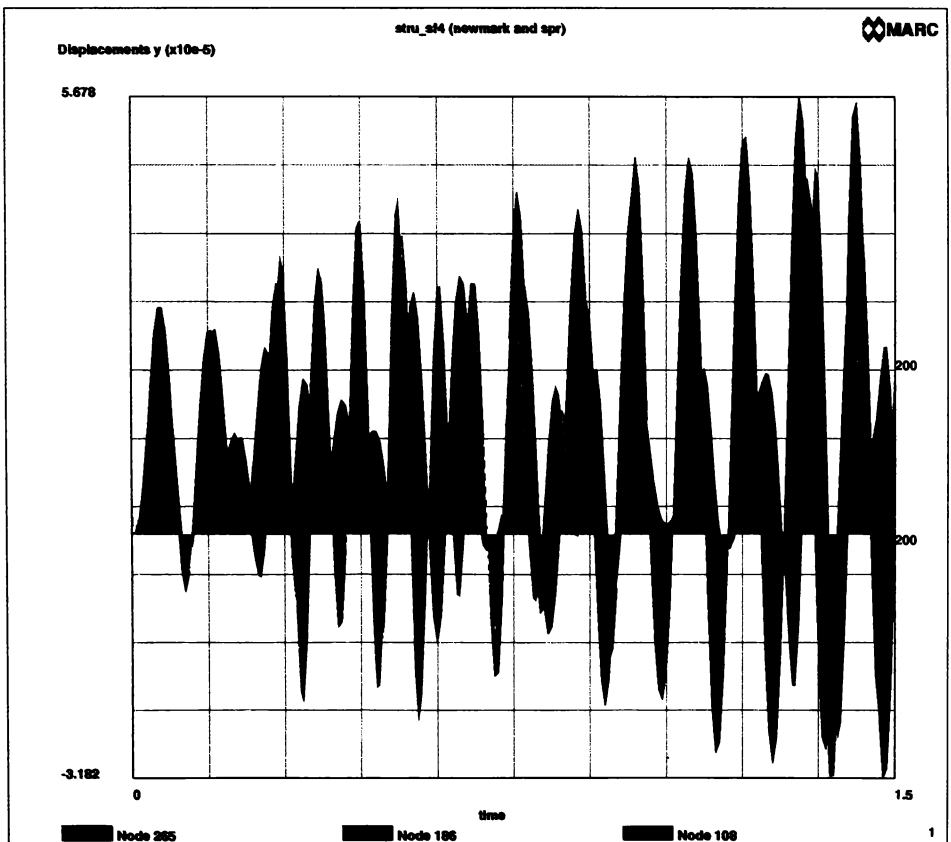


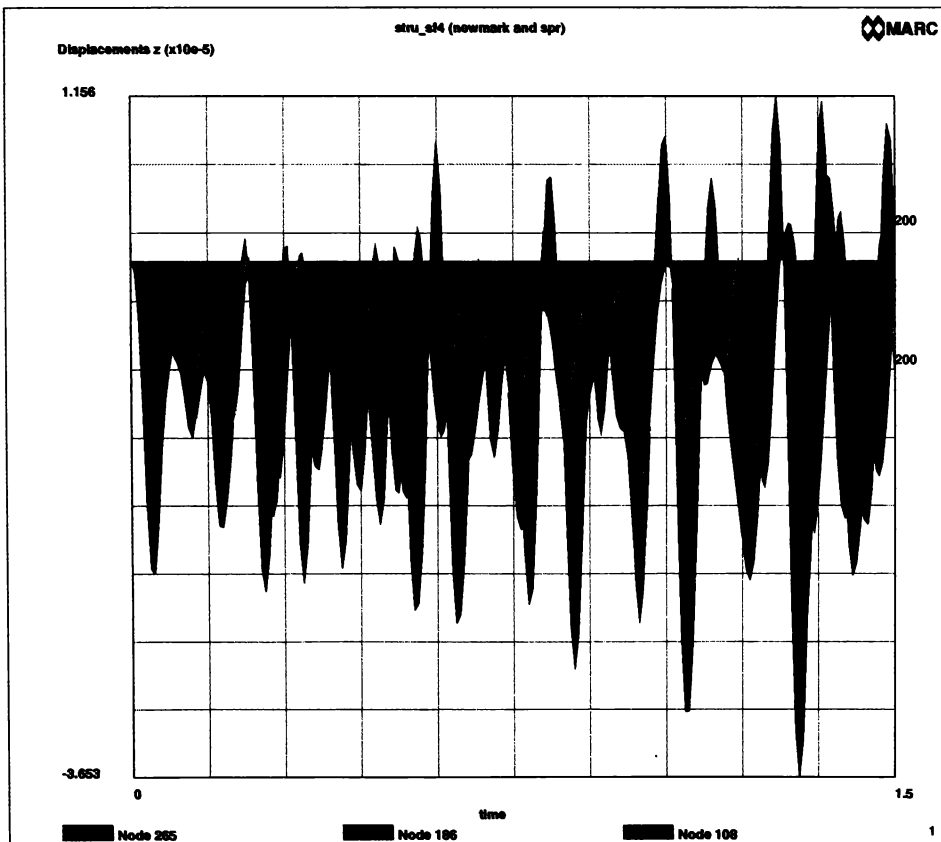


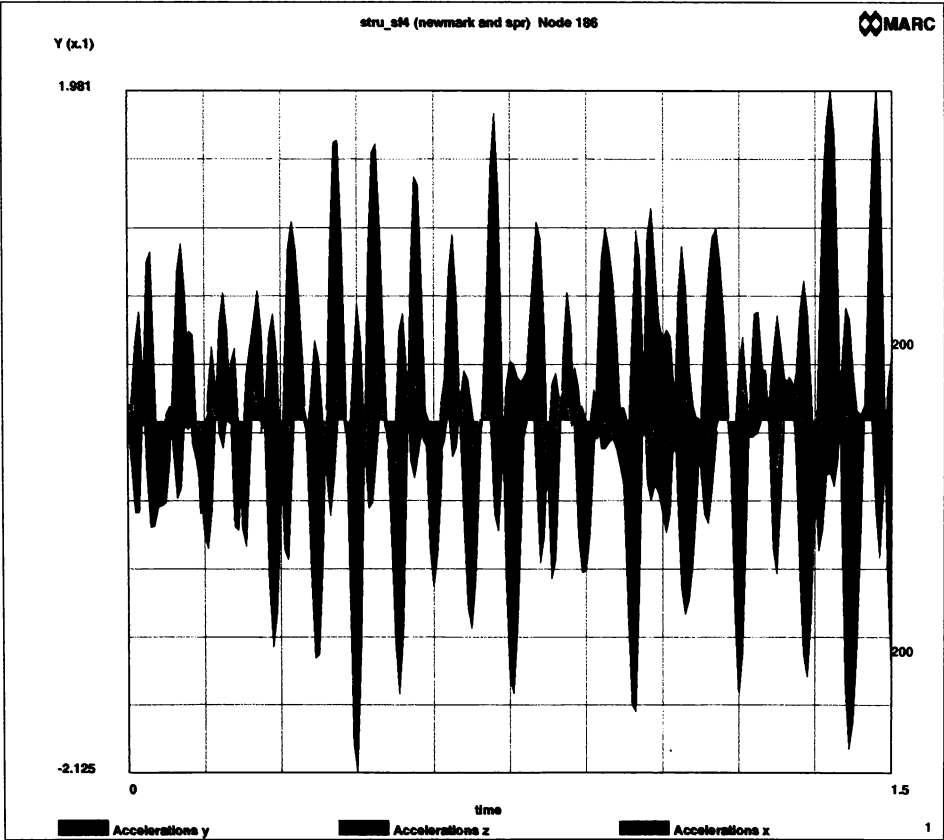


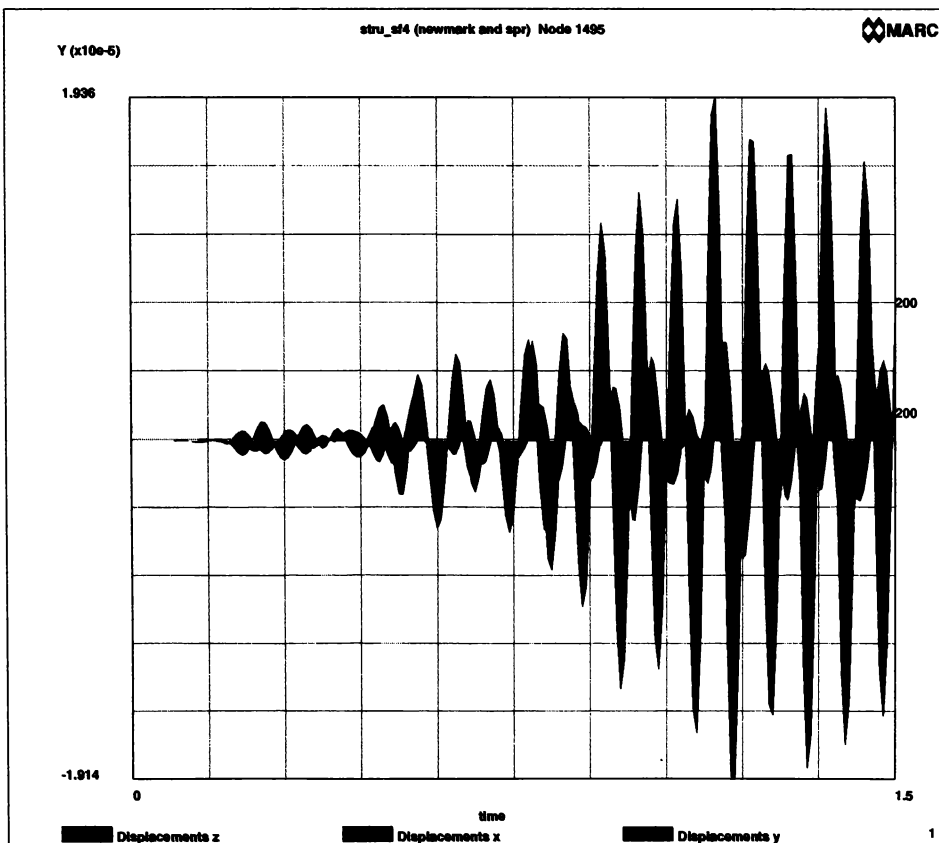


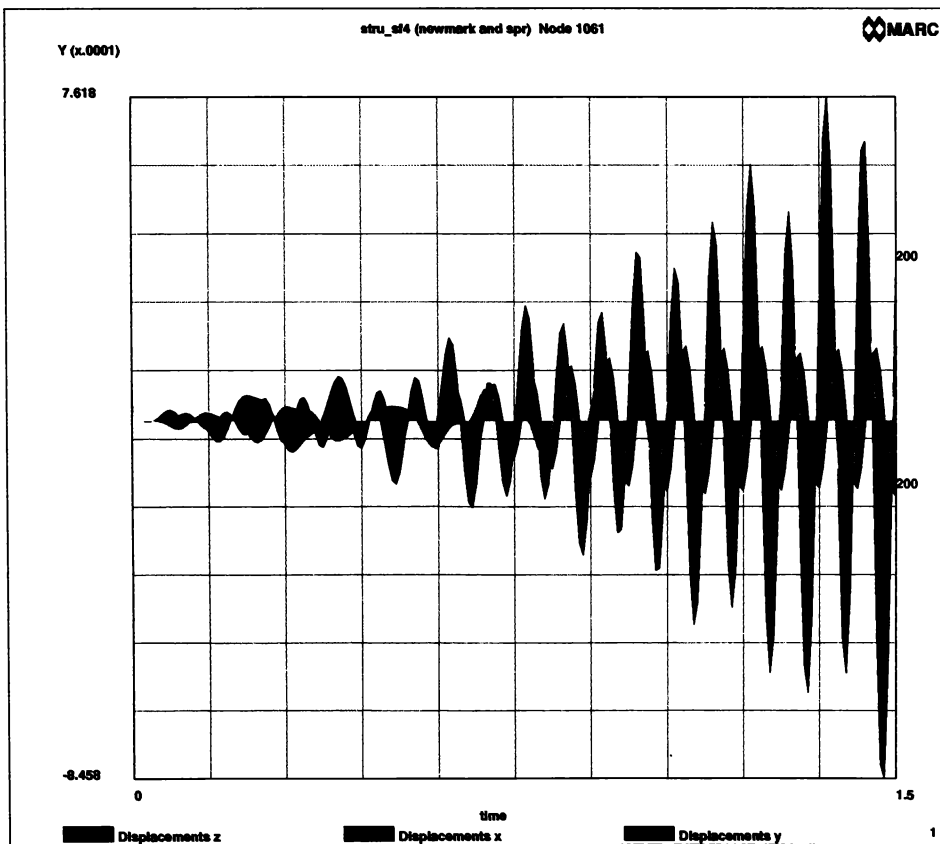


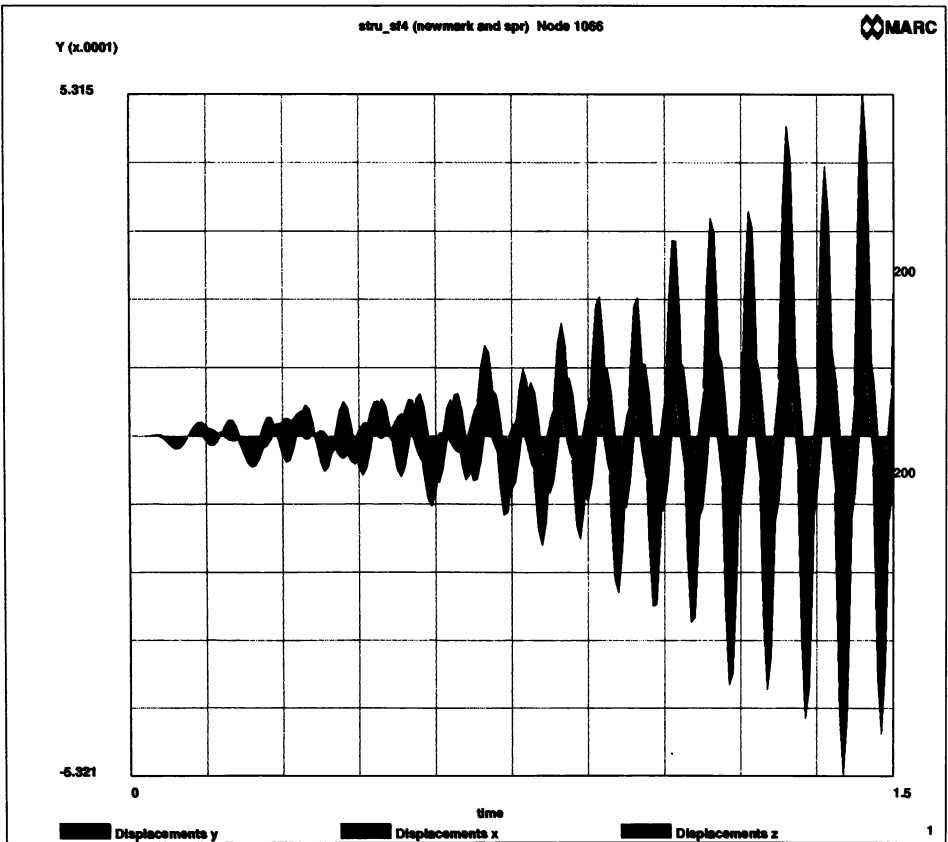


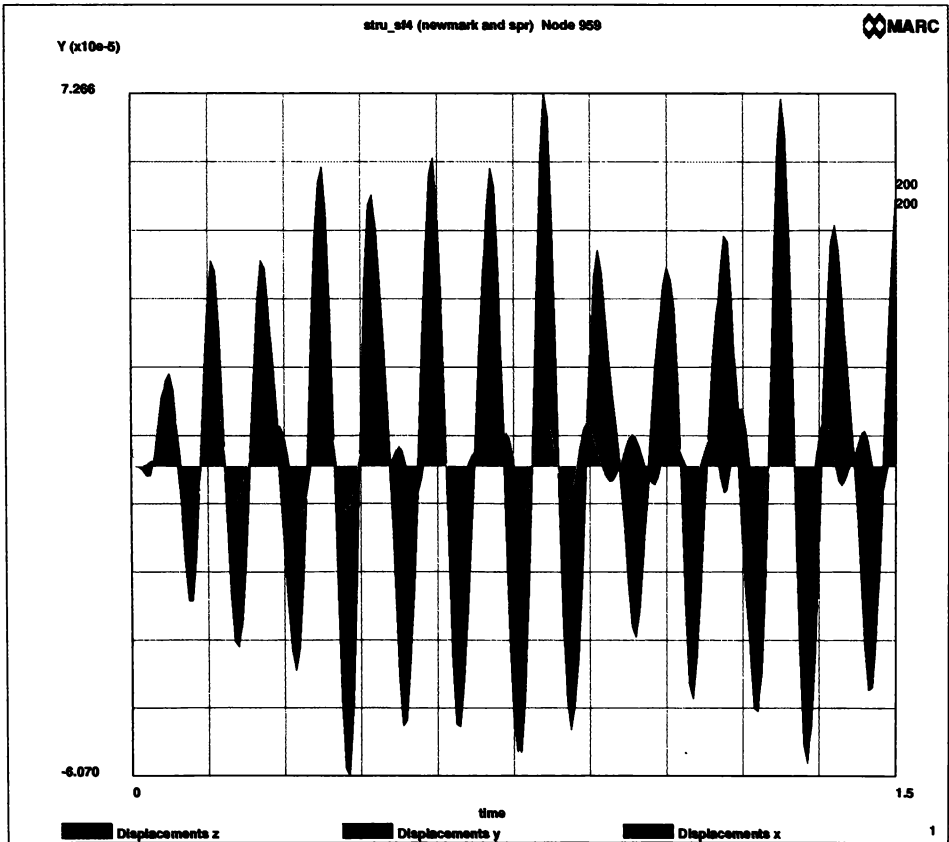


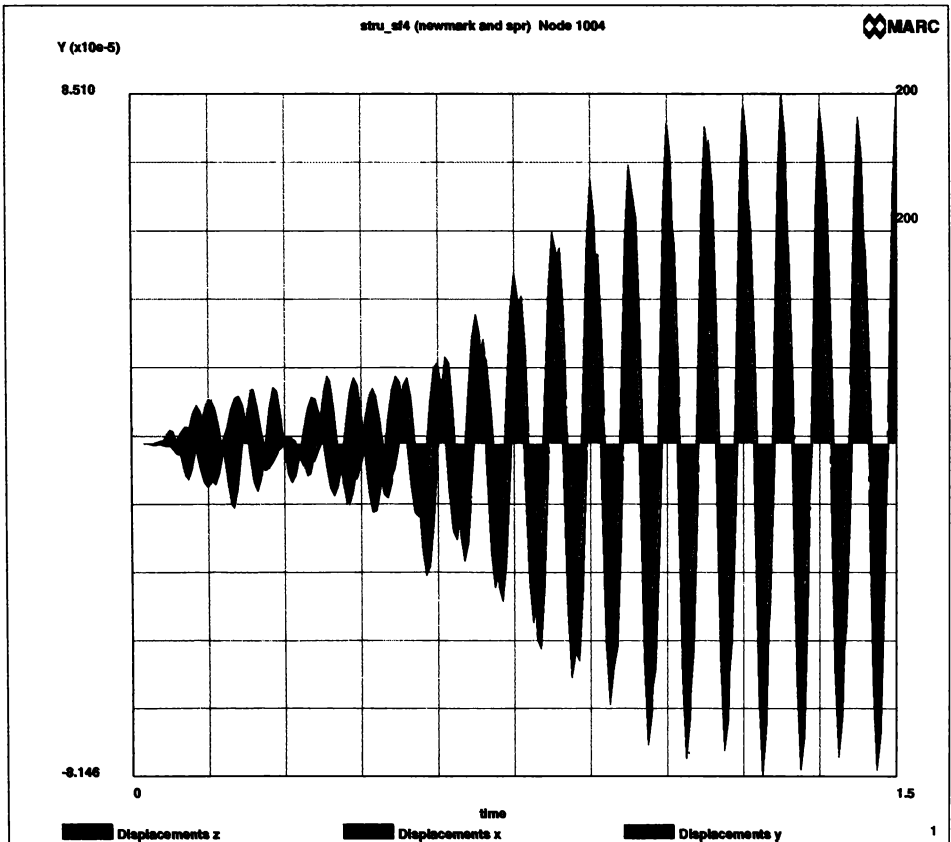


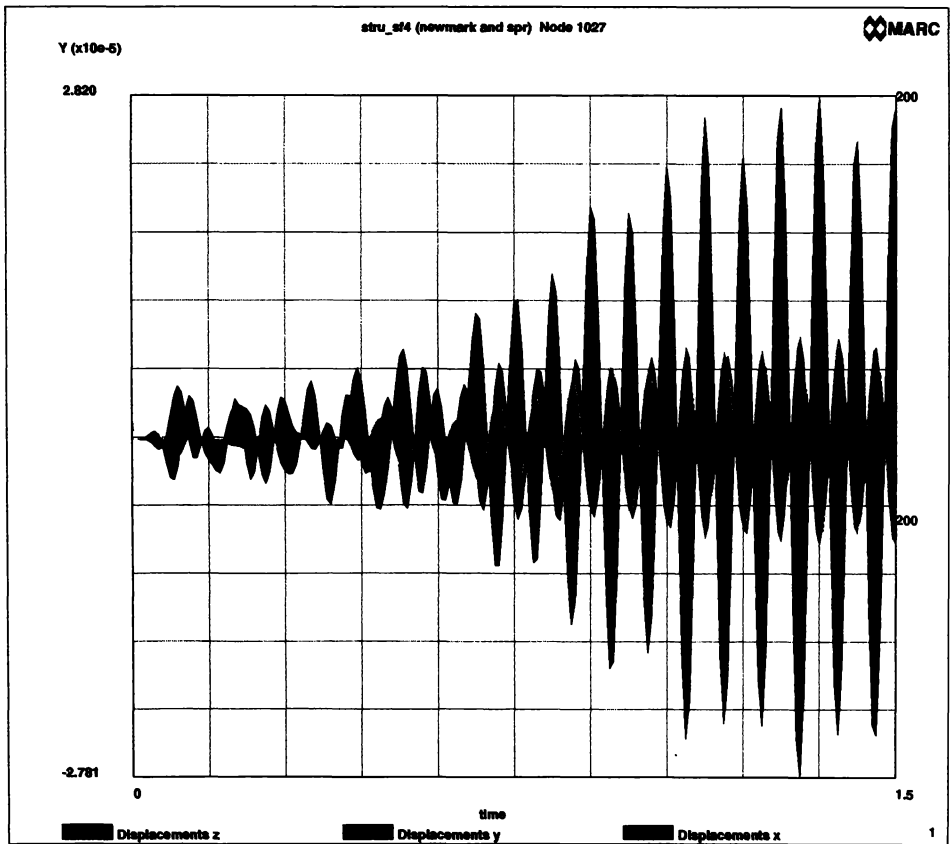


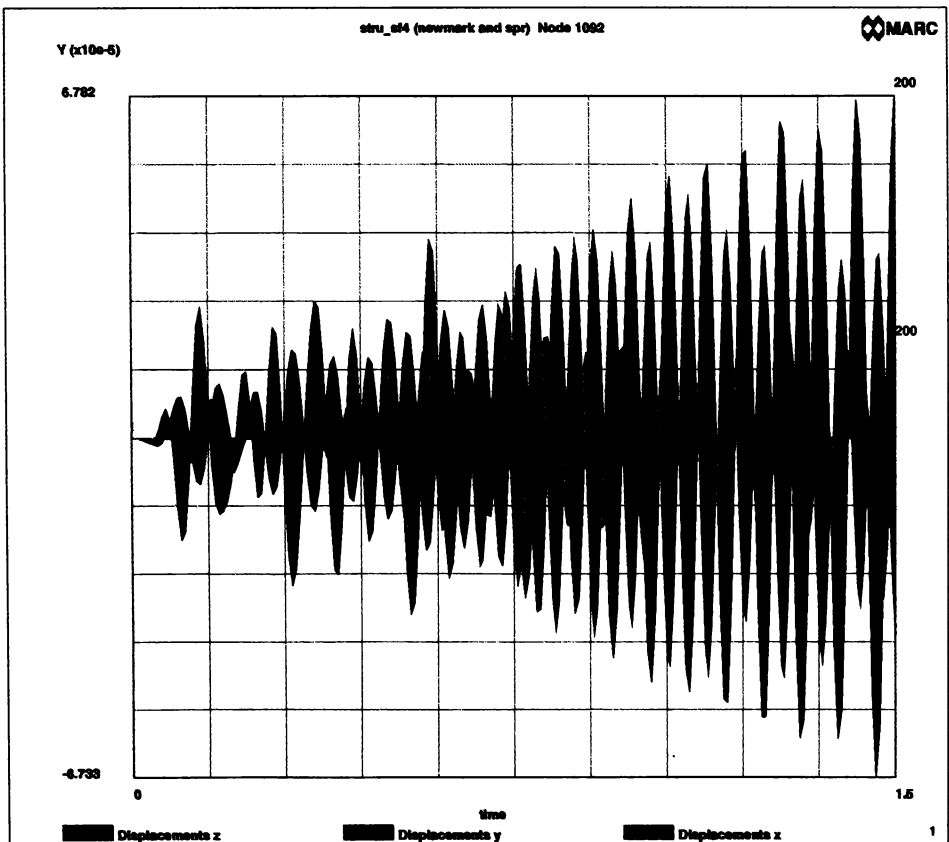


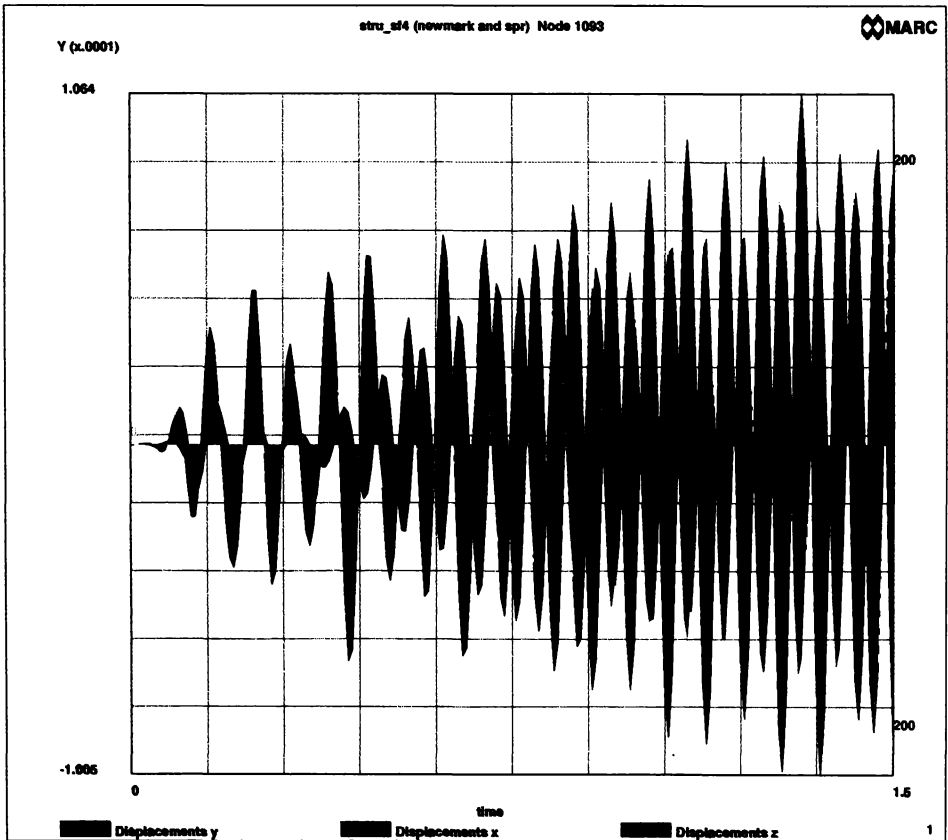


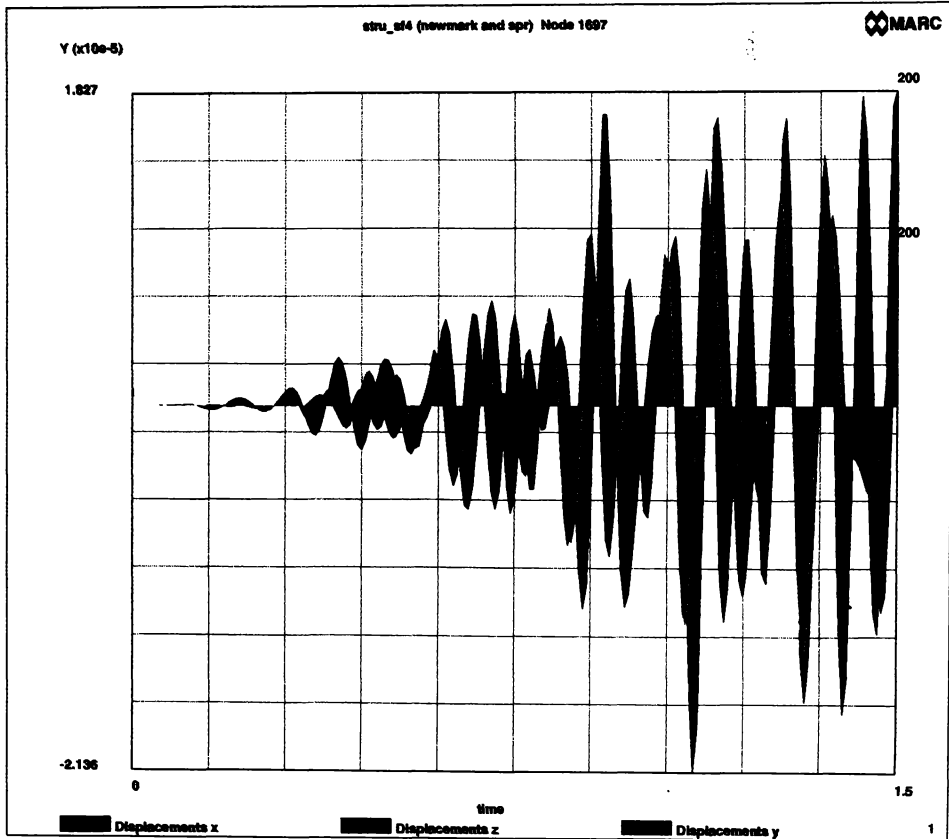


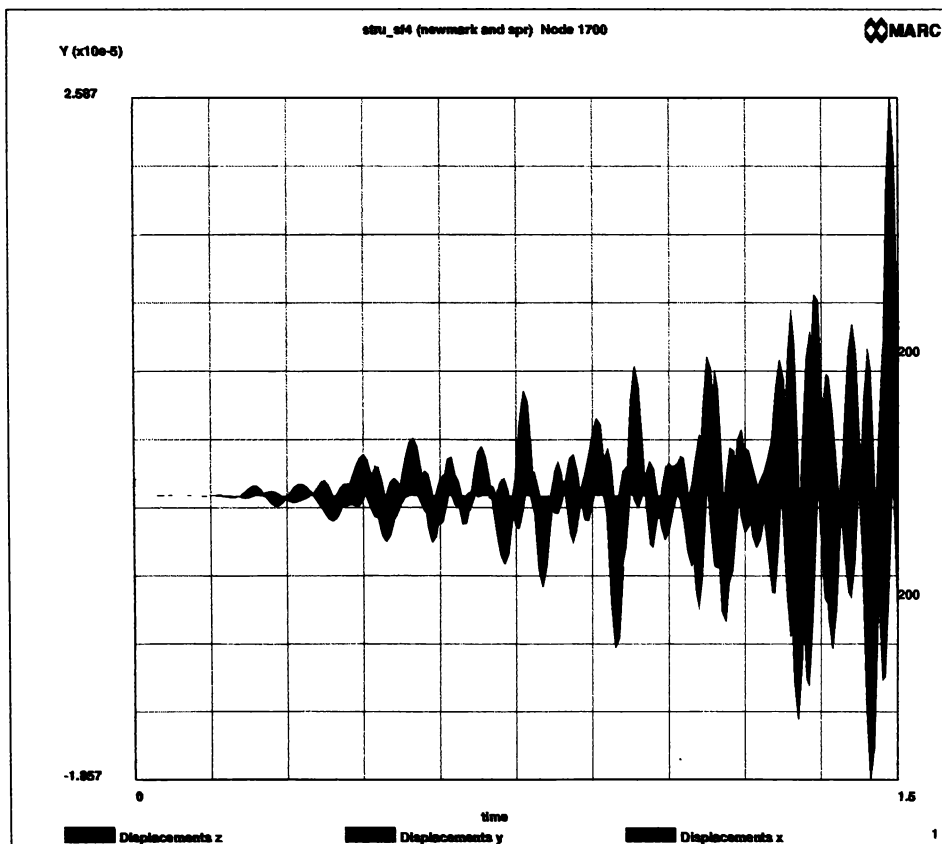












CALCULUL VIBRATIILOR FORTATE pentru:

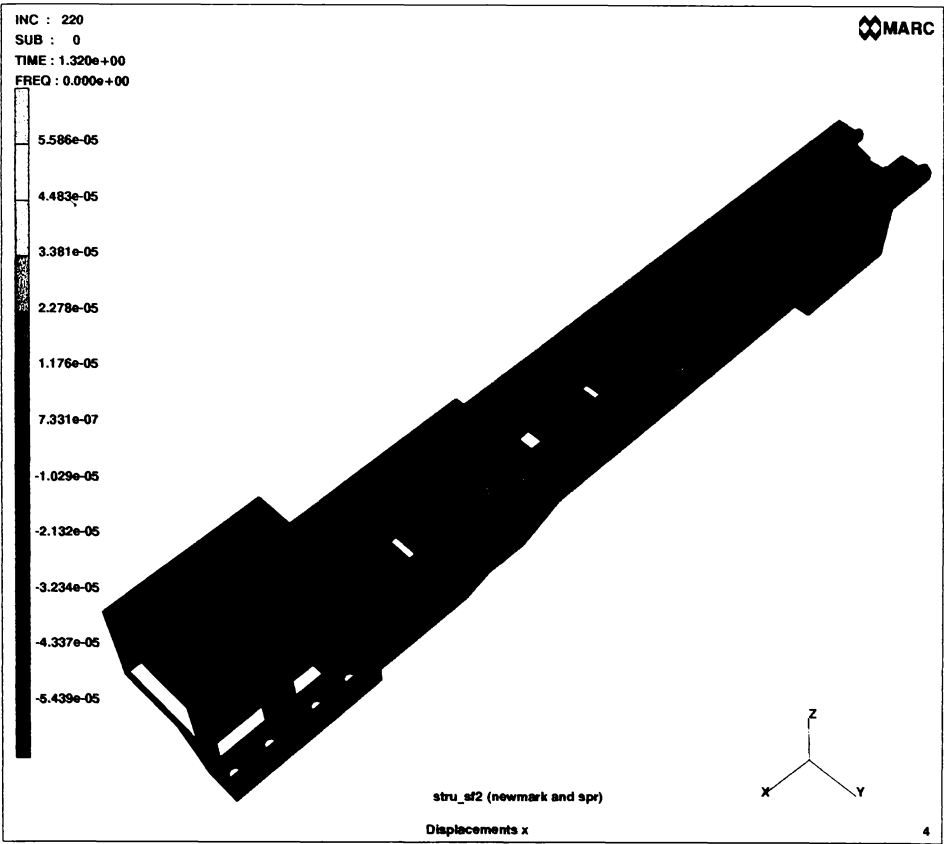
$$n=1000 \text{ rpm}$$

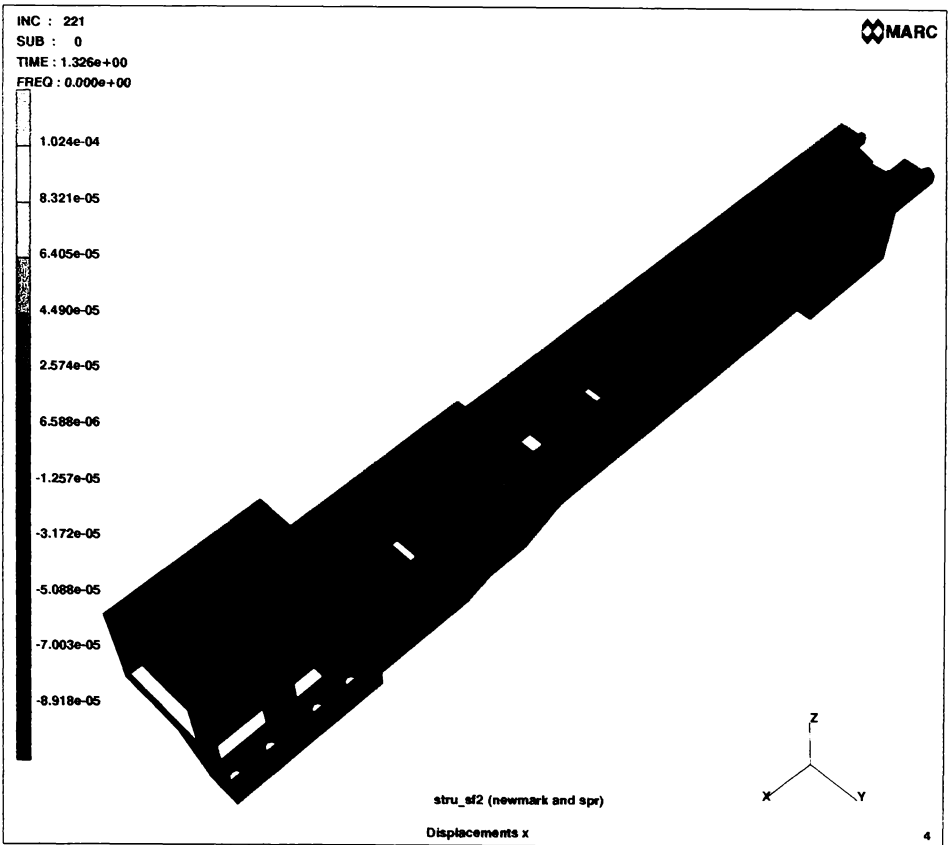
$$t = 1.5 \text{ s} ; \Delta t = 0.006 \text{ ms}$$

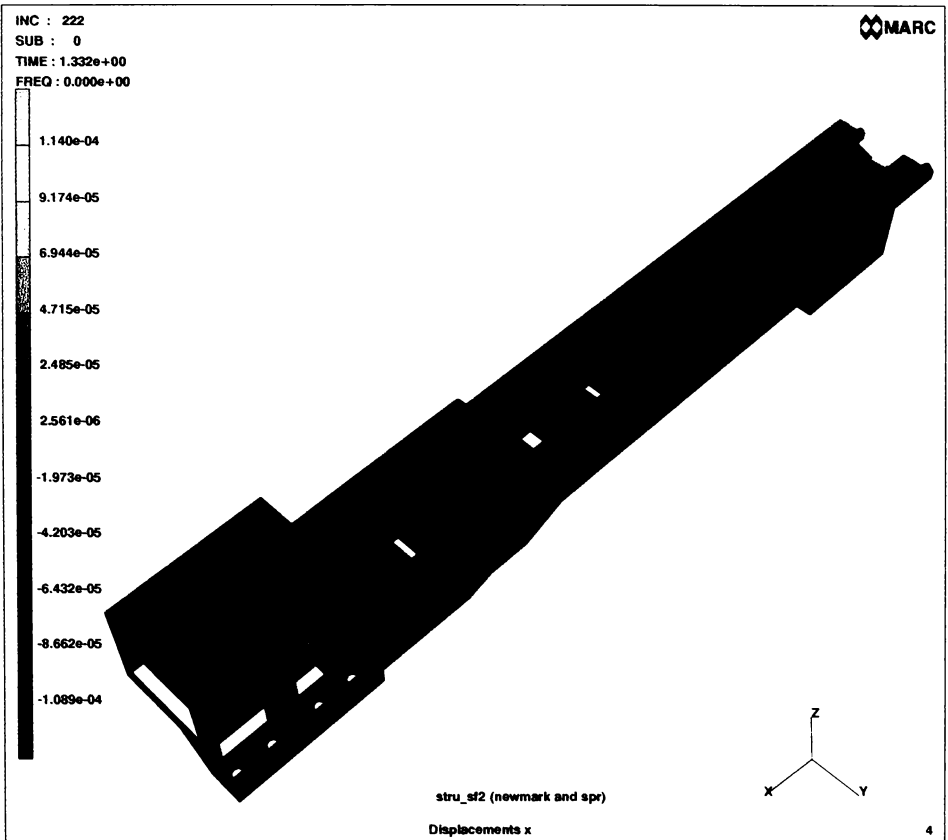
$$p_{\text{nod}} = \bar{p}_{\text{o,nod}} + p_{\text{o}} \cos \omega t$$

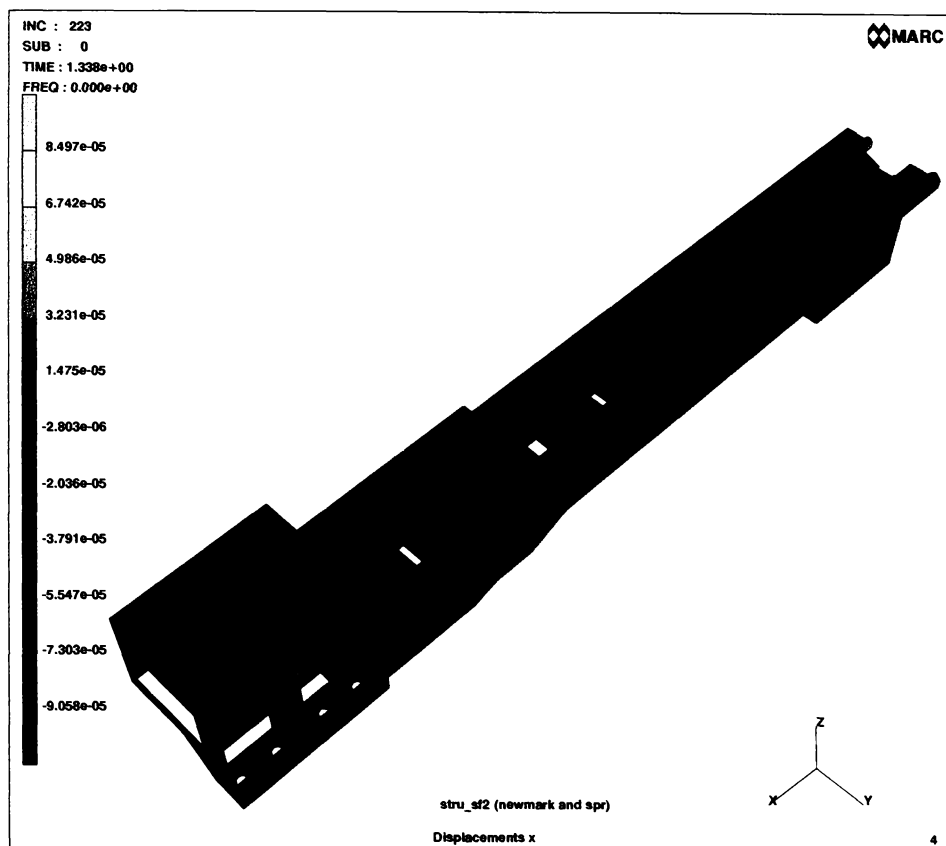
$$p_{\text{o}} = 0.1 \bar{p}_{\text{o,nod}}$$

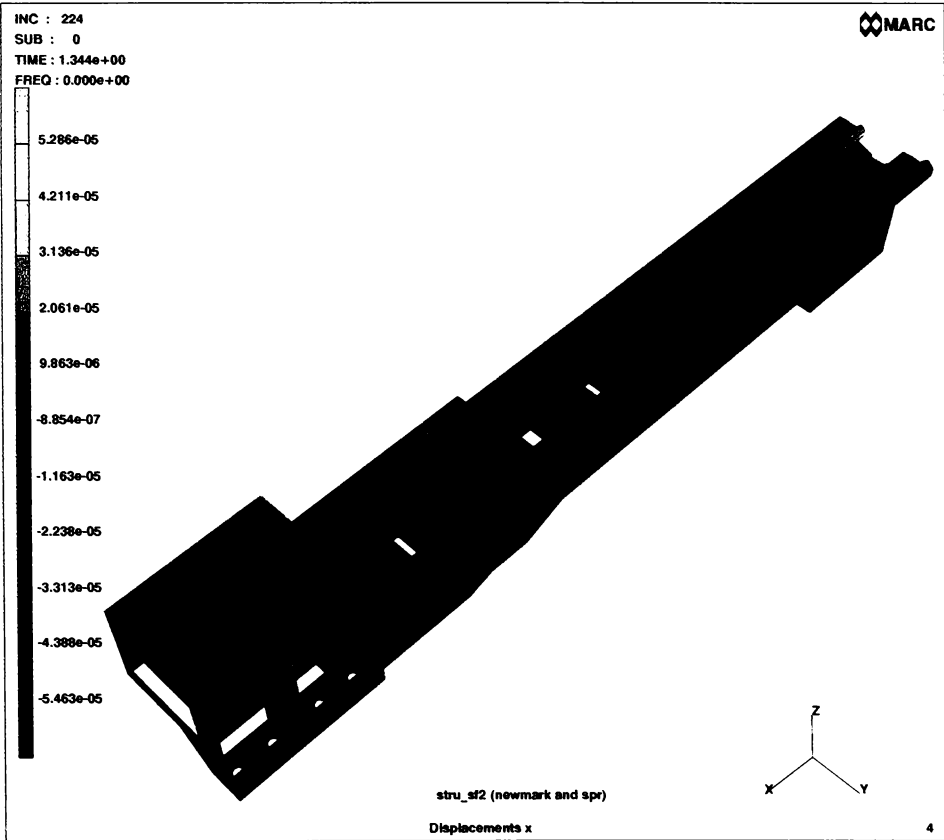
amortizare structurala si prin
suruburi fundatie

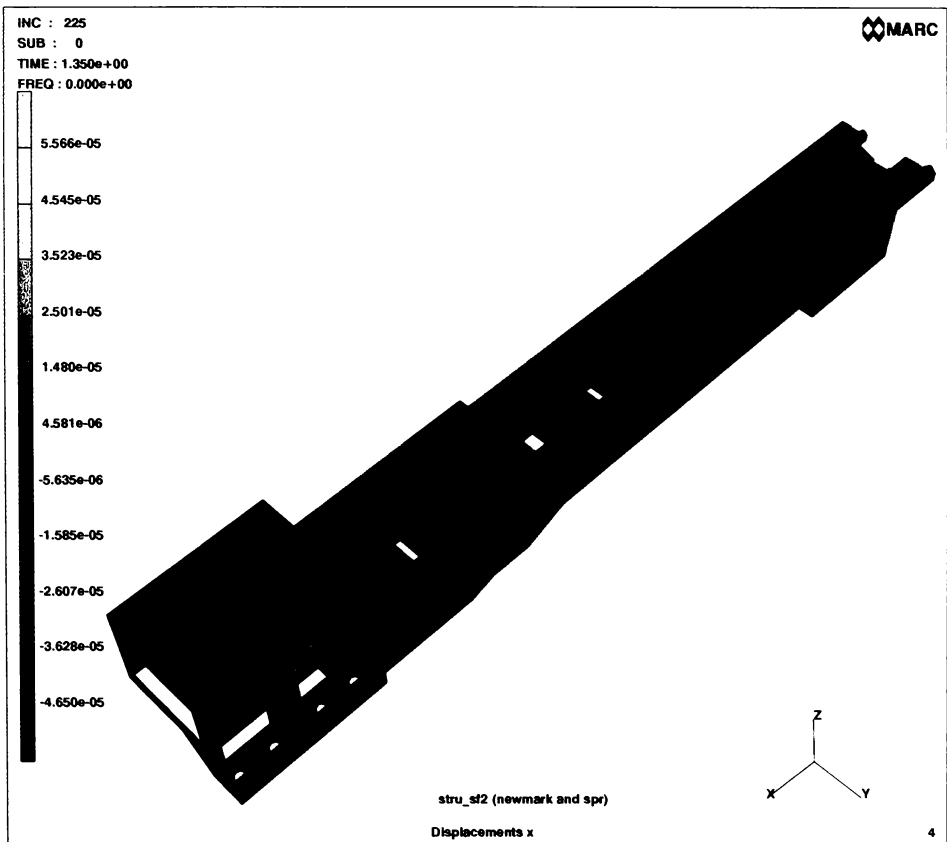


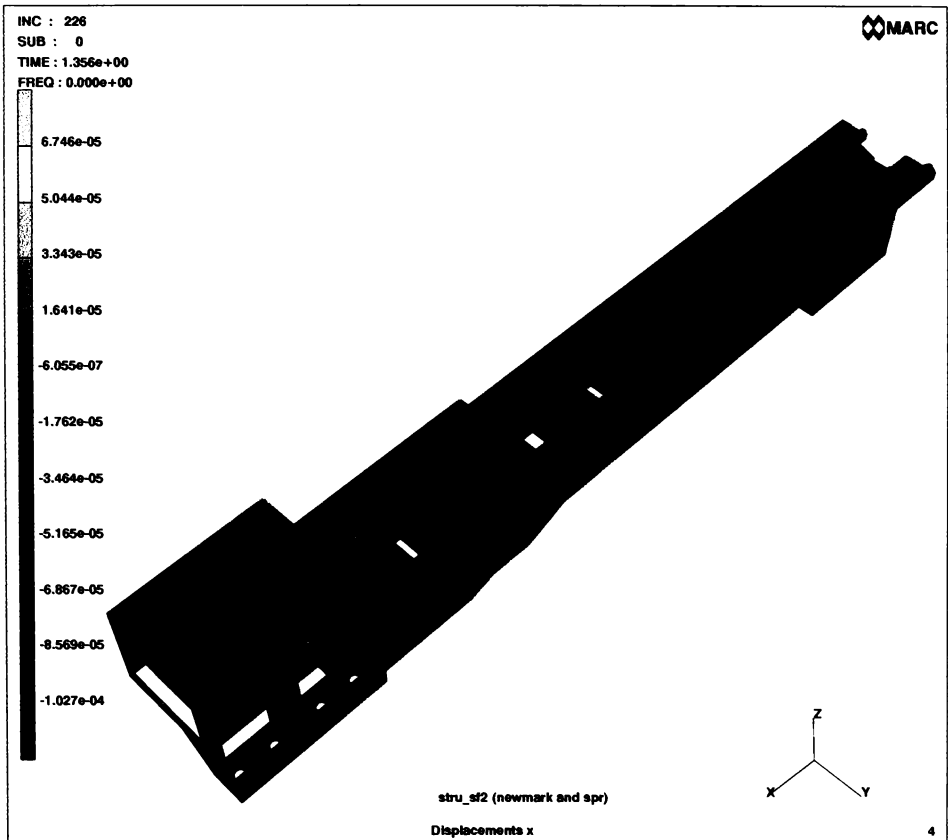


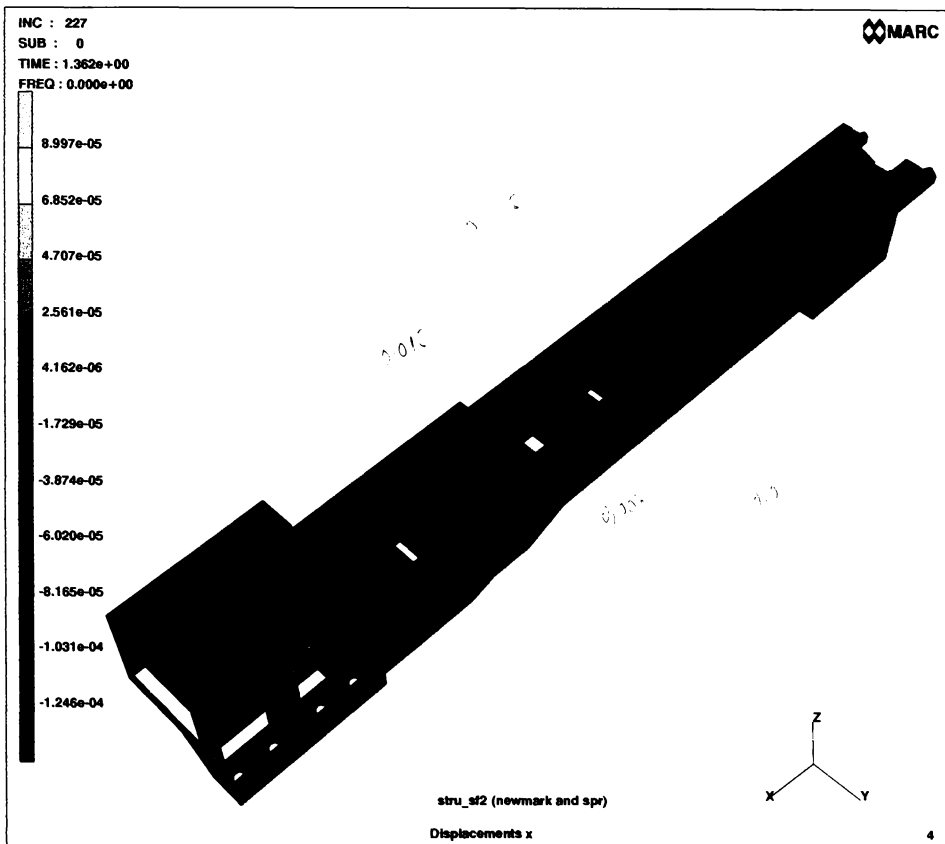


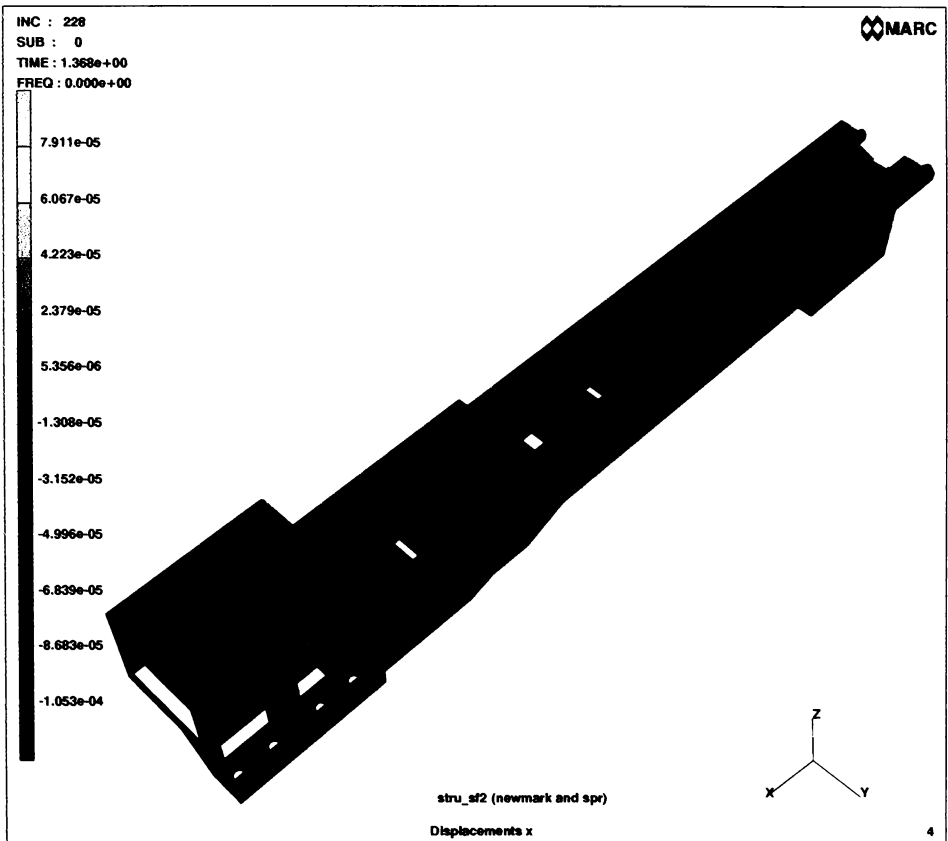


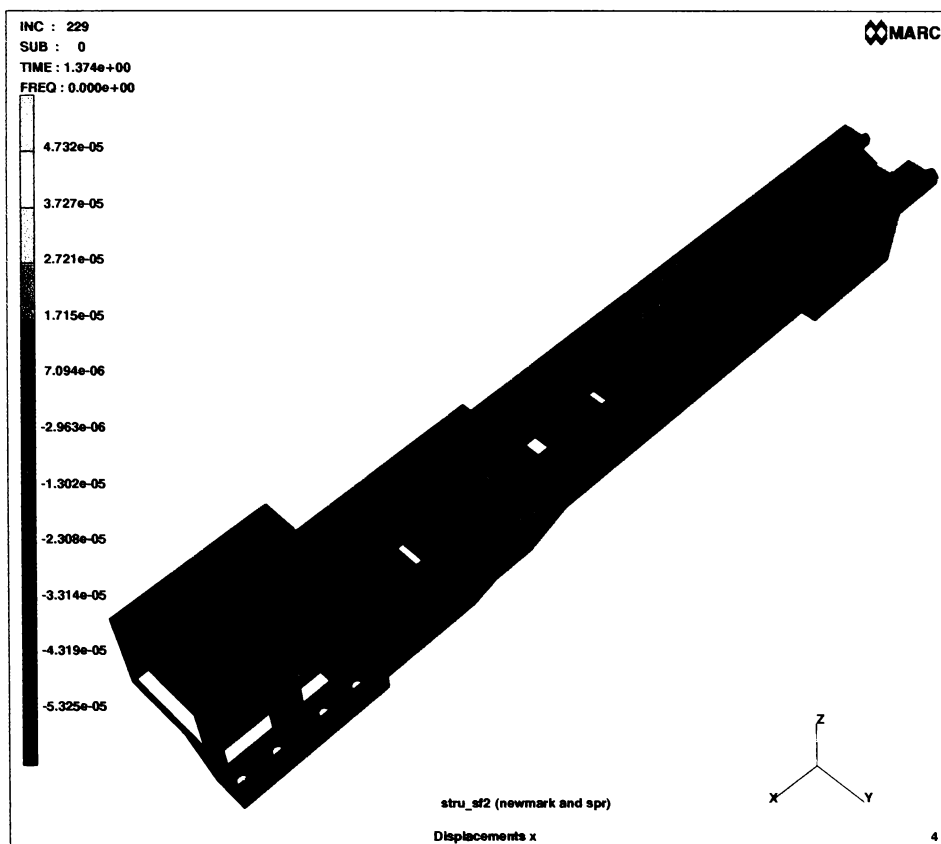


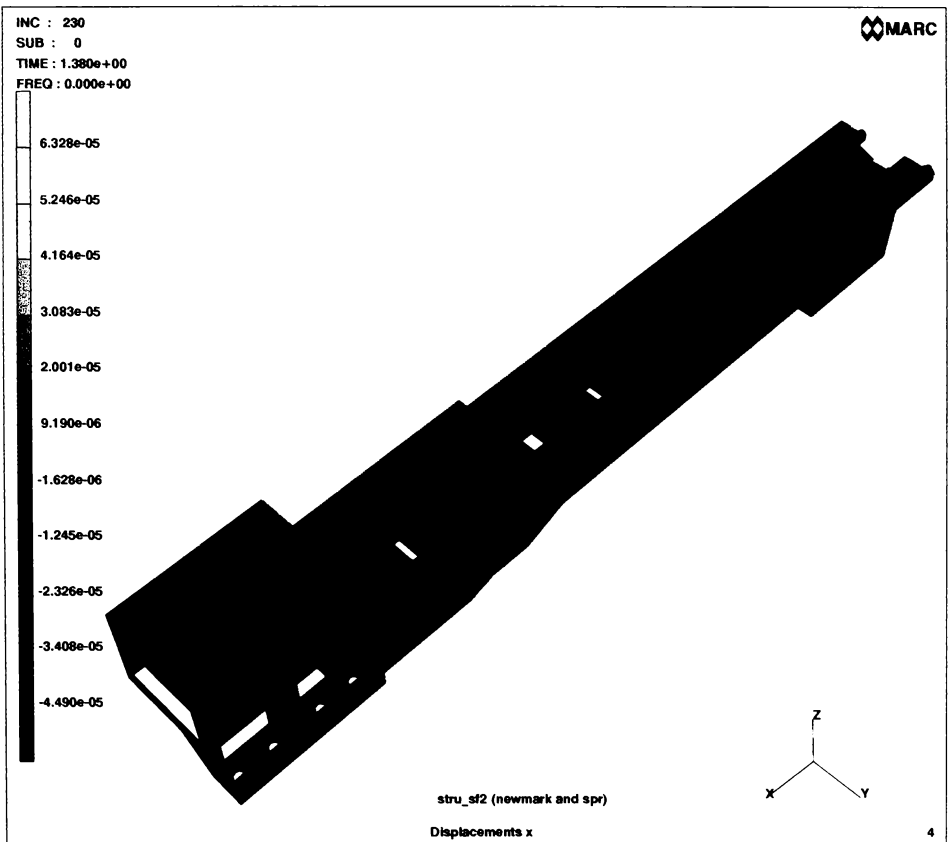


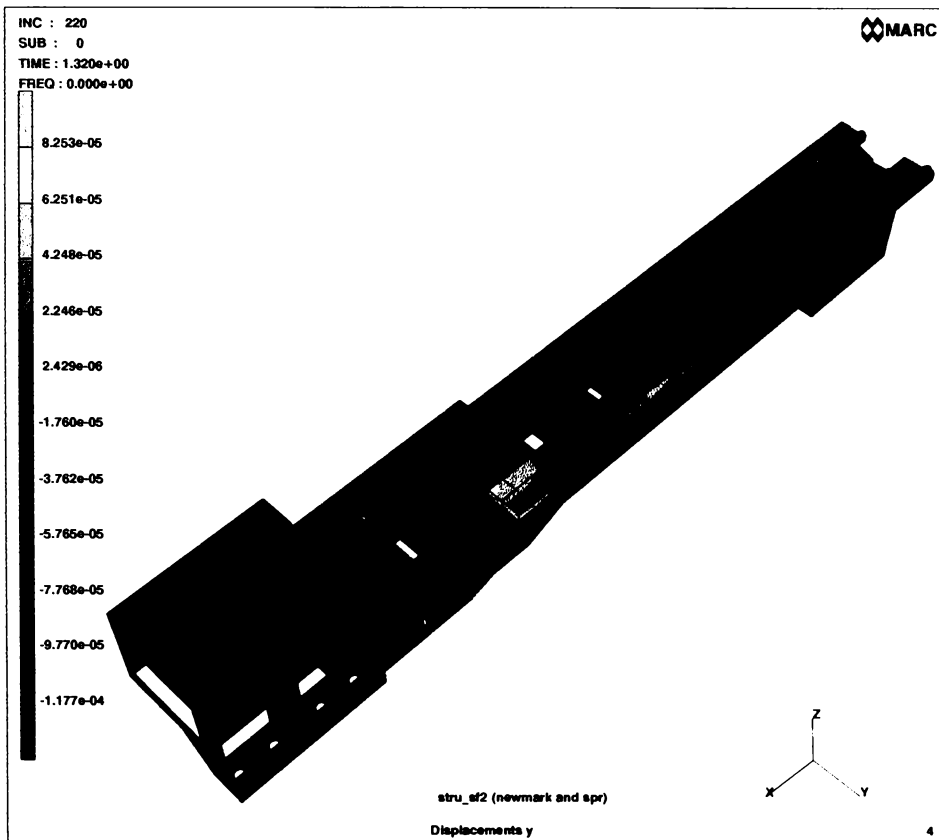


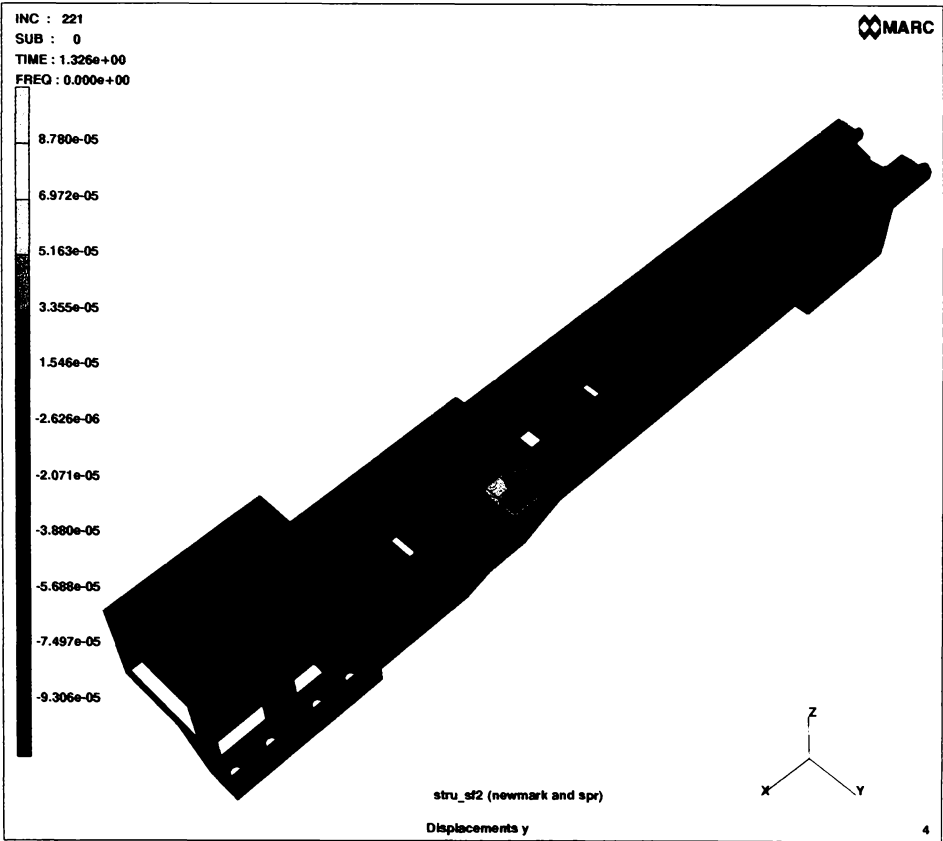


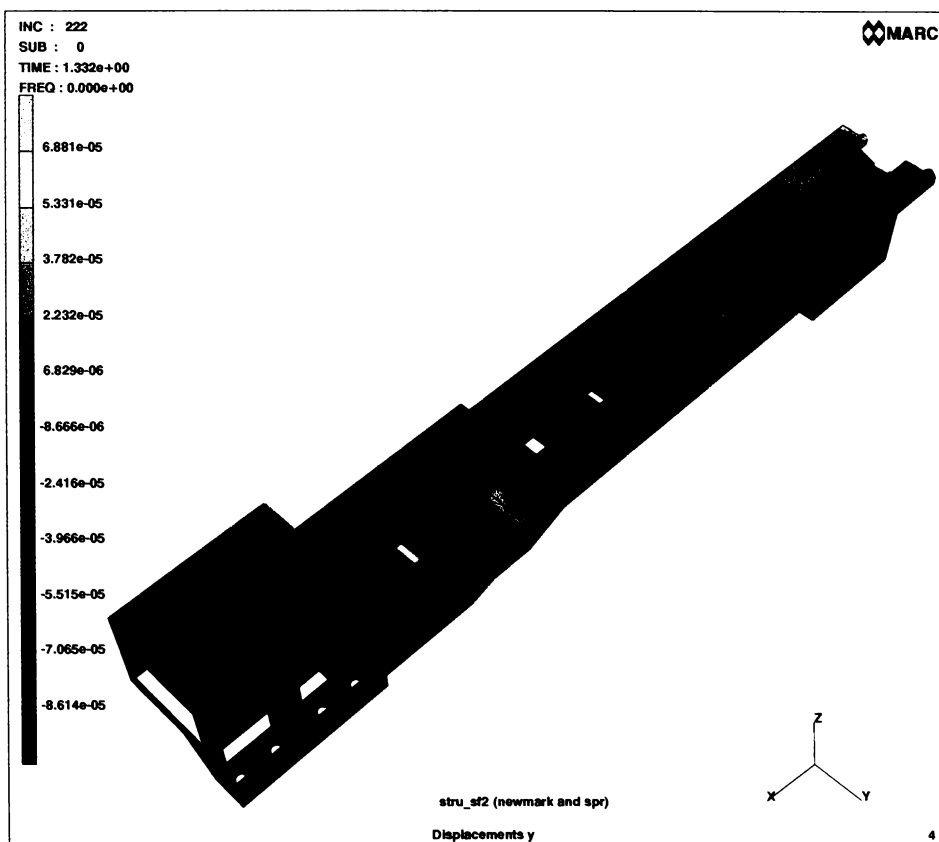


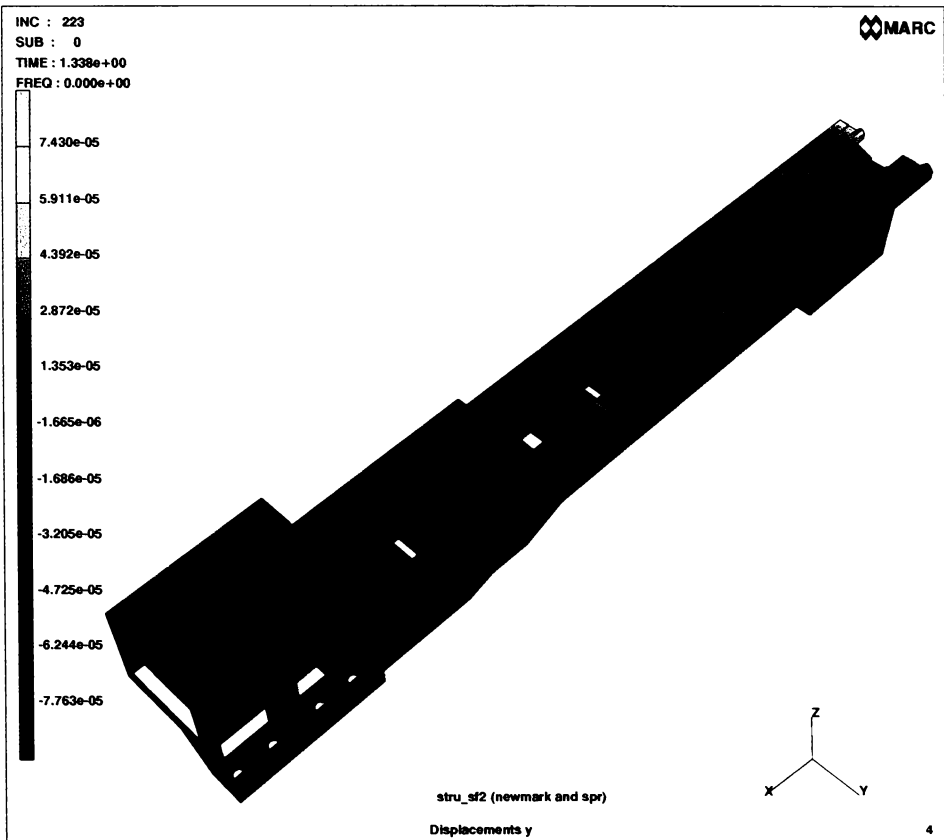


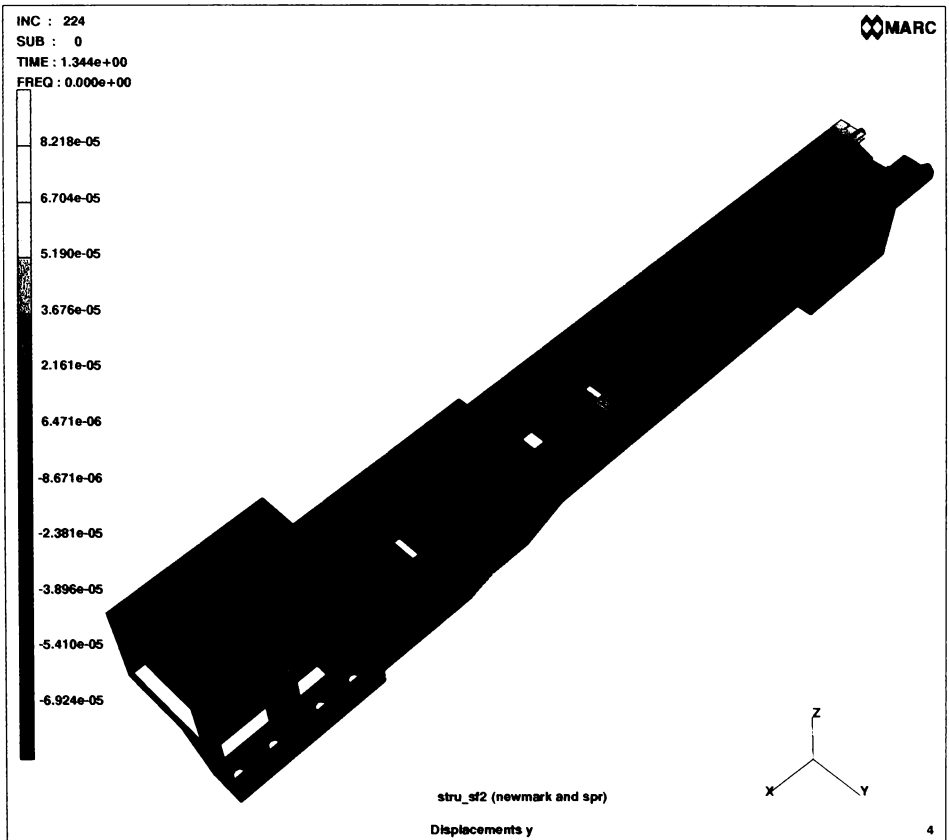


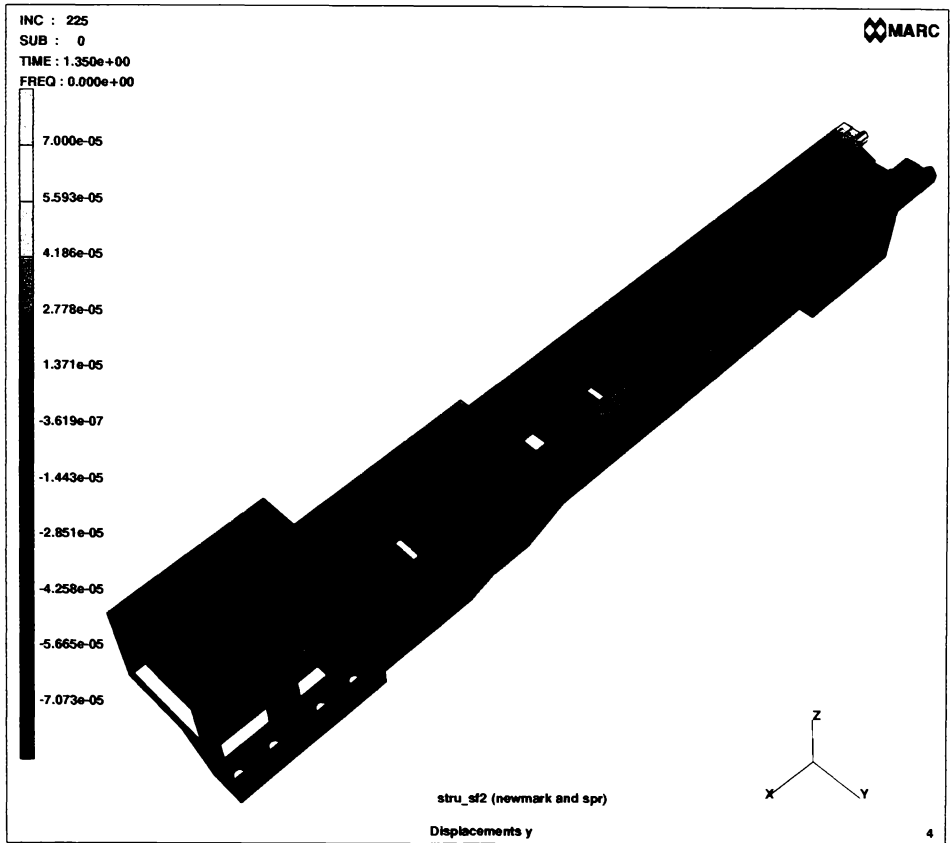


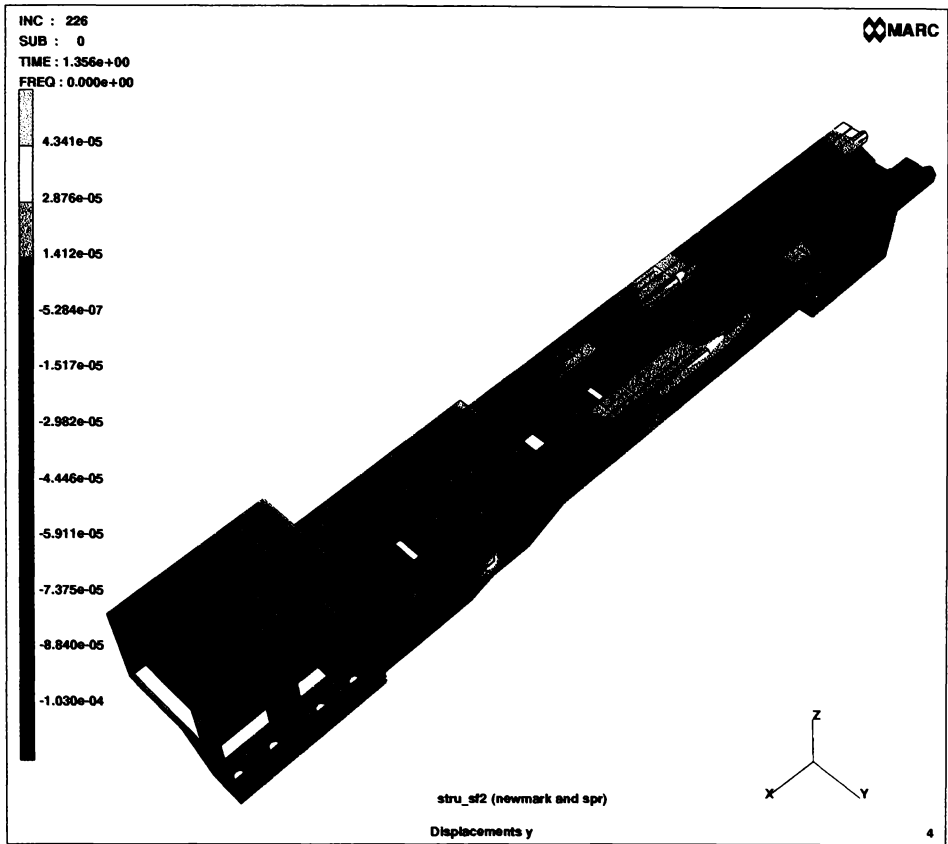


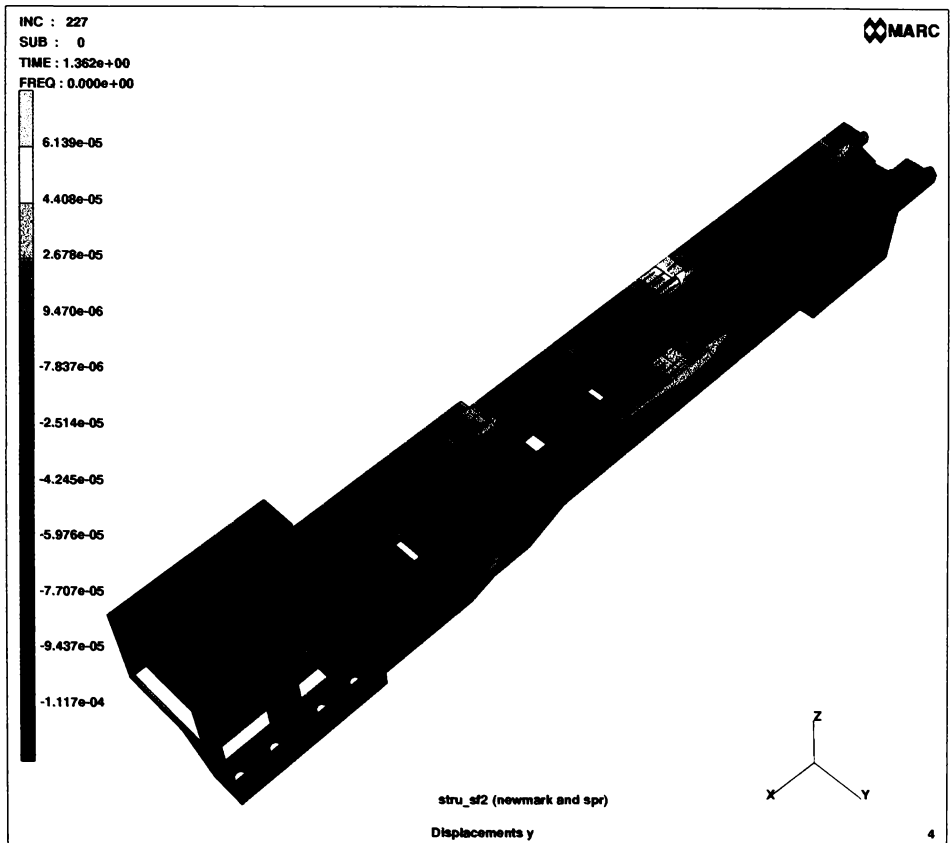


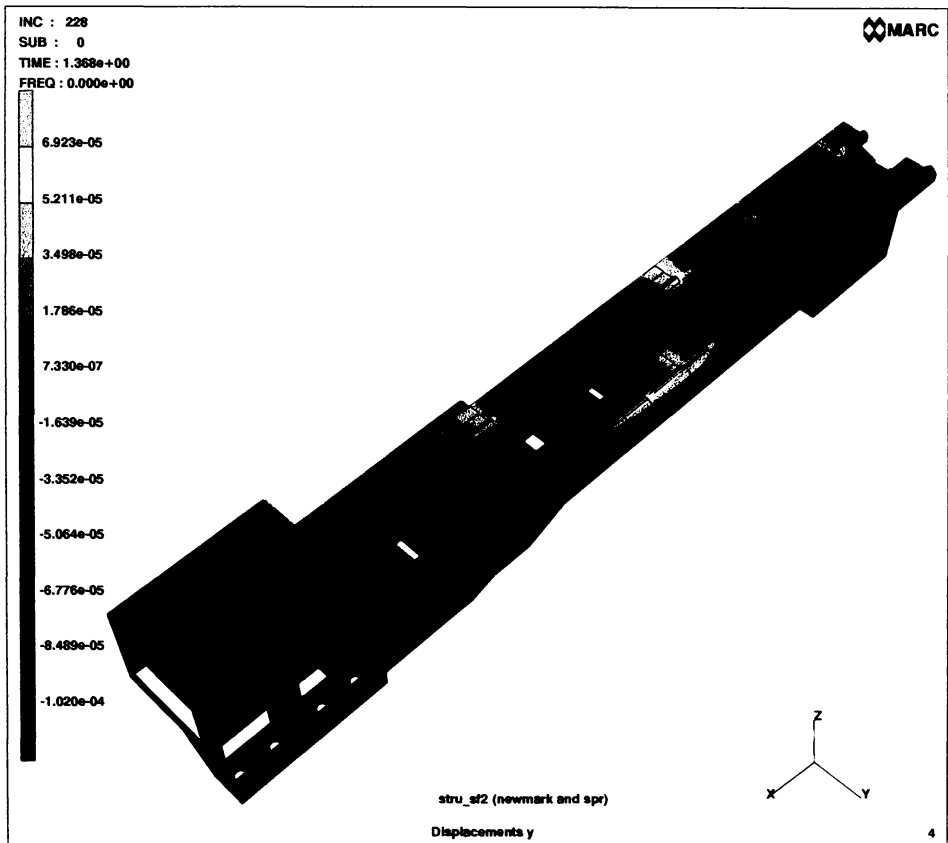


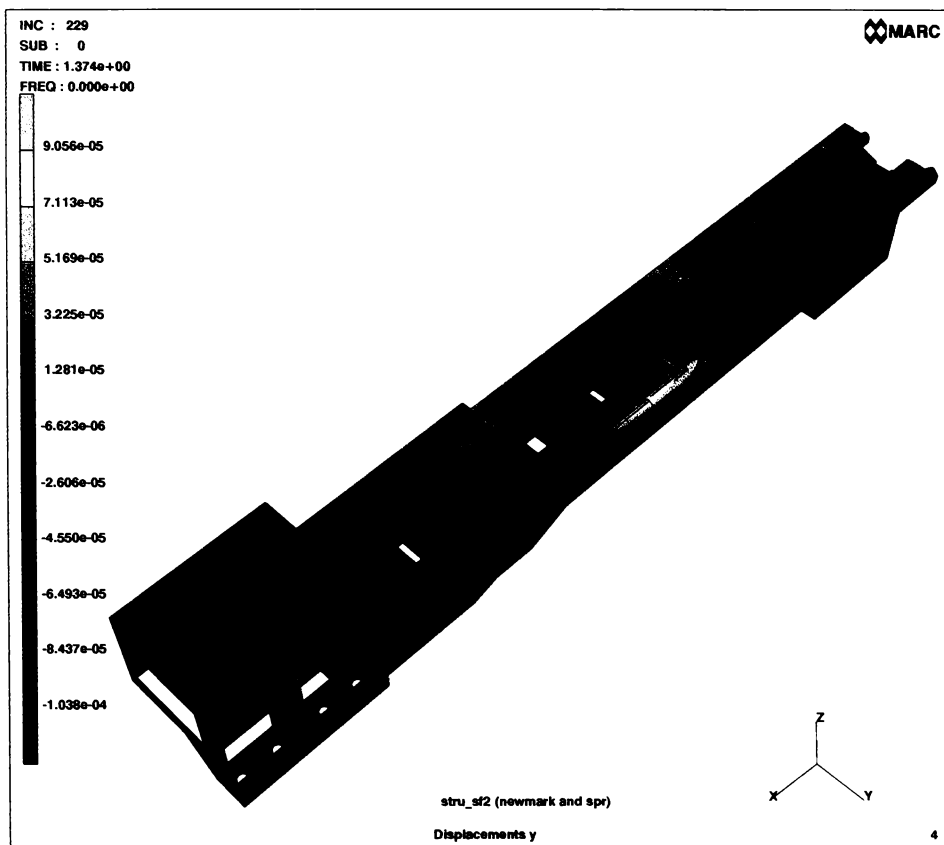


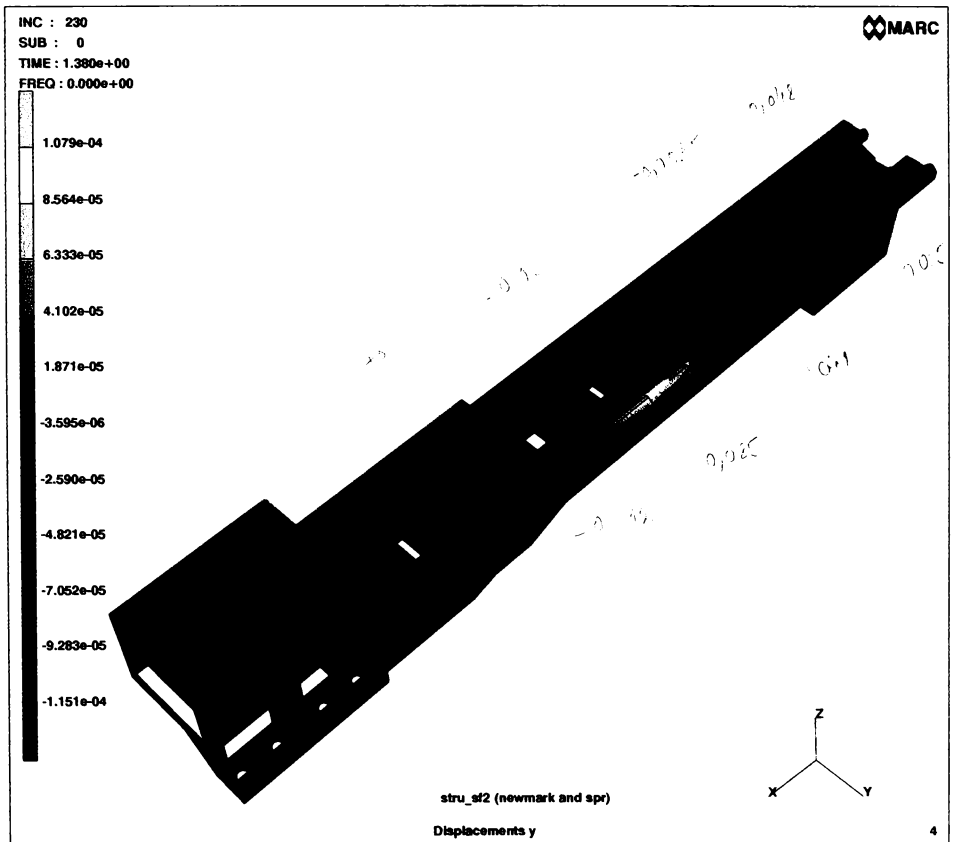


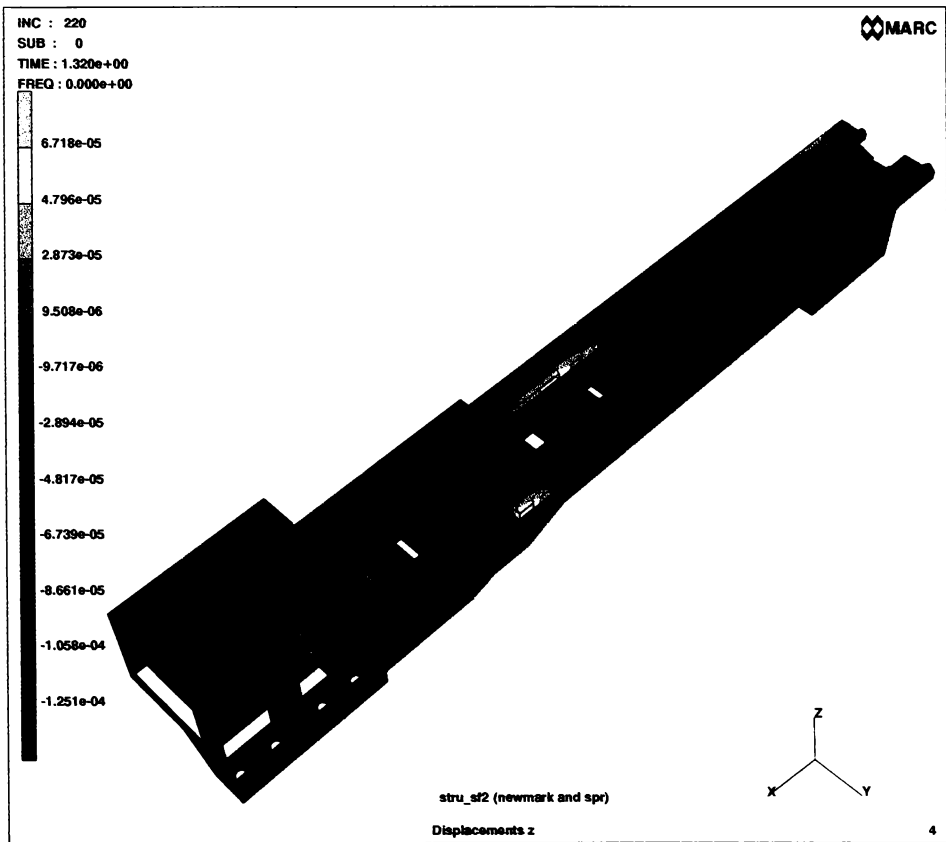


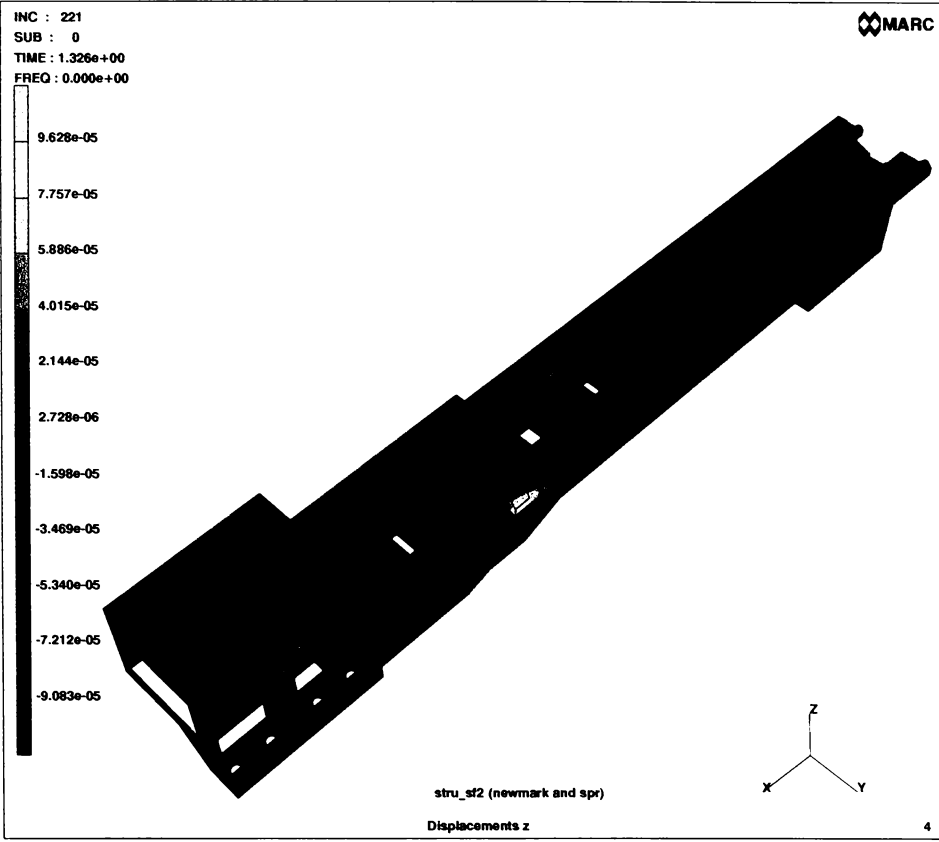


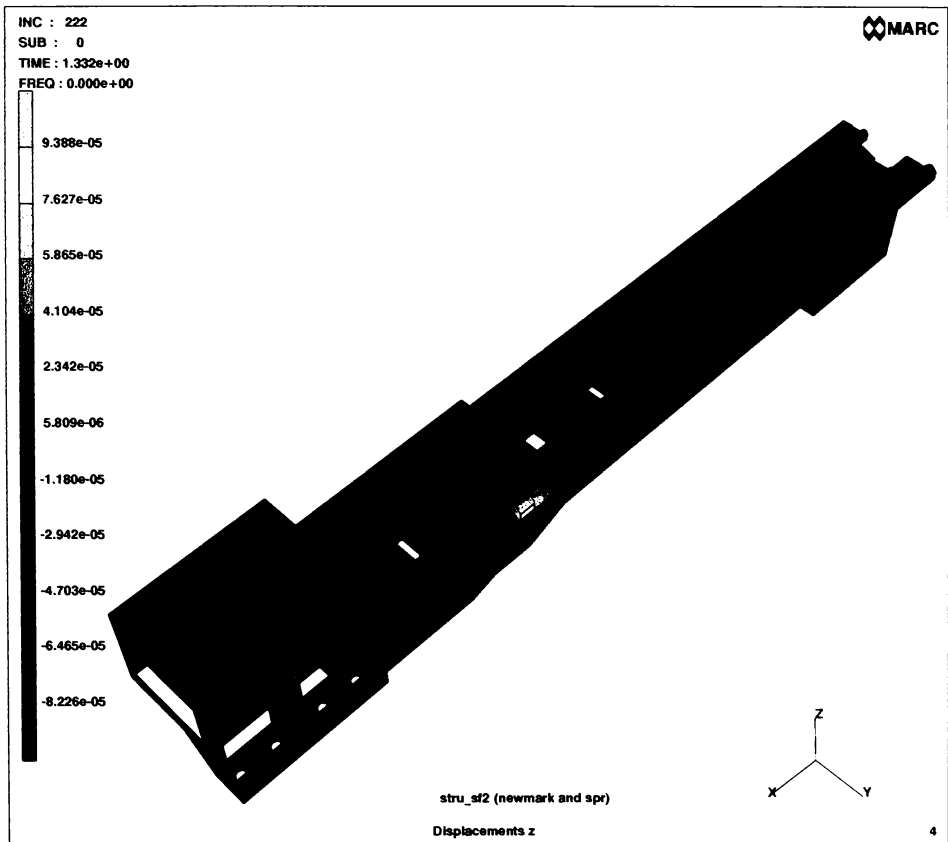


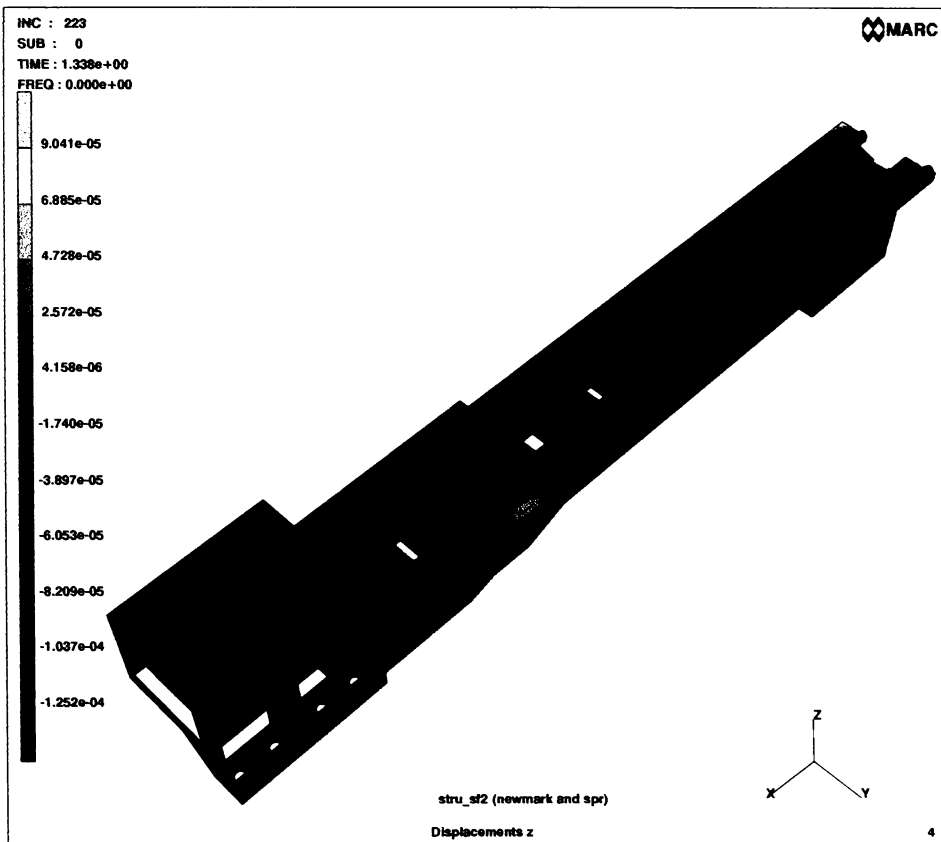


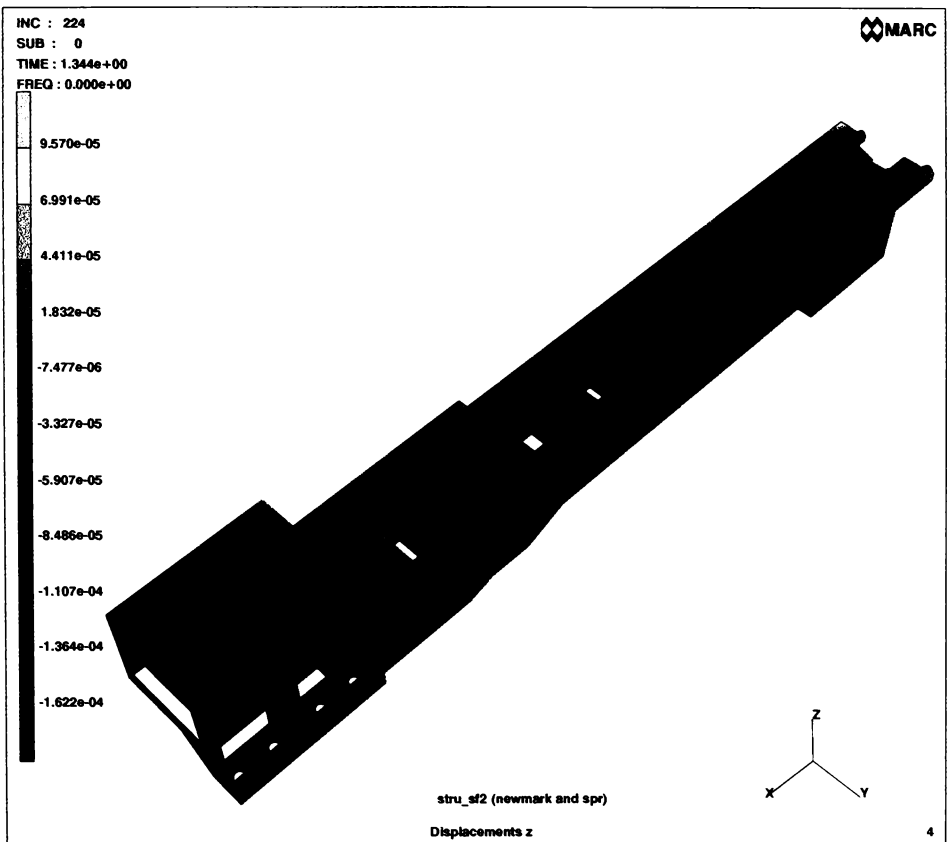


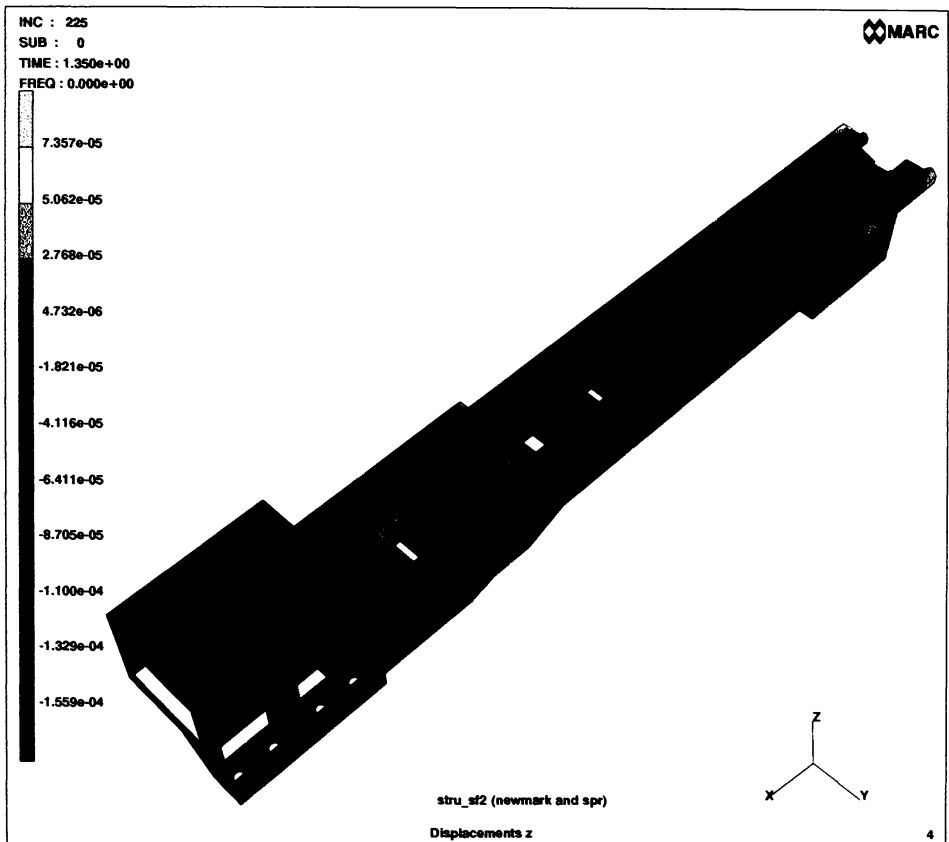


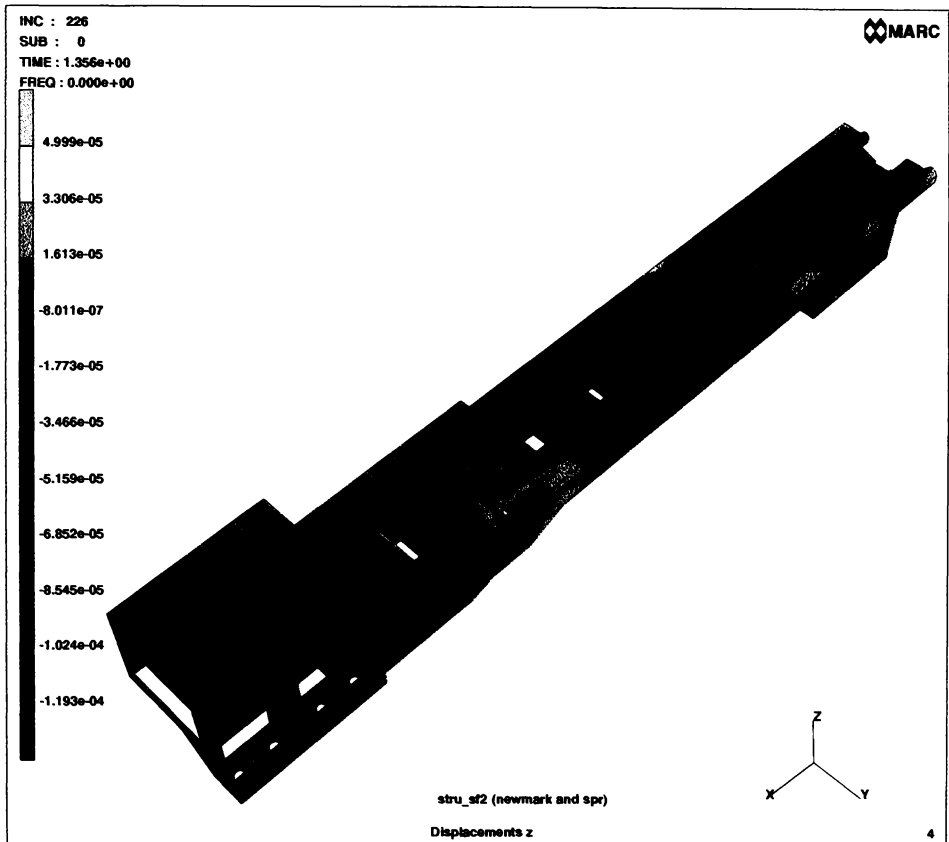


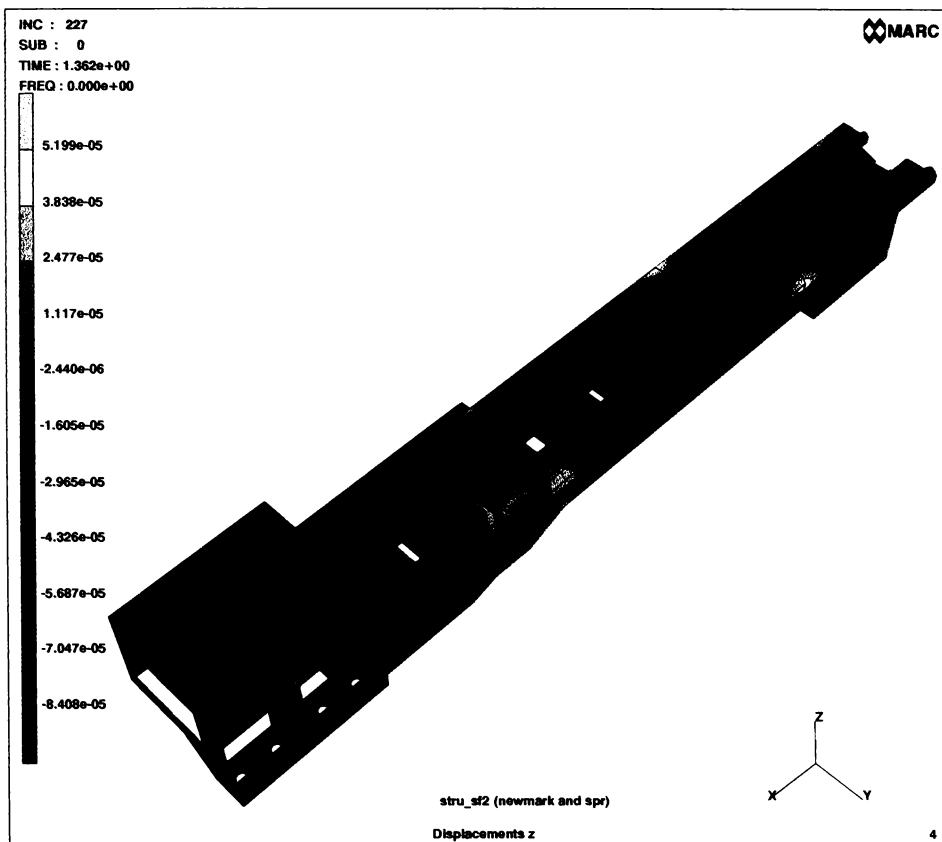


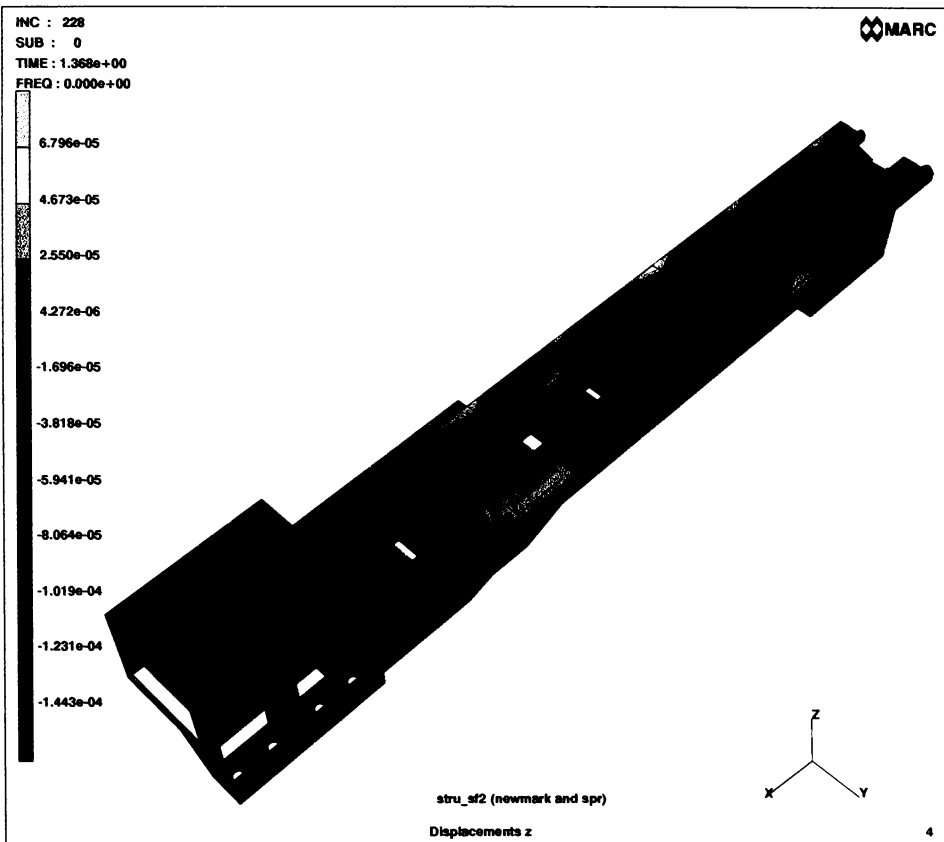


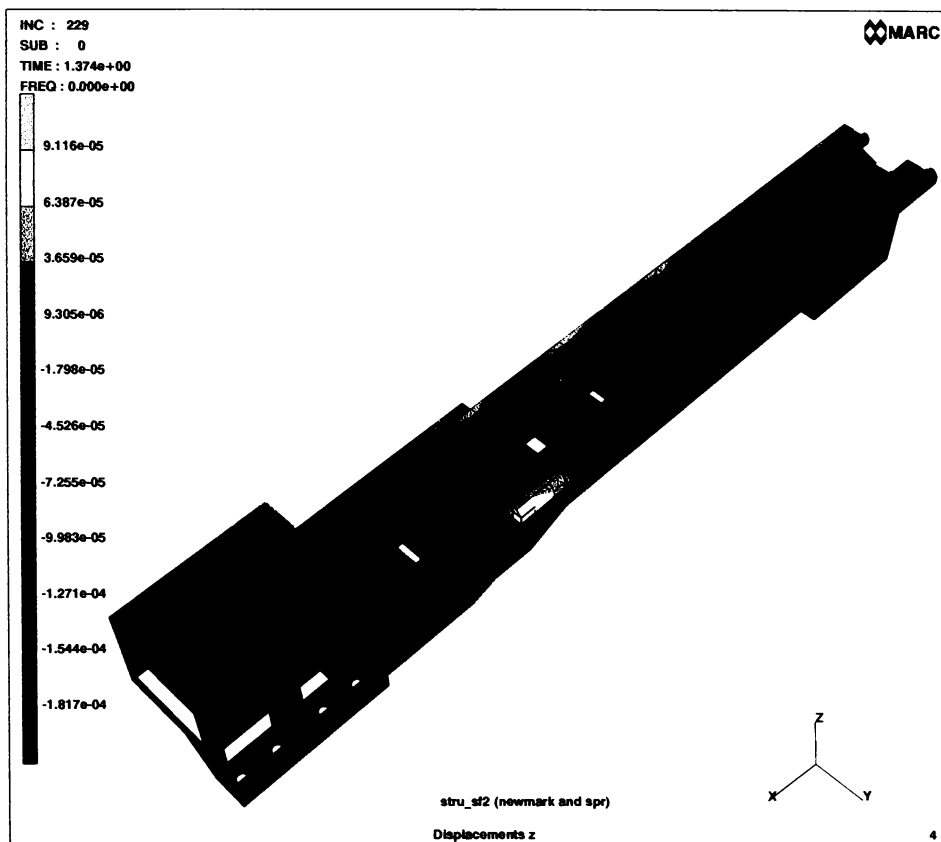


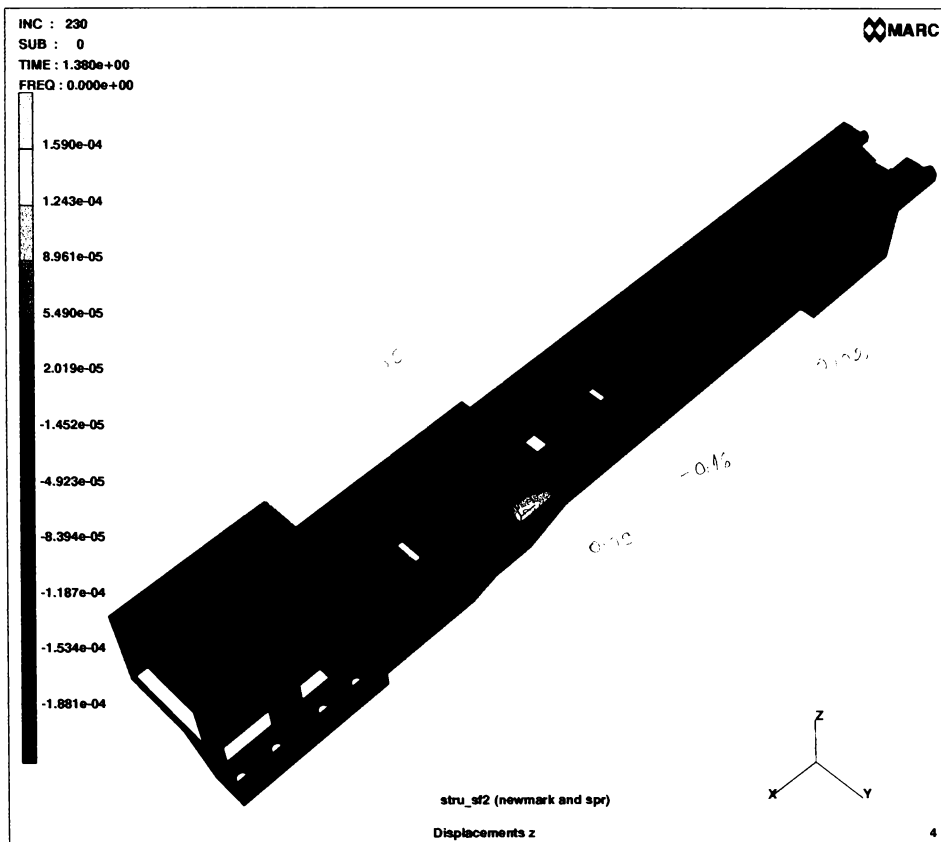


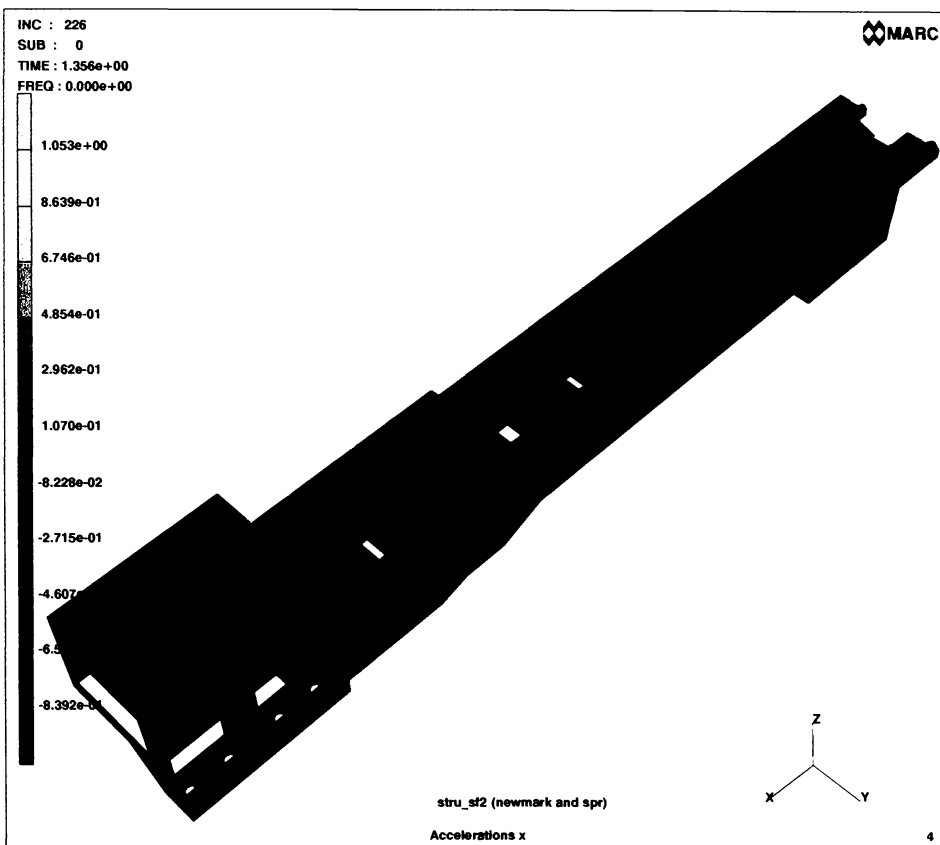


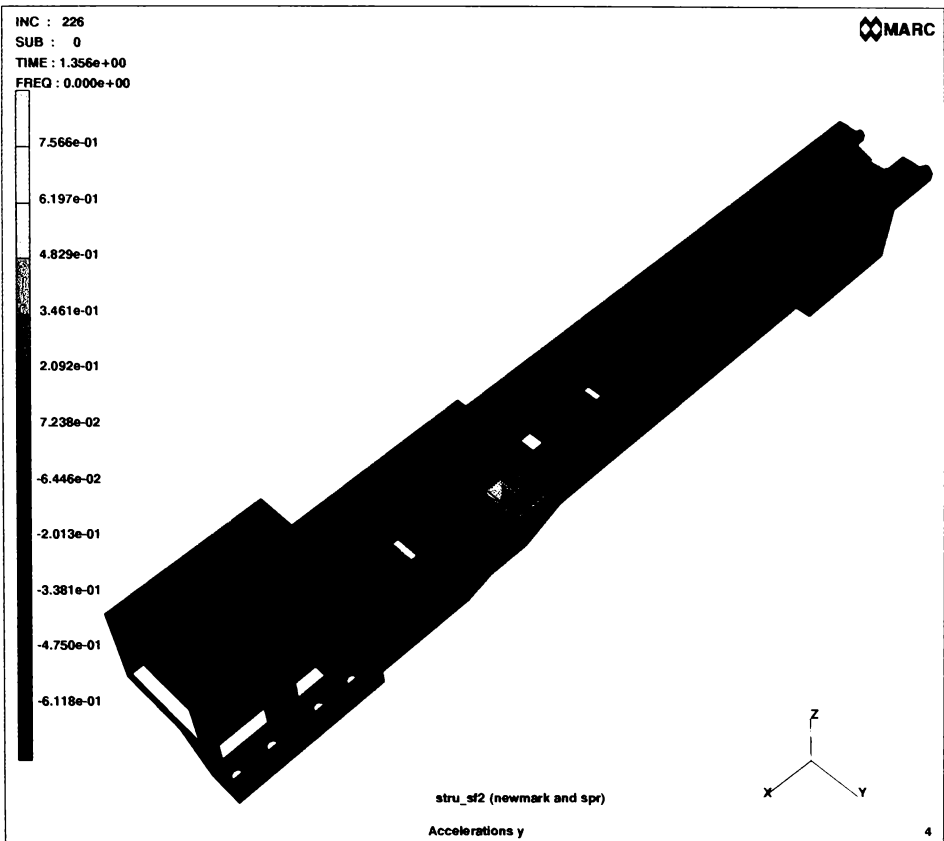


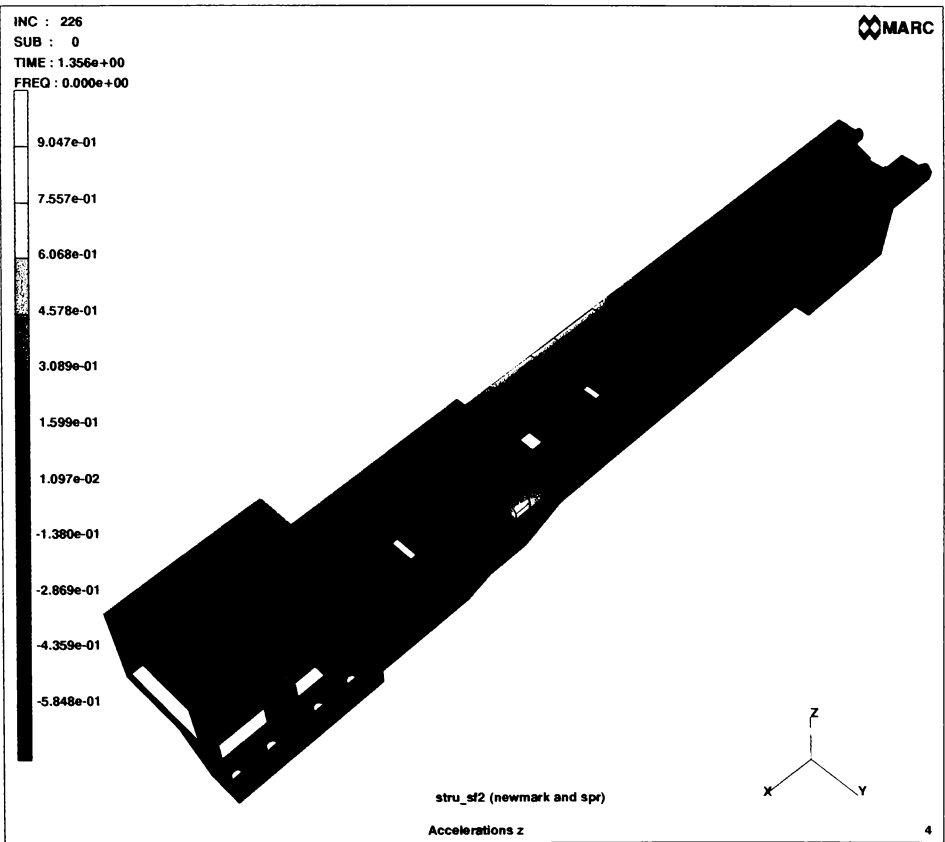


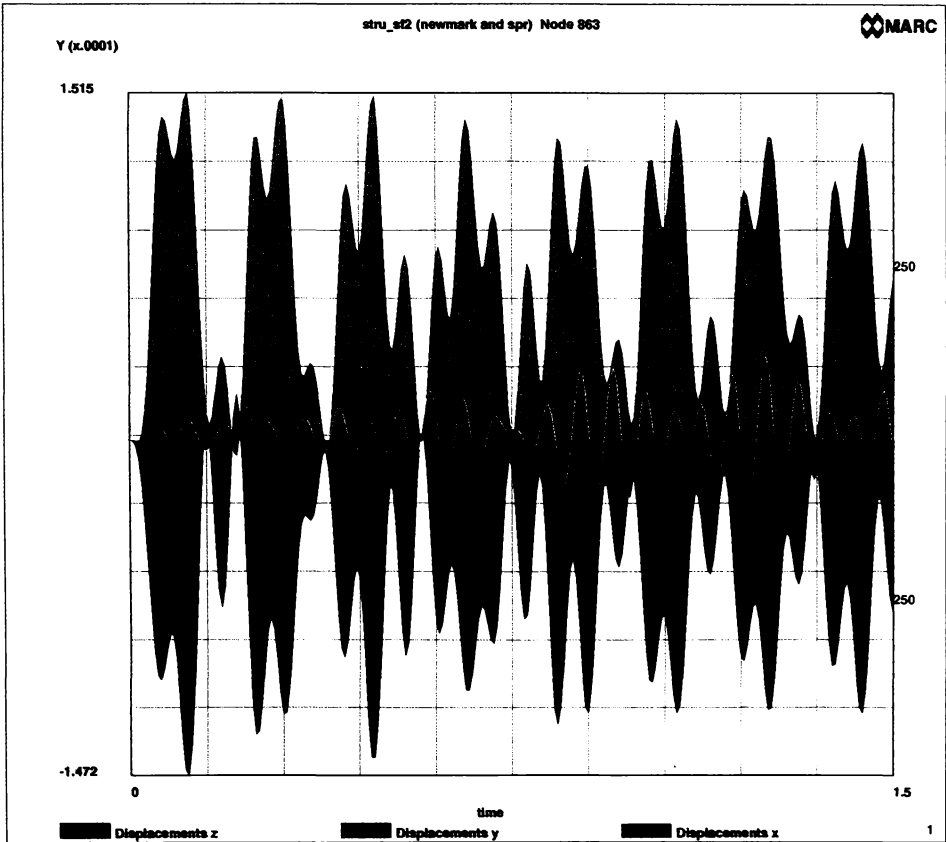


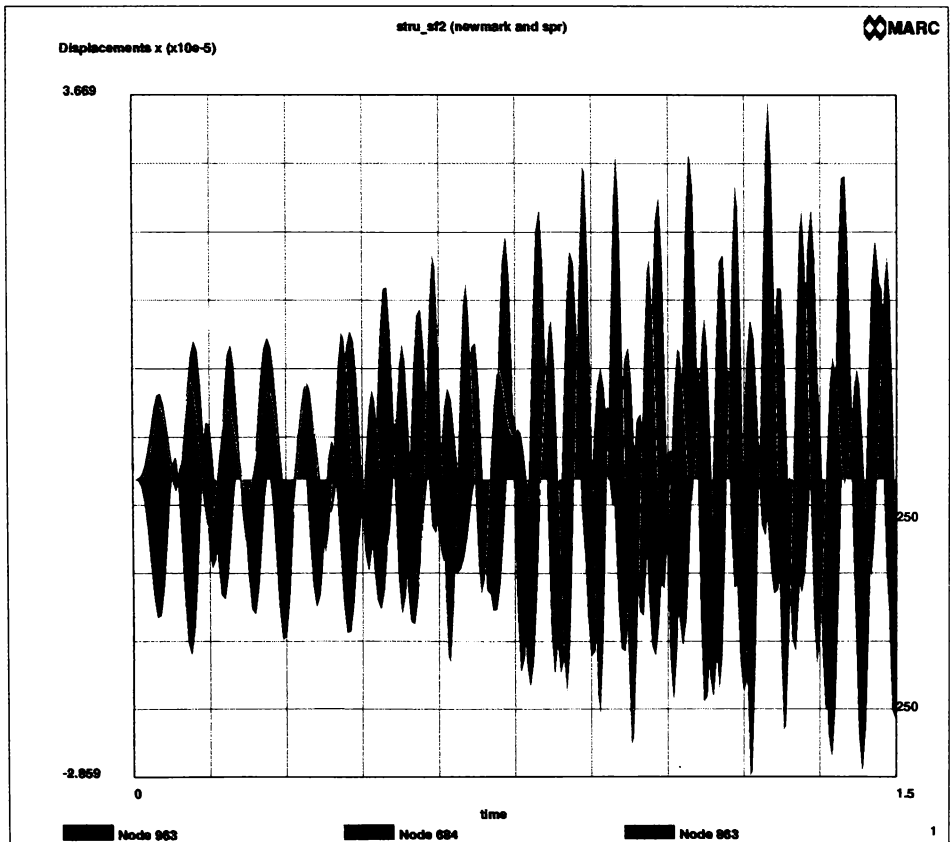


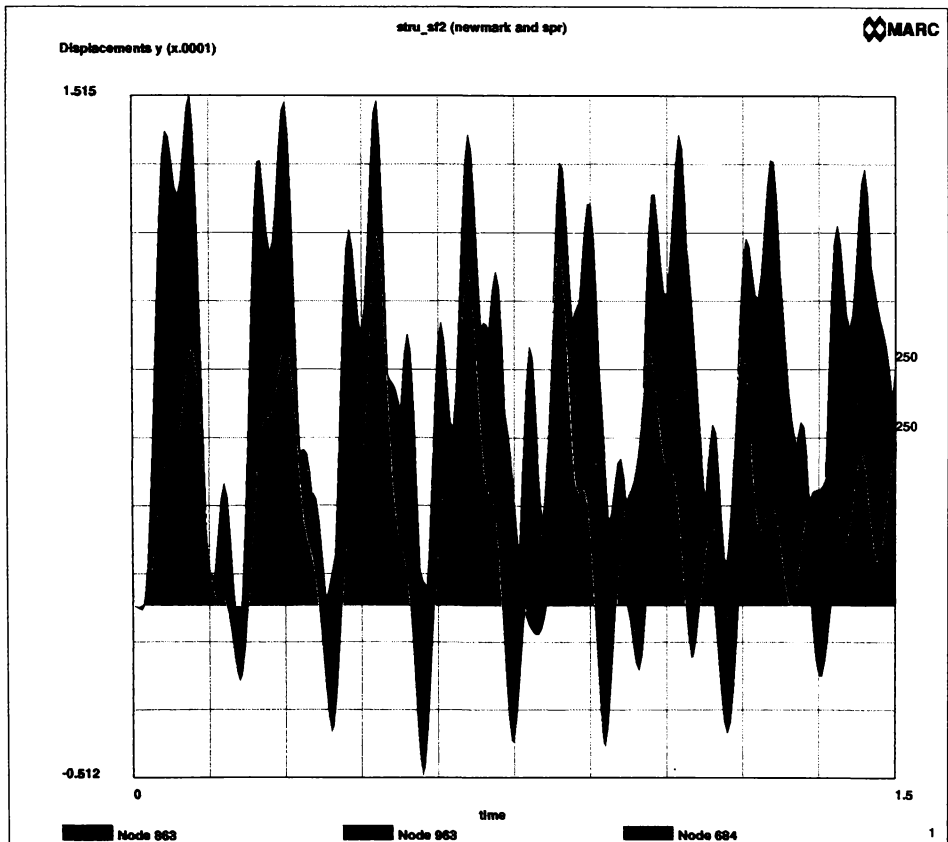


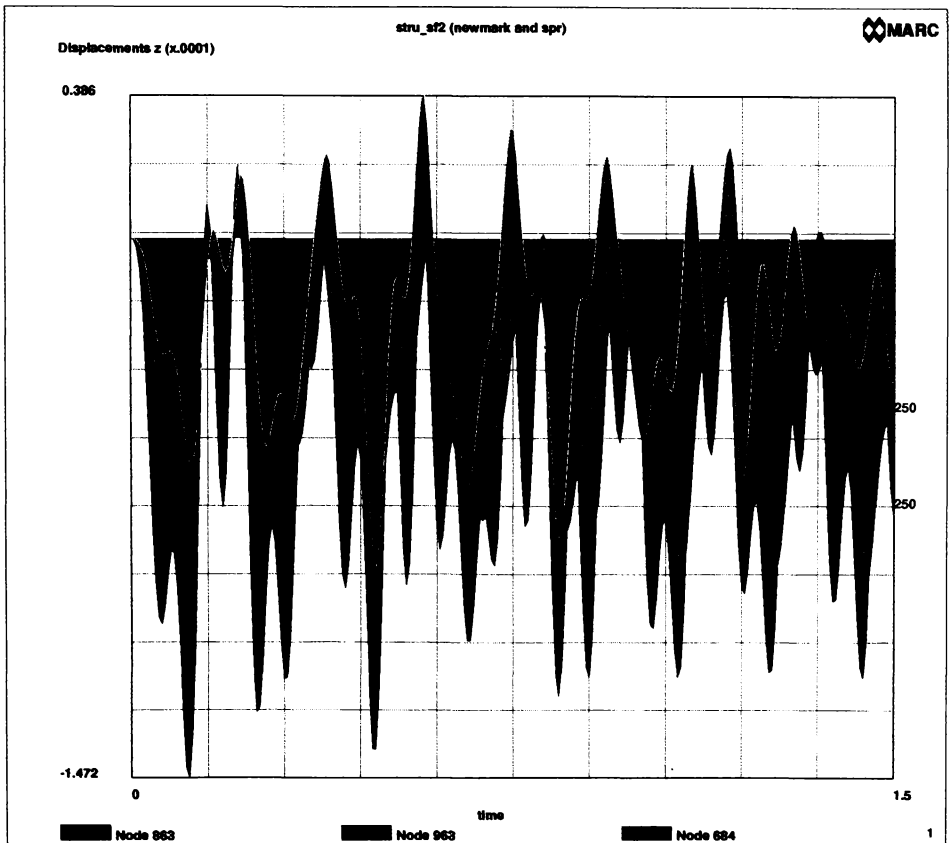


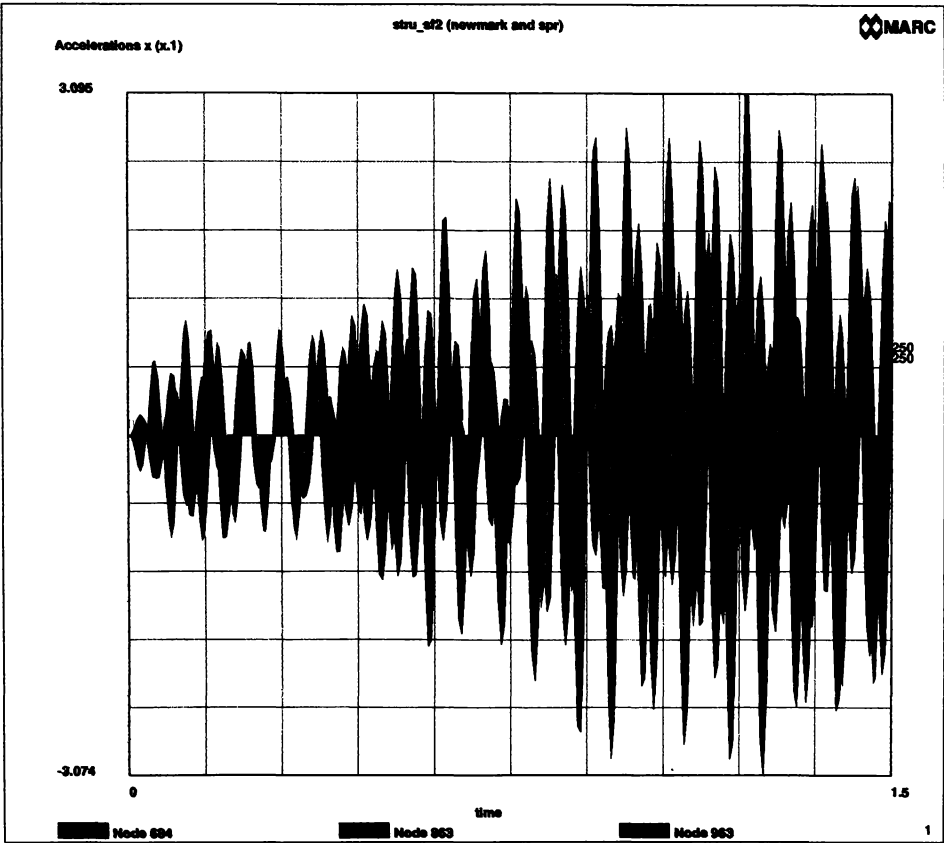


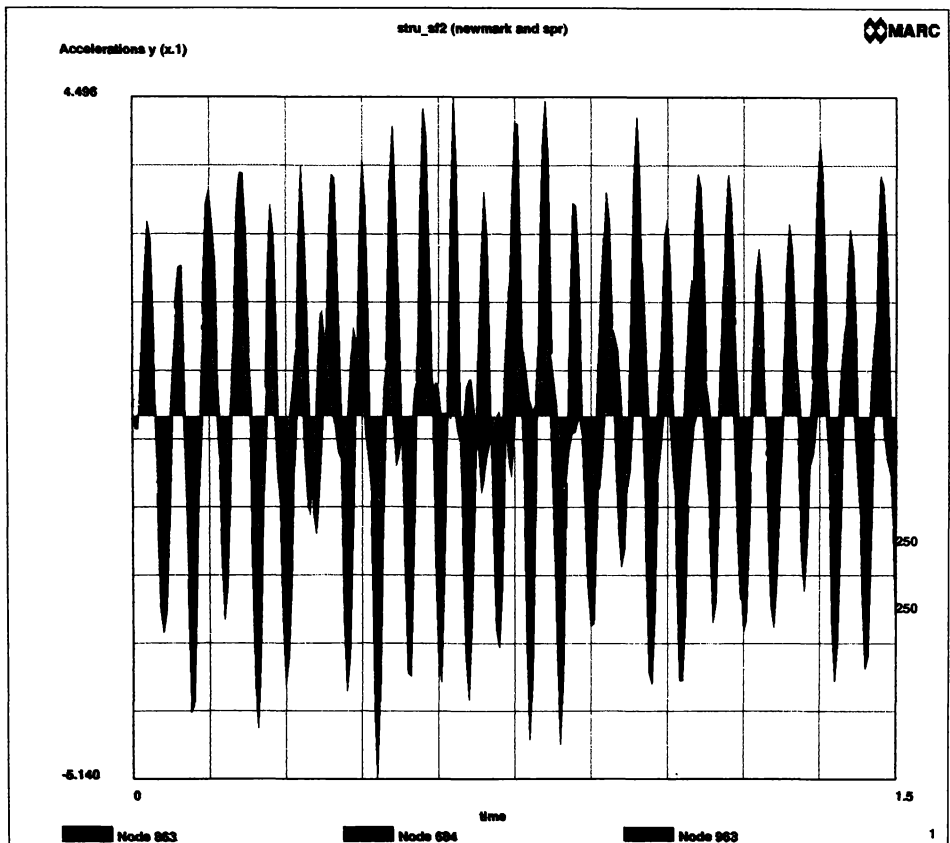


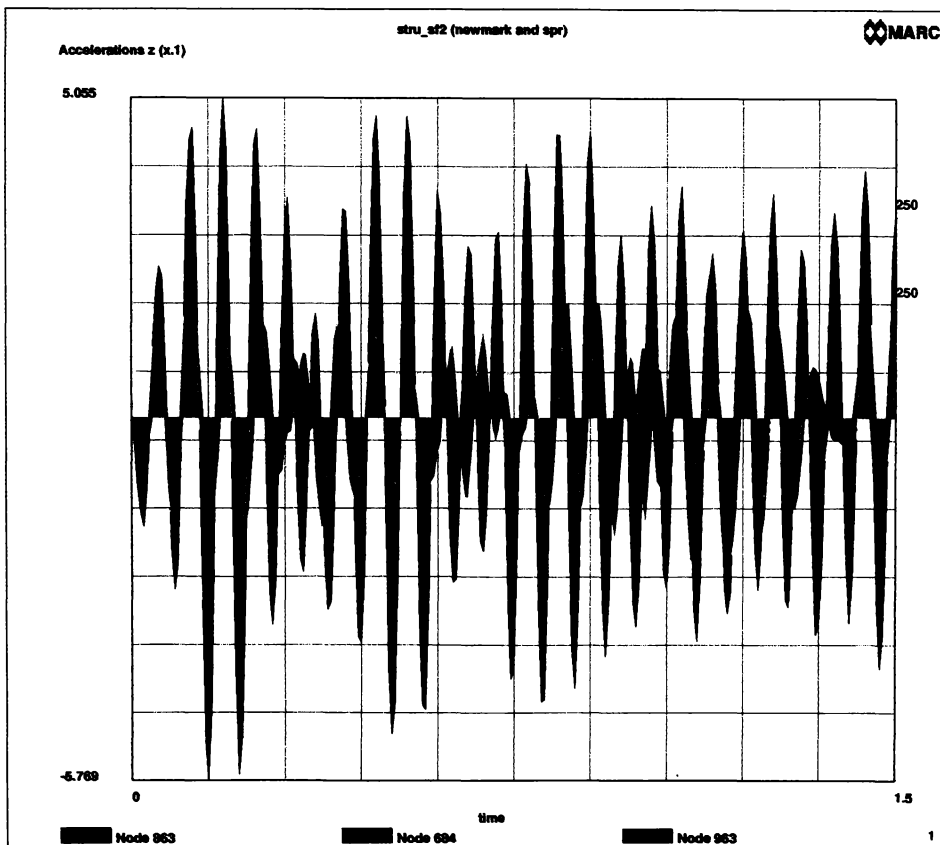


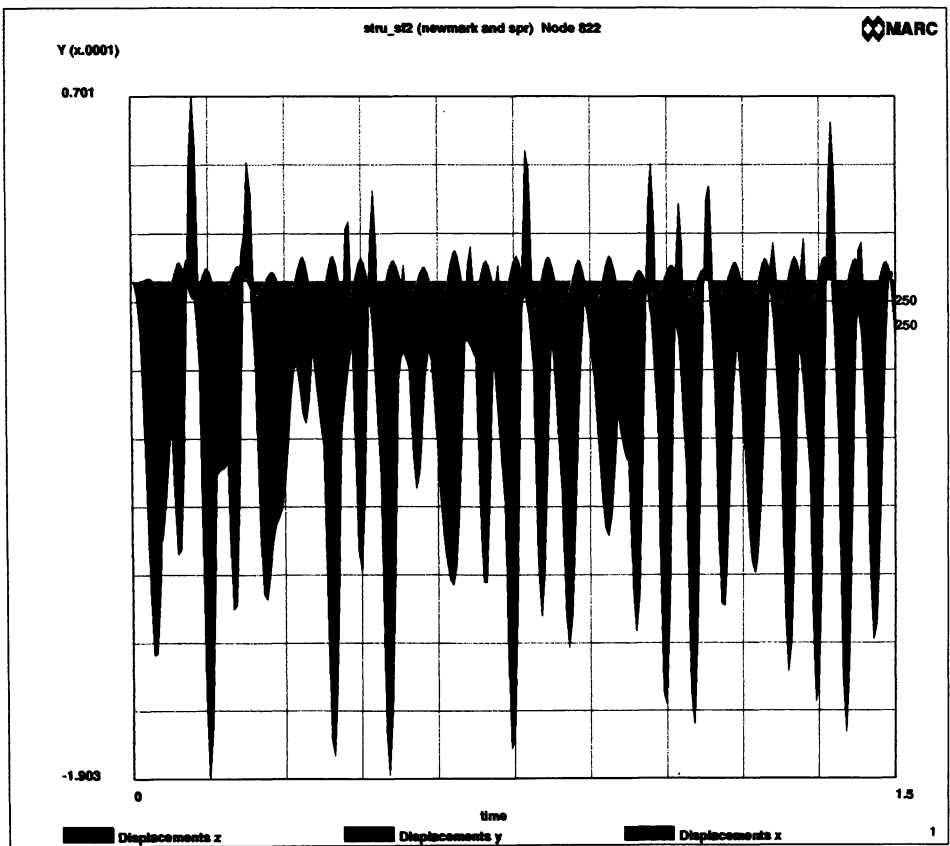


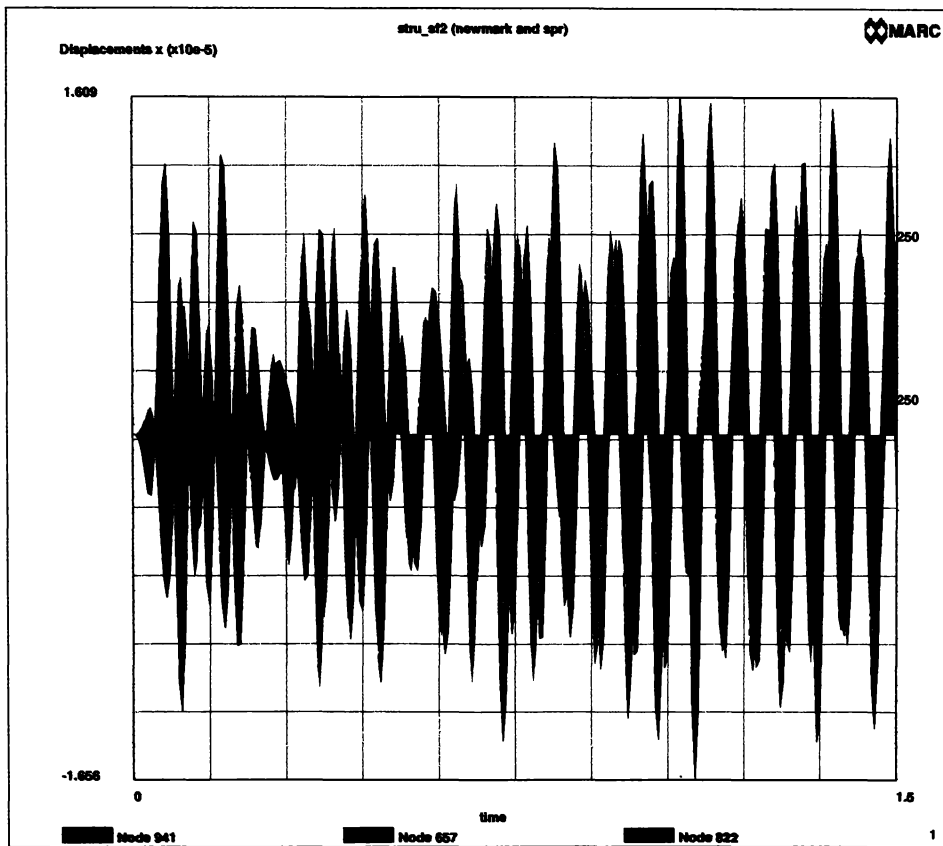


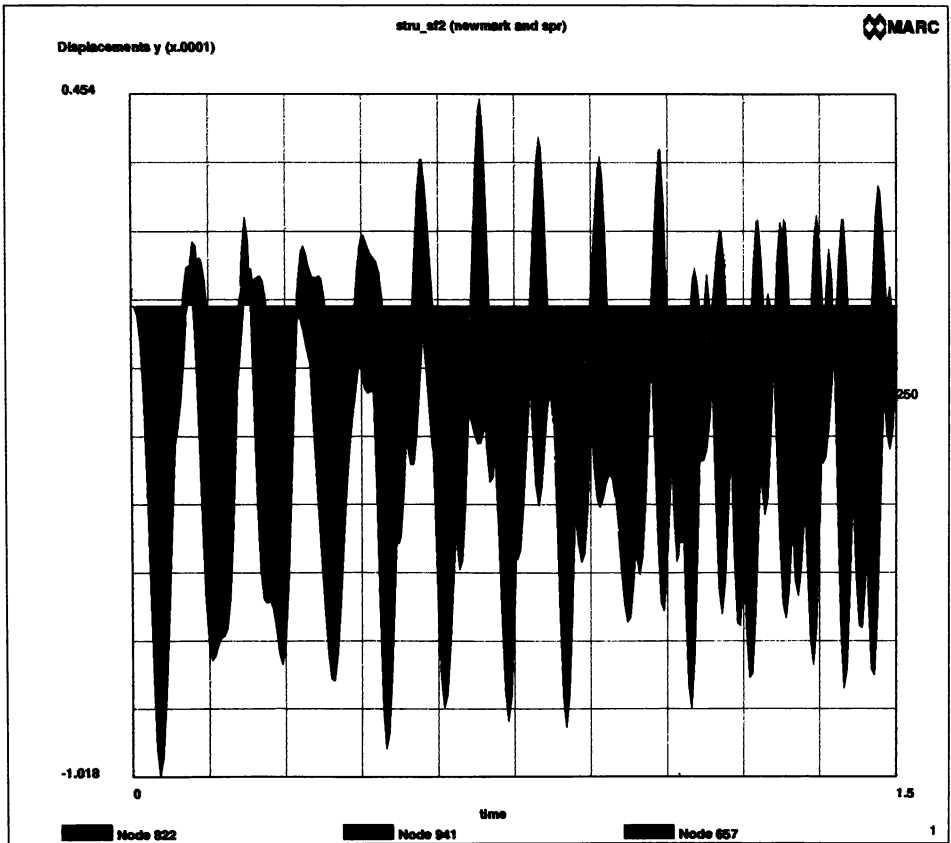


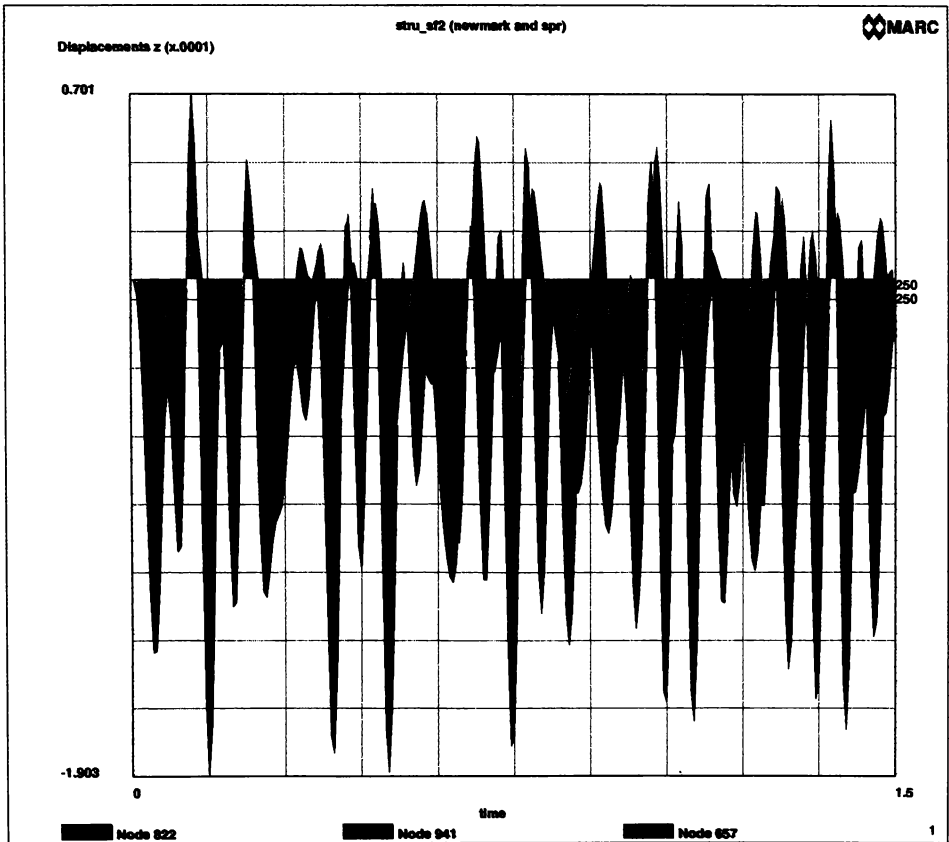


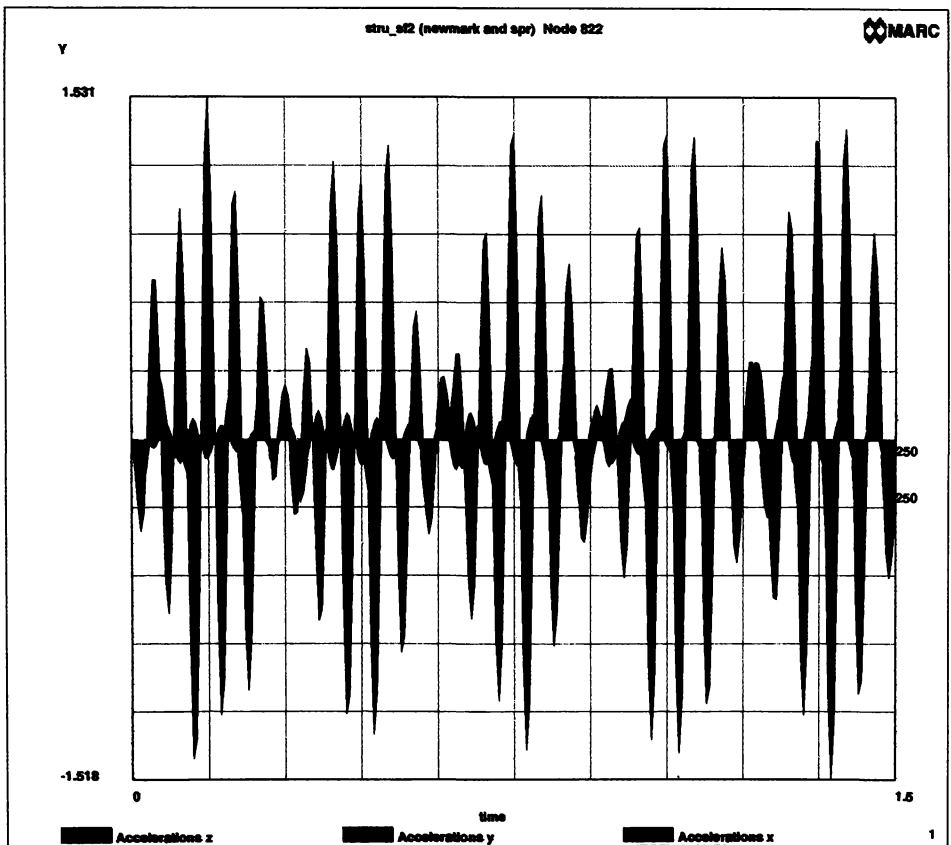


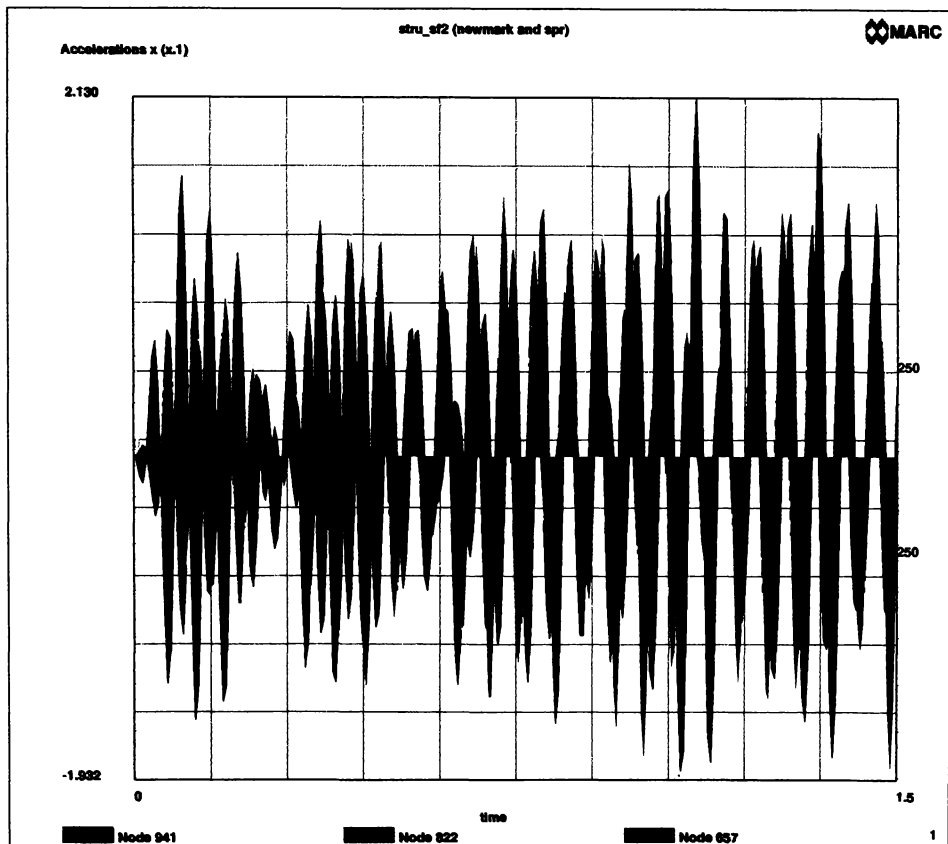


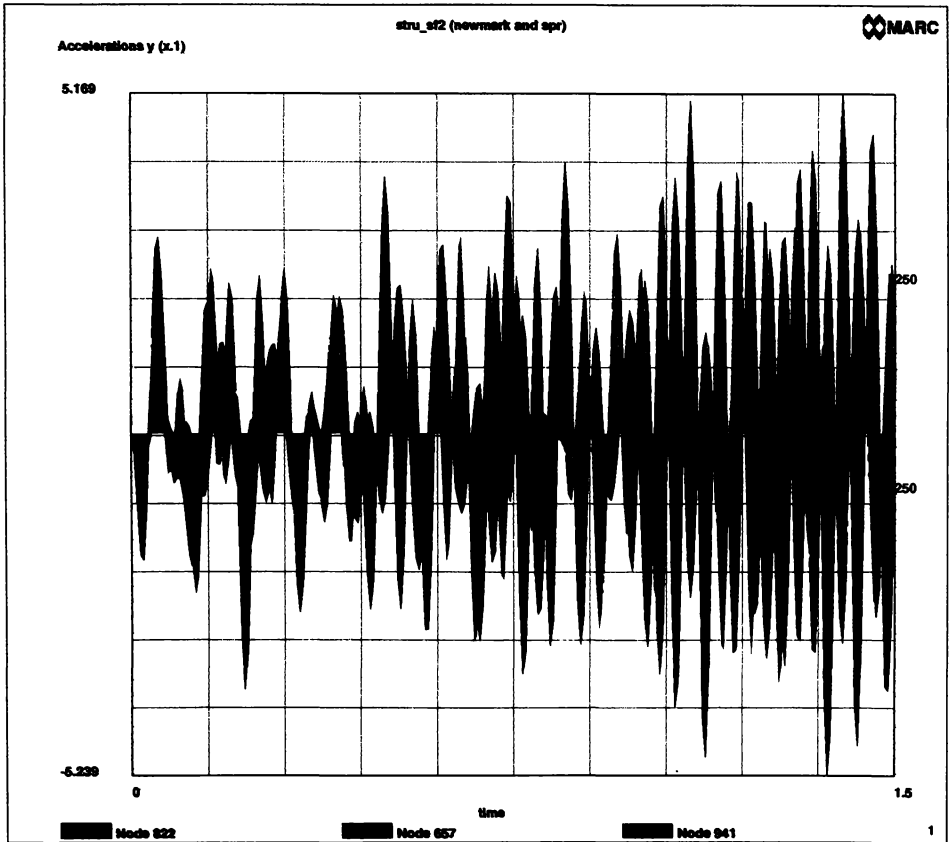


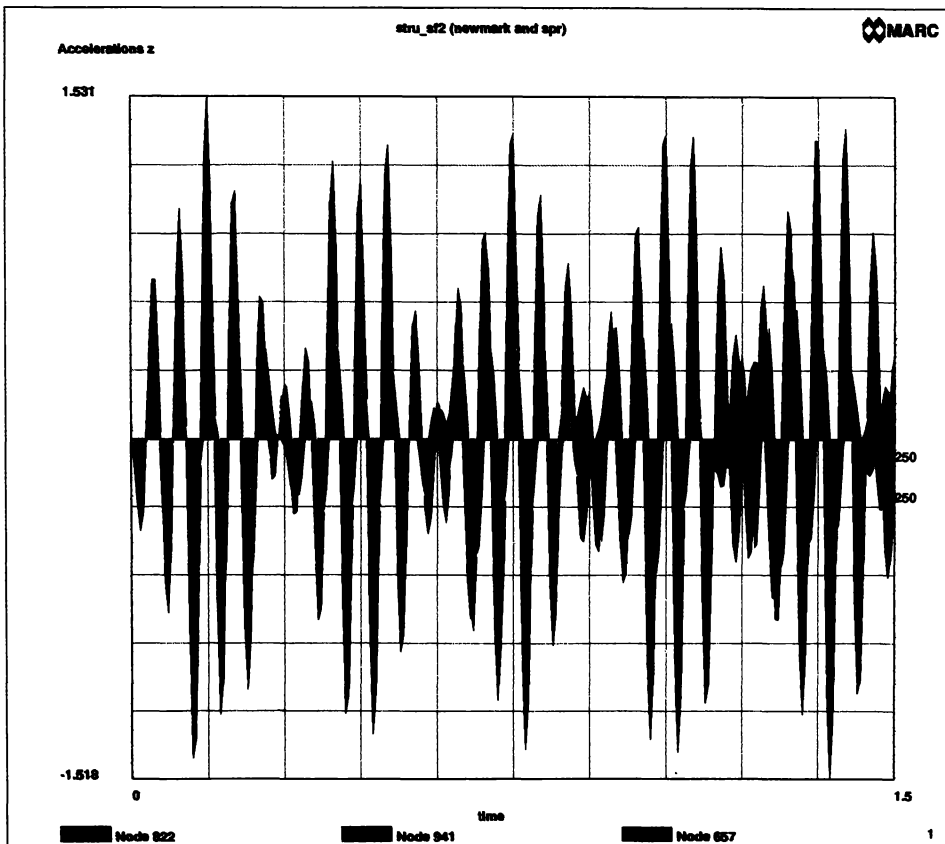


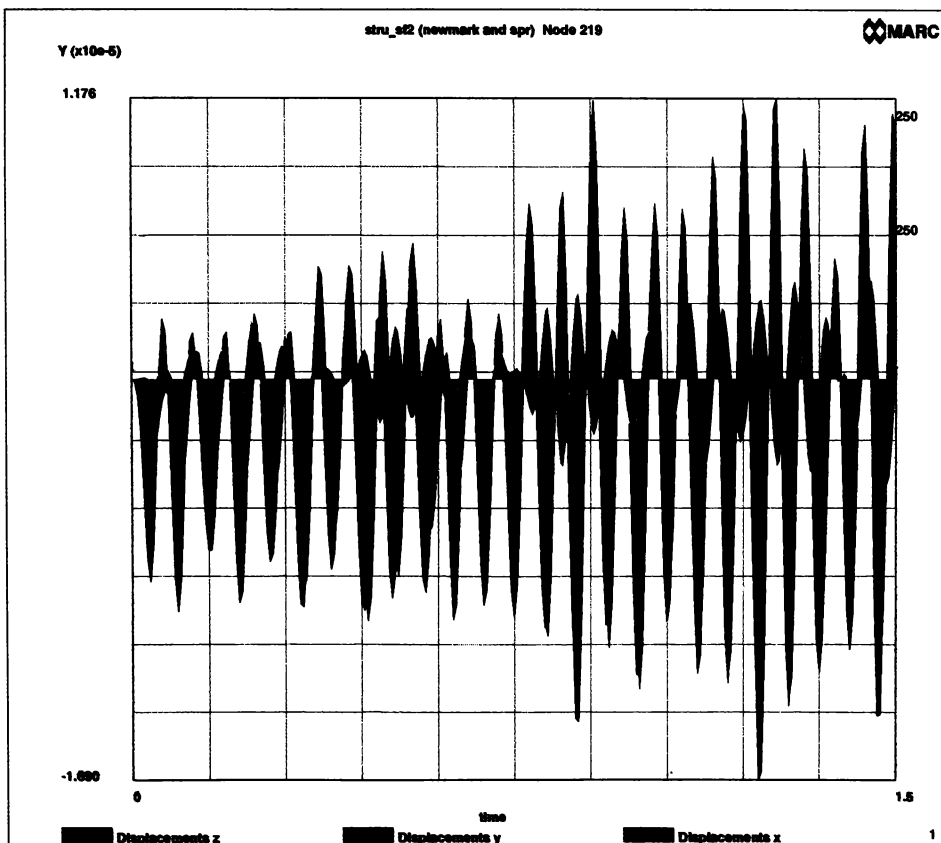


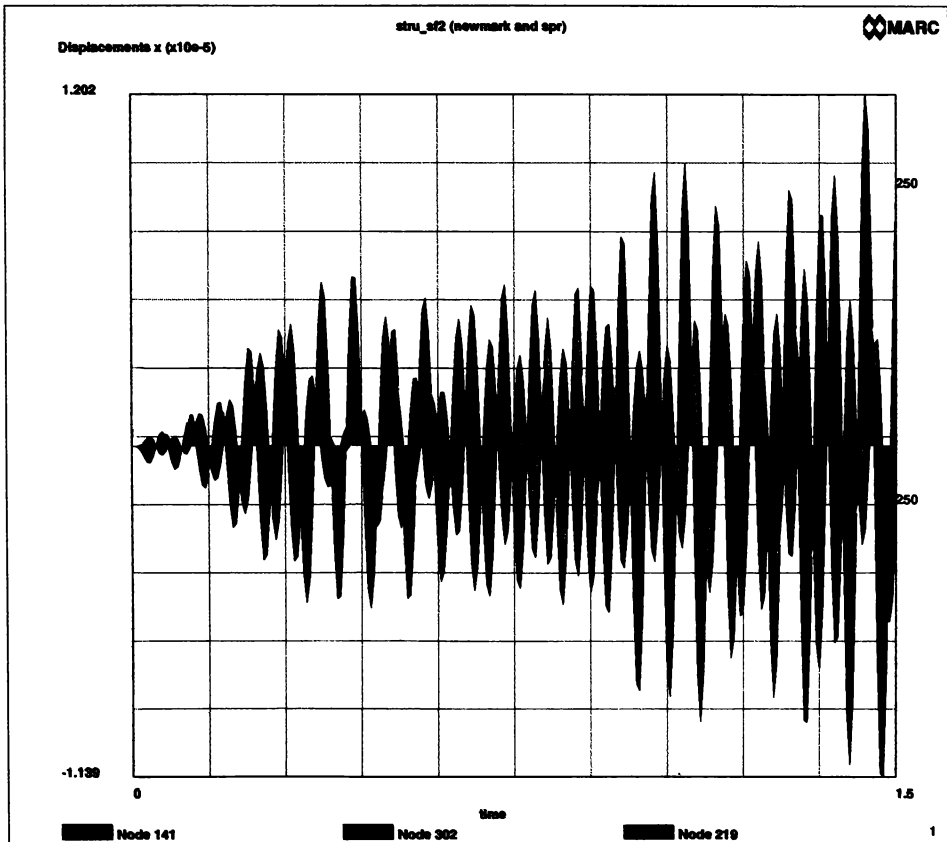


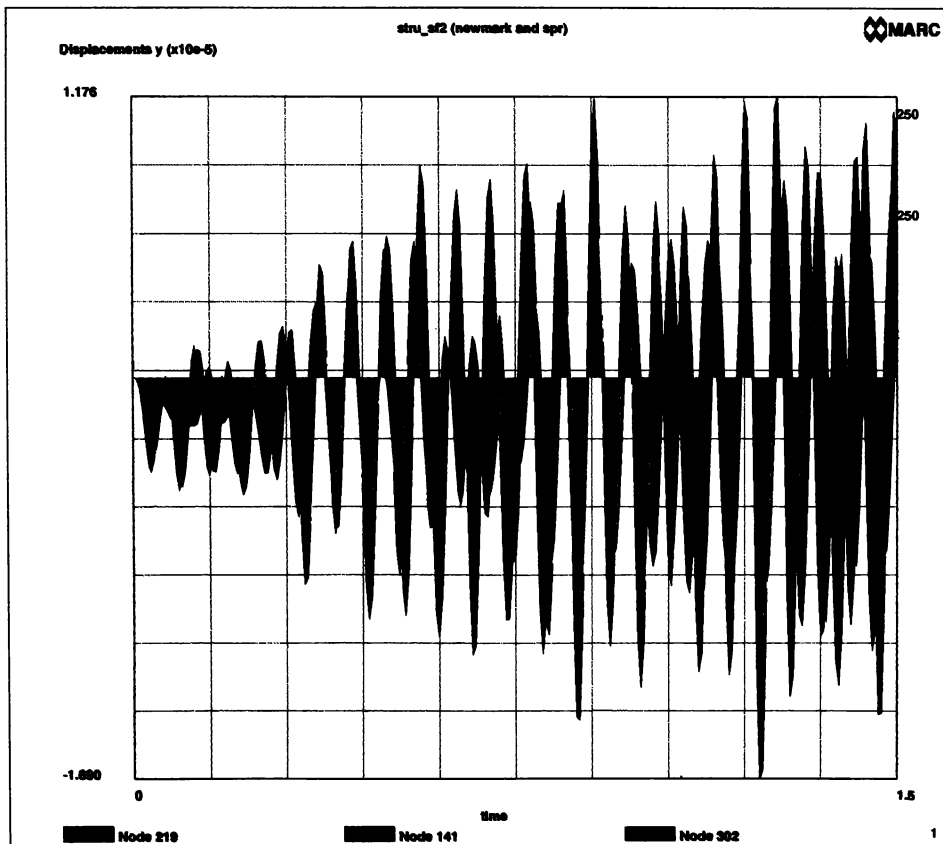


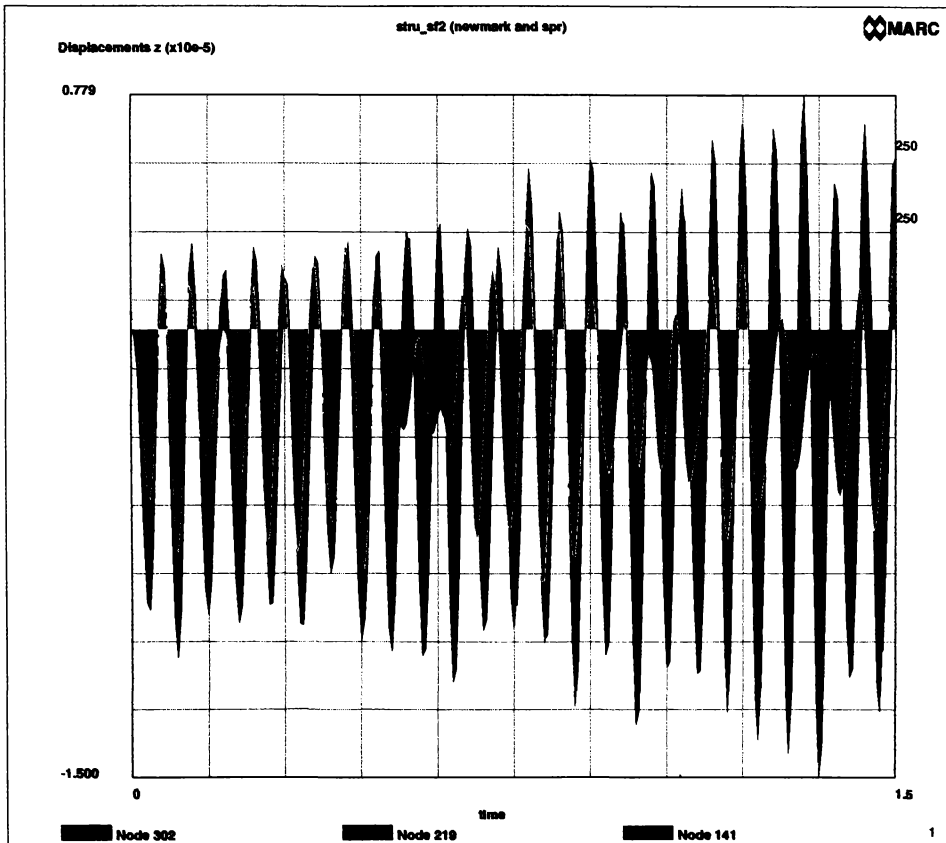


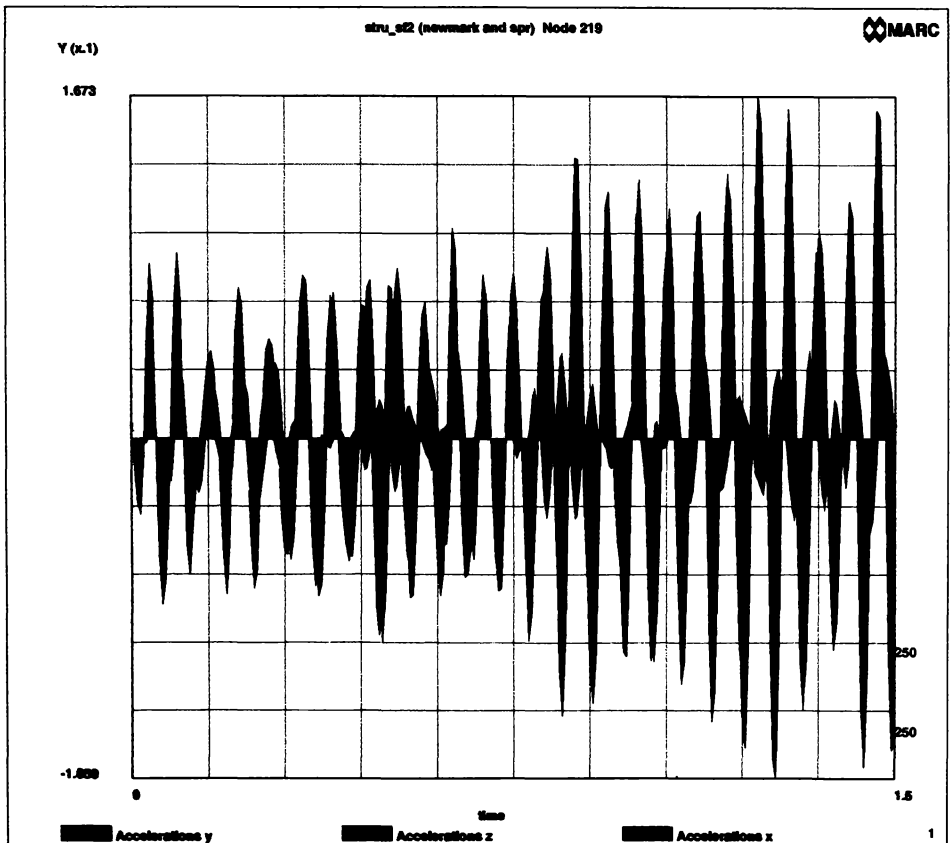


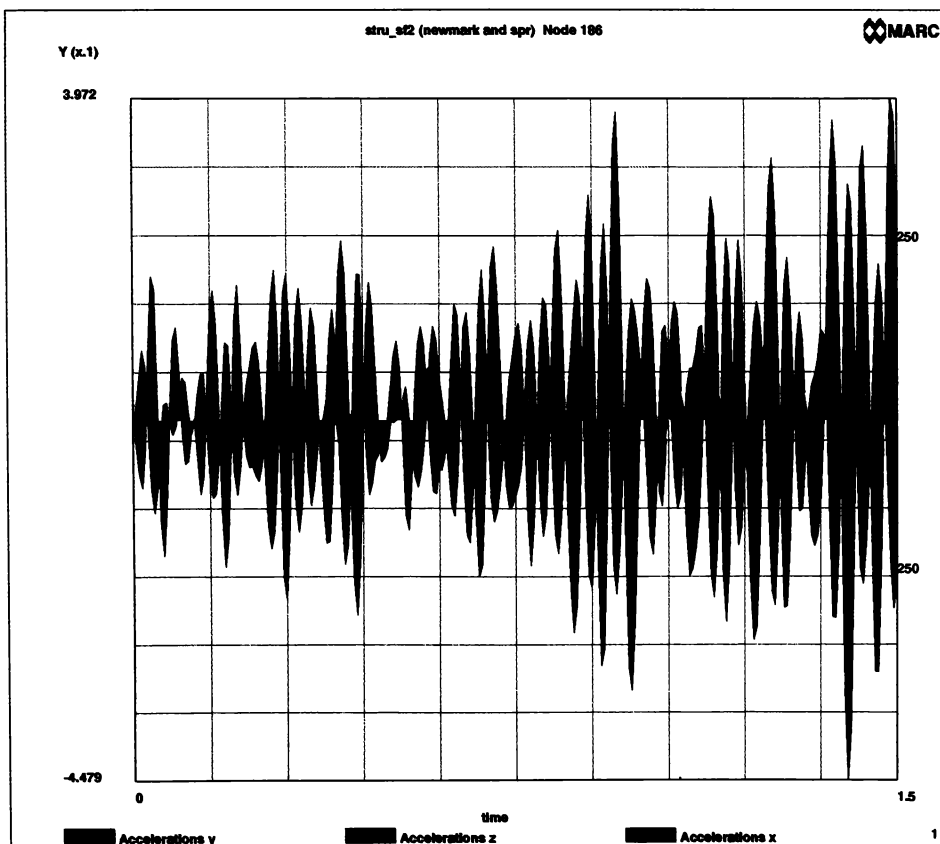


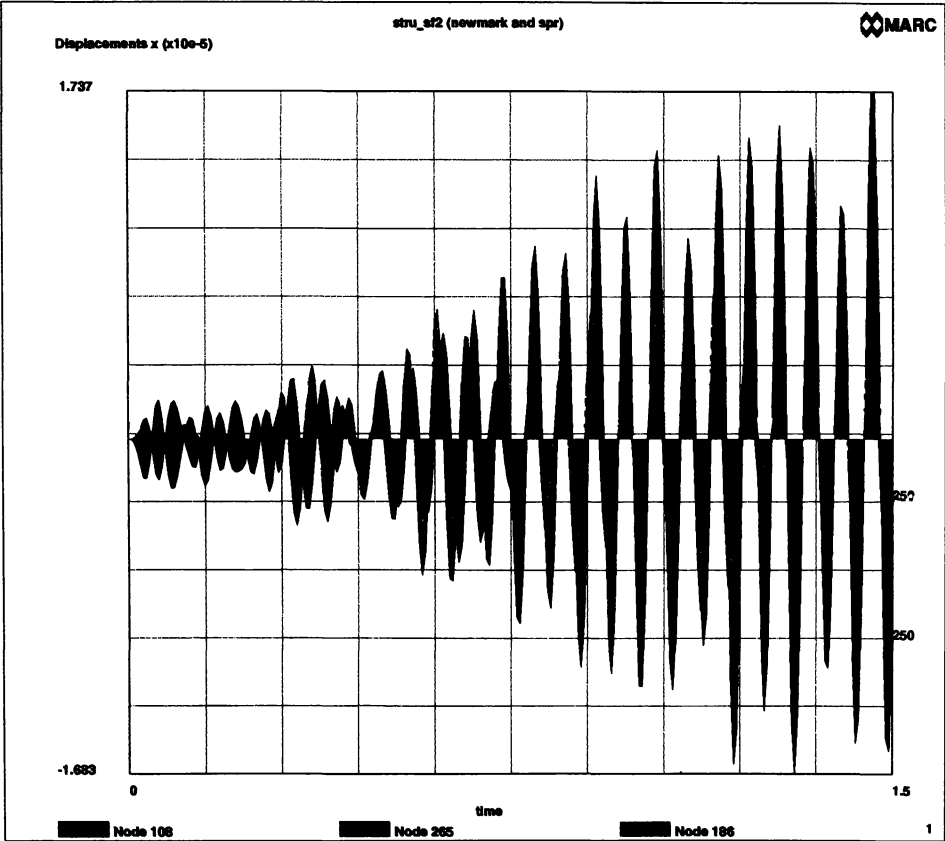


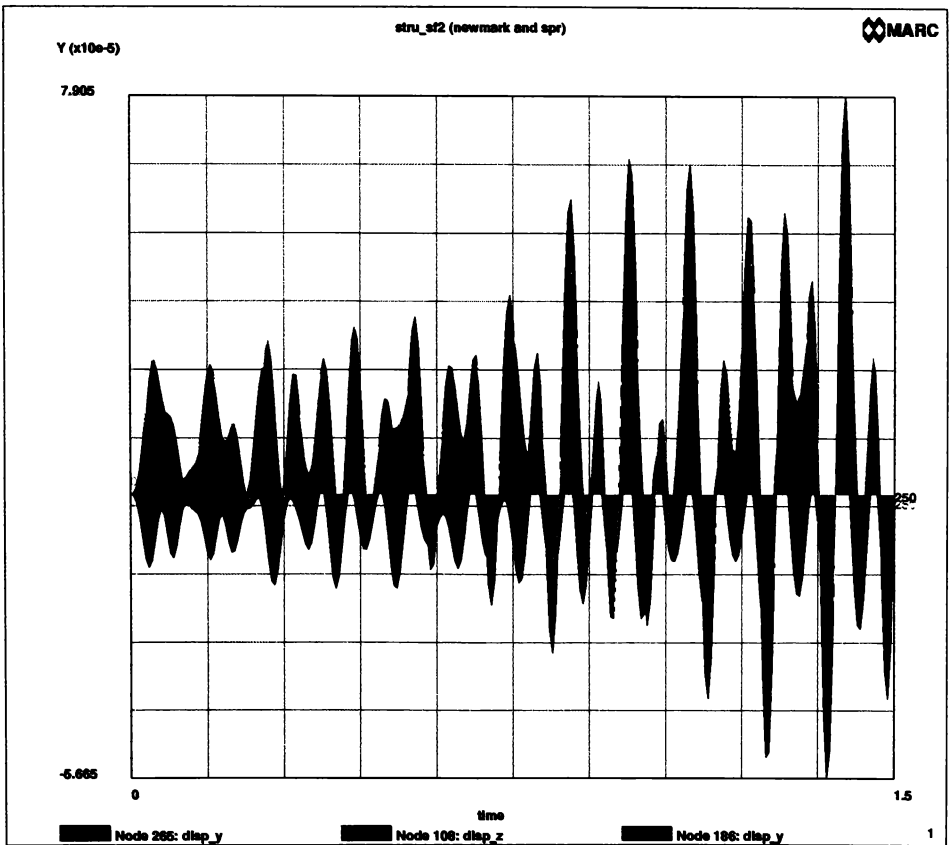


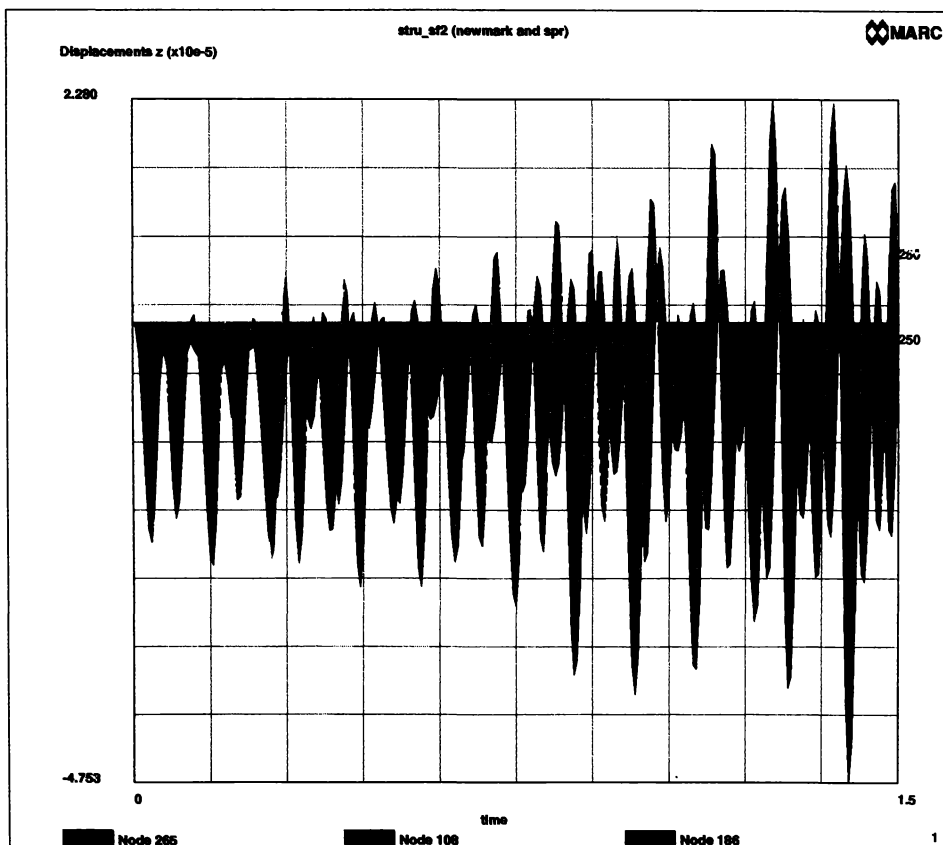


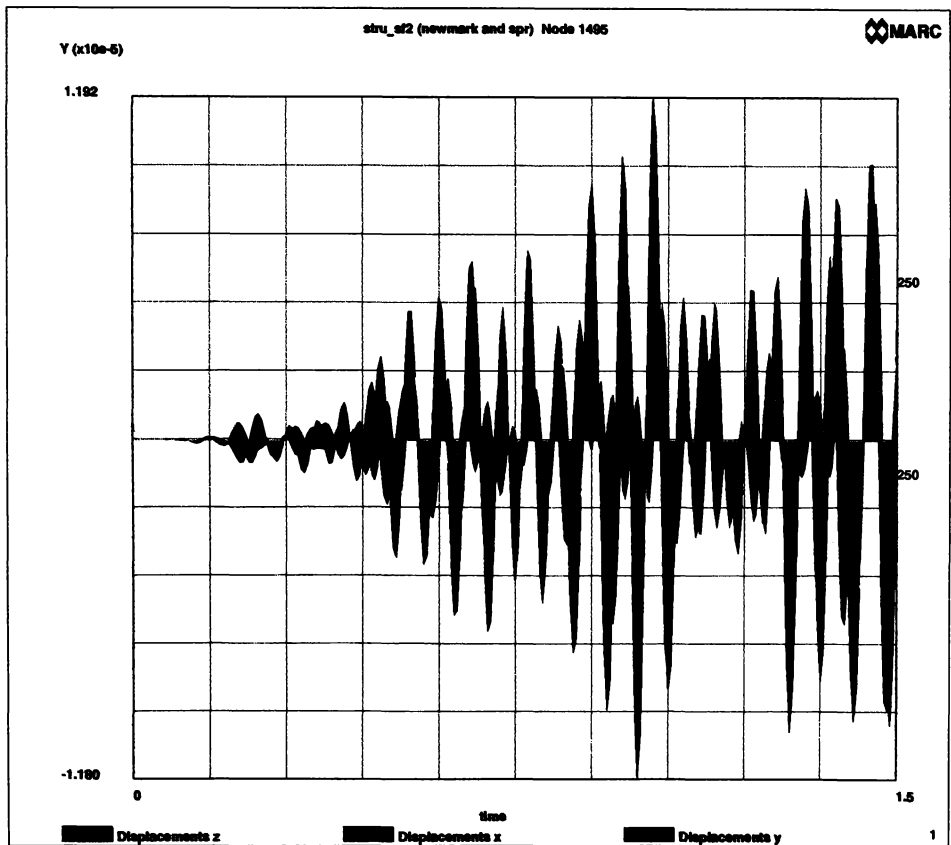


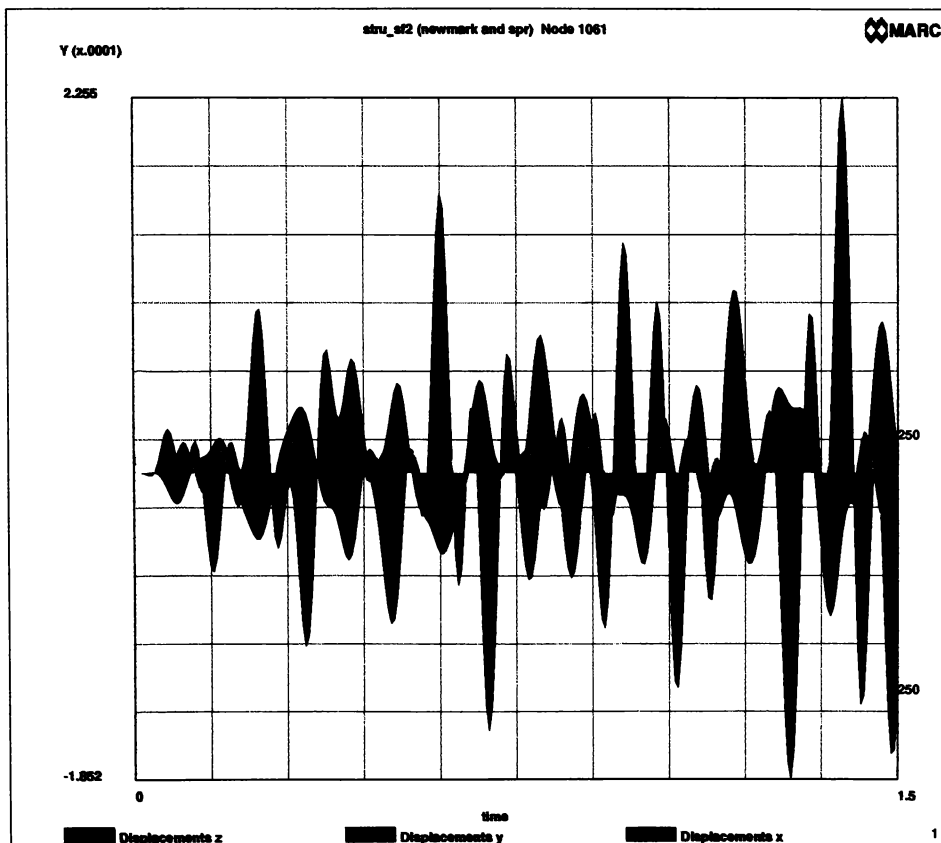


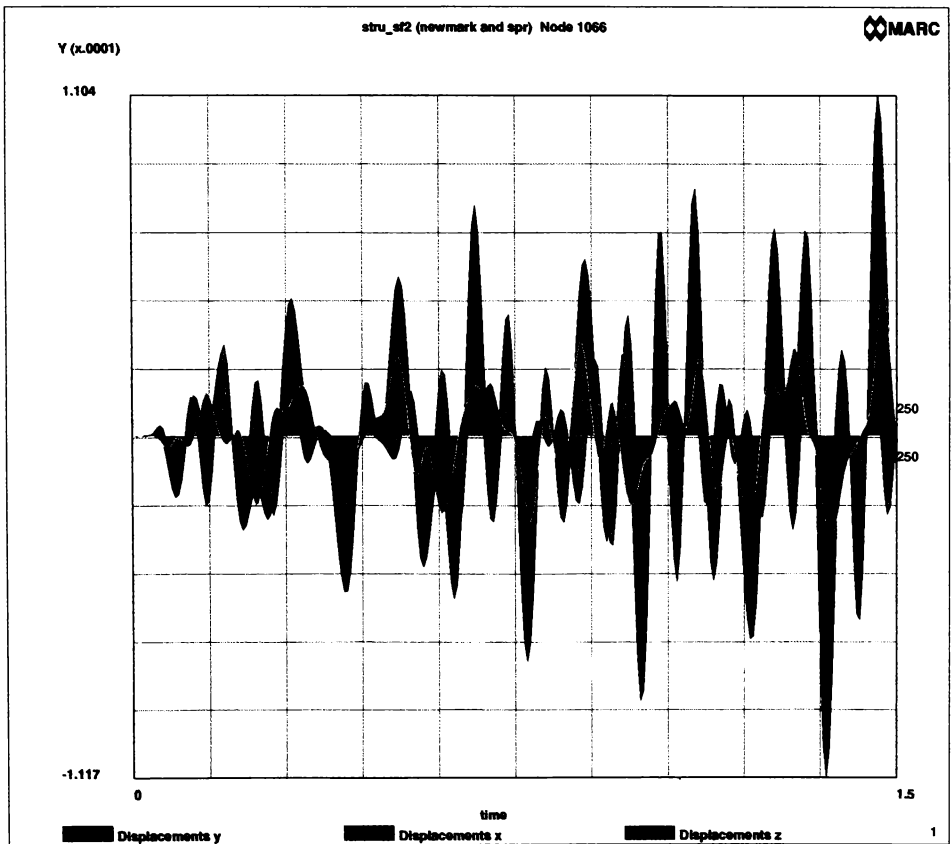


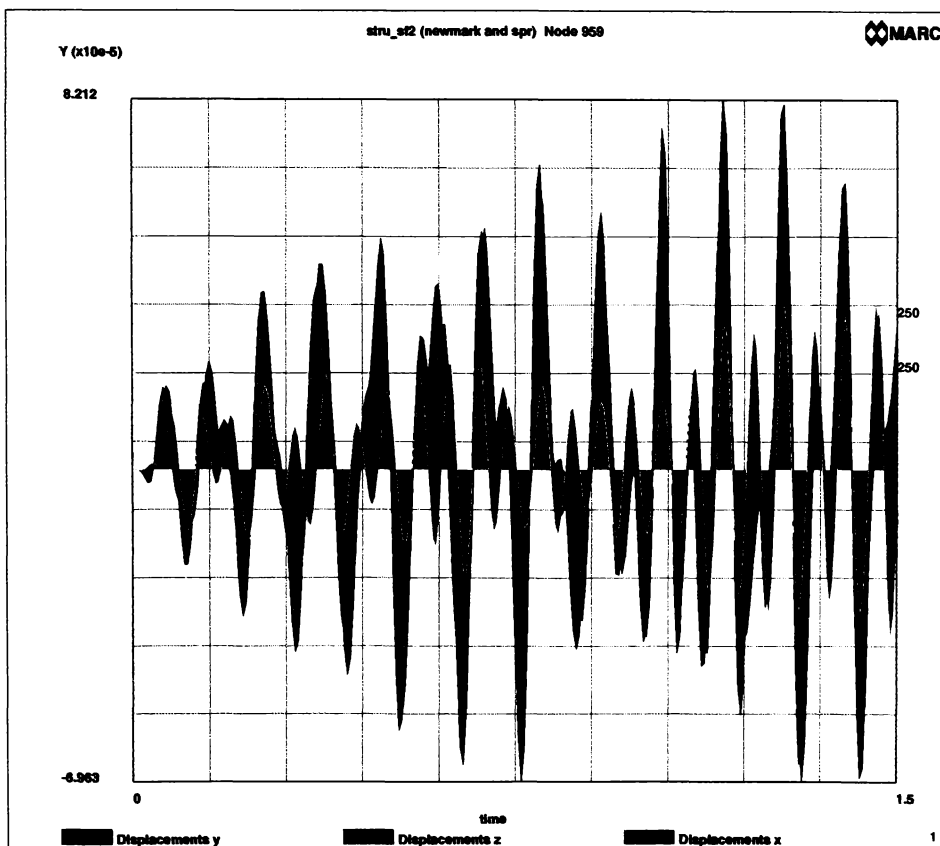


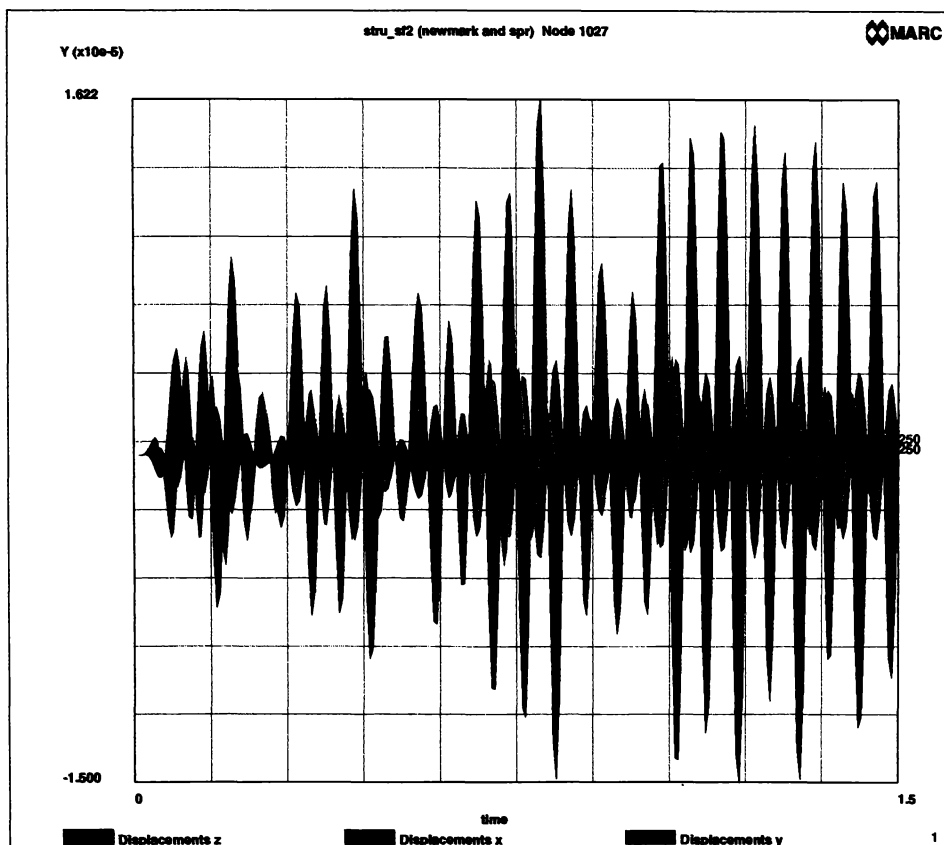


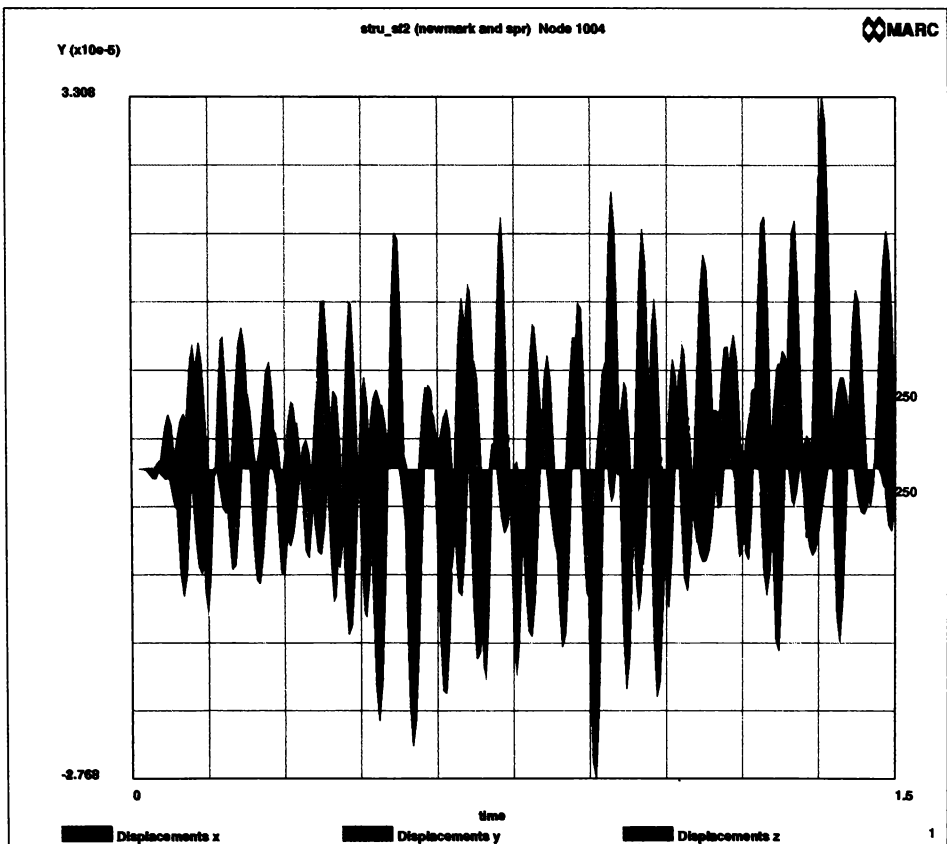


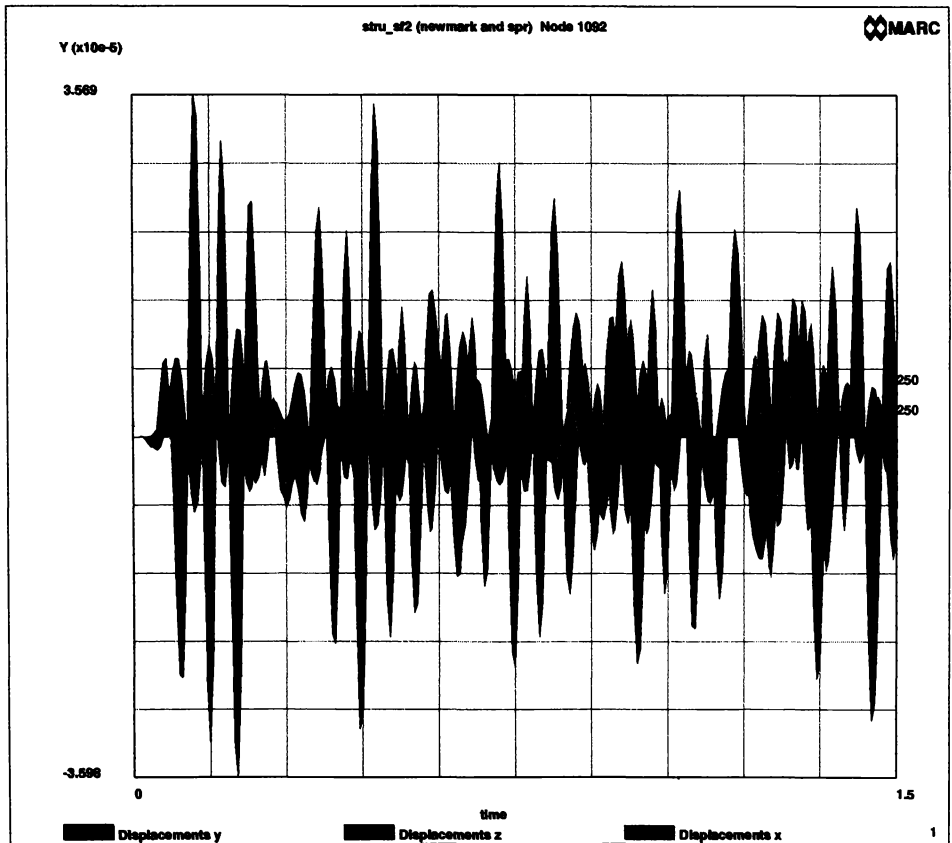


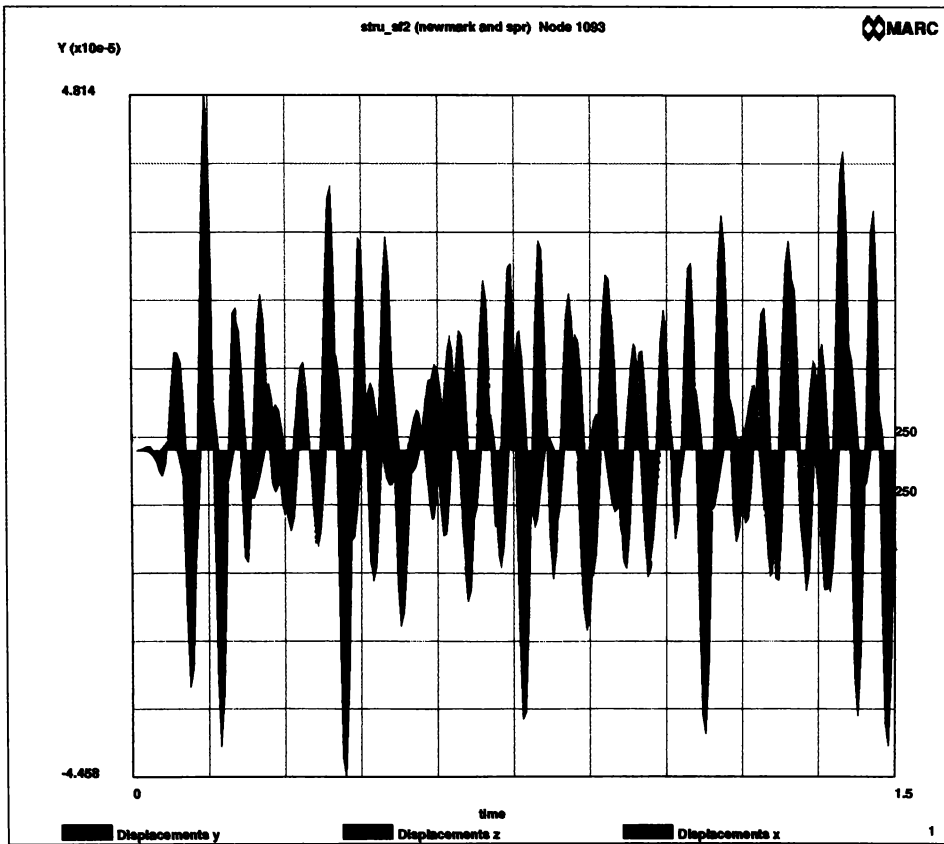


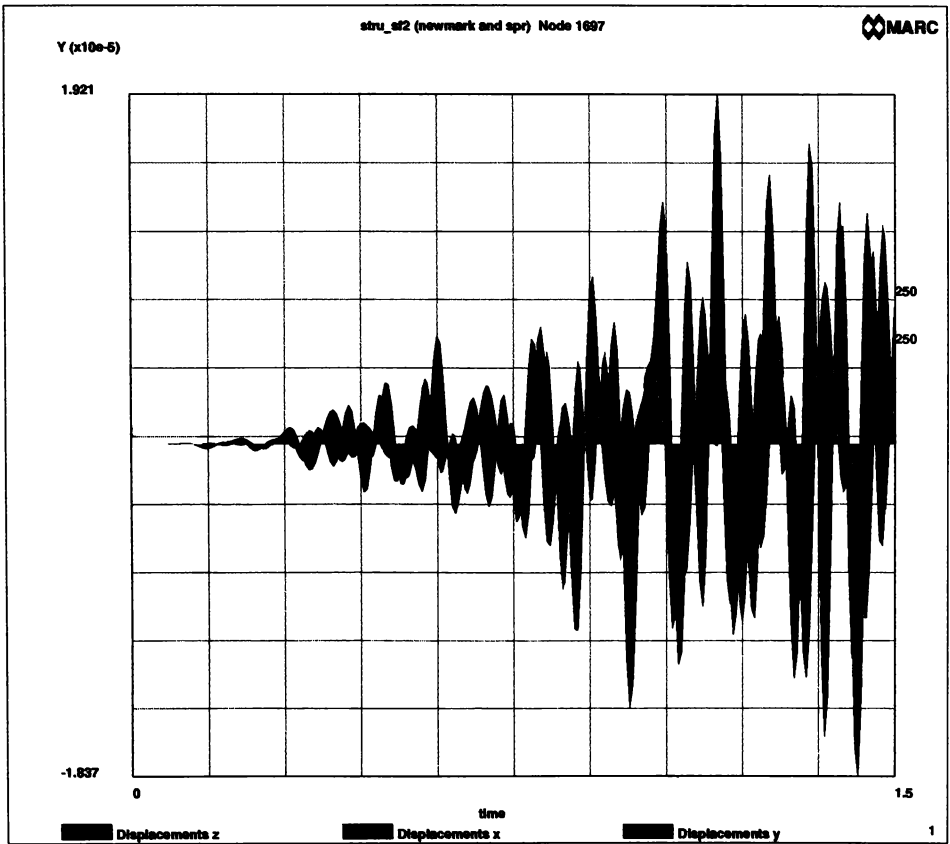


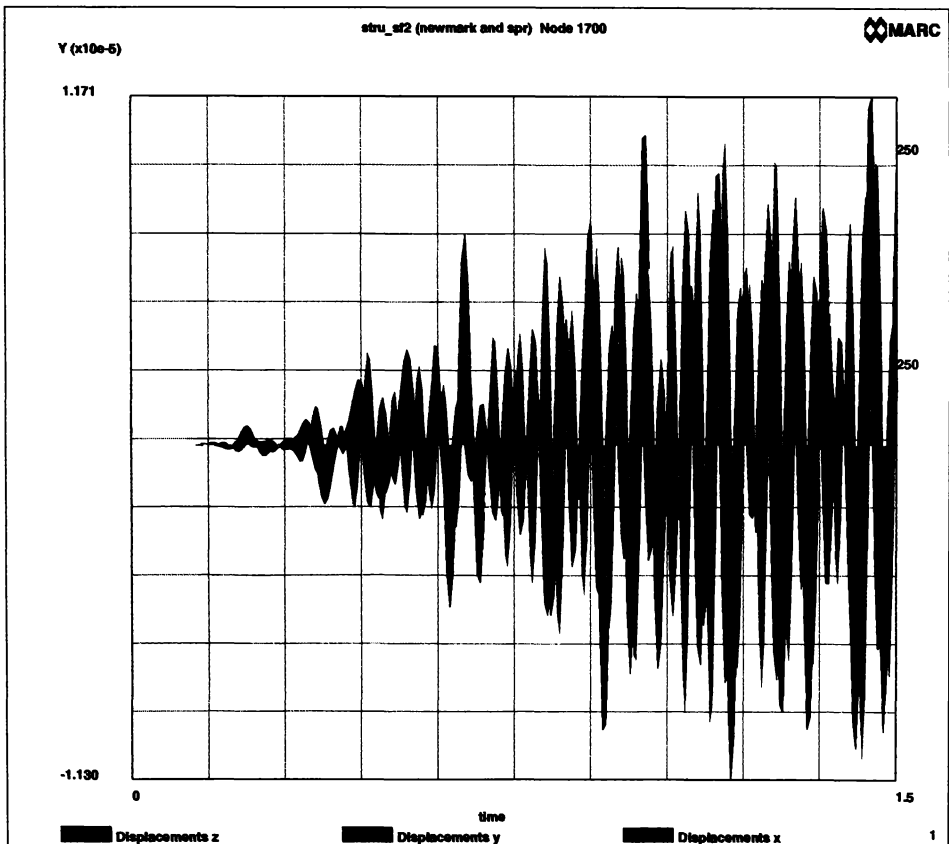












CALCULUL VIBRATIILOR FORTATE pentru:

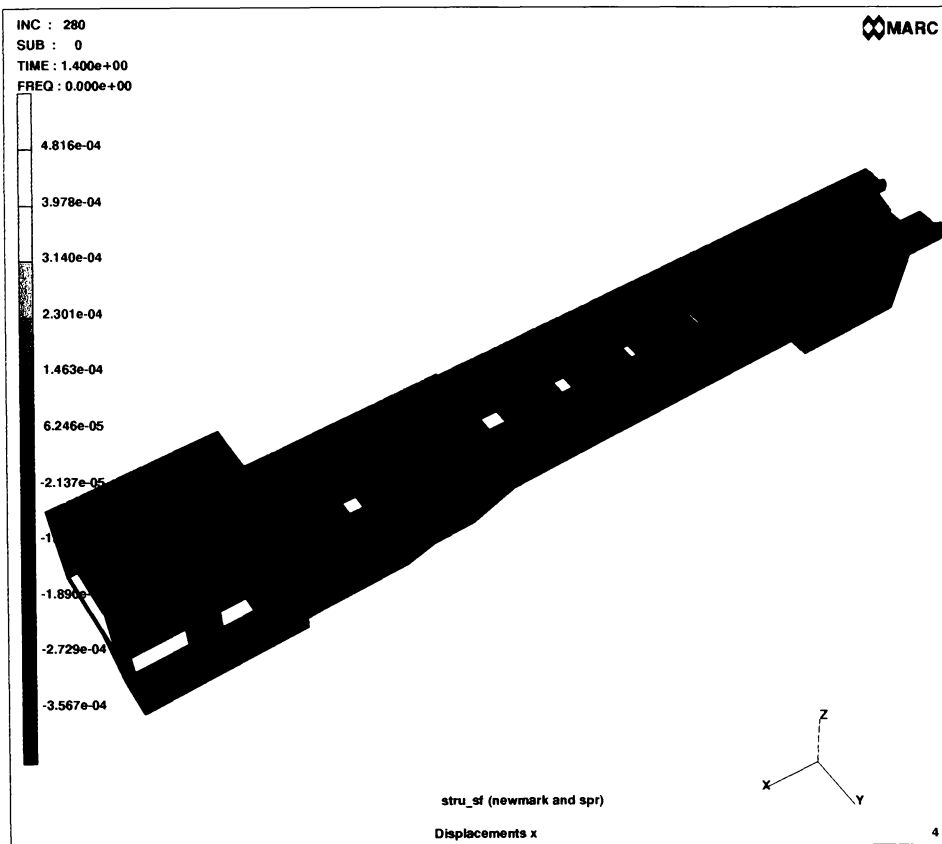
$$n=1200 \text{ rpm}$$

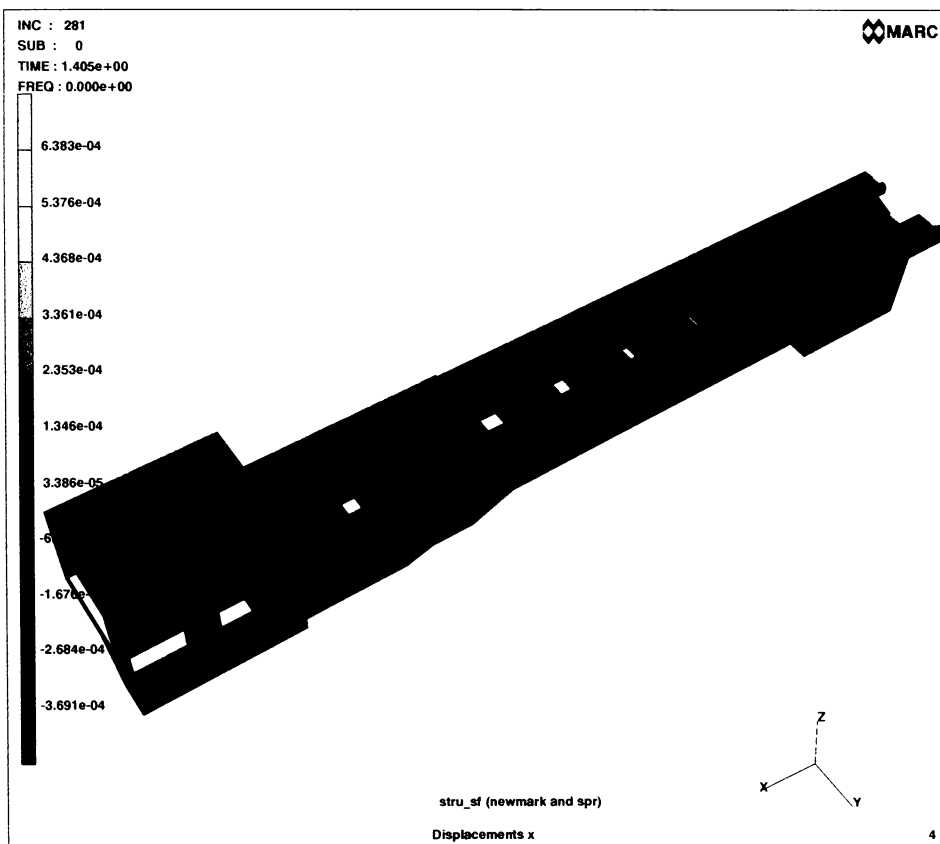
$$t=1.5 \text{ s} ; \Delta t =0.005 \text{ ms}$$

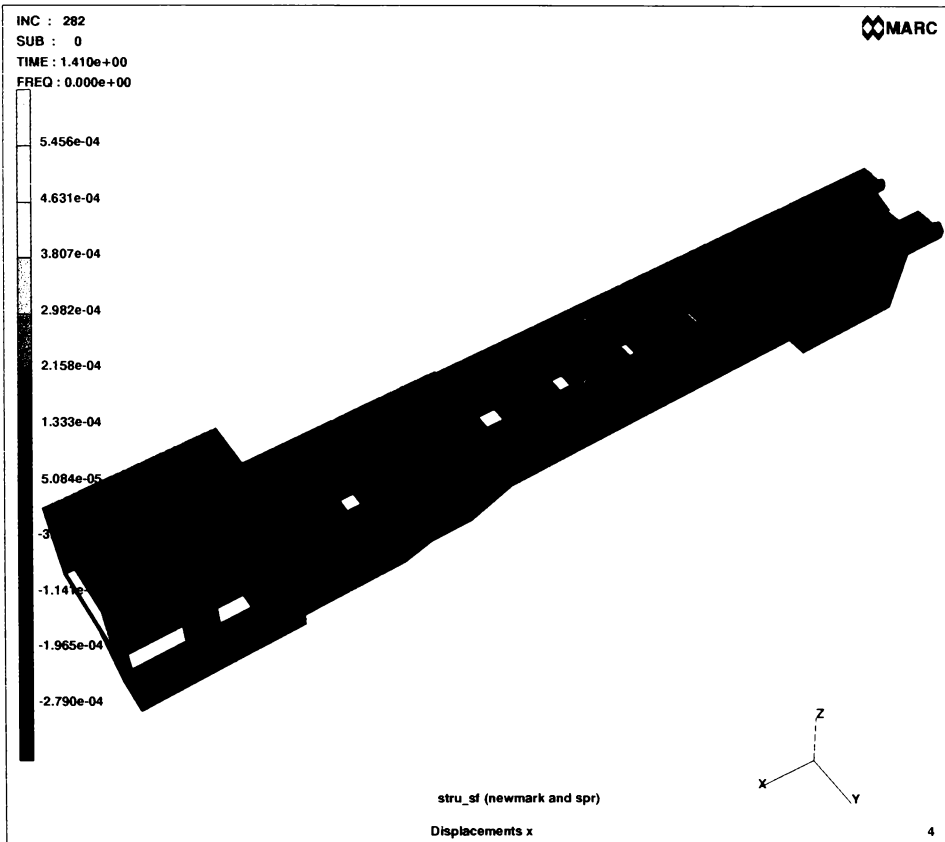
$$p_{nod} = \bar{p}_{o,nod} + p_o \cos \omega t$$

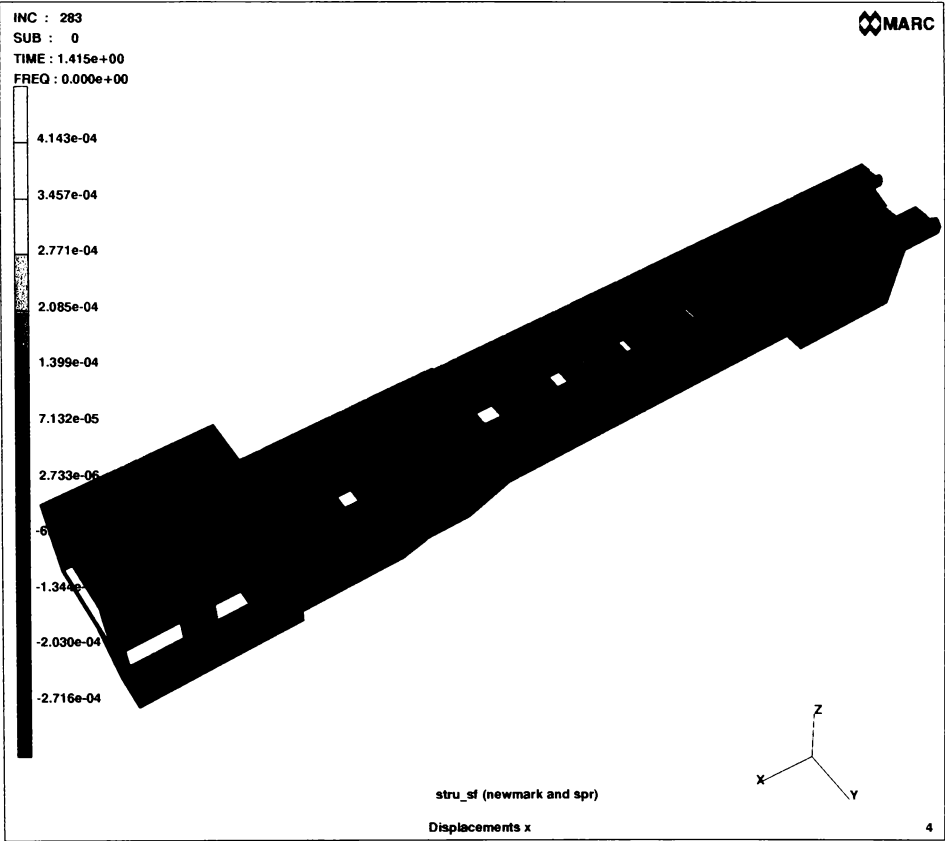
$$p_o = 0.1 \bar{p}_{o,nod}$$

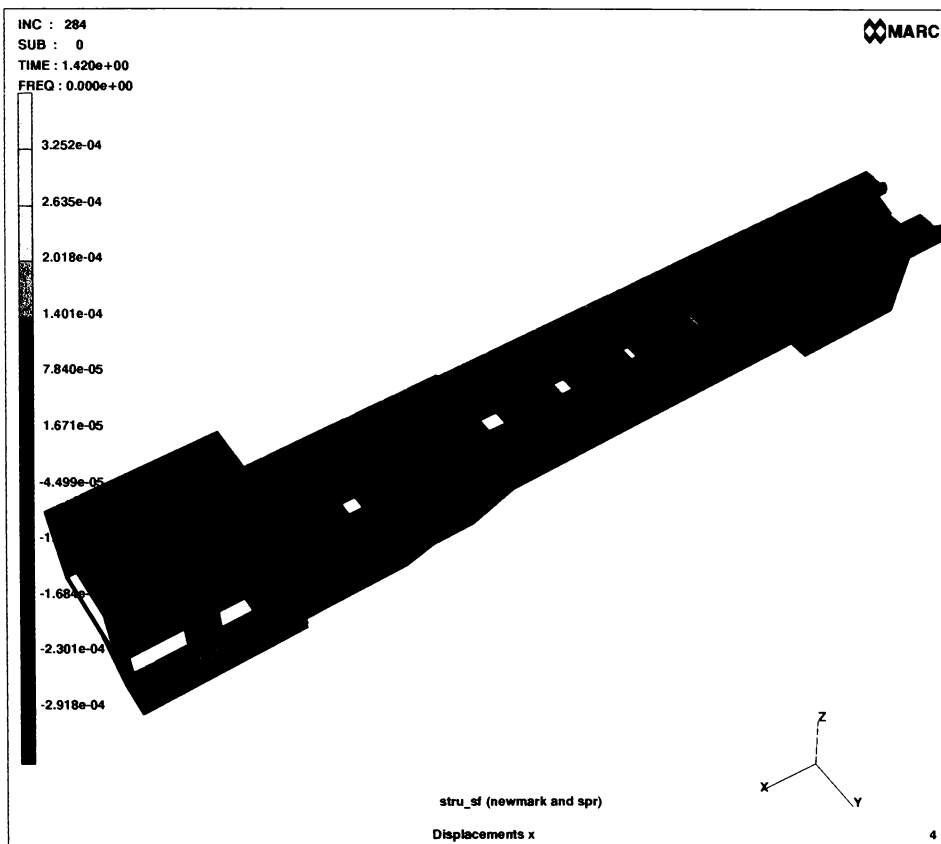
**amortizare structurala si prin
suruburi fundatie**

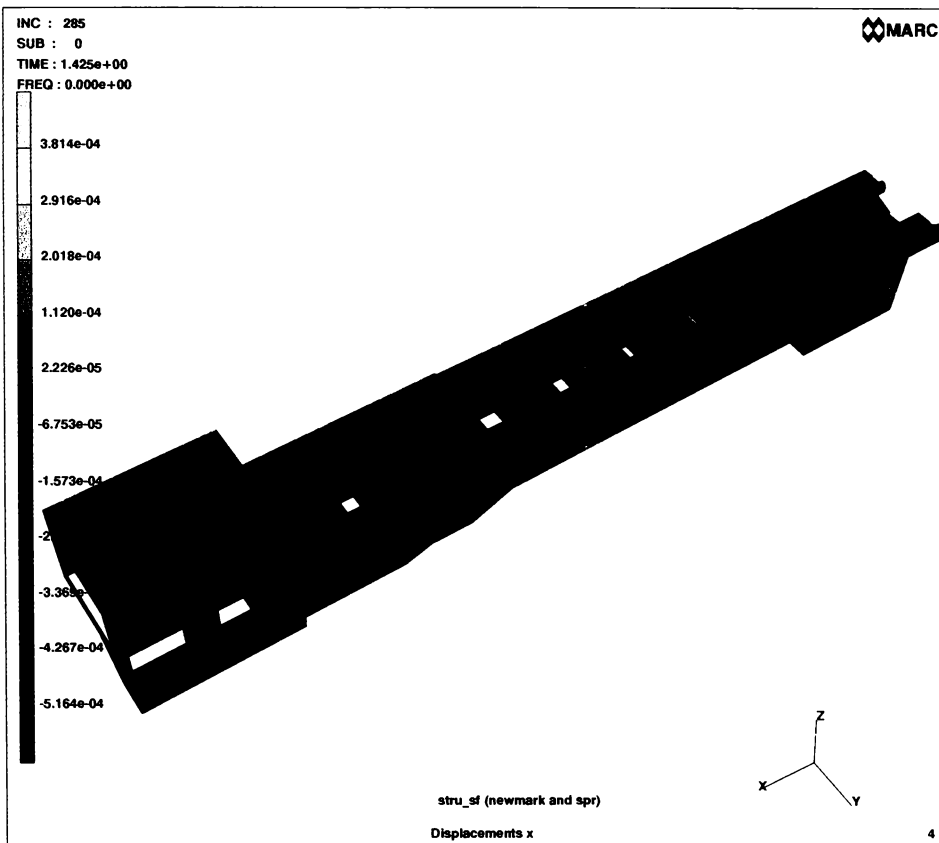


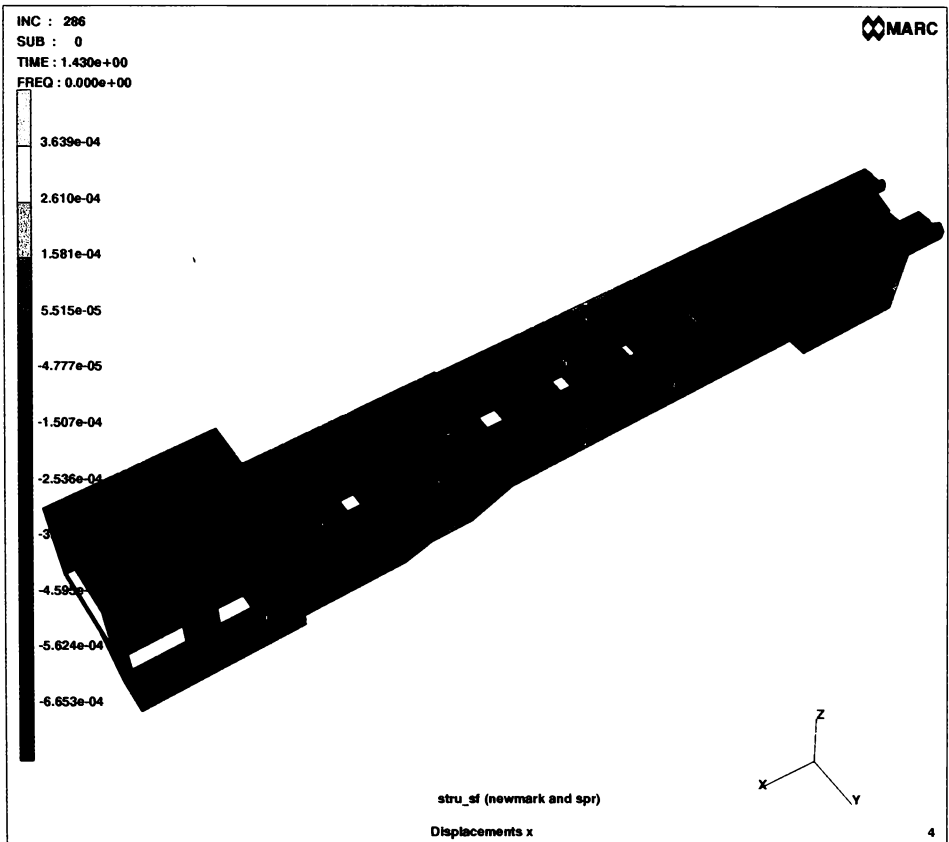


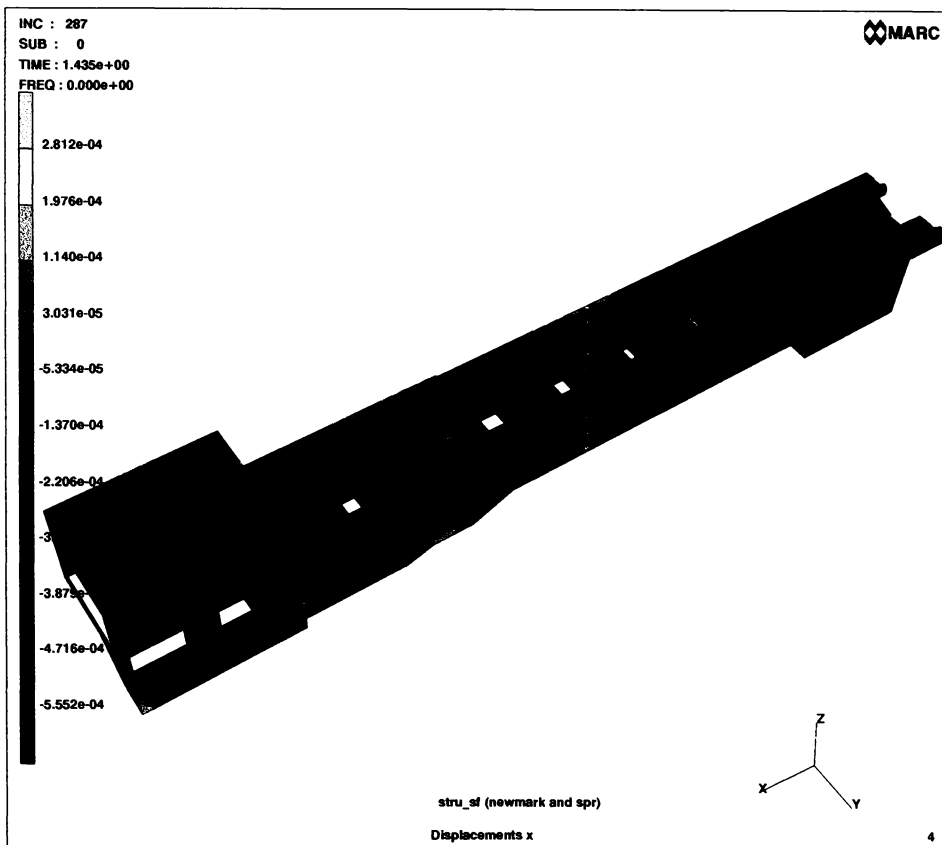


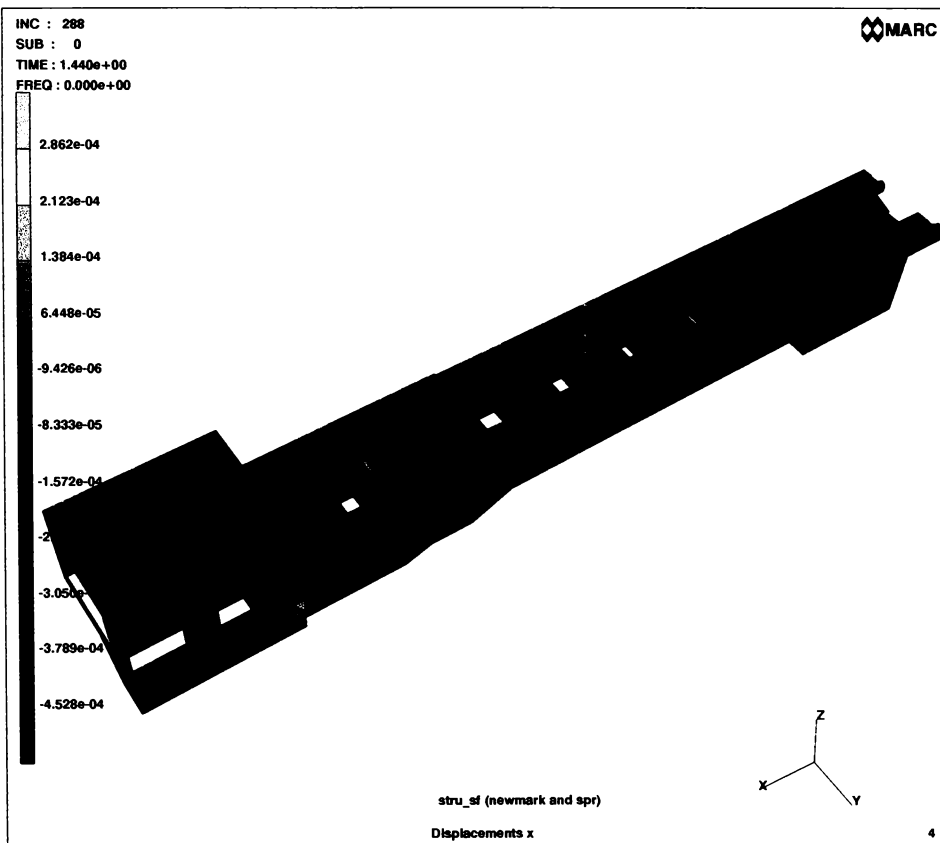


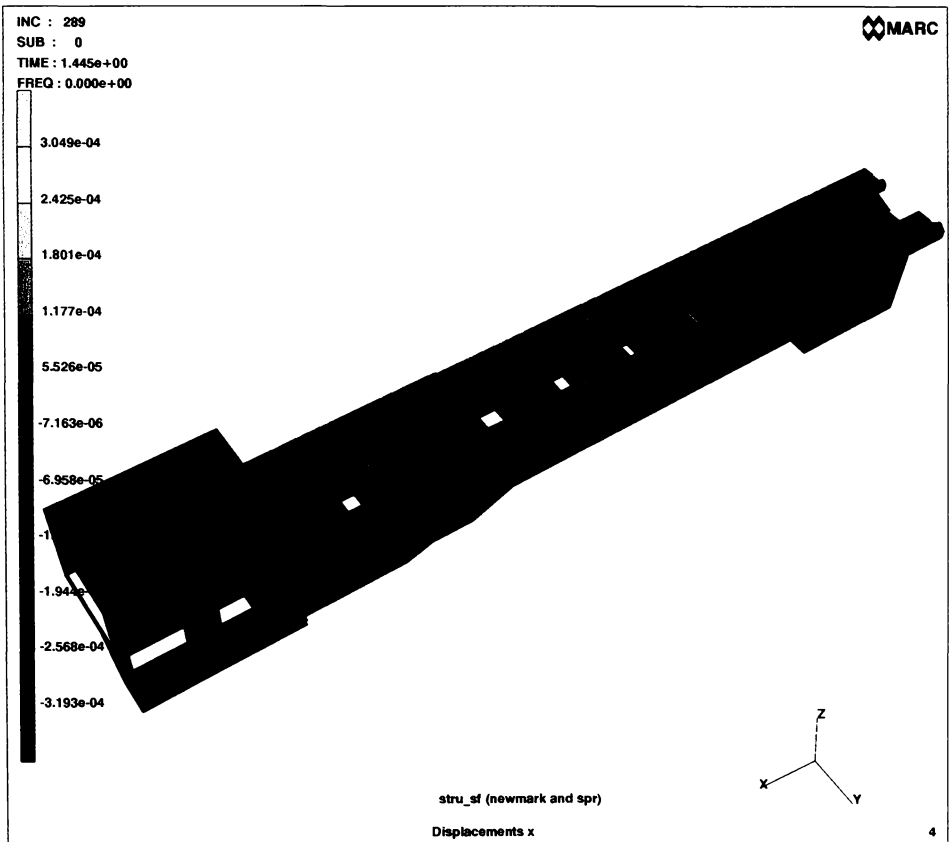


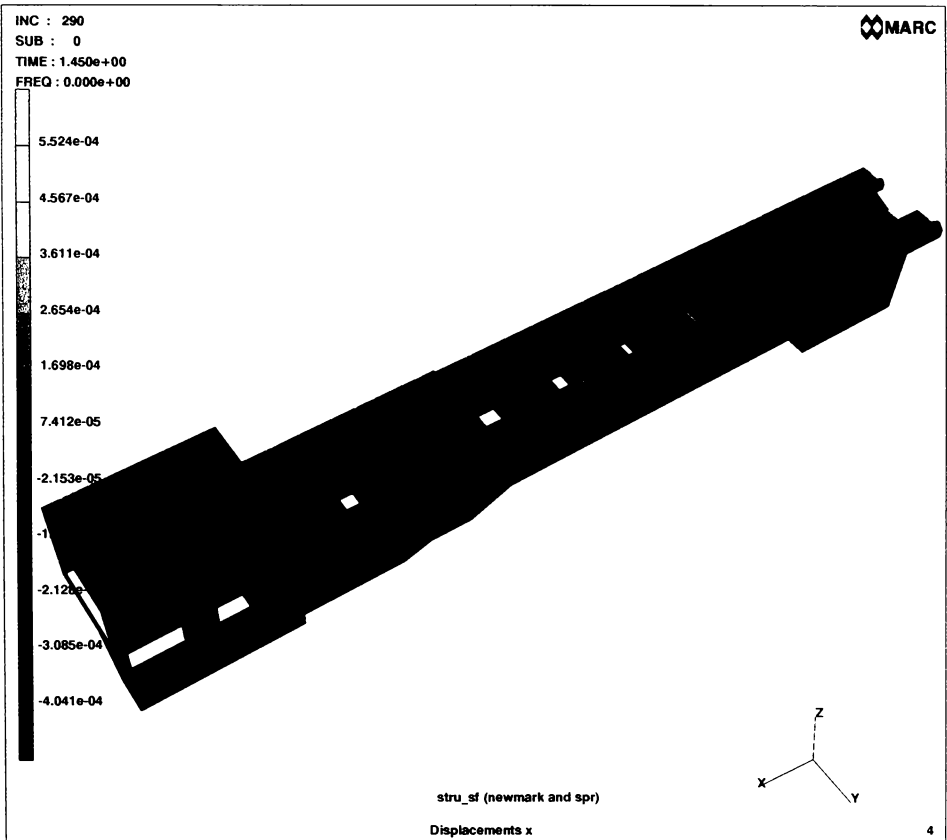


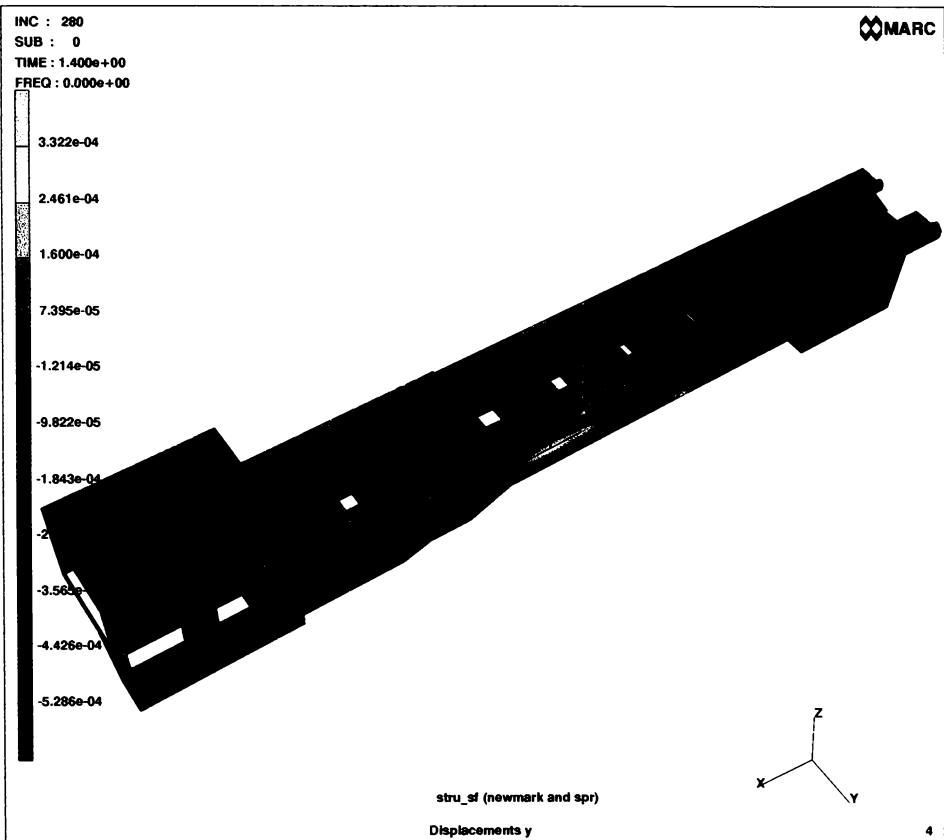


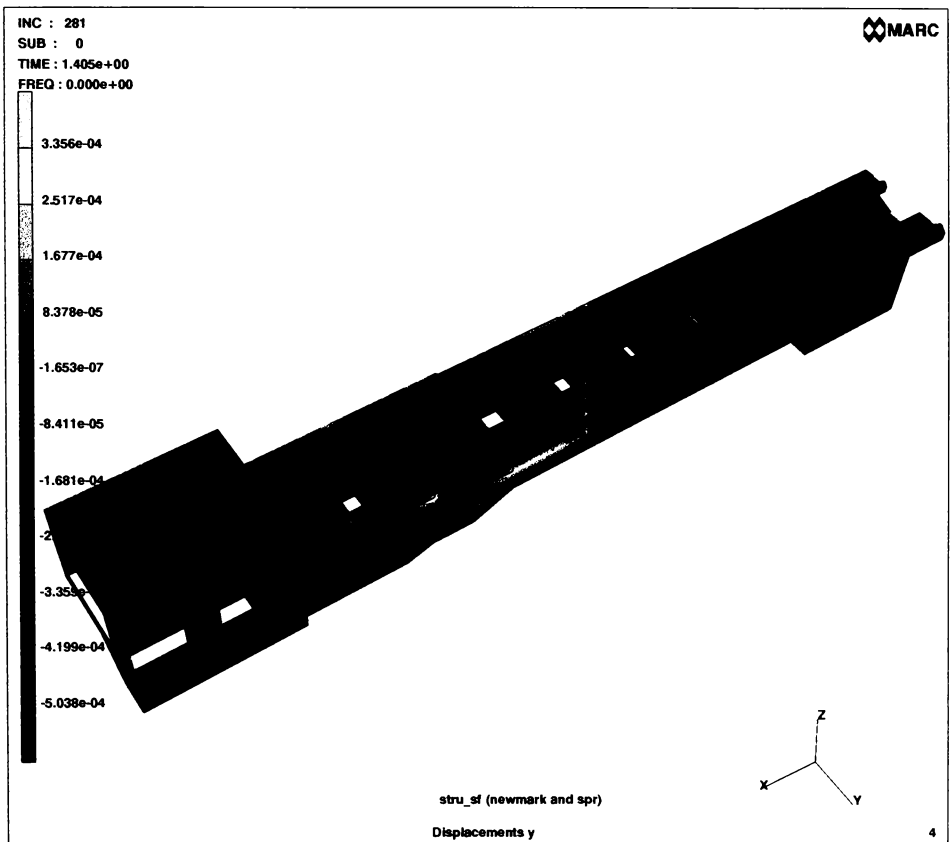


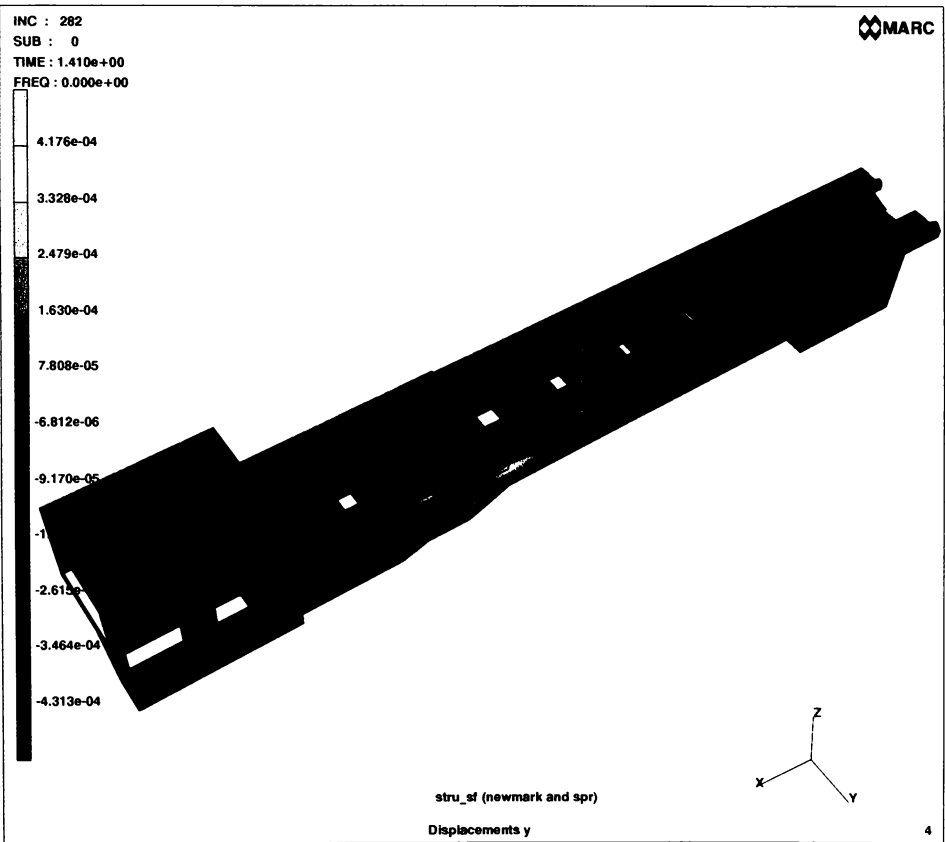


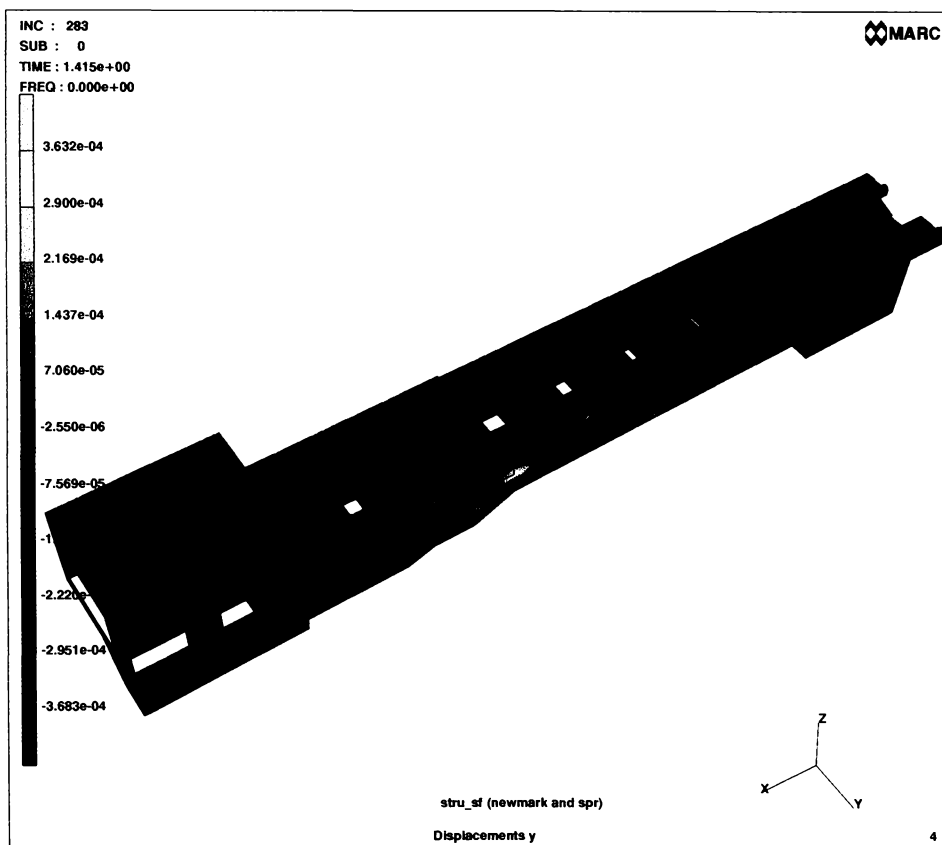


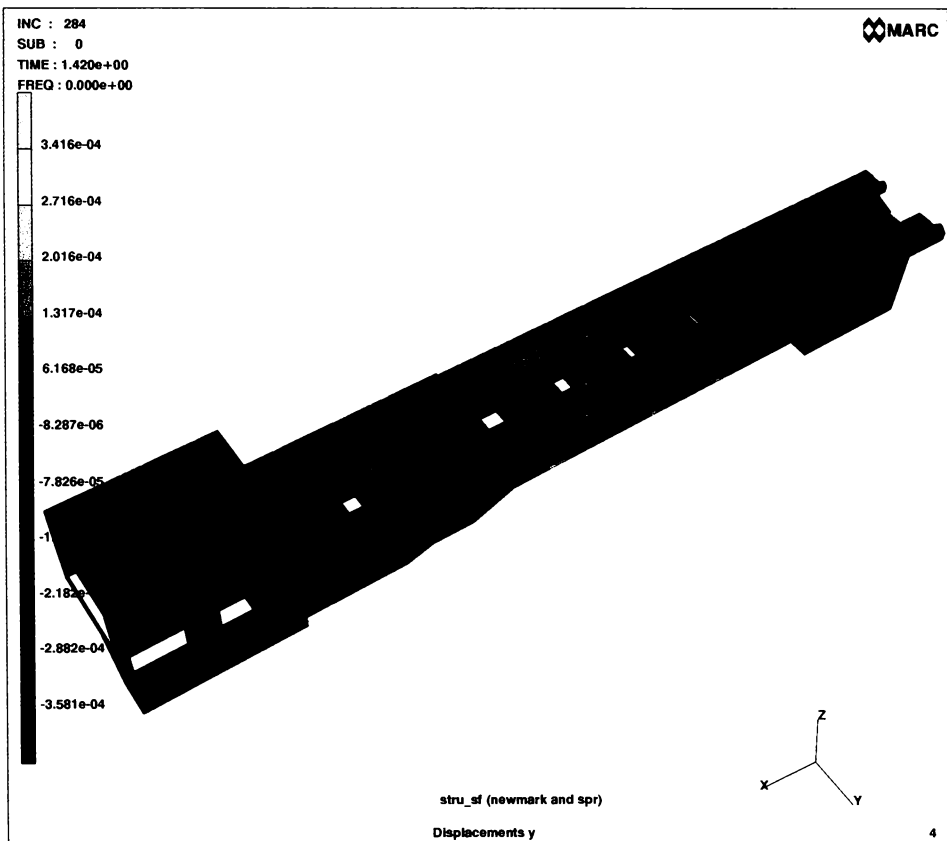


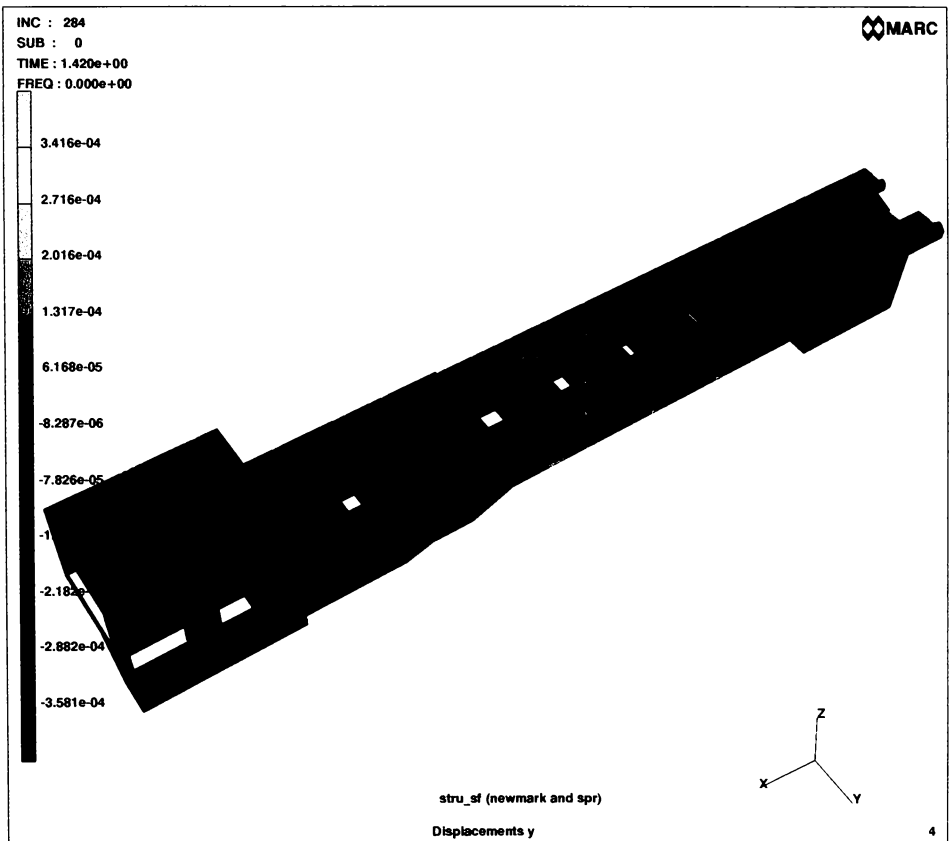


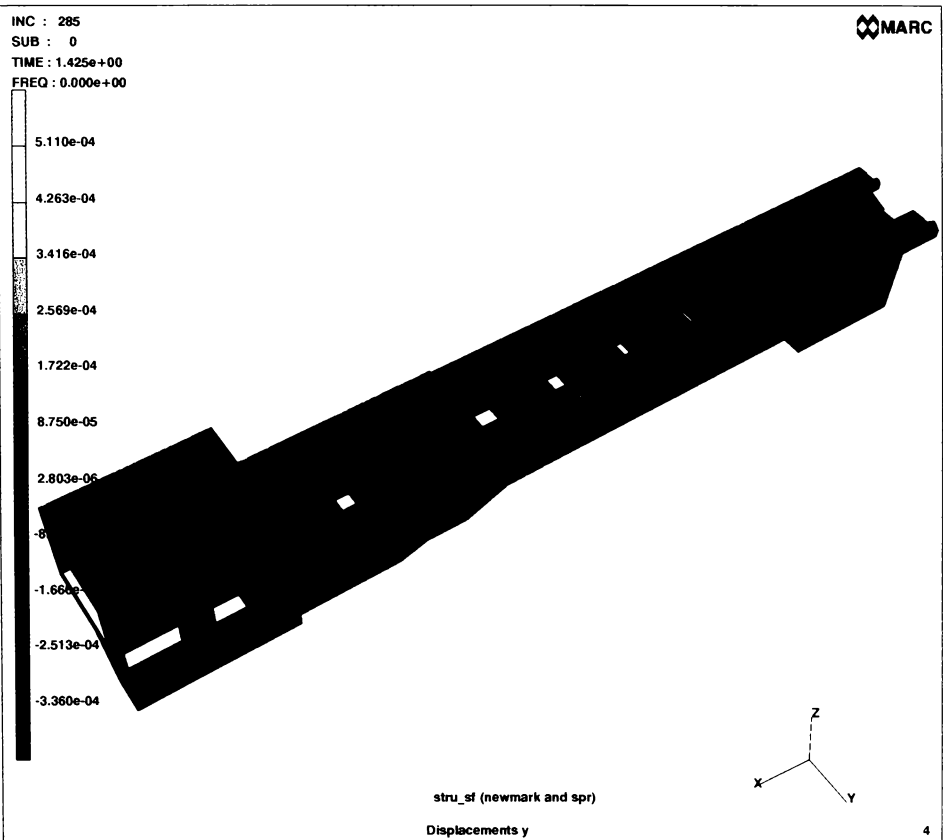


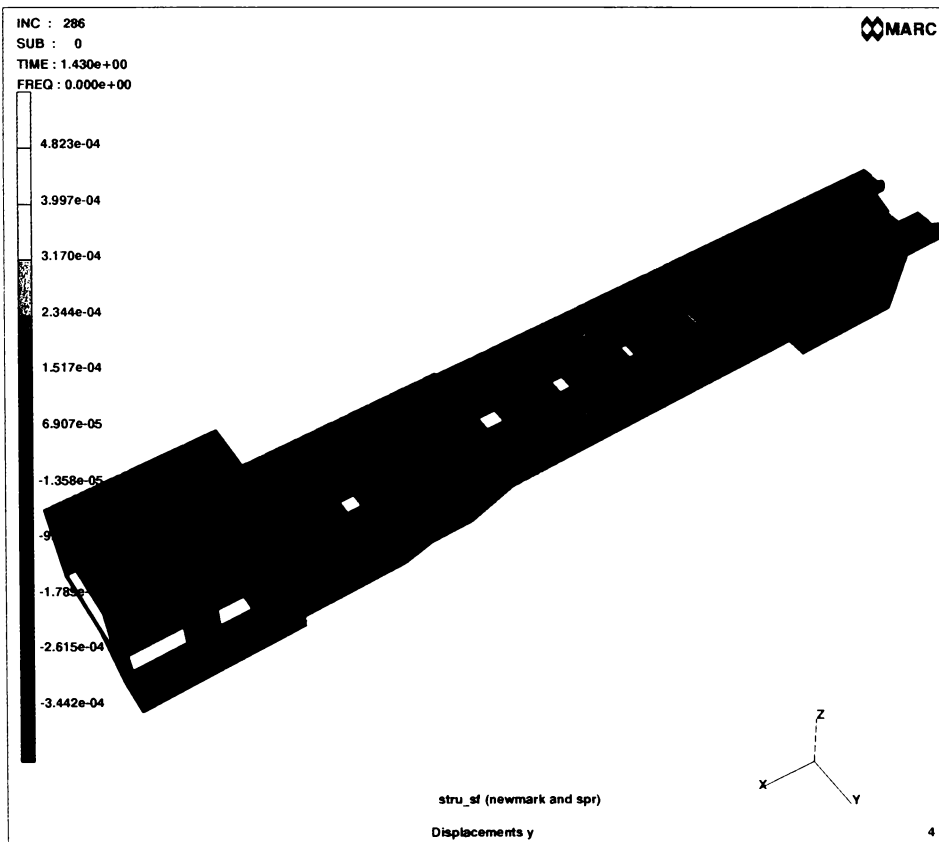


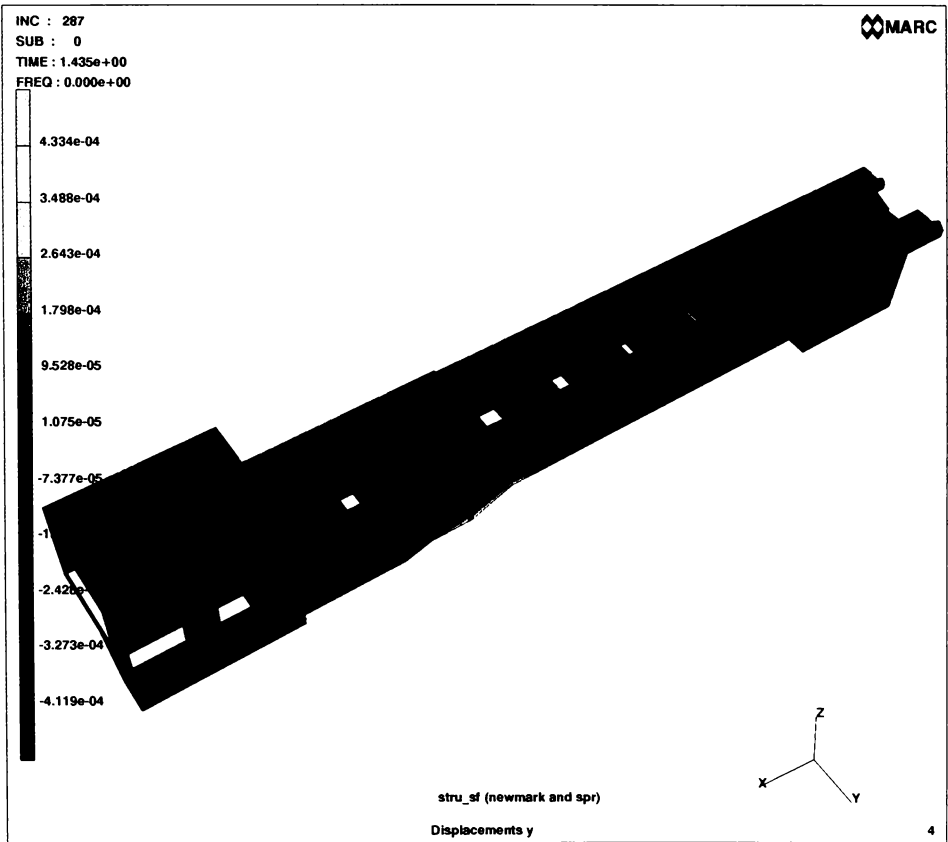


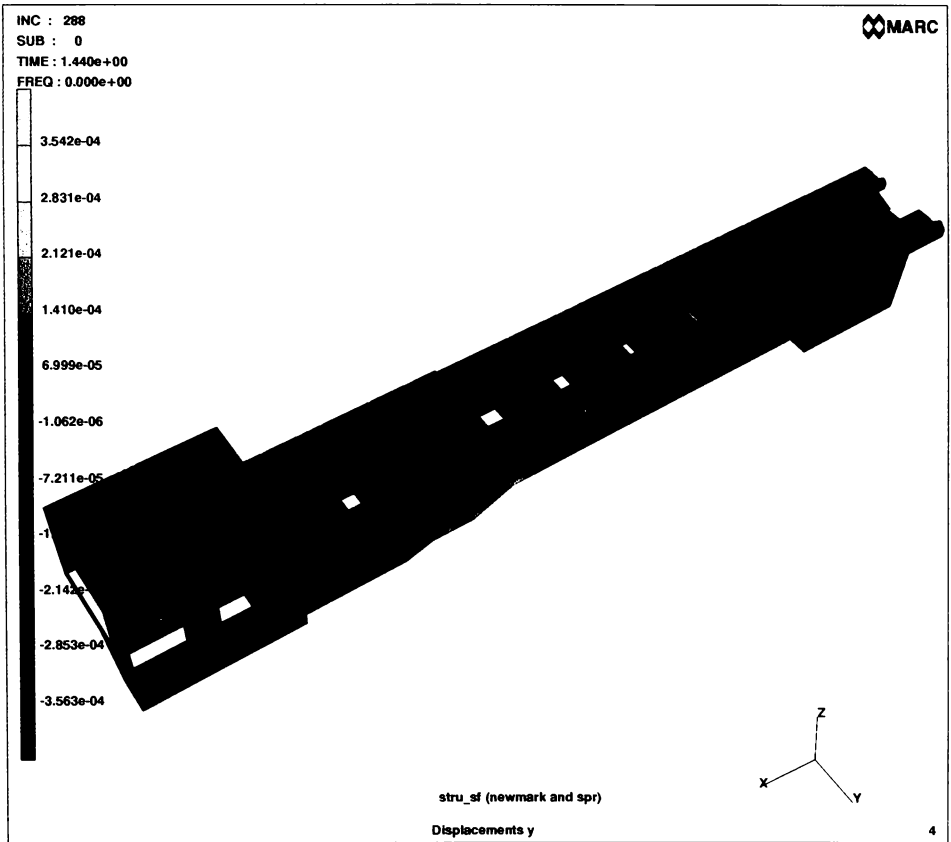


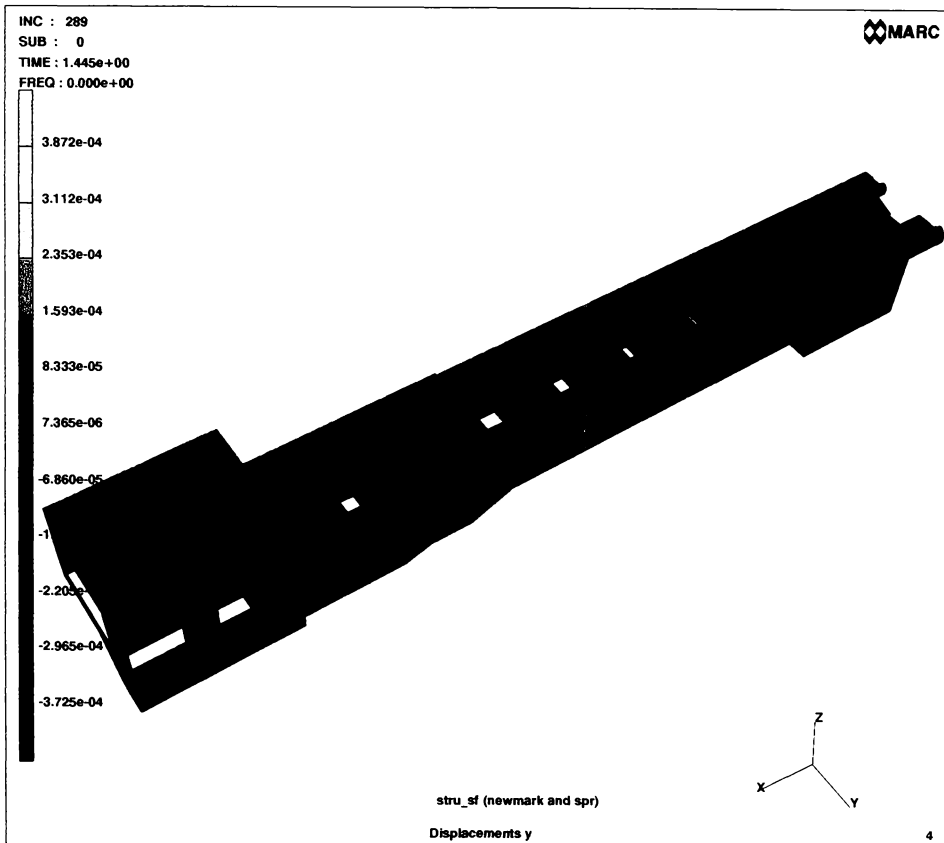


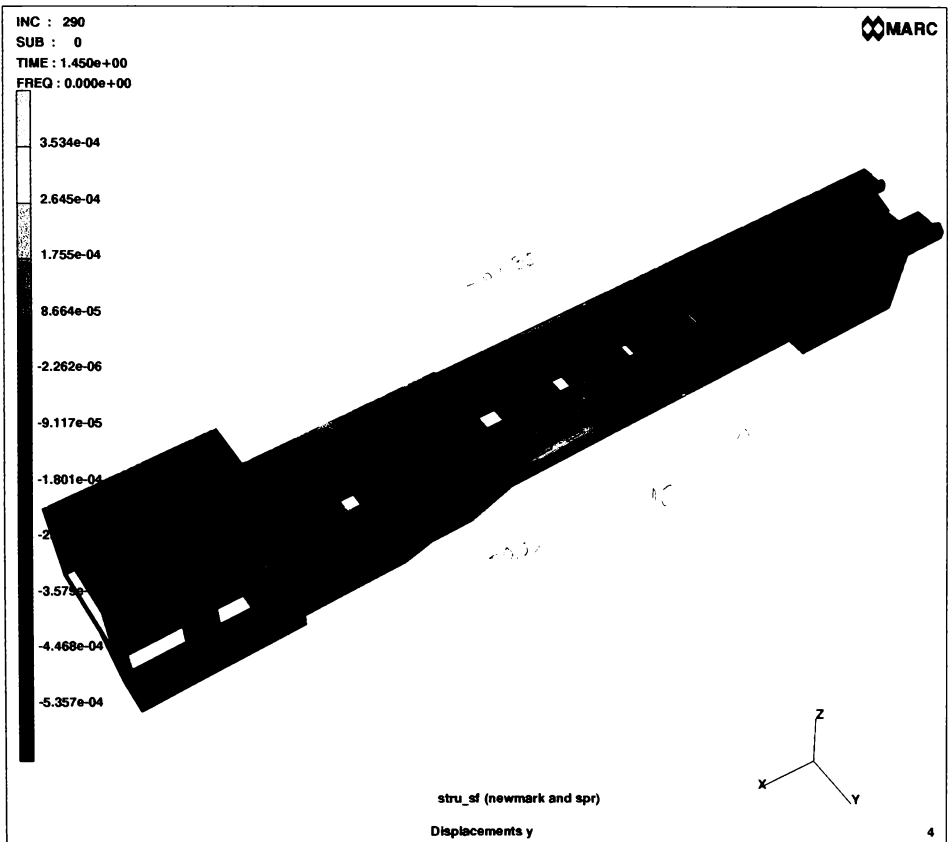


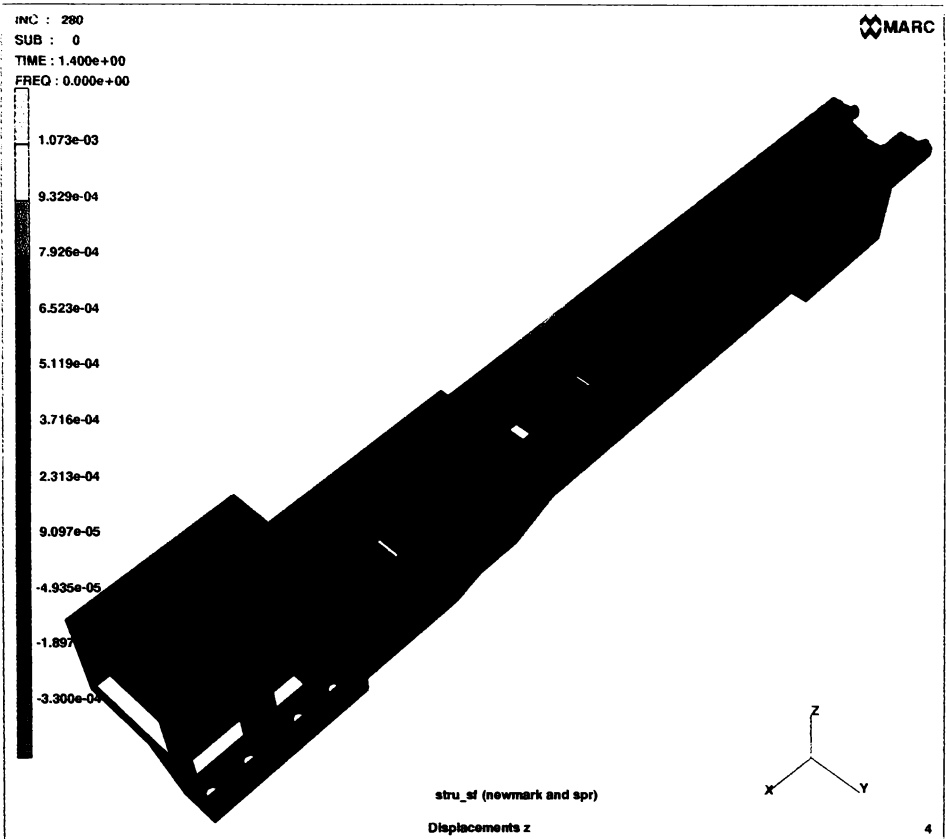


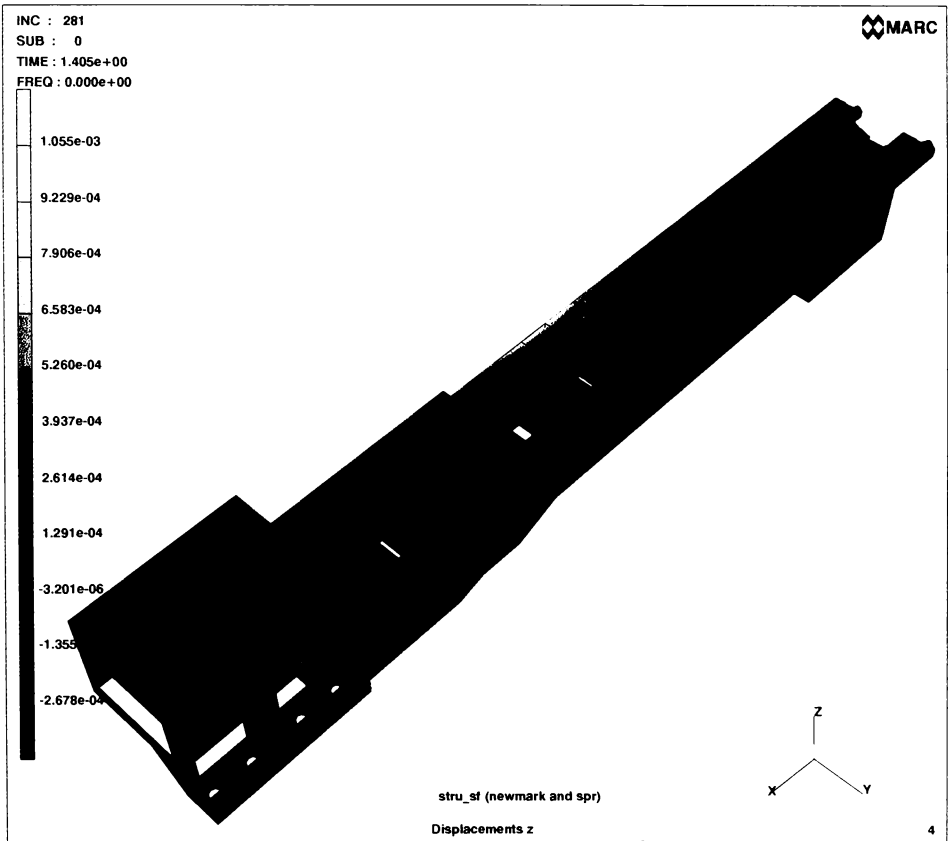


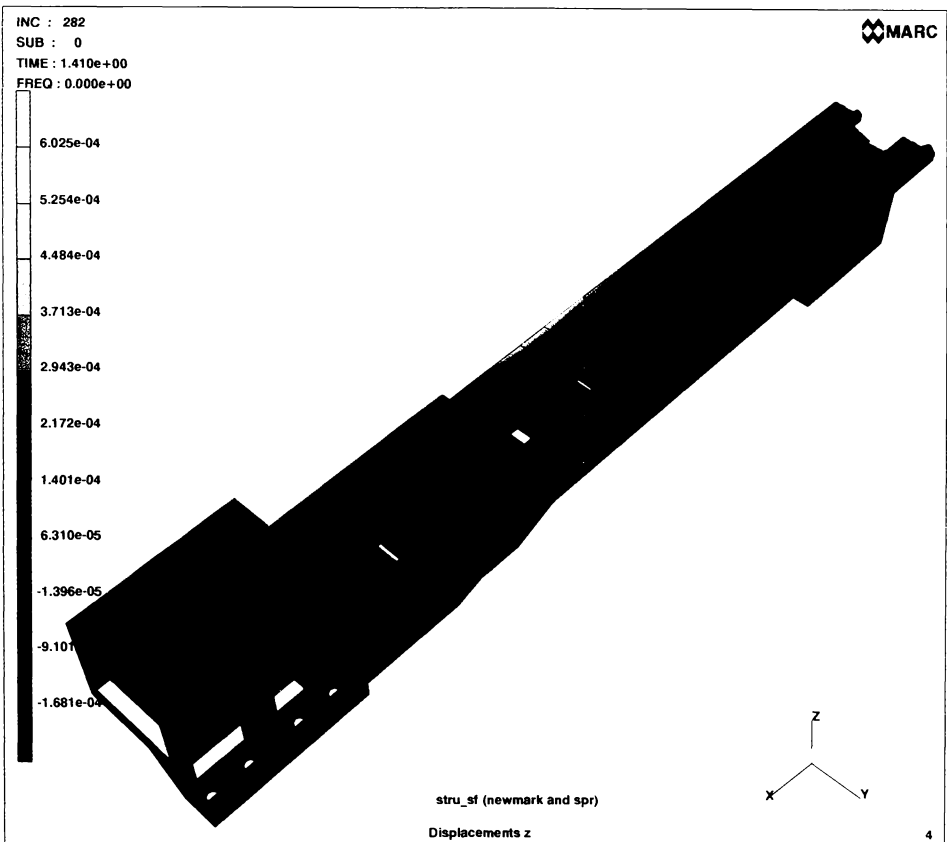


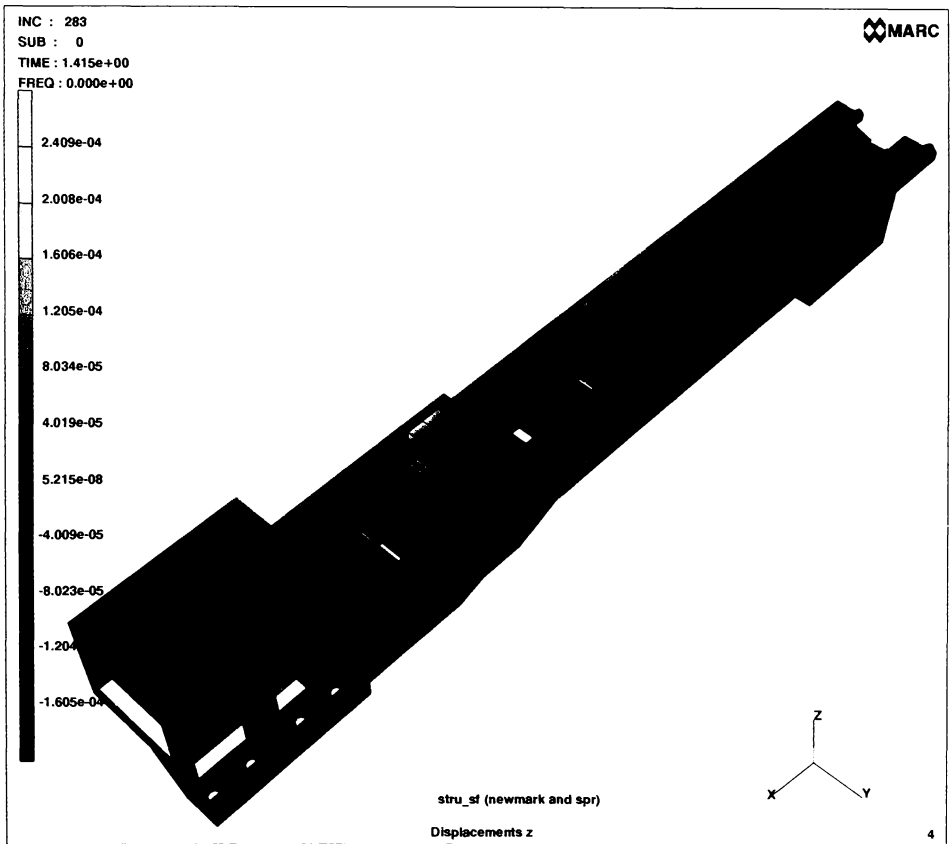


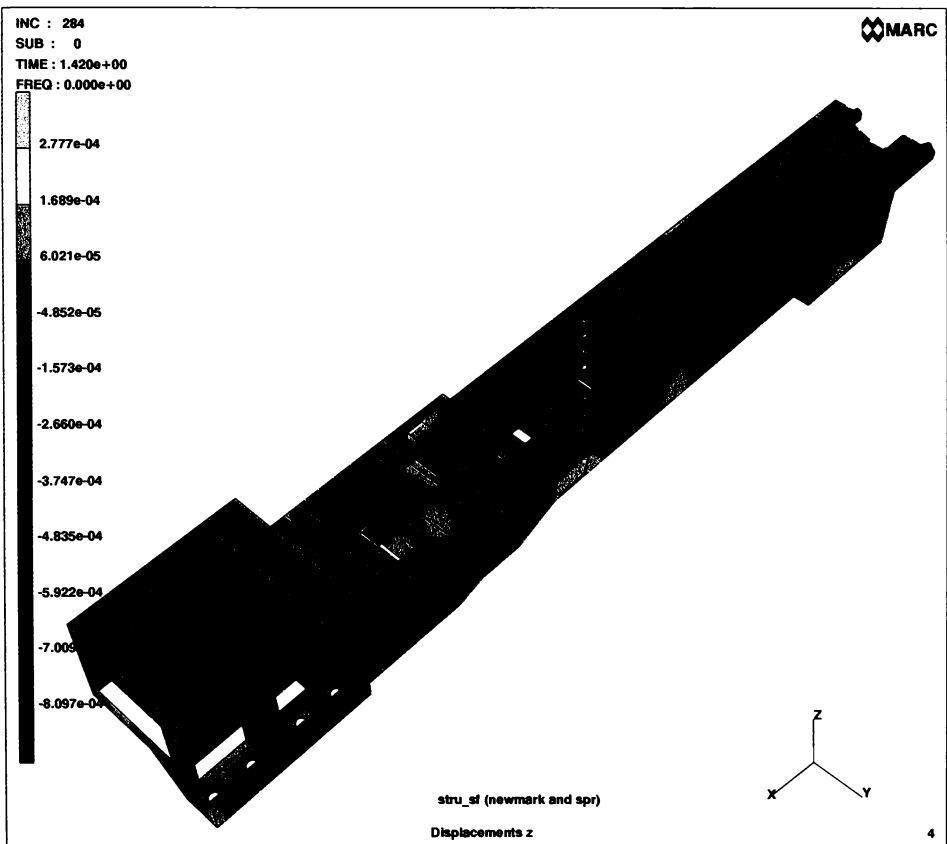


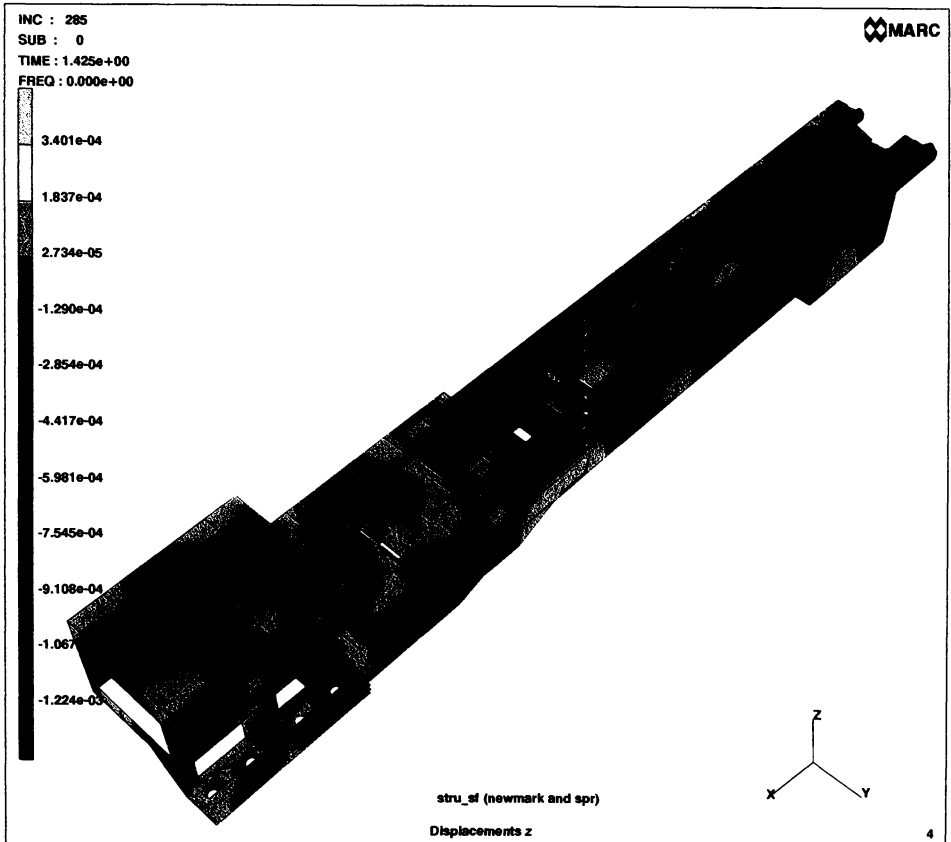


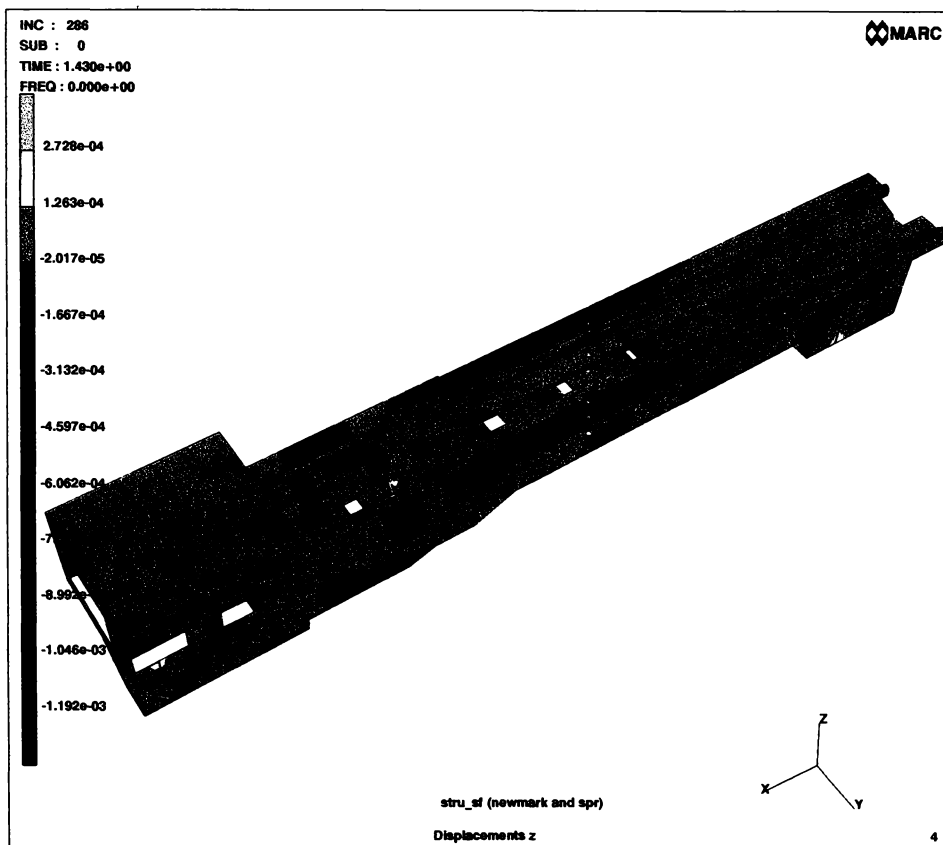


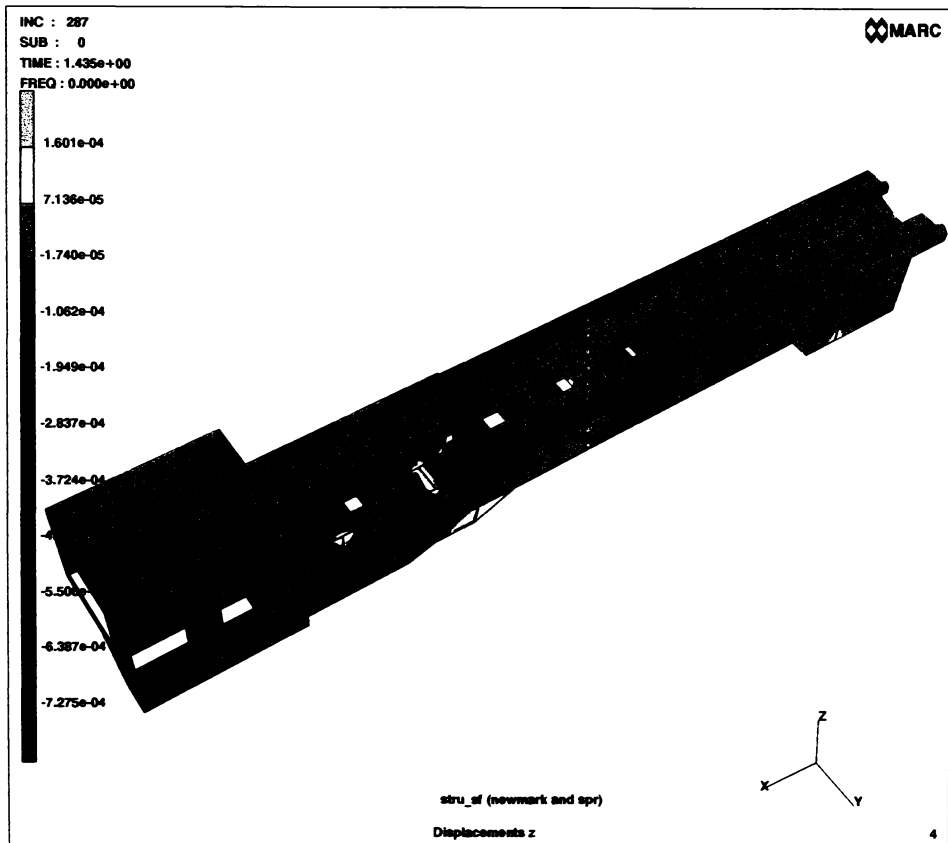


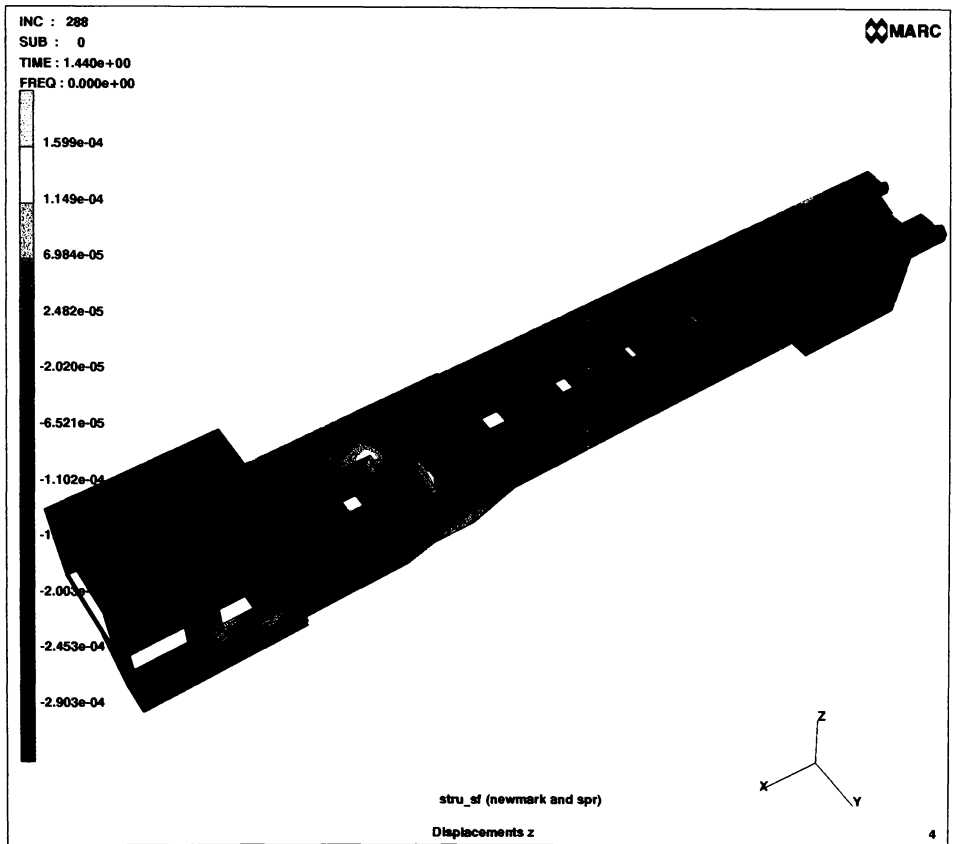


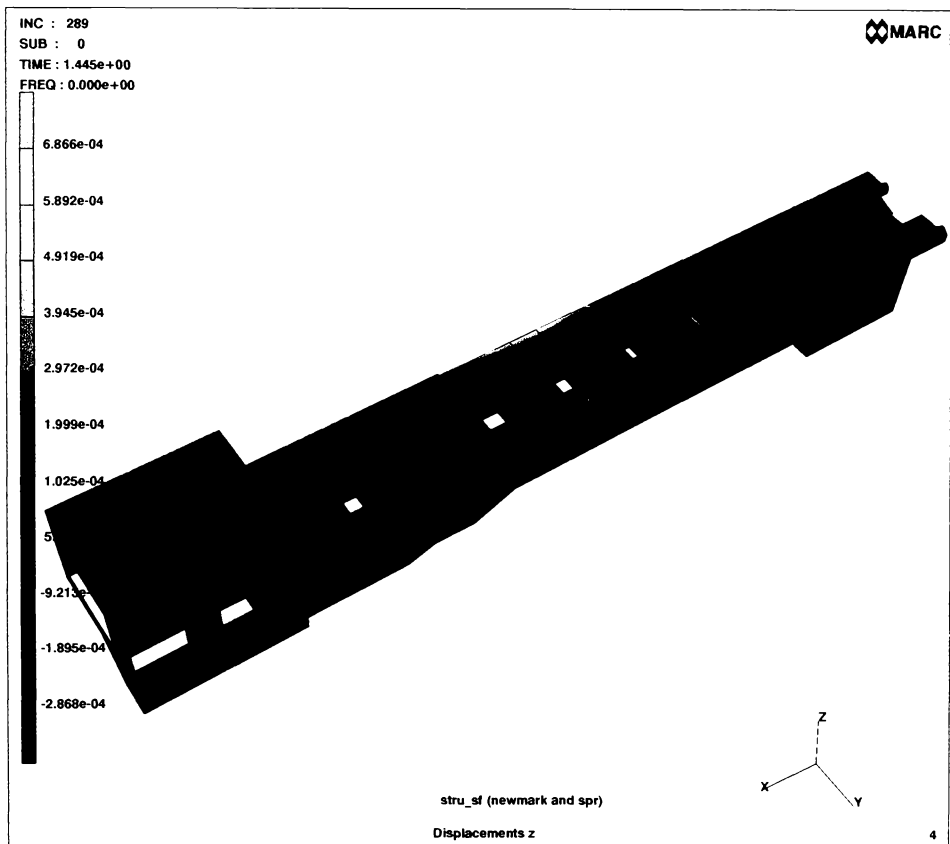


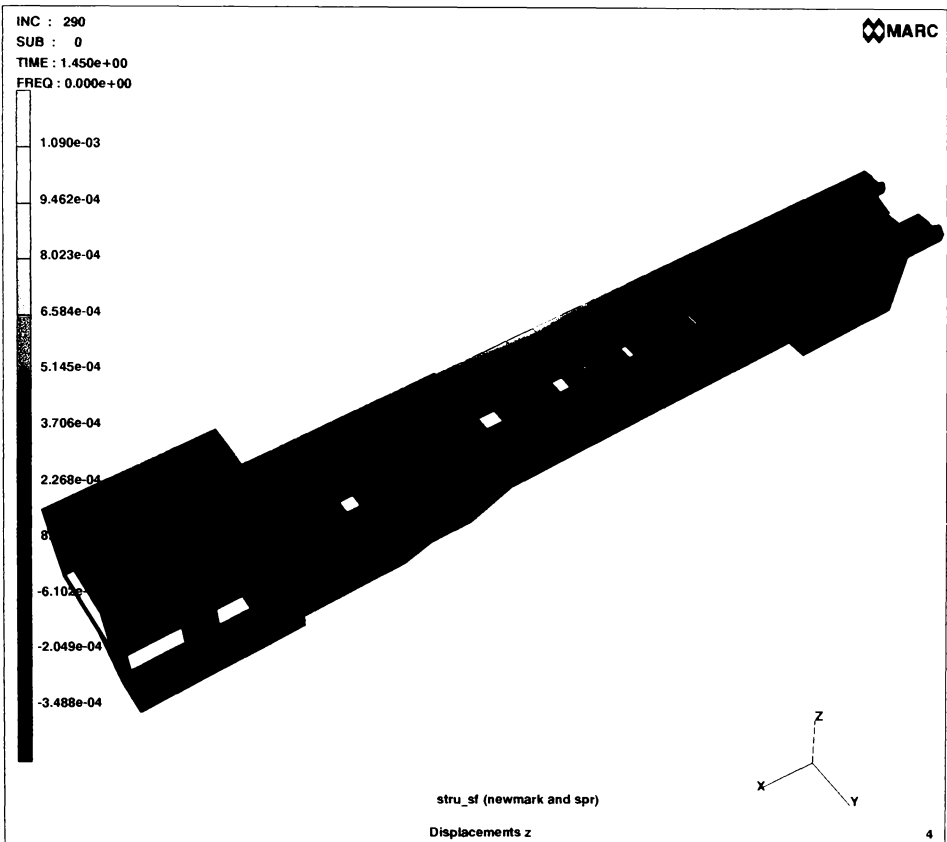


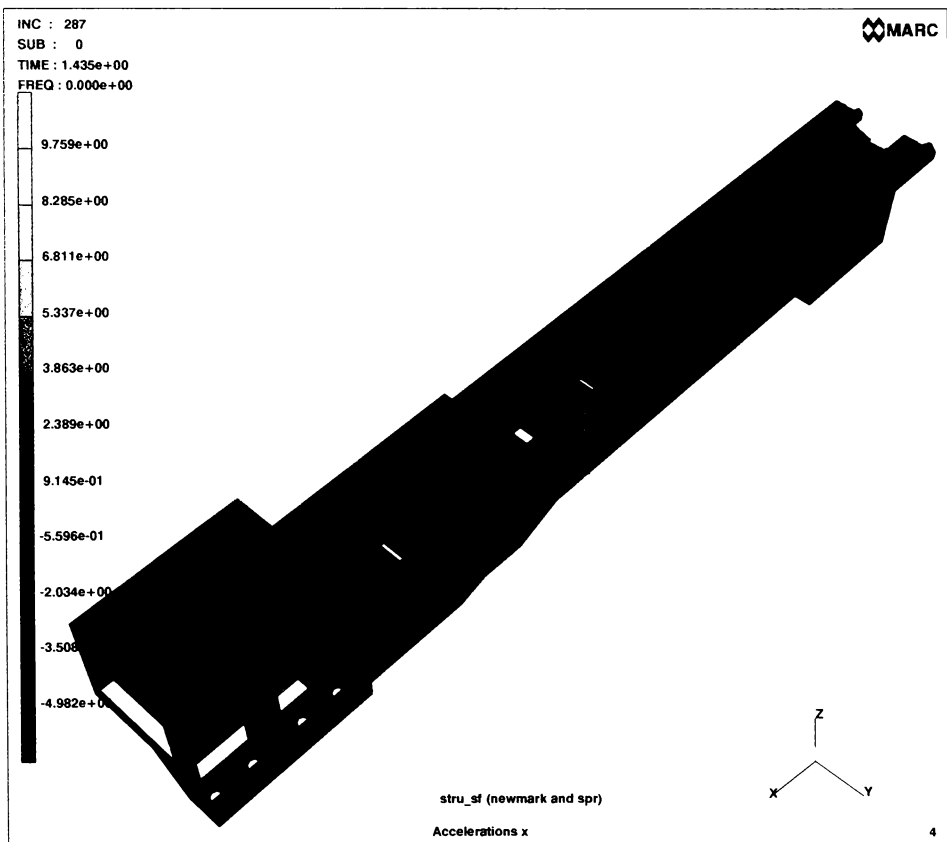


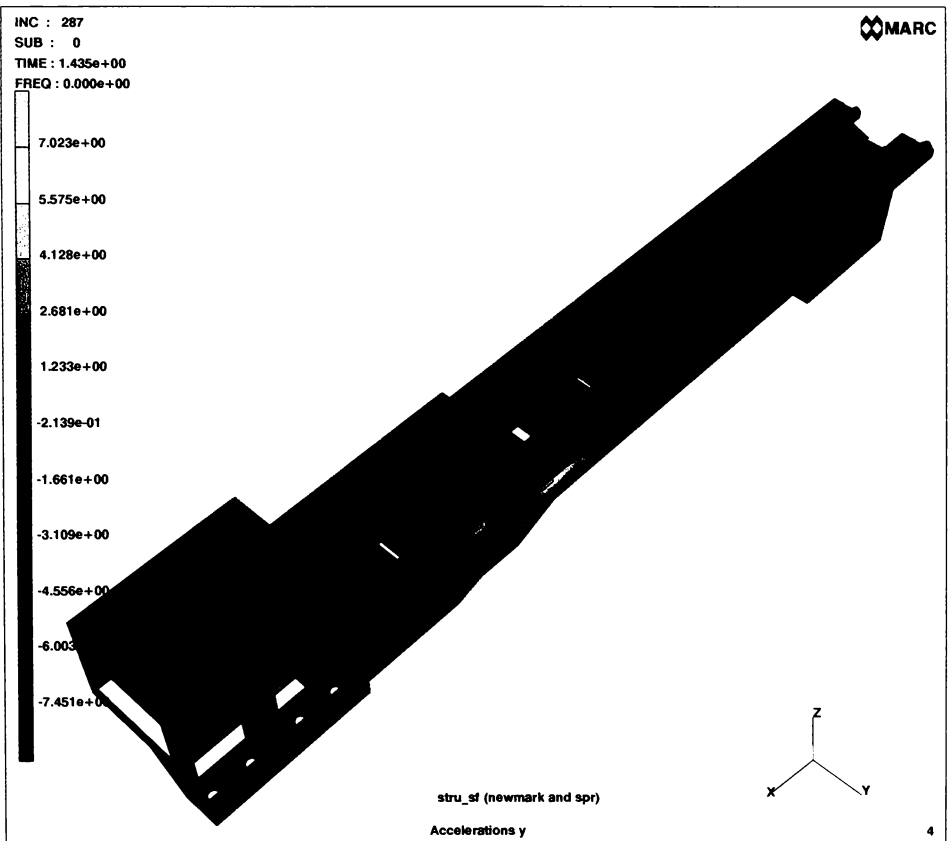


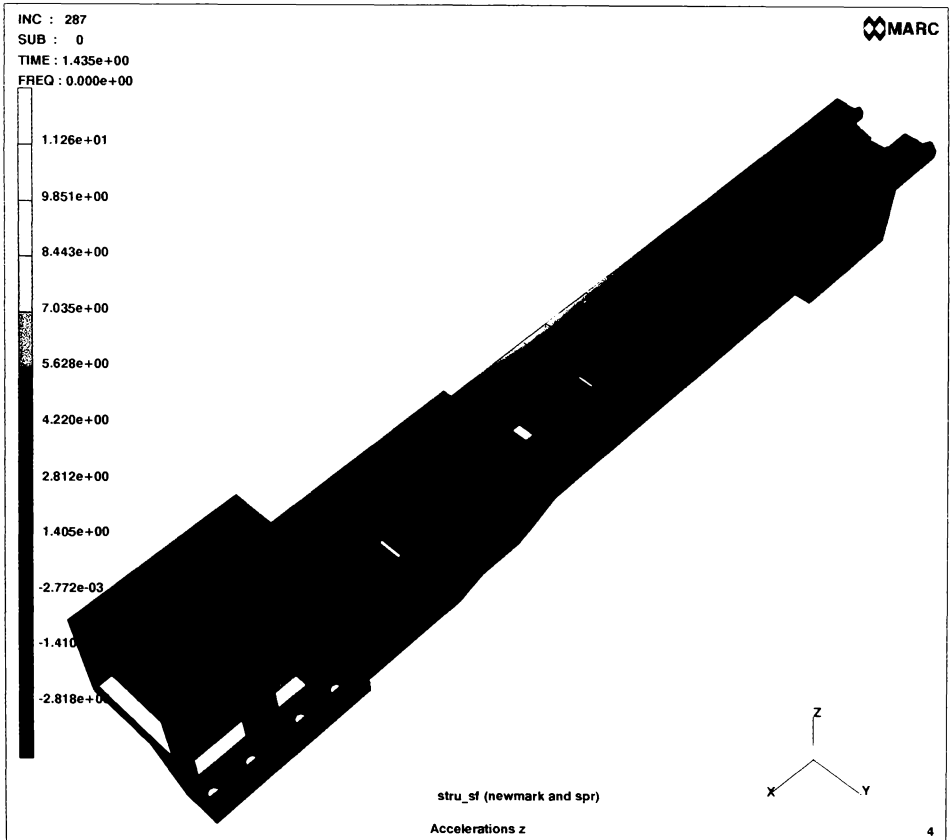


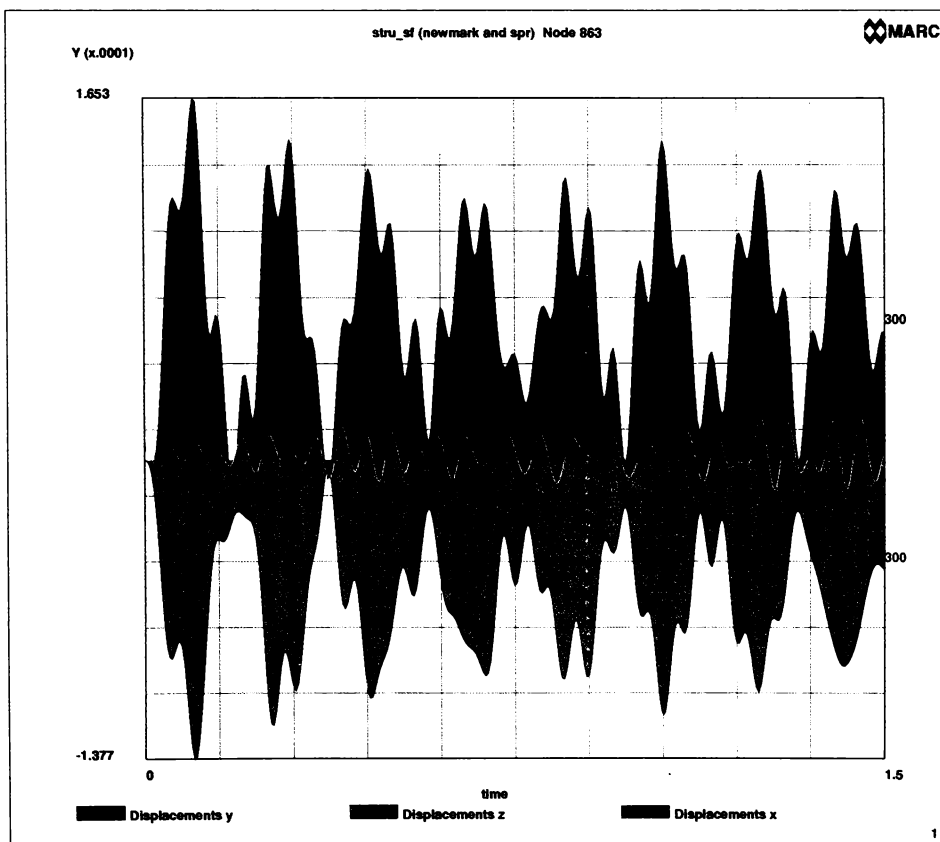


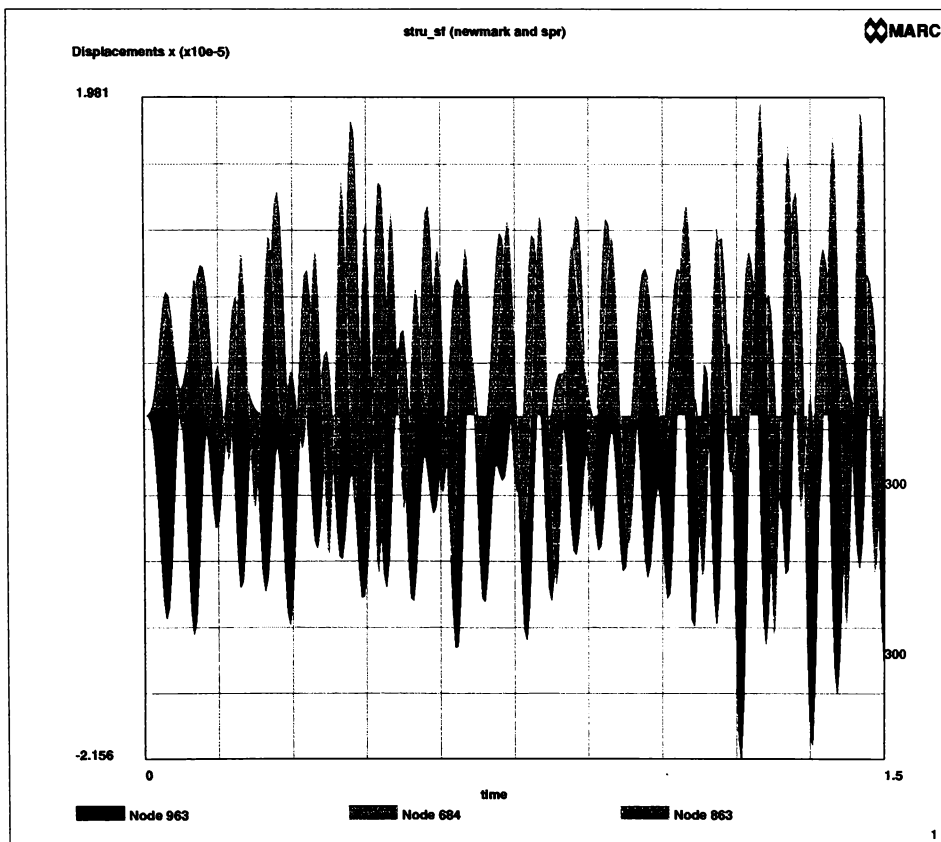


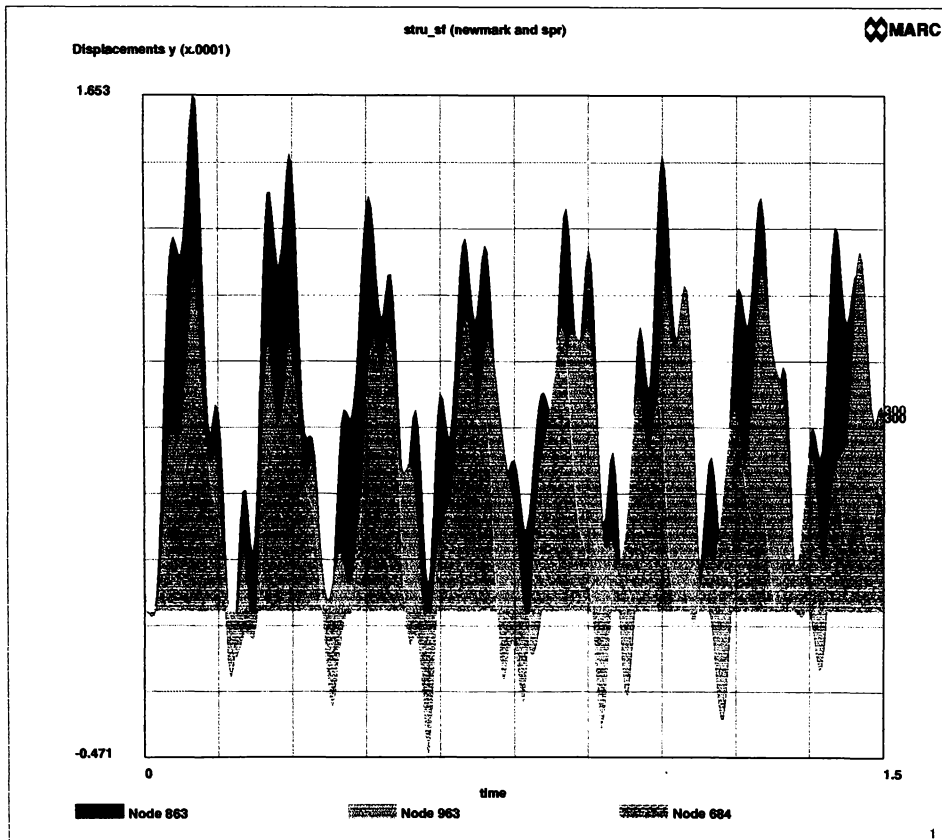


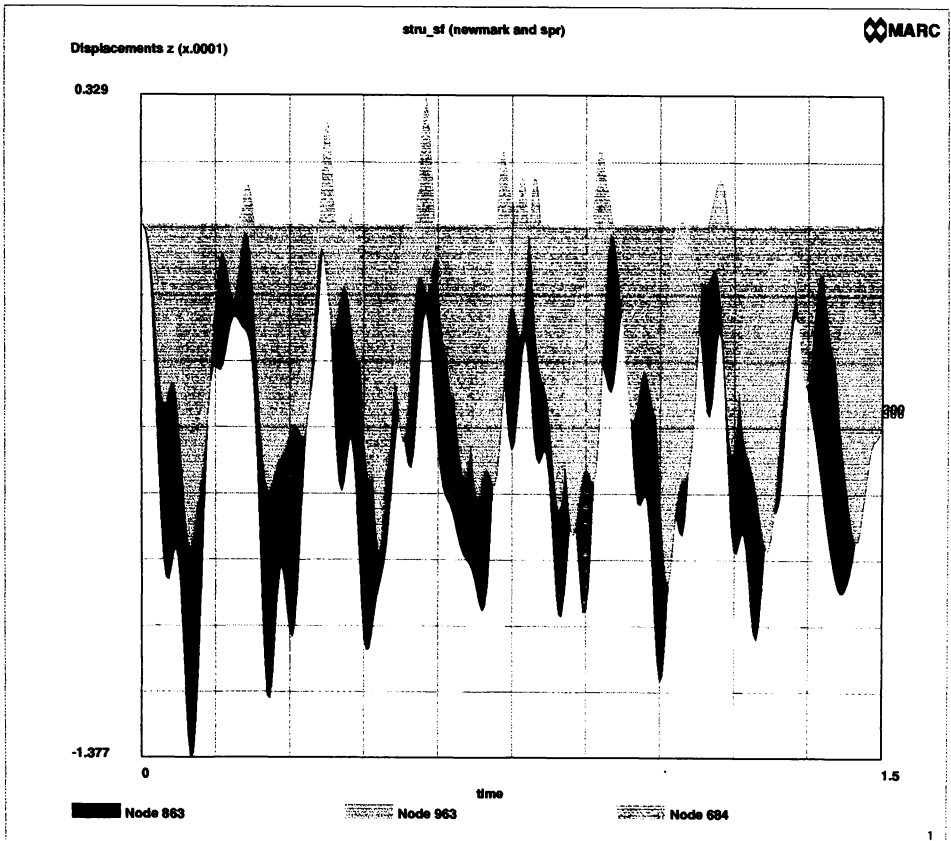


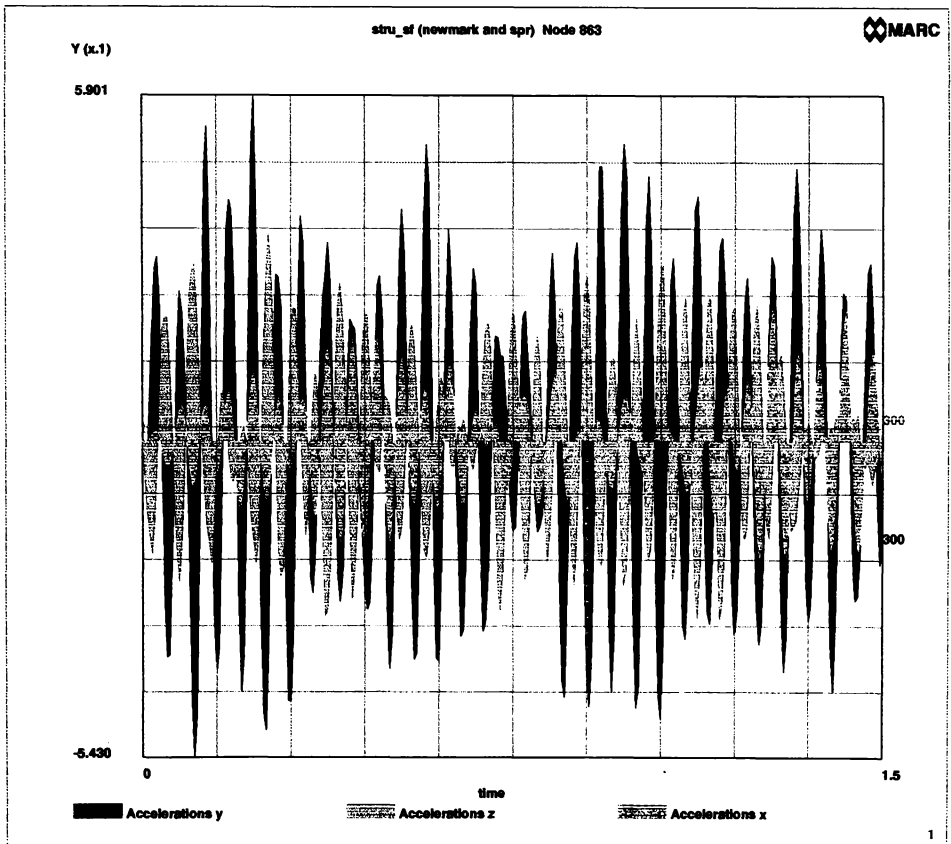


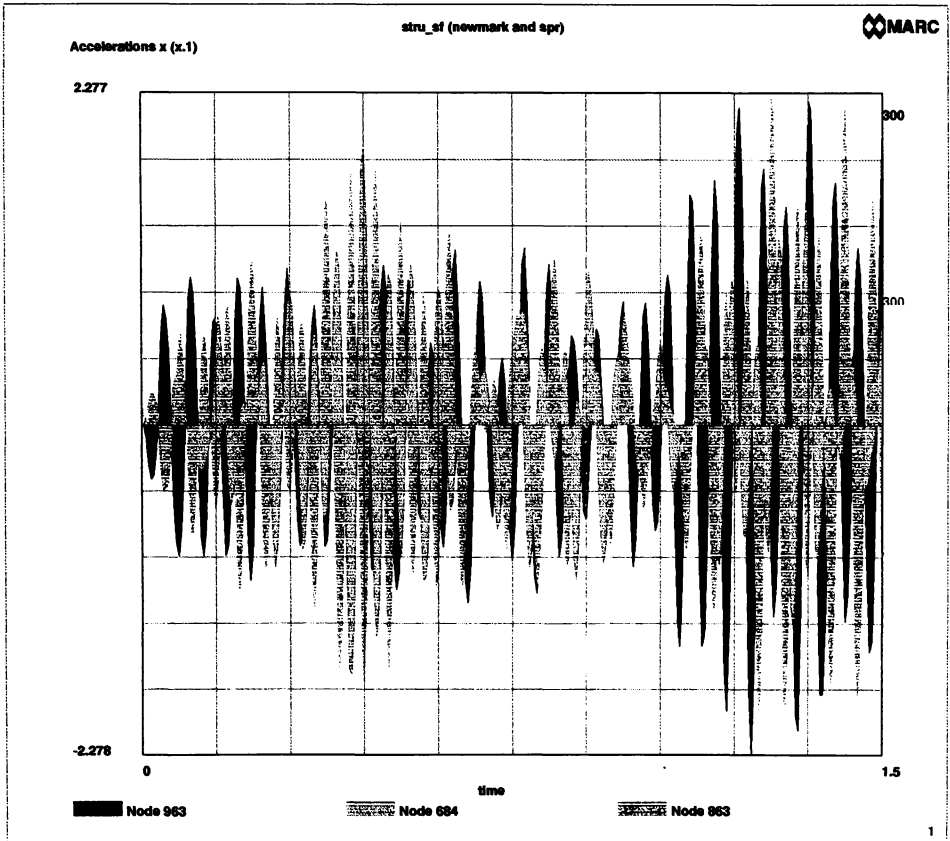


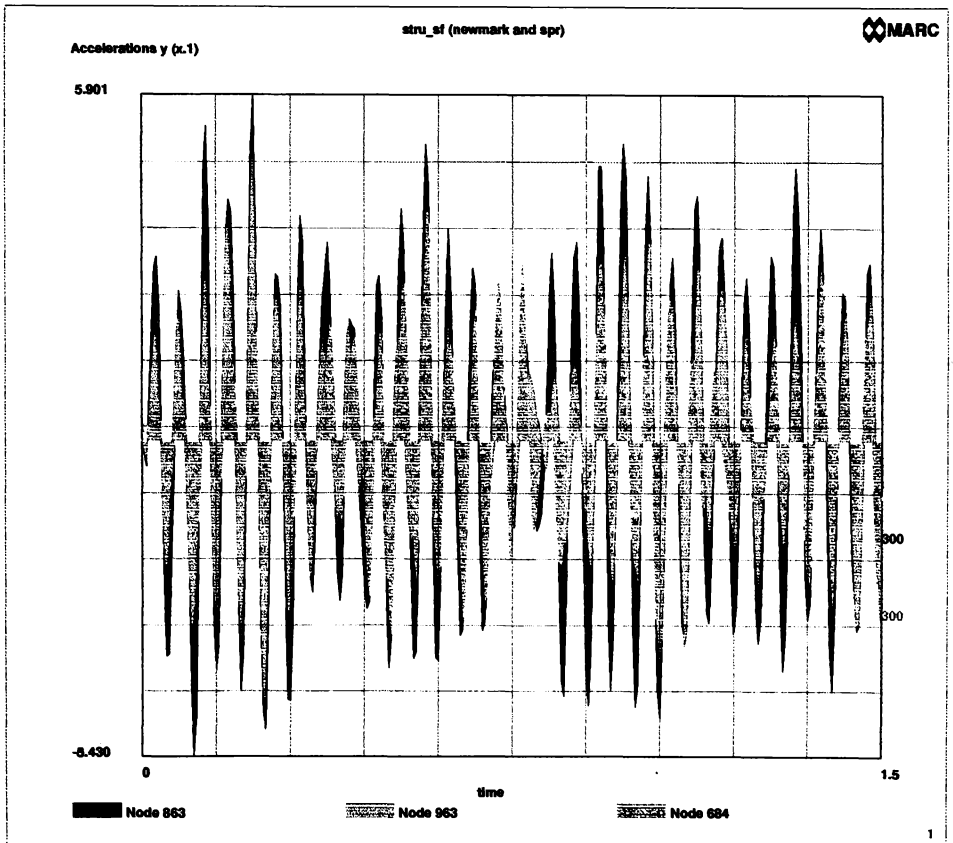


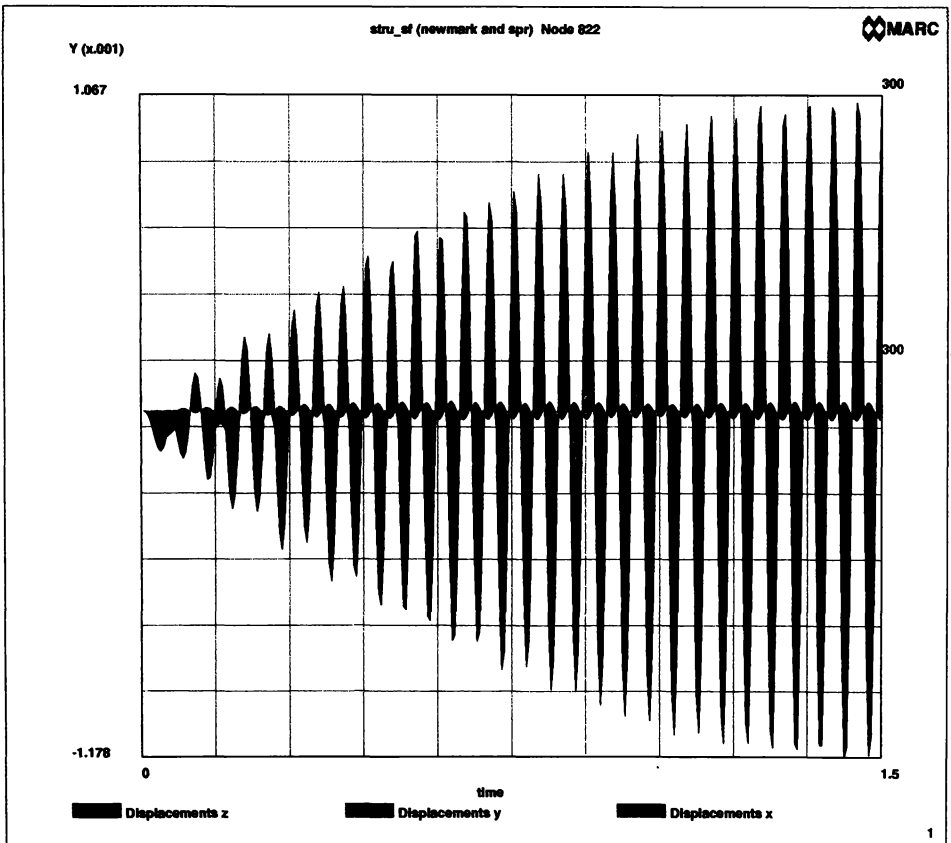


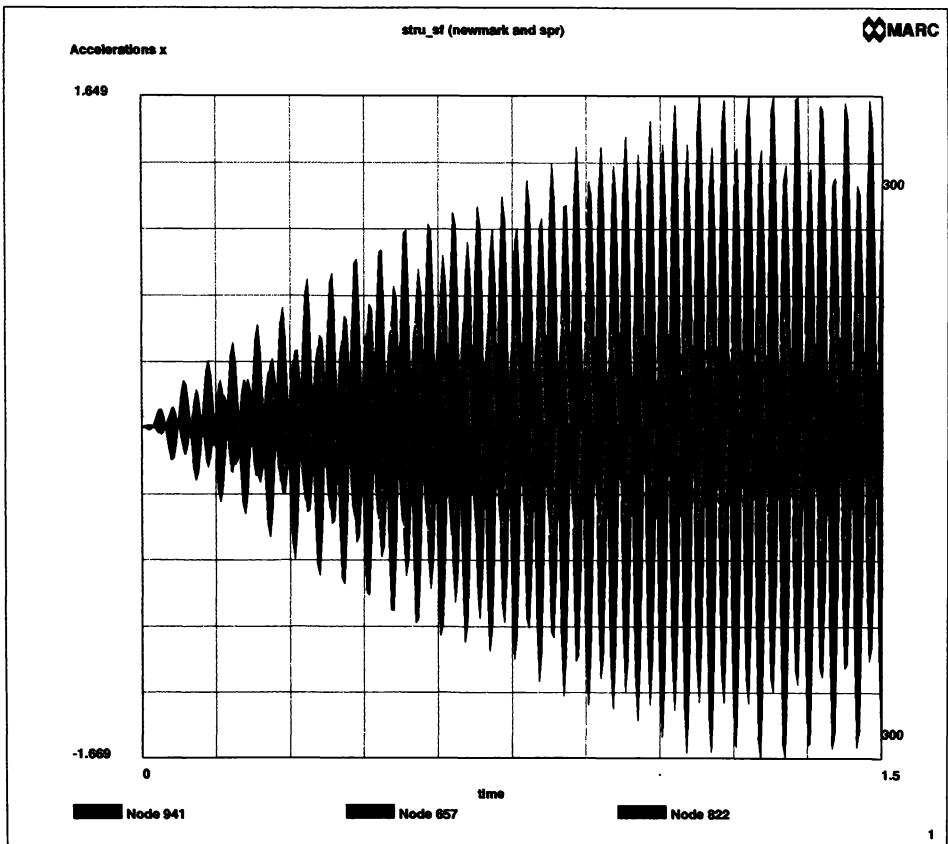












10/10/2018

